

# *Interaktív grafika*

FÜZI JÁNOS



GÖRBESZERKESZTÉS  
FELÜLETSZERKESZTÉS  
ANIMÁCIÓ  
VIRTUÁLIS SZERKEZETEK



COMPUTERBOOKS

FÜZI JÁNOS

# *Interaktív grafika*

GÖRBESZERKESZTÉS  
FELÜLETSZERKESZTÉS  
ANIMÁCIÓ  
VIRTUÁLIS SZERKEZETEK

LEKTOR

**DR. VERMES IMRE  
BENKŐ LÁSZLÓ**



**COMPUTERBOOKS  
BUDAPEST, 1997**

A könyv készítése során a Kiadó és a Szerző a legnagyobb gondossággal járt el. Ennek ellenére hibák előfordulása nem kizárható. Az ismeretanyag felhasználásának következményeiért sem a Szerző, sem a Kiadó felelősséget nem vállal.

Minden jog fenntartva. Jelen könyvet vagy annak részleteit a Kiadó engedélye nélkül bármilyen formátumban vagy eszközzel reprodukálni, tárolni és közölni tilos.

© Füzi János, 1997

©Kiadó: ComputerBooks Kiadói, Szolgáltató és Kereskedő Kft.

1126 Bp., Tartsay Vilmos u. 12.

Telefon: 175-15-64; Tel/Fax: 175-35-91

[e-mail: info@computerbooks.hu](mailto:info@computerbooks.hu)

Felelős kiadó: ComputerBooks Kft ügyvezetője

ISBN: 963 618 149 7

Borítóterv: Székely Edith

# Tartalomjegyzék

<b>Előszó .....</b>	<b>1</b>
<b>1. Az interaktív számítógépkezelés célkitűzései és eszközei.....</b>	<b>3</b>
1.1. A grafikus meghajtó .....	4
1.2. Grafikus kurzorok .....	5
1.3. Az egér programozása.....	11
1.4. Egérkurzor alakjának meghatározása grafikus módban .....	15
1.5. Interaktív kommunikáció .....	18
1.5.1. Képernyőpont meghatározása.....	18
1.5.2. Adatbevitel .....	18
1.5.3. Lajstromelem kiválasztása.....	25
1.5.4. Tárolás, beolvasás .....	<u>79</u>
<b>2. Sima görbék interaktív előállítása .....</b>	<b>35</b>
2.1. Görbék illesztésének kérdései .....	35
2.2. Interaktív paraméteres előállítás .....	37
2.3. Sima görbék illesztése kontrollpontosorra .....	45
2.3.1. A kontrollpontok mozgatása.....	45
2.3.2. A görbeelőállítás elve .....	50
2.3.3. Coons-Hermite interpoláció.....	51
2.3.4. Spline interpoláció .....	66
2.3.5. Bézier approximáció .....	86
2.3.6. B-spline approximáció .....	90
2.3.7. $\beta$ -spline közelítés.....	114
2.3.8. Alkalmazás .....	135
<b>3. Sima felületek interaktív előállítása .....</b>	<b>143</b>
3.1. Felületek megjelenítése .....	149
3.2. Felületek illesztése .....	157
3.3. Sima felületek interaktív szerkesztése.....	158
3.3.1. Hermite interpoláció .....	158
3.3.2. Spline interpoláció .....	167
3.3.3. Bézier approximáció .....	196
3.3.4. B-spline approximáció .....	701
3.3.5. $\beta$ -spline közelítés.....	224
3.3.6. Helyi ellenőrzésű spline interpoláció .....	257

<b>4. Virtuális valóság .....</b>	<b>283</b>
4.1. Virtuális tulajdonságok .....	284
4.2. Virtuális szerkezetek .....	288
4.3. Virtuális folyamatok.....	296
4.4. Poliéderek megjelenítése.....	301
4.4.1. Merőleges és középpontos vetítés.....	301
4.4.2. Irányított sokszögek megjelenítése .....	304
4.4.3. Takarásnak megfelelő megjelenítési sorrend.....	306
<b>5. A lemezmelléklet használata.....</b>	<b>333</b>
<b>Irodalomjegyzék.....</b>	<b>337</b>
<b>Tárgymutató .....</b>	<b>339</b>

## Előszó

A különböző geometriai alakzatok, objektumok megjelenítésével és mozgásával foglalkozó, *3D grafika és animáció PC-n* című könyv mintegy természetes folytatásaként, jelen munka az illető objektumok interaktív szerkesztését mutatja be.

Az interaktív grafika kiváltképpen vonzó tulajdonsága, hogy a számítógép gyorsaságát és pontosságát ötvözi a felhasználó találékonyságával. Az alkalmazott kutatás, műszaki tervezés, ipari formatervezés, építészet egyre elterjedtebb és eredményesebb eszköze. Oktatási segédeszközként, valamint a reklám- és szórakoztatóiparban ugyancsak sikerrel alkalmazható.

A könyvben bemutatott anyag különböző szinten hasznosítható. A programozásban jártas olvasó a leírt módszerek alapján adott követelményeknek megfelelő saját alkalmazásokat készíthet. A szerkesztési és megjelenítési eljárások programozási vonatkozásait számos mintaprogram szemlélteti. Aki az interpolációs és approximációs eljárások tulajdonságait kívánja megismerni, a lemez-mellékleten futtatásra kész programrendszert talál.

A sík- és térgörbék, nyílt illetve zárt felületek szerkesztéséhez szükséges kontrollpont-konfiguráció (karakterisztikus keret) kialakítását felhasználóbarát fejlesztési rendszer könnyíti meg. A számítógéppel való kommunikáció eszközeit (egérkezelés grafikus módban, grafikus kurzorok, vizuális billentyűk) értelmező és kezelő eljárások, a különböző interpolációs illetve approximációs módszereket megvalósító programok, valamint néhány összetettebb, a virtuális valóság alapelemeit szemléltető alkalmazás Turbo Pascal nyelven készült, a bemutatott elvek és algoritmusok alapján viszont tetszés szerinti programozási nyelven megírhatók.



# 1. Az interaktív számítógépkezelés célkitűzései és eszközei

A számítógép és felhasználó közötti interaktív kapcsolat lényegét úgy fogalmazhatjuk meg, hogy a gép a felhasználót állandóan tájékoztatja a folyamatban levő műveletek állapotáról, (rész)eredményeiről és a beavatkozási lehetőségekről, illetve lehetővé teszi a beavatkozást, azaz parancsokat fogad el és teljesít.

A számítógépes grafika területén a legfontosabb célkitűzések közé tartozik az interaktív szerkesztés és megjelenítés. Az előbbi azt jelenti, hogy a grafikai objektumok (görbék, felületek, testek) alakját, színét, méreteit a felhasználó változtatni tudja, anélkül, hogy a forráskódot módosítania kellene. Megfelelő felhasználói program nem is követel meg programozási ismereteket, hanem az objektumok létrehozásához és meghatározásához szükséges adatbevitel a program futása közben történik. Az szerkesztés eredményének interaktív megjelenítése lehetővé teszi a kapott objektumok különböző irányból való megfigyelését illetve a (virtuális) térben való mozgatását.

A Turbo-Pascal fejlesztési környezet (IDE) és fordító (Compiler) már önmagukban igen erős interaktív programozási eszközök, amennyiben lehetővé teszik a készülő program azonnali fordítását, ellenőrzését és futtatását, az esetleges hibák kiküszöbölését. A paraméterek változtatásával vizsgálható ezek hatása az eredményekre. Bonyolultabb feladatok esetében a sokszori újraindítás zavaró lehet és szükségessé válik egy interaktív program megírása, amely lehetővé teszi a paraméterek futás közbeni változtatását.

A számítógép és felhasználó közötti kommunikáció legelterjedtebb eszközei a billentyűzet, az "egér" és a képernyő. Az első kettő a felhasználótól a gép felé továbbítja a parancsokat, az utóbbi a gép tevékenysége eredményeinek a megjelenítését teszi lehetővé. Ugyanakkor a felhasználó a képernyőn virtuális eszközöket hozhat létre, a billentyűzettel vagy egérrel történt cselekménynek a virtuális eszköz bizonyos rendszer szerinti kezelését feleltetve meg. Az úgynevezett "joystick", amint neve is mutatja, a számítógépes játékokkal kapcsolatban jelent meg és a folyamatos helyzetközlés eszköze.

Léteznek bonyolultabb eszközök is, például a digitális rajztábla (kész műszaki rajzok számítógépre viteléhez), a "scanner" (bonyolult ábrák, fényképek rasz-



teres átalakítása és gépre vitele), különböző mozgásérzékelők (a felhasználó fejére vagy kezére szerelt eszközök, amelyek mozgásához hozzárendelik a virtuális térben való mozgást), adatgyűjtő rendszerek. Az eredmények megjelenítését szolgálják a különböző vektoros rajzolók (plotterek) vagy a számítógép által vezetett gépek (robotok). Mindezen eszközök használatát specifikus, rendszerint a gyártó által rendelkezésre bocsátott programcsomagok (szoftver) teszik lehetővé.

## 1.1. A grafikus meghajtó

A legelterjedtebb számítógép-konfigurációknak megfelelő grafikus meghajtó DOS operációs rendszerben a VGA, amelynek VGACHI üzemmódja 640x480 pontos képernyőfelbontással dolgozik, VGAMED üzemmódja pedig 640x350 pontos felbontással. Az utóbbi lehetővé teszi a két (egy aktív és egy látható) képernyős rajzolást, amely a folytonosság látszatát keltő animációk elkészítéséhez szükséges.

A grafikus meghajtó elindítására szolgál az *InitGraph* utasítás, amelyben azonban meg kell adni az EGAVGA.BGI file-t tartalmazó alkönyvtárhoz vezető útvonalat. Előnyösebb olyan programegységet (unit) írni, amely beépíti a grafikus meghajtó Object formátumú eljárását (és az esetleg szükséges karakterkészletet), ugyanis az ezt használó programok végrehajtható (\*.exe) változatai szállíthatók, azaz olyan gépen is futnak, amelyiken más elérési útvonallal találhatók meg, vagy egyáltalán nem találhatók .BGI file-ok.

A lemez mellékleten található GRAFIND.PAS unit forráskódja:

```
unit grafind; {grafikus meghajtó elindítása}

interface

uses graph;
procedure triplexfontproc;
procedure egavgadriverproc;
procedure grindhi;
procedure grindmed;

implementation

{$L trip.obj }
procedure triplexfontproc; EXTERNAL;
                                {Triplex karakterkészlet befoglalása}
```

```

{$L egavga.obj }
procedure egavgadriverproc; EXTERNAL;
                                {grafikus meghajtó befoglalása}

var gdr, gmd: integer;

procedure incl; {befoglalás}
begin
  if RegisterBGldriver(@egavgadriverproc) < 0 then begin
    writeln('Could not include EGAVGA.OBJ'); halt(1); end;
  if RegisterBGLfont(@triplexfontproc) < 0 then begin
    writeln('Could not include TRIP.OBJ'); halt(2); end;
  gdr:= vga;
end;

procedure indit; {indítás}
begin
  initgraph(gdr, gmd, "");
  if GraphResult <> grOK then begin
    writeln('Could not initiate graphic mode'); halt(3); end;
end;

procedure grindhi;
begin
  incl;
  gmd:=vgahi; {640x480 pontos képernyőfelbontás}
  indit;
end;

procedure grindmed;
begin
  incl;
  gmd:=vgamed; {640x350 pontos képernyőfelbontás}
  indit;
end;

end.

```

## 1.2. Grafikus kurzorok

A grafikus kurzorok olyan jelek, amelyek a képernyőn egerrel vagy bizonyos (például nyíl) billentyűkkel mozgathatók és segítségével képernyőpontokat vagy a képernyőn megjelenített objektumokat lehet kiválasztani. Fontos, hogy a kurzor a háttérarajzolatól függetlenül látható legyen és a kurzor mozgatása ne változtassa a háttért. Ez Turbo-Pascal-ban legkényelmesebben a *getimage* (téglalapalakú képernyőtartomány tárolása rasztermátrix (bitmap) alakban) - *putimage* (bitmap megjelenítése) utasításokkal valósítható meg.

A *putimage* parancs többféle módon végrehajtható, a megjelenítendő bitmap és a képernyő megfelelő pontjainak színei között értelmezett művelettől függően. Megjegyzendő, hogy a műveletek az illető szín kódját (0-tól 15-ig terjedő természetes szám) veszik figyelembe és nem a színt magát, tehát a paletta újraértelmezése a műveleti táblát nem befolyásolja.

Az értelmezett műveletek:

- *normalput* - a megadott helyen a bitmap-ben tárolt alakzat jelenik meg, a háttértől függetlenül
- *notput* - a megadott helyen a bitmap-ben tárolt alakzat inverze jelenik meg, a háttértől függetlenül. A paletta 16 (0-tól 15-ig) színének inverzét a  $15 - c$  képlet adja meg, ahol  $c$  az adott szín kódja.
- *orput* - a bitmap pontja és az azonos helyen levő képernyőpont színei között "vagy" műveletet végez. Műveleti táblája:

	0	1	2	3	4	5	6	7	8	9	10	11	12	13	14	15
0	0	1	2	3	4	5	6	7	8	9	10	11	12	13	14	15
1	1	1	3	3	5	5	7	7	9	9	11	11	13	13	15	15
2	2	3	2	3	6	7	6	7	10	11	10	11	14	15	14	15
3	3	3	3	3	7	7	7	7	11	11	11	11	15	15	15	15
4	4	5	6	7	4	5	6	7	12	13	14	15	12	13	14	15
5	5	5	7	7	5	5	7	7	13	13	15	15	13	13	15	15
6	6	7	6	7	6	7	6	7	14	15	14	15	14	15	14	15
7	7	7	7	7	7	7	7	7	15	15	15	15	15	15	15	15
8	8	9	10	11	12	13	14	15	8	9	10	11	12	13	14	15
9	9	9	11	11	13	13	15	15	9	9	11	11	13	13	15	15
10	10	11	10	11	14	15	14	15	10	11	10	11	14	15	14	15
11	11	11	11	11	15	15	15	15	11	11	11	11	15	15	15	15
12	12	13	14	15	12	13	14	15	12	13	14	15	12	13	14	15
13	13	13	15	15	13	13	15	15	13	13	15	15	13	13	15	15
14	14	15	14	15	14	15	14	15	14	15	14	15	14	15	14	15
15	15	15	15	15	15	15	15	15	15	15	15	15	15	15	15	15

- *xorput* - a bitmap pontja és az azonos helyen levő képernyőpont színei között "kizáró vagy" műveletet végez. Jellegzetessége, hogy megőrzi a háttérpontok színére vonatkozó információt, a művelet ugyanis, amint az alábbi műveleti táblán ellenőrizhető, zérusosztómentes (mindegyik sorban illetve oszlopban mindegyik szám egyszer és csakis egyszer fordul elő). Kétszer egymás után végrehajtva visszanyerhető az eredeti háttérarajzat, vagyis a művelet önmagának inverze. Műveleti táblája:

	0	1	2	3	4	5	6	7	8	9	10	11	12	13	14	15
0	0	1	2	3	4	5	6	7	8	9	10	11	12	13	14	15
1	1	0	3	2	5	4	7	6	9	8	11	10	13	12	15	14
2	2	3	0	1	6	7	4	5	10	11	8	9	14	15	12	13
3	3	2	1	0	7	6	5	4	11	10	9	8	15	14	13	12
4	4	5	6	7	0	1	2	3	12	13	14	15	8	9	10	11
5	5	4	7	6	1	0	3	2	13	12	15	14	9	8	11	10
6	6	7	4	5	2	3	0	1	14	15	12	13	10	11	8	9
7	7	6	5	4	3	2	1	0	15	14	13	12	11	10	9	8
8	8	9	10	11	12	13	14	15	0	1	2	3	4	5	6	7
9	9	8	11	10	13	12	15	14	1	0	3	2	5	4	7	6
10	10	11	8	9	14	15	12	13	2	3	0	1	6	7	4	5
11	11	10	9	8	15	14	13	12	3	2	1	0	7	6	5	4
12	12	13	14	15	8	9	10	11	4	5	6	7	0	1	2	3
13	13	12	15	14	9	8	11	10	5	4	7	6	1	0	3	2
14	14	15	12	13	10	11	8	9	6	7	4	5	2	3	0	1
15	15	14	13	12	11	10	9	8	7	6	5	4	3	2	1	0

- *andput* - a bitmap pontja és az azonos helyen levő képernyőpont színei között "és" műveletet végez. Műveleti táblája:

	0	1	2	3	4	5	6	7	8	9	10	11	12	13	14	15
0	0	0	0	0	0	0	0	0	0	0	0	0	0	0	0	0
1	0	1	0	1	0	1	0	1	0	1	0	1	0	1	0	1
2	0	0	2	2	0	0	2	2	0	0	2	2	0	0	2	2
3	0	1	2	3	0	1	2	3	0	1	2	3	0	1	2	3
4	0	0	0	0	4	4	4	4	0	0	0	0	4	4	4	4
5	0	1	0	1	4	5	4	5	0	1	0	1	4	5	5	5
6	0	0	2	2	4	4	6	6	0	0	2	2	4	4	6	6

7	0	1	2	3	4	5	6	7	0	1	2	3	4	5	6	7
8	0	0	0	0	0	0	0	0	8	8	8	8	8	8	8	8
9	0	1	0	1	0	1	0	1	8	9	8	9	8	9	8	9
10	0	0	2	2	0	0	2	2	8	8	10	10	8	8	10	10
11	0	1	2	3	0	1	2	3	8	9	10	11	8	9	10	11
12	0	0	0	0	4	4	4	4	8	8	8	8	12	12	12	12
13	0	1	0	1	4	5	4	5	8	9	8	9	12	13	12	13
14	0	0	2	2	4	4	6	6	8	8	10	10	12	12	14	14
15	0	1	2	3	4	5	6	7	8	9	10	11	12	13	14	15

A bemutatott műveletek segítségével több lehetőség van kurzor megjelenítésére és mozgatására. Ahhoz, hogy a nem feltétlenül téglalap alakú kurzor körül változatlan maradjon a háttér, olyan műveletet használó megjelenítésre van szükség, amely bizonyos mértékben megőrzi a háttérrajzolatra vonatkozó információt.

Az egyik lehetőség az, hogy fekete alapon fehér színű kurzort rajzolunk, bitmap-ben tároljuk (*getimage*) és *xorput* módon jelenítjük meg (*putimage*). Így a kurzor körvonalán kívül eső pontok nem változnak. Mozgatáskor előbb megismételjük a megjelenítést a régi helyen - ezáltal a kurzor eltűnik és helyén megjelenik az eredeti háttérrajzolat, azután az új helyen jelenítjük meg a kurzort. Így a mozgás folytonos lesz, az eljárás viszonylag kis kiterjedésű (célszerű a 16x16 pixeles méret) kurzor esetén meglehetősen gyors. A háttérrajzolat azonban, inverz színkóddal, a kurzoron látható.

Az alábbi, `GR_KZ_X.PAS` nevű program a bemutatott módszerrel körlap alakú kurzort definiál. A felhasznált, Turbo-Pascal rendszerben nem található unit-ok a továbbiakban kerülnek bemutatásra.

```
{ $N+ }

uses dos, crt, graph, grafind, kozos, eger_kez;

const
  a=8;
  fel = #72; le = #80; bal = #75; jobb = #77;

var
  k, l, x, y: integer;
  q: pointer; {bitmap heap-beli tárolási címére mutat}
  mm: word;
  kr: char;
```

```

begin
  grindhi;
  eger_k; {egér inicializálása}
  eger_t(12,12,631,472); {egér mozgástere}
  eger_h(320,240); {egér kezdeti helye}
  eger_n; {az implicit egérkurzor eltűnik}
  setfillstyle(1,15); fillellipse(a,a,a,a); {kurzor alakja}
  mm:=imagesize(0,0,2*a,2*a); {bitmap memóriaszükséglete}
  getmem(q,mm); {helyfoglalás a bitmap-nek a heap-ben}
  getimage(0,0,2*a,2*a,q^); {kurzor tárolása}
  for 1:=0 to 120 do {háttérmintázat}
    for k:=0 to 160 do begin
      setfillstyle(1,k*1 mod 163 mod 16); bar(k*4,1*4,k*4+4,1*4+4);
    end;
  x:=320-a; y:=240-a;
  putimage(x,y,q^,xorput);
  repeat
    repeat
      with reg do begin
        ax:=3; intr($33,reg);
        if (cx<>x+a) or (dx<>y+a) then begin {mozgatás egérrel}
          putimage(x,y,q^,xorput); {kurzor eltűnik}
          x:=cx-a; y:=dx-a;
          putimage(x,y,qA,xorput); {kurzor megjelenik az új helyen}
        end;
      end;
    until keypressed;
    kr:=readkey; {mozgatás nyíl billentyűkkel}
    putimage(x,y,q^,xorput); {kurzor eltűnik}
    case kr of
      fel: y:=y-1;
      le: y:=y+1;
      jobb: x:=x+1;
      bal: x:=x-1;
    end;
    putimage(x,y,q^,xorput); {kurzor megjelenik az új helyen}
    eger_h(x+a,y+a);
  until kr=char(27);
end.

```

Ahhoz, hogy a kurzor háttértől függetlenül látszódjék, és ugyanakkor a kurzor körül látszódjék a háttér, a következő módon járhatunk el: — kurzor tárolása

- fekete alapon fehér kurzort rajzolunk és bitmap-ben tároljuk
- fekete alapon fehérrel megrajzoljuk a kurzor körvonalát és ezt is tároljuk

## — kurzor megjelenítése

- bitmap-ben tároljuk azt a képernyőtartományt, ahová a kurzor kerül
- *orput* módon megjelenítjük a kurzort - így a kurzor a háttértől függetlenül fehér marad
- *xorput* módon megjelenítjük a kurzor körvonalát - így a kurzor fekete körvonallal jelenik meg, ezért fehér mezőben is látszani fog

## — kurzor mozgatása

- megjelenítjük a régi helyen a tárolt háttértartományt - ezáltal a kurzor eltűnik és helyén megjelenik az eredeti háttérrajzolat
- tároljuk az új helyen levő háttértartományt
- megjelenítjük a kurzort (*orput*) és a körvonalát (*xorput*).

Az alábbi, GR\_KZ\_O.PAS nevű program fekete szegélyű fehér kereszt alakú kurzort mozgat tarka háttér előtt.

(\$N+)

```
uses dos, crt, graph, grafind, kozos, eger_kez;
```

```
const
```

```
  a=8;
```

```
  fel = #72; le = #80; bal = #75; jobb = #77;
```

```
var
```

```
  k, l, x, y: integer;
```

```
  q1, q2, e: pointer; {bitmap-ek heap-beli tárolási címére mutat}
```

```
  mm: word;
```

```
  kr: char;
```

```
procedure megj;
```

```
begin
```

```
  getimage(x, y, x+2*a, y+2*a, e^); {képernyőfolt tárolása}
```

```
  putimage(x, y, q1^, orput);      {kurzor megjelenítése}
```

```
  putimage(x, y, q2^, xorput);    {kurzorkeret megjelenítése}
```

```
end;
```

```
begin
```

```
  grindhi;
```

```
  mm:=imagesize(0,0,2*a,2*a);      {bitmap memóriaszüksége}
```

```
  getmem(q1,mm) ; getmem(q1,mm) ; getmem(e,mm) ;
```

```
  {helyfoglalás a heap-ben}
```

```
  eger_k; {egér inicializálása}
```

```
  eger_t(12,12,631,472);           {egér mozgásteret}
```

```
  eger_h(320,240);                 {egér kezdeti helye}
```

```
  eger_n;                           {az implicit egérkurzor eltűnik}
```

```
  setcolor(15); setlinestyle(0,0,3);
```

```
  line(0,a,2*a,a); line(a,0,a,2*a); {kurzor alakja}
```

```

getimage(0,0,2*a,2*a,q1");      (kurzor tárolása)
setcolor(0); setlinestyle(0,0,1);
line(0,a,2*a,a); line(a,0,a,2*a); (kurzorkeret alakja)
getimage(0,0,2*a,2*a,q2^);     {kurzorkeret tárolása}
for 1:=0 to 48 do {háttérmintázat}
  for k:=0 to 64 do begin
    setfillstyle(1,k*1 mod 71 mod 16);
    bar(k*10,1*10,k*10+10,1*10+10);
  end;
x:=320-a; y:=240-a; megj;
repeat
  repeat {kurzor mozgatása egérrel}
    with reg do begin
      ax:=3; intr($33,reg);
      if (cx<>x+a) or (dx<>y+a) then begin
        putimage(x,y,e",normalput); {kurzor eltűnik}
        x:=cx-a; y:=dx-a; megj;
      end;
    end;
  until keypressed;
kr:=readkey; {kurzor mozgatása nyíl billentyűkkel}
putimage(x,y,e",normalput); {kurzor eltűnik}
case kr of
  fel: y:=y-1;
  le: y:=y+1;
  jobb: x:=x+1;
  bal: x:=x-1;
end;
megj; eger_h(x+a,y+a);
until kr=char(27);
end.

```

### 1.3. Az egér programozása

Az egér a géppel való kommunikáció igen jól használható eszköze, gondoljunk csak arra, hogy mennyivel könnyebb és érthetőbb egy fényképen rámutatni az utolsó előtti sorban balról a negyedik személyre, mint ugyanezt végigmondani, illetve a mondottak szerint megkeresni.

Az egér kezelését a \$33 - as megszakítás látja el. A funkciók és paraméterek közlése program és megszakítás-software között a regiszterek segítségével történik. Néhány, a grafikus üzemmódban használatos funkció esetén a regiszterek be- és kimeneti értékei a következők [1]:



A regiszterek értékei			A funkció leírása
funkció	bemenet	kimenet	
AX = 0		AX = 0 AX = \$FFFF BX	inicializálás - nem sikerült - megtörtént egér gombjainak száma
AX = 1			egér láthatóvá tétele
AX = 2			egér láthatatlanná tétele
AX = 3		BX bit0,1,2  CX, DX	egér koordináták lekérdezése gombok állapota: bit0-bal, bit 1-jobb, bit2-középső 1 - lenyomva, 0 - nem létezik, vagy nincs lenyomva pld.: 011 - a bal és a jobb gomb lenyomva (BX = 3) vízszintes ill. függőleges koordináta pixelben
AX = 5	BX	AX BX CX, DX	0-bal, 1-jobb, 2-középső gomb lenyomásainak száma bit0..2 - melyik gomb volt lenyomva a kért gomb lenyomásainak száma vízszintes ill. függőleges koordináta pixelben
AX = 6	BX	AX BX CX, DX	0-bal, 1-jobb, 2-középső gomb felengedései száma bit0..2 - melyik gomb volt lenyomva a kért gomb felengedéseinek száma vízszintes ill. függőleges koordináta pixelben
AX = 4	CX, DX		adott koordinátájú pontra való mozgatás
AX = 7	CX, DX		vízszintes mozgásterület bal- illetve jobb határa
AX = 8	CX, DX		függőleges mozgásterület felső- illetve alsó határa
AX = 9	BX, CX		grafikus kurzor meghatározása aktív pont helye a kurzort megjelenítő bitmap-ben kurzoralak
AX = 29	BX		képernyőkiválasztás több képernyő-lap használatakor
AX = 30		BX	képernyő számának lekérdezése
AX = 36		BH,BL CH CL	egér meghajtó lekérdezése verziószám: BH.BL típus (1-busz, 2-soros, 3-InPort, 4-PS-2, 5-HP) IRQ-szám

Ezenkívül állítható a \$33 - as megszakításhoz való másodpercenkénti hozzáfordulások száma (28-as funkció), a lépésköz Mickey/pixel-ben (15-ös funkció), az egér érzékenysége és más paraméterek. A Mickey hossz mértékegység, az egér egységnyi fizikai elmozdulását jelenti (1/200 inch).

Az EGER KEZ.PAS unit néhány, a bemutatott funkciókat felhasználó eljárást tartalmaz, amelyek megkönnyítik az egér kezelését. A hívott KOZOS.PAS unit értelmezi a regiszter típusú "reg" változót és a "lap" procedúrát. A vizuális billentyűre, ablakra vagy korongrakattintást kezelő eljárások állandói a további programegységekben értelmezett vizuális objektumok méreteinek felelnek meg.

```

{ $N+ }
unit eger_kez;

interface

uses
    graph, dos, crt, kozos;

var
    ev: byte;

procedure eger_k;
procedure eger_l; {egér megjelenik}
procedure eger_n; {egér eltűnik}
procedure eger_t(x1,y1,x2,y2: integer); {egér mozgástere}
procedure eger_h(x,y: integer); {egérhelye}
procedure katt(x1,y1,x2,y2: integer; var ny: byte);
procedure kattint(x,y: integer; vi,v2: char; var vl: char);
procedure gb_katt(x,y: integer; var ny: byte);
procedure kp_katt(x,y: integer; var ny: byte);

implementation

procedure eger_k;
begin
    lap(208,5); setcolor(0);
    with reg do begin
        ax:=0; intr($33,reg);
        if ax=0 then begin
            outtextxy(250,24,'Egér nem működik'); ev:=0;
        end else begin
            outtextxy(250,24,'Egér működik'); ev:=1;
            ax:=7; cx:=2; dx:=638; intr($33,reg);
            ax:=8; cx:=2; dx:=478; intr($33,reg);
            ax:=4; cx:=2; dx:=2; intr($33,reg);
        end;
    end;
end;
    
```

```
    delay(1000); lap(208,5); ax:=1; intr($33,reg)
end;
end;

procedure eger_1;
begin
    reg.ax:=1; intr($33,reg);
end;

procedure eger_n;
begin
    reg.ax:=2; intr($33,reg);
end;

procedure eger_t(x1,y1,x2,y2: integer); {egér mozgástere}
begin
    with reg do begin
        ax:=7; cx:=x1; dx:=x2; intr($33,reg);
        ax:=8; cx:=y1; dx:=y2; intr($33,reg);
    end;
end;

procedure eger_h(x,y: integer); {egér helye}
begin
    with reg do begin
        ax:=4; cx:=x; dx:=y; intr($33,reg);
    end;
end;

procedure katt(x1,y1,x2,y2: integer; var ny: byte);
    {téglalapra való kattintás ellenőrzése}
begin
    ny:=0;
    with reg do
        if (cx>x1) and (cx<x2) and (dx>y1) and (dx<y2) then ny:=1;
    end;
end;

procedure kattint(x,y: integer; v1,v2: char; var v1: char);
    {kételemű lajstromból való választás ablakr kattintással}
var n: byte;
begin
    with reg do begin
        ax:=3; intr($33,reg);
        if bx=1 then begin
            katt(x+40,y+21,x+100,y+34,n); if n=1 then v1:=v1;
            katt(x+150,y+21,x+210,y+34,n); if n=1 then v1:=v2;
            bx:=0; eger_h(x+120,y+35);
        end;
    end;
end;
if keypressed then v1:=upcase(readkey);
end;
```

```

procedure gb_katt(x,y: integer; var ny: byte); {gombnyomás egérrel}
begin
  with reg do begin
    ax:=3; intr($33,reg);
    if bx=1 then katt (x, y, x+70, y+12, ny) ;
  end;
end;

procedure kp_katt(x,y: integer; var ny: byte);
                                     {korongrakattintás egérrel}
begin
  with reg do begin
    ax:=3; intr($33,reg);
    if bx=1 then begin
      if sqr(cx-x)+sqr(dx-y)<10 then ny:=1 else ny:=0;
    end;
  end;
end;

end.

```

## 1.4. Egérkurzor alakjának meghatározása grafikus módban

Erre a 33-as megszakítás 9-es funkciója szolgál. A kurzor maga két, egyenként 16x16 pontból álló bitmap, az úgynevezett képernyőmaszk és kurzormaszk, és az illető helyen levő háttérpontok színe közötti műveletek folytán jelenik meg, a következő művelet tábla szerint:

Képernyőmaszk (XOR-maszk)	Kurzormaszk (AND -	Eredmény (képernyőpont színe)
0	0	0 (fekete)
0	1	15 (fehér)
1	0	c (a háttérpont színe)
1	1	15-c (a háttérpont kiegészítő színe)

Ezt a műveleti táblát szemlélteti az EG\_KZ\_K.PAS nevű program első része (az első billentyűleütésig).

A maszkok egyenként 16 *word* típusú állandóban (a 16-os számrendszerben felírt négyjegyű szám) tárolhatók. Egy-egy állandó a megfelelő bitmap egy-egy sorának pontjait tárolja. Egy 16-os számrendszerbeli szám minden számjegyének 4 darab 2-es számrendszerbeli - bináris - számjegy felel meg, ez összesen 16 bináris számjegy (0 vagy 1).

Ugyanabban a programban több kurzoralakkal is dolgozhatunk, amint azt az említett program második fele is szemlélteti, amelyben egy mosolygó arc "kacsint" a felhasználóra, azzal a szemével, amelyik egérgombot az utóbbi éppen lenyomja.

```
{ $N+ }
```

```
uses dos, crt, graph, grindhi, kozos, eger_kez;
```

```
type
```

```
  gr_kr = record
    ernyo, egerm: array[0..15] of word;
    {képernyőmaszk és egérmask (kurzormaszk)}
    kpx, kpy: integer; {aktív ("forró") pont helye a bitmap-ben}
  end;
```

```
const
```

```
  kurzor: gr_kr = {a maszkok szerepét szemléltető, "sakktábla" kurzor}
    (ernyo: ($0000, $0000, $0000, $0000, $0000, $0000, $0000, $0000,
      $FFFF, $FFFF, $FFFF, $FFFF, $FFFF, $FFFF, $FFFF, $FFFF);
    egerm: ($00FF, $00FF, $00FF, $00FF, $00FF, $00FF, $00FF, $00FF,
      $00FF, $00FF, $00FF, $00FF, $00FF, $00FF, $00FF, $00FF); kpx: 8;
    kpy: 8);
```

```
  kurzor0: gr_kr = {mosolygó arc két nyitott szemmel}
    (ernyo: ($FC3F, $FOOF, $E007, $C003, $8001, $8001, $0000, $0000,
      $0000, $0000, $8001, $8001, $C003, $E007, $FOOF, $FC3F);
    egerm: ($0000, $03C0, $OFF0, $1FF8, $33CC, $2DB4, $6DB6, $73CE,
      $7FFE, $7FFE, $37EC, $3BDC, $1C38, $OFF0, $03C0, $0000);
    kpx: 8; kpy: 8);
```

```
  kurzorb: gr_kr = {mosolygó arc lehunyt bal szemmel}
    (ernyo: ($FC3F, $FOOF, $E007, $C003, $8001, $8001, $0000, $0000,
      $0000, $0000, $8001, $8001, $C003, $E007, $FOOF, $FC3F);
    egerm: ($0000, $03C0, $OFF0, $1FF8, $3FCC, $3FB4, $6DB6, $73CE,
      $7FFE, $7FFE, $37EC, $3BDC, $1C38, $OFF0, $03C0, $0000);
    kpx: 8; kpy: 8);
```

```
  kurzorj: gr_kr = {mosolygó arc lehunyt jobb szemmel}
    (ernyo: ($FC3F, $FOOF, $E007, $C003, $8001, $8001, $0000, $0000,
      $0000, $0000, $8001, $8001, $C003, $E007, $FOOF, $FC3F);
    egerm: ($0000, $03C0, $OFF0, $1FF8, $33FC, $2DFC, $6DB6, $73CE,
      $7FFE, $7FFE, $37EC, $3BDC, $1C38, $OFF0, $03C0, $0000);
    kpx: 8; kpy: 8);
```

```

kurzor2: grkr =           {mosolygó arc két lehunytt szemmel}
  (ernyo: ($FC3F, $FOOF, $E007, $C003, $8001, $8001, $0000, $0000,
    $0000, $0000, $8001, $8001, $C003, $E007, $FOOF, $FC3F);
  egerm: ($0000, $03C03$OFFO, $1FF8, $3FFC, $3FFC, $6DB6, $73CE,
    $7FFE, $7FFE, $37EC, $3BDC, $1C38, $OFFO, $03C03$0000);
  kpx: 8; kpy: 8);

```

**var**

```

  k, l, b0: byte;
  rega: registers;

```

**procedure** kurz\_alakkurzor: gr\_kr); (kurzor alakjának váltortatása)  
**begin**

```

  with kurzor do
    with rega do begin
      ax:=9;
      bx:=kpx;
      cx:=kpy;
      dx:=ofs(ernyo);
      es:=seg(ernyo);
    end;
  intr($33,rega);

```

**end;**

**begin**

```

  grafind; eger_k; eger_n;
  for l:=0 to 12 do {háttérmintázat}
    for k:=0 to 16 do begin
      setfillstyle(1,k*1 mod 17 mod 16);
      bar(k*40-40,1*40-40,k*40,1*40);
    end;
  kurz_alak(kurzor); eger_h(320,240); eger_l;
  readln; eger_n;
  for l:=0 to 120 do {háttérmintázat}
    for k:=0 to 160 do begin
      setfillstyle(1,k*1 mod 163 mod 16); bar(k*4,1*4,k*4+4,1*4+4);
    end;

```

**end;**

```

  kurz_alak(kurzor0); eger_h(320,240); eger_l;
  repeat
    with reg do begin
      ax:=3; intr($33,reg);
      if bx<>b0 then
        case bx of
          0: kurz_alak(kurzor0);
          1: kurz_alak(kurzor0);
          2: kurz_alak(kurzor1);
          3: kurz_alak(kurzor2);
        end;
      b0 := bx;
    end;
  until keypressed;
  closegraph;

```

**end.**

## 1.5. Interaktív kommunikáció

A továbbiakban az interaktív kommunikációnak a számítógépes grafikában használatos elemeit és ezek grafikus módban - billentyűzet vagy egér segítségével - való megvalósítását mutatjuk be. Lényeges jellemzőjük az egyértelműség, azaz bármely, a billentyűzeten illetve egérrel végbement eseménynek az adott helyzetben egyértelműen meg kell feleltetni egy parancsot. Ugyanakkor az egyértelműség általában nem kölcsönös, előfordulhat, hogy ugyanazt a parancsot különböző módon adhatjuk meg (például billentyű lenyomásával vagy egérrel is).

### 1.5.1. Képernyőpont meghatározása

Történhet billentyűzetről - grafikus kurzor segítségével - úgy, hogy a grafikus kurzort mozgatjuk a nyíl billentyűk segítségével, míg a kívánt helyre kerül, akkor leütjük az "Enter"-t. Ennél gyorsabb a képernyőkoordináták számszerű megadása. Legkényelmesebb azonban az egérrel rákattintani a kívánt pontra. Viszonylag jó felbontású képernyő esetén, amikor a képernyőpontok "aprók", azaz két különböző egymásmelletti pont között a távolság kicsi, szükség lehet egy visszajelzésre, vagyis az egérkurzor helyének kiírására, különösen akkor, ha a környező képernyőpontok ugyanolyan színűek, mint a keresett pont (az ábra részletei nem teszik lehetővé a kívánt pont azonosítását).

Ide tartozik még a grafikus kurzorok vagy más grafikus objektumok képernyőn való mozgatása, abban az értelemben, hogy ezek mindenkor új helyzetét a nyíl billentyűk sorozatos leütésével (relatív elmozdulás) vagy az egér megfelelő mozgásával adjuk meg. Ezeket a lehetőségeket mutatják be a már ismertett GR\_KZ\_X.PAS és GR\_KZ\_O.PAS programok.

### 1.5.2. Adatbevitel

Történhet billentyűzet segítségével úgy, hogy egy számokból, esetenként előjelből és tizedesponthból is álló karaktersort (string) ütünk le (*readkey* utasítás), majd átalakítjuk egész vagy valós számmá (*val* utasítás). Meg kell valósítani a leütött karakterek kiírását és lehetővé kell tenni a beírt érték változtatását is. Következésképpen szükség van egy billentyűre, amely letörli az utolsó karaktert (pld. a "Backspace") és egyre, amellyel véglegesítjük a beírt értéket (pld. az

"Enter"). Az alábbi, KOZOS.PAS nevű unit tartalmazza az *iras* procedúrát, amely a karaktersor bevitelét valósítja meg a felsorolt szempontok szerint.

```
{ $N+ }
unit kozos;

interface
  •

uses graph, dos, crt;

type
  kars = set of char;

const
  betu: kars = ['A'..'Z', '0'..'9', '-', '.'];
  b1: real=1; b2: real=0;
  blu: real=1; b2u: real=0;           {görbék  $\beta$ -spline közelítéséhez}
  blv: real=1; b2v: real=0;           {felületek  $\beta$ -spline közelítéséhez}
  ku: real=0.5; kv: real=0.5;         {felületek helyi ellenőrzésű spline
                                       közelítéséhez}

type
  pont = object (síkbeli pont objektum)
    xp, yp: integer;
    procedure uj(ux, uy: integer);
  end;

var
  v, qe, qf, qr, qm, qk, qu, qa, qj, qd, elj, obj: char;
  sr: searchrec;
  x, y, z, hk, sz, szx, szy, k, l: integer;
  fe, ko: byte;
  kn: string[12];
  reg: registers; (egérkezeléshez)
  k0: real;
procedure kkeret(xa, ya, xb, yb, ka, kb: integer) ;
procedure bkeret(xa, ya, xb, yb, ka, kb: integer) ;
procedure lap(x,y: integer);
procedure ablak(x1,y1,x2,y2: integer);
procedure iras(lm, xi, yi: integer);
procedure gomb(x,y: integer; kbet: char; szov: string; nv: byte);
procedure keret(x0, y0: integer);
procedure eltl;
procedure fesz;
procedure param;
implementation
```



```
procedure pont.uj(ux, uy: integer);  
begin  
    xp:=ux;  
    yp :  
=uy; end;  
  
procedure kkeret(xa, ya, xb, yb, ka, kb: integer);  
    {térhatású külső keret}  
var  
    kr: array [ 1 .. 4, 1 .. 4 ] of pont;  
begin  
    kr[1,1].uj(xa,ya); kr[1,2].uj(xa-ka,ya-kb); kr[1,3].uj(xa-ka,yb+kb);  
    kr[1,4].uj(xa,yb); kr[2,1].uj(xa,ya); kr[2,2].uj(xb,ya);  
    kr[2,3].uj(xb+ka,ya-kb); kr[2,4].uj(xa-ka,ya-kb); kr[3,1].uj(xa,yb);  
    kr[3,2].uj(xb,yb); kr[3,3].uj(xb+ka,yb+kb); kr[3,4].uj(xa-ka,yb+kb);  
    kr[4,1].uj(xb,ya); kr[4,2].uj(xb+ka,ya-kb); kr[4,3].uj(xb+ka,yb+kb);  
    kr[4,4].uj(xb,yb); setcolor(0);  
    setfillstyle(1,3); fillpoly(4,kr[4]);  
    setfillstyle(1,15); fillpoly(4,kr[1]);  
    setfillstyle(1,15); fillpoly(4,kr[2]);  
    setfillstyle(1,3); fillpoly(4,kr[3]);  
end;  
  
procedure bkeret(xa, ya, xb, yb, ka, kb: integer);  
    {térhatású belső keret}  
var  
    kr: array[1..4,1..4] of pont;  
begin  
    kr[1,1].uj(xa,ya);    kr[1,2].uj(xa+ka,ya+kb);    kr[1,3].uj(xa+ka,yb-kb);  
    kr[1,4].uj(xa,yb);    kr[2,1].uj(xa,ya);    kr[2,2].uj(xb,ya);    kr[2,3].uj(xb-  
ka,ya+kb);    kr[2,4].uj(xa+ka,ya+kb);    kr[3,1].uj(xa,yb);    kr[3,2].uj(xb,yb);  
    kr[3,3].uj(xb-ka,yb-kb);    kr[3,4].uj(xa+ka,yb-kb);    kr[4,1].uj(xb,ya);  
    kr[4,2].uj(xb-ka,ya+kb);    kr[4,3].uj(xb-ka,yb-kb);  
    kr[4,4].uj(xb,yb); setcolor(0);  
    setfillstyle(1,15); fillpoly(4,kr[4]);  
    setfillstyle(1,3); fillpoly(4,kr[1]);  
    setfillstyle(1,3); fillpoly(4,kr[2]);  
    setfillstyle(1,15); fillpoly(4,kr[3]);  
end;  
  
procedure lap(x,y: integer); {kommunikációs lap}  
begin  
    setfillstyle(1,11); bar(x,y,x+240,y+40);  
    kkeret(x, y, x+240, y+41, 3, 3);  
end;  
  
procedure ablak(x1,y1,x2,y2: integer); {kommunikációs ablak}  
begin  
    setfillstyle(1,0); bar(x1,y1,x2,y2); bkeret(x1,y1,x2,y2+1,2,2);  
end;
```

```

procedure iras(lm, xi, yi: integer);
    {karakter sor beírása koordinátameghatározás céljából}
begin
    setfillstyle(1,0); setcolor(15);
    repeat
        qr:=upcase(readkey);
        if qr<>chr(13) then
            if (qr=chr(8)) and (1>1) then begin {utolsó karakter törlése}
                bar(xi+(1-1)*8,yi,xi+1*8,yi+8); delete(kn,1-1,1); 1:=1-1;
            end else if 1<lm then if qr in betu then begin {karakterbeírás}
                kn:=kn+qr; outtextxy(xi+1*8,yi+1,qr); 1:=1+1;
            end;
        until (qr=chr(13)) or (qr=chr(27)); {kilépés "Enter" vagy "ESC"
            leütésével}

end;

procedure gomb(x,y: integer; kbet: char; szov: string; nv: byte);
    {vizuális billentyű (gomb) megjelenítése}
begin
    case nv of
        0:kkeret(x,y,x+70,y+12,1,1); {elengedve}
        1:bkeret(x-1,y-1,x+71,y+13,1,1); {lenyomva}
    end;
    setcolor(12); outtextxy(x+4,y+2,kbet); {aktív kezdőbetű}
    setcolor(0); outtextxy(x+12,y+2,szov); {név többi betűje}
end;

procedure keret(x0, y0: integer); {aktív szerkesztési mező}
begin
    setfillstyle(1,11); bar(0,0,640,480);
    bkeret(x0-6,y0-406,x0+606, y0+6,4,4);
end;

procedure eltl; {új eltolásérték megadása}
begin
    repeat
        lap(208,5); setcolor(0); outtextxy(232,26,'Eltolás:');
        ablak(330,19,375,32); kn:= " "; 1:=1; iras(5,330,21); val(kn,b1,hk);
    until hk=0;
end;

procedure fesz; {új feszültségérték megadása}
begin
    repeat
        lap(208,5); setcolor(0); outtextxy(232,26,'Feszültség:');
        ablak(330,19,375,32); kn:= " "; 1:=1; iras(5,330,21); val(kn,b2,hk);
    until hk=0;
end;

```

```

procedure param;
  (érintőhossz-együttható megadása helyi ellenőrzésű spline
  interpolációhoz)
begin
  repeat
    lap(208,5); setcolor(0); outtextxy(232,26,'Együttható:');
    ablak(330,19,375,32); kn:=""; l:=1; iras(5,330,21); val(kn,k0,hk);
    until hk=0;
    if k0>1 then k0:=1;
    if k0<0 then k0:=0;
end;

end.

```

Egy másik lehetőség egy virtuális eszköz, a potenciométer értelmezése és használata. Ez arra szolgál, hogy adott változó értékét növelni vagy csökkenteni tudjuk kurzorának mozgatásával. A kurzormozgatás történhet billentyűzetről vagy egérről (ha a képernyőn látható és létezik a megfelelő kezelési eljárás).

A VJS.PAS program a "joystick" nevű eszközt modellezi. A képernyő jobb alsó sarkában levő négyzet alakú mezőben megjelenik a "fogantyú", amelyet az egérral megfoghatunk és az egér bal gombját lenyomva mozgathatunk. Ha az egérgombot felengedjük, a fogantyú visszaugrik a négyzet közepére. A program egyébként mozgástani modellt, a fogantyúval egy mozgó pont (körlap) gyorsulásának vízszintes és függőleges összetevőit szabályozzuk. A pont egy négyzet alakú pályán mozog, a mindenkori bemenő gyorsulásnak megfelelően módosul a sebessége és helyzete, a pálya szélével pedig rugalmasan ütközik. Egyszerű véges differenciás közelítést használva, minden időlépés után:

$$\begin{cases} v_x = v_{x0} + a_x \tau \\ v_y = v_{y0} + a_y \tau \end{cases} \quad \begin{cases} x = x_0 + (v_{x0} + v_x) \tau / 2 \\ y = y_0 + (v_{y0} + v_y) \tau / 2 \end{cases} \quad (1.1)$$

ahol  $\tau$  az időlépés, a 0 index pedig a hely és sebesség időlépés kezdetén való értékeit jelenti. A pálya falaival való ütközés a sebességnek a falra merőleges összetevőjének előjelét változtatja meg.

(S+N+)

**uses**

crt, dos, graph, grafind, eger kez, kozos;

**const**

a1=50; a2=470; a3=260; b1=20; b2=440; b3=230; tau=5e-5; r=10;

```

p e
kor = object (pont)
  xr, yr: integer;
  fg, sz: byte;
  q: pointer; {bitmap heap-bell tárolási címére mutat}
  procedure koord(x0, y0: integer);
  procedure megj;
  procedure eltn;
end;

  b: kor; {a - gyorsulást módosító "fogantyú", b - mozgó pont}
  y1, x2, y2, x3, y3: integer;
  ze: longint;
  ks: string;
  vx, vy, vx0, vy0, ux, uy: real;
  . word;

procedure kor.koord(x0, y0: integer); {középpont képernyőkoordinátái}
begin
  xr:=x0+xp;
  .r:=y0`yp;
end;

procedure kor.megj; {körlap megjelenik}
begin
  =etimage (xr-r, yr-r, xr+r, yr+r, q^ ) ;
  setfillstyle (1, sz) ; setcolor (0) ; fillellipse (xr, yr, r, r) ;
end;

procedure kor.eltn; {körlap eltűnik}
begin
  putimage(xr-r, yr-r, q^, normalput);
end;

procedure eger_f; {megfogás}
begin
  with reg do begin
    ax:=3; intr($33, reg);
    if (bx=1) and (getpixel(cx, dx)=a.sz) and (a.fg=0) then a.fg:=1;
  end;
end;

procedure eger_e; {elengedés}
begin
  with a do
    with reg do begin
      ax:=3; intr($33, reg);
      if (bx=0) and (fg=1) then begin
        fg :=0;
        eger_n; eltn; uj(0,0); koord(x3,y3); megj; eger_l; end;
        {az elengedett "fogantyú" visszaugrik nyugalmi helyzetébe}
      end;
    end;
end;

```

```

procedure eger_v; (egér viszi a körlapot)
begin
  with a do
    with reg do begin
      ax:=3; intr($33,reg);
      if (fg=1) and (sqr(cx-xr)+sqr(dx-yr)>2) then begin
        eger_n; eltn; uj(cx-x3,y3-dx); koord(x3,y3); megj; eger 1;
      end;
    end;
  end;
begin
  grindhi; mm:=imagesize(0,0,2*r,2*r); getmem(a.q,mm); getmem(b.q,mm);
  ux:=0; uy:=0;
  eger k; eger_n; cleardevice;
  setfillstyle(1,11); bar(0,0,getmaxx,getmaxy);
  x1:=getmaxx-110; y1:=getmaxy-110;
  x2:=getmaxx-10; y2:=getmaxy-10;
  x3:=getmaxx-60; y3:=getmaxy-60;
  ablak(a1-2,b1-2,a2+2,b2+2); ablak(x1-2,y1-2,x2+2,y2+2);
  setcolor(7);
  for k:=-4 to 4 do begin
    line(x1,y3+10*k,x2,y3+10*k); line(x3+10*k,y1,x3+10*k,y2);
    line(a1,b3+50*k,a2,b3+50*k); line(a3+50*k,b1,a3+50*k,b2);
  end;
  getimage(x3-r,y3-r,x3+r,y3+r,a.q^);
  getimage(a3-r,b3-r,a3+r,b3+r,b.q^);
  setcolor(0);
  for k:=-4 to 4 do begin
    line(x1-10,y3+10*k,x1,y3+10*k); line(x3+10*k,y1-10,x3+10*k,y1);
    line(a1-10,b3+50*k,a1,b3+50*k); line(a3+50*k,b2,a3+50*k,b2+10);
    str(k*10:3,ks);
    if not odd(k) then outtextxy(x1-35,y3+10*k-3,ks);
    if k mod 4 = 0 then outtextxy(x3+11*k-18,y1-20,ks);
    str(k*50:4,ks);
    outtextxy(a1-50,b3+50*k-3,ks);
    outtextxy(a3+50*k-20,b2+15,ks);
  end;
  a.uj(0,0); a.sz:=12; a.koord(x3,y3); a.megj; a.fg:=0;
  b.uj(0,0); b.sz:=10; b.koord(a3,b3); b.megj; b.fg:=0;
  eger_t(x1+r,y1+r,x2-r,y2-r); eger_h(x3,y3); eger_l;
  outtextxy(500,12,'Idő:'); outtextxy(625,12,'s');
  ablak(560,5,620,25);
  outtextxy(500,45,'Hely:'); ablak(500,80,550,100);
  ablak(570,80,620,100);
  outtextxy(507,65,'x      y'); outtextxy(520,110, 'pixel');
  outtextxy(500,135,'Sebesség:');
  ablak(500,170,550,190);      ablak(570,170,620,190);
  outtextxy(500,150,'v      v'); outtextxy(507,155,'x      y');
  outtextxy(520,200, 'pixel / s');
  outtextxy(500,225,'Gyorsulás:'); ablak(500,260,550,280);
  ablak(570,260,620,280);

```

```

outtextxy(500,240,'a          a'); outtextxy(507,245,'x          y');
outtextxy(520,290, 'pixel / s»);
t:=0; te:=0; vx0:=0; vy0:=0;
repeat
    t:=t+tau;
    eger_f; eger_v; eger_e; {"fogantyú" kezelése}
    vx:=vx0+a.xp*tau; vy:=vy0+a.y*tau; {sebesség kiszámítása}
    if trunc(6*(t+tau))>trunc(6*t) then begin {10 másodpercenkénti kiírás}

        if trunc(t)>te then te:=te+1;
        setfillstyle(1,0);
        bar(563,8,617,22);
        bar(503,83,547,97); bar(573,83,617,97);
        bar(503,173,547,187); bar(573,173,617,187);
        bar(503,263,547,277); bar(573,263,617,277);
        setcolor(15); str(te:7,ks); outtextxy(562,12,ks);
        str(b.xp:5,ks); outtextxy(504,87,ks); {hely kiírása}
        str(b.y*5,ks); outtextxy(574,87,ks);
        str(vx:5:0,ks); outtextxy(504,177,ks); {sebesség kiírása}
        str(vy:5:0,ks); outtextxy(574,177,ks);
        str(a.xp:5,ks); outtextxy(504,267,ks); {gyorsulás kiírása}
        str(a.y*5,ks); outtextxy(574,267,ks);
    end;
    ux:=ux+(vx0+vx)*tau; uy:=uy+(vy0+vy)*tau; {elmozdulás kiszámítása}
    if (ux>200) or (ux<-200) then vx:=-vx; {ütközések kezelése}
    if (uy>200) or (uy<-200) then vy:=-vy;
    if sqr(ux-b.xp)+sqr(uy-b.y*5)>2 then begin {mozgó pont megjelenítése}
        b.uj(round(ux),round(uy)); b.eltn; b.koord(a3,b3); b.megj; end;
    vx0:=vx; vy0:=vy;
until keypressed;
end.
    
```

### 1.5.3. Lajstromelem kiválasztása

A parancsközlés fontos eszköze. Természetesen léteznie kell a lajstromnak, amely utasítások, eljárások vagy vizuális objektumok rendezett halmaza, és a lajstromelemek valamilyen azonosítójának, amelynek alapján ki lehet választani. Az azonosító lehet sorszám, "forró" betű, vizuális billentyű vagy ikon. A kiválasztás az azonosításnak megfelelően több módon történhet:

- sorszám beütésével
- a megfelelő "forró" betű leütésével
- egérrel történő billentyűre vagy ikonra kattintással

- "Enter" leütésével, amennyiben létezik megfelelően jelzett prezumtív (előre kijelölt) kiválasztás, amely bizonyos (például "Tab") billentyű leütésével változtatható

Amennyiben a kiválasztás eredménye később jelentkezik, vagy nem egyértelmű, a kiválasztás tényét a kiválasztott elem megjelenítésének megváltoztatásával jelezni kell.

A GOMB KEZ.PAS nevű unit az interaktív görbe- illetve felületszerkesztési programok számára teszi lehetővé vizuális billentyűk kezelését, egérrel való rákattintással vagy (a gomb nevében más színnel írt) forró betű leütésével. A KOZOS.PAS unit *gomb* eljárása térhatású vizuális billentyűt jelenít meg, esetenként lenyomott vagy felengedett állapotban.

```
{$N+}
unit gomb kez; {vizuális billentyűk kezelése}

interface
uses graph, crt, kozos, eger_kez;

const
  gb: array [ 1..10 ] of byte = (0,0,0,0,0,0,0,0,0,0);

procedure parancs(pr: byte);
procedure par_katt(pr: byte; var vl: char);
procedure eljárás;
procedure elj_katt(var vl: char);
function gombny(valasz: kars): boolean;
procedure bvalt;

implementation

procedure parancs(pr: byte);
    {vizuális billentyűk meghatározása parancsközléshez}
begin
  gomb(460,4,'V','álaszt',gb[1]); gomb(550,38,'Q','-
  kilép',gb[4]); gomb(460,38,'E','redmény',gb[2]);

  case pr of
  1,3,4:begin
    gomb(460,21,'B','eszúr',gb[6]); gomb(550,21,'T','öröl',gb[5]);
    gomb(550,4,'G','örbe',gb[3]);
  end;
  2:begin
    gomb(460,21,'F','elület',gb[3]);
    if obj='F' then begin { $\beta$ -spline felületekhez}
      setfillstyle(1,11);
```

```

bar(80,465,170,479); bar(220,465,310,479);
bar.(360, 465, 470, 479) ; bar (520, 465, 640, 479) ;
setcolor(0);
str(blu:3:2, kn); outtextxy(2,470,'Eltolás_u = '+kn);
str(b2u:2:1, kn); outtextxy(292,470,'Feszültség_u = '+kn);
str(biv:3:2, kn); outtextxy(145,470,'Eltolás_v = '+kn);
str(b2v:2:i, kn); outtextxy(471,470,'Feszültség_v = '+kn);
end;
if obj='H' then begin {helyi helyi ellenőrzésű spline
felületekhez}
setfillstyle(1,11); bar(100,465,570,479); setcolor(0);
str(ku:3:2, kn); outtextxy(120,470,'k0_u = '+kn);
str(kv:3:2, kn); outtextxy(340,470,'k0_v = '+kn); end;
end;
end;
case pr of
1:begin
if gb[3]=1 then setcolor(13) else setcolor(0);
outtextxy(28,5,'Interpolációs eljárás');
end;
3:begin
setcolor(0);
outtextxy(20,20,'COONS INTERPOLACIO');
outtextxy(134,10,', ,');
end;
4:begin
setfillstyle(1,11); bar(75,2,155,17); bar(110,37,200,52);
setcolor(0);
str(b1:3:2, kn); outtextxy(20,5,'Eltolás = '+kn);
str(b2:3:2, kn); outtextxy(35,40,'Feszültség = '+kn);
end;
end;
procedure par_katt(pr: byte; var vl: char); {parancs kiválasztása}
var fn: byte;
gb_katt(460,4,fn); if fn=1 then vl:='V'; {egérrel}
gb_katt(460,38,fn); if fn=1 then vl:='E'; gb
gb_katt(550,38,fn); if fn=1 then vl:='Q';

case pr of
1:begin
gb_katt(460,21,fn); if fn=1 then vl:='B';
gb_katt(550,4,fn); if fn=1 then vl:='G';
gb_katt(550,21,fn); if fn=1 then vl:='T';
gb_katt(30,21,fn); if fn=1 then vl:='A'; {  $\beta$ -spline görbékhez}
gb_katt(120,21,fn); if fn=1 then vl:='C';
end;
2:begin
gb_katt(460,21,fn); if fn=1 then vl:='F';

```



```
        gb_katt(550,4,fn); if fn=1 then vl:='A'; { $\beta$ -spline felületekhez}
        gb_katt(550,21,fn);if fn=1 then vl:='C'; { $\beta$ -spline és helyi
                                                ellenőrzésű spline felületekhez}
    end;
end;
if keypressed then vl:=upcase(readkey); {billentyűzetről}
end;

procedure eljárás;
    (vizuális billentyűk meghatározása interpolációs
    eljárás kiválasztásához)
begin
    gomb(30,21,'1',' Coons',gb[7]); gomb(30,38,'2',' Bézier',gb[8]);
    gomb(120,21,'3',' Spline',gb[9]); gomb(120,38,'4',' B-spl.',gb[10]);
end;

procedure elj_katt(var vl: char); {interpolációs eljárás kiválasztása}
var fn: byte;
begin
    gb_katt(30,21,fn); if fn=1 then vl:='1'; {egérrel}
    gb_katt(30,38,fn); if fn=1 then vl:='2';
    gb_katt(120,21,fn); if fn=1 then vl:='3';
    gb_katt(120,38,fn); if fn=1 then vl:='4';
    if keypressed then vl:=upcase(readkey); {billentyűzetről}
end;

function gombny(valasz: kars): boolean; {gombnyomás detektálása}
begin
    if reg.bx=1 then par_katt(1,gr);
    if qr in valasz then gombny:=true else gombny:=false;
end;

procedure bvalt;
    (vizuális billentyűk meghatározása (3-spline paraméter
    kiválasztásához)
begin
    case obj of
    'G':begin {görbe}
        gomb(30,21,'A',' - elt.',gb[7]); gomb(120,21,'C',' - fesz.',gb[8]);
    end;
    'F':begin {felület}
        gomb(550,4,'A',' - elt.',gb[7]); gomb(550,21,'C',' - fesz.',gb[8]);
    end;
    'H':begin {felület}
        {vizuális billentyű helyi ellenőrzésű spline paraméter
        kiválasztásához}
        gomb(550,21,'C',' - k0',gb[8]); end;
    end;
end;
end;

end.
```

### 1.5.4. Tárolás, beolvasás

Bonyolult szerkesztési feladatokat megoldó vagy nagy mennyiségű számítást végző programok esetében, amikor a konfiguráció betáplálása és módosítása sok figyelmet és időt igényel, illetve a program futása hosszadalmas, fontos lehetővé tenni a konfiguráció illetve az eredmények tárolását más alkalommal való felhasználás vagy más programmal végzett eredmény-feldolgozás céljából. A Turbo-Pascal *findfirst* utasítása lehetővé teszi megadott nevű file létezésének ellenőrzését, így elkerülhető a futási hiba, ha nem létező file-t próbálunk olvasni, illetve az ugyancsak bosszantó incidens, hogy már létező file-ra, amelyet nem szándékozunk letörölni, ugyanazon néven ráírjunk egy újat.

Ezeknek a követelményeknek tesz eleget a FILE\_KEZ.PAS unit, amely az olvasási és tárolási eljárásokat készíti elő.

```
{N+}
unit file kez;

interface

uses dos, crt, graph, kozos, kerdesek;

procedure olvas(ext: string);
procedure ment(ext: string);

implementation

procedure ment(ext: string);
begin
  v:='I';
  repeat
    lap(200,200); setcolor(0); outtextxy(262,208,'File neve ?');
    ablak(270,219,350,232);
    setfillstyle(1,0); outtextxy(350,222,'.'+ext); setcolor(15);
    kn:=" "; l:=1; iras(9,270,221);
  until l>1;
  kn:=kn+'.'+ext;
  findfirst(kn,0,sr); (file létezésének ellenőrzése)
  if doserror=0 then rair; (ráírási jóváhagyás lekérdezése)
end;

procedure olvas(ext: string);
begin
  lap(200,200); setcolor(0); outtextxy(262,208,'File neve
  ?'); ablak(270,219,360,232);
  setcolor(0); outtextxy(364,222,'.'+ext); kn:= " "; k:=1;
  setcolor(15); setfillstyle(1,0);
```

```
kn:=""; l:=1; iras(9,270,222);
kn:=kn+'.'+text;
findfirst(kn,0,sr); {file létezésének ellenőrzése}
if doserror<>0 then begin
  lap(200,200); setcolor(0);
  outtextxy(260,220,'Nincs ilyen file'); ko:=0; delay(2000);
lap(200,200);
  end else ko:=1;
end;

end.
```

A KERDESEK.PAS unit tartalmazza a *rair* procedúrát néhány, az interpolációs programok által hívott, kommunikációs eljárás mellett. A KOZOS.PAS unit *kattint* eljárása teszi lehetővé a válaszadást egerrel (a választ tartalmazó ablakra kattintva) vagy billentyűzetről (a válasz forró betűjét leütve).

```
{$N+}
unit kerdesek;

interface

uses crt, graph, kozos, eger kez;

procedure kerdez(x,y: integer; szov, kd1, kd2: string; kb1, kb2:
char) ;
procedure vege;
procedure rair;
procedure ujkonf;
procedure alak;
procedure megj;
procedure kpl;
procedure b_spline;
procedure vlt;
procedure kp_er;
procedure evlt;
procedure ujra;
procedure irany;
procedure egyutth;

implementation

procedure kerdez(x,y: integer; szov, kd1, kd2: string; kb1, kb2: char)
;
  {kételemű lajstromból való választás előkészítése}
begin
  lap(x,y); setcolor(0); outtextxy(x+7,y+8,szov);
  ablak(x+40,y+21,x+104,y+34); ablak(x+150,y+21,x+21.0,y+34);
  setcolor(12); outtextxy(x+45,y+24,kb1); outtextxy(x+155,y+24,kb2);
```

```

setcolor(15); outtextxy(x+53,y+24,kd1); outtextxy(x+163,y+24,kd2);
eger_t(x,y,x+240,y+40); eger_l;
end;

```

**procedure** vege; *{kilépés eldöntése}*

```

begin
  qk:=' ';
  kerdez(200,200,'          Vége a munkának ?','gen' 'em' 'I' 'N');
  repeat kattint(200,200,' I' , 'N' , qk) ; until (qk='I') or
(qk='N') ; eger_n;
end;

```

**procedure** rair; *{létező file-ra való ráírás eldöntése}*

```

begin
  v:='
  kerdez(200,200,kn+' létezik. Ráírni?','gen','em','I','N');
  repeat kattint(200,200,'I','N',v); until (v='I') or (v='N');
  eger_n;
end;

```

**procedure** ujkonf; *{konfigurációváltoztatás eldöntése}*

```

begin
  qu:= ;
  kerdez(200,200,'          Uj konfiguráció ?','gen','em','I','N');
  repeat kattint(200,200,'I','N',qu) ; until (qu='I') or (qu='N')
  eger_n;
end;

```

**procedure** alak; *{nyitott/zárt görbealak megadása}*

```

begin
  qa:='
  kerdez(208,5,'          Görbe alakja ?','yitott','árt','N','Z');
  repeat kattint(208,5,'N','Z',qa) ; until (qa='N') or (qa='Z');
  eger_n; lap(208,5);
end;

```

**procedure** megj; *{megjelenítési módszer megadása}* **begin**

```

  qj •=' ';
  kerdez(208,5,'          Megjelenítés ?','rótváz','ele','D','T');
  repeat kattint(208,5,'D','T',qj) ; until (qj='D') or (qj='T');
  eger_n; lap(208,5);
end;

```

**procedure** kpl;

```

begin
  qm:= ;
  kerdez(200,200,' Kontrollpontok látszanak ?','gen','em','I','N');
  egert(200,200,440,240); eger          '1; qm:=;
  repeat kattint(200,200,'','N7,qm) ; until (qm='I') or (qm='N');
  eger_n;
end;

```

```
procedure b_spline; {polinomok fokának megadása B-spline közelítésben}
begin
  qr:=' ';
  kerdez(200,200,'      Polinomok foka ?',' ',' ','2','3');
  repeat kattint(200,200,'2','3',qr); until (qr='2') or (qr='3');
  if qr='3' then elj:='5';
  eger_n;
end;

procedure vlt; {sorszám/hely változtatási szándék jelzése}
begin
  qr:=' ';
  kerdez(208,5,'      Mi változik ?','ország','ely','S','H');
  repeat kattint(208,5,'S','H',qr); until (qr='S') or (qr='H');
  eger_n;
end;

procedure kp_er; {kontrollpont hely/érintő változtatási szándék
                  jelzése Coons-Hermite interpoláció esetén}
begin
  qr:=' ';
  kerdez(208,5,'      Mi változik ?','ont','rintő','P','E');
  repeat kattint(208,5,'P','E',qr); until (qr='P') or (qr='E');
  eger_n;
end;

procedure evlt; {érintővektor hossz/irányítás változtatási szándék
                  jelzése}
begin
  qe:=' ';
  k e r d e z ( 2 0 8 , 5 , '      M i   v á l t o z i k
    repeat kattint(208,5,'H','S',qe); until (qe='H') or (qe='S');
  eger_n;
end;

procedure ujra; {önműködő érintőújraszámítás eldöntése}
begin

  kerdez(208,5,' Önműködő érintőszámítás ?','gen','em','I','N');
  repeat kattint(208,5,'I','N',qm); until (qm='I') or (qm='N');
  eger_n; lap(208,5);
end;

procedure irany; {paraméterirány kiválasztása  $\beta$ -spline
                  alakegyütthatómódosításhoz}
begin
  qd:=' ';
  kerdez(208,5,'      Irány
  repeat kattint(208,5,'U','V',qd);
  until (qd='U') or (qd='V'); eger_n;
end;
```

```
procedure egyutth; (érintőhossz kiszámításához Coons-Hermite  
interpolációban)  
begin  
  repeat  
    lap(208,5); setcolor(0); outtextxy(222,23,'együttható = ');  
    ablak(330,19,375,32); kn:= "; 1:=1; iras(5,330,21); val(kn,k0,hk);  
  until hk=0;  
  if k0<-10 than k0:=-10; if k0>10 then k0:=10;  
end;  
  
end.
```

# Nyelvtanulás

számítógéppel!

Nyelvoktató és

oktató



# CD-k

széles választékban

PICDIC Angol, Német, Francia lemezenként	6400,-
Angol Kiejtésiskola	5400,-
ClipDIC English 1, 2 lemezenként	6400,-
ClipDIC Deutsch 1	6400,-
Üzleti Angol 1	6400,-
<b>ÚJ</b> ClipDIC Deutsch 2	6400,-
Üzleti Angol 2	6400,-

\* Áraink az ÁFA-t nem tartalmazzák.

**ÉRDEKLŐDÉSÜKET ÉS MEGRENDELÉSEIKET  
AZ ALÁBBI CÍMEKEN VÁRJUK:**

ComputerBooks

1126 Budapest, Tartsay V. u. 12.

Tel: 1/175-1564, 175-3591

info@computerbooks.hu



Profi-Média Kft.  
6500 Baja, Déri Frigyes utny 4.  
Tel./fax: 79/325-467  
pmed@mail.matav.hu

## 2. Sima görbék interaktív előállítás

Számos műszaki terület egyik feladatköre bizonyos sorrendben elhelyezett pontokra görbéket vagy felületeket illeszteni. Ezen területek némelyike a művészekkel határos (ipari formatervezés, építészet), és a görbék, felületek alakja esztétikai, ergonómiai szempontoknak is eleget kell tegyen. Más esetben a geometriai jellemzőknek műszaki szerepe van, például, ha egy mérési eredményhalmazt további feldolgozás során differenciálni kell, akkor ez a művelet tetemesen megnöveli a mérési "zajokat". Ez a zavaró körülmény elkerülhető, ha az adott ponthalmazra megfelelő eljárással közelítő sim görbét vagy felületet illesztünk.

### 2.1. Görbék illesztésének kérdései

Egy paraméteres előállítású síkgörbét:

$$\begin{cases} x = x(t) \\ y = y(t) \end{cases}; \quad t \in I \subset \mathfrak{R} \quad , \quad (2.1)$$

simának nevezünk az  $I$  intervallumon, ha minden pontjában, azaz a  $t$  paraméternek minden, az intervallum belsejéhez tartozó értékére létezik folytonosan változó érintője. Ez azt jelenti, hogy az előállítási függvényeknek léteznek deriváltjai és ezek folytonosak, továbbá a két deriváltfüggvény egyidejűleg nem lehet 0.

Használatos a görbék következő osztályozása is: azt mondjuk, hogy egy görbe  $k$ -ad rendű folytonos az  $I$  intervallumon, ha az intervallum minden pontjában létezik és folytonos az előállítási függvények első  $k$  deriváltja.

Az illesztés folytonosságának kérdése akkor merül fel, amikor egy görbe szakaszosan analitikus előállítású, vagyis előállítási függvényei több, páronként diszjunkt belsejű intervallumon különbözőek:

$$\begin{cases} x = x_k(t) \\ y = y_k(t) \end{cases}; \quad t \in I_k \subset \mathfrak{R}; \quad \bigcup_{k=1}^n I_k = I; \quad \text{card} \left\{ I_k \cap I_l \right\}_{k \neq l} \leq 1 \quad , \quad (2.2)$$



ahol *card* a halmaz számosságát jelenti, azaz csak a szomszédos intervallumoknak van közös pontjuk, és pedig a közös határpont.

Az illesztés folytonossága  $k$ -ad rendű az  $I_1$  és  $I_2$  intervallumokat elválasztó  $t_0$  pontban, ha:

$$\begin{cases} x_1(t_0) = x_2(t_0) \\ y_1(t_0) = y_2(t_0) \end{cases} \quad \begin{cases} x_1^{(k)}(t_0) = x_2^{(k)}(t_0) \\ y_1^{(k)}(t_0) = y_2^{(k)}(t_0) \end{cases} \quad \begin{cases} x_1^{(k+1)}(t_0) \neq x_2^{(k+1)}(t_0) \\ y_1^{(k+1)}(t_0) \neq y_2^{(k+1)}(t_0) \end{cases} \quad (2.3)$$

Ha például egy görbe előállítási függvényei  $n$ -ed rendű polinomok, akkor az illeszkedési pontokban  $n-1$ -ed rendű folytonosság érhető el. Minél magasabb rendű az illesztések folytonossága, annál simább a kapott görbe. Vizuális szempontból a folytonosság rendje kettőig viszonylag jól megkülönböztethető (a 0-d rendű folytonos illesztési pontban szögpont található, az elsőrendűben a görbület hirtelen változik), ezért a harmadfokú polinomokkal való előállítás megkülönböztetett fontosságnak örvend, ugyanis a jó simaság mellett a viszonylag egyszerű előállítás előnyét is hordozza.

Térbeli görbék esetében a fenti képletek annyiban módosulnak, hogy még egy ( $t$ ) koordinátának megfelelő előállítási függvényre van szükség:

$$\begin{cases} x = x(t) \\ y = y(t) \\ z = z(t) \end{cases}; \quad t \in I \subset \mathfrak{R} \quad (2.4)$$

Tömörebb a vektoros felírás, amelyet a következőkben használni fogunk:

$$\mathbf{r}(\mathbf{t}) = \mathbf{r}(x(t), y(t)) \quad (2.5)$$

síkgörbék, illetve:

$$\mathbf{r}(\mathbf{t}) = \mathbf{r}(x(t), y(t), z(t)) \quad (2.6)$$

térgörbék esetén.

## 2.2. Interaktív paraméteres előállítás

Analitikus paraméteres előállítást használva, az előállítási függvények együtt-  
hatóinak módosításával változtatható a görbe alakja. Két kérdés vetődik fel:  
bármely alak elérhető-e így, és ha igen, hogy lehet meghatározni az együtttha-  
tókat, hogy a kívánt alakú görbéhez jussunk. Az első kérdésre van igenlő vá-  
lasz, ugyanis léteznek függvénycsaládok, amelyeknek tagjai megfelelő együtt-  
hatókkal összegezve, bármely függvényalakot bármilyen jól megközelítenek  
(például a trigonometrikus polinomok). A második kérdés kissé bonyolultabb,  
legalábbis a megvalósítása. Ha a görbe ismert, abban az értelemben, hogy elég  
sok pontja adott, akkor az előállítási függvényei meghatározhatóak, például  
Fourier-sorbafejtéssel.

Egy Fourier-sor általános alakja:

Természetesen nem lehet végtelen számú taggal dolgozni. Ezért a tagok számát

$$f(t) = a_0 + \sum_{k=1}^{\infty} a_k \sin(kt + \varphi_k); a_0 \in \mathfrak{R}, a_k \in [0, \infty), \varphi_k \in [0, 2\pi] \quad (2.7)$$

korlátozni kell. Ezenkívül gondot okozhat az együttthatók kiszámítá-  
sához szükséges pontok meghatározása is.

A GB\_P\_2D.PAS nevű program interaktív alakmódosítást tesz lehetővé úgy,  
hogy az

$$\mathbf{r}(t) = \left( a_0 + \sum_{k=1}^{20} a_k \sin(kt + \pi p_k), b_0 + \sum_{k=1}^{20} b_k \sin(kt + \pi q_k) \right)$$

$$a_0, b_0 \in \mathfrak{R}, a_k, b_k \in [0, \infty), p_k, q_k \in [0, 2], t \in [0, 2\pi] \quad (2.8)$$

előállítású görbe együttthatóit külön-külön változtatni lehet. A módosítandó  
együtthatók a megfelelő ablakra egérrel való rákattintással választhatók ki, vagy  
úgy, hogy előbb lenyomjuk a "Választ" vizuális billentyűt (egérrel vagy a V  
billentyű leütésével), majd a megjelenő kommunikációs lapon megadjuk az  
ezvüttható nevét és sorszámát. Az új értéket az illető együtttható értékét kijelző  
ablakba írjuk be, amelyből előbb eltűnik a régi érték. Minden együttthatómó-  
dosítást követően megjelenik az új értékeknek megfelelő görbealak.

A megjelenítés úgy történik, hogy a paraméter intervallumát felosztjuk és a görbének az intervallumosztópontoknak megfelelő pontjait összekötjük, ezzel a görbét a rajzolt húrokkal közelítve meg. Ha a felosztás elég finom (az osztópontoknak megfelelő görbepontok elég közel vannak egymáshoz), akkor a megfelelő húrok és görbeívek közötti különbség nem észlelhető.

**(\$N+)**

```

program gb p 2d; {síkgörbék interaktív paraméteres előállítása}

uses crt, dos, graph, grafind, kozos, kerdesek, eger_kez,
file_kez;

const
  nf=20;
  kx0=320; ky0=270;
  ehv: array[1..4] of char = ('a','p','b','q');
  xl: array[1..4,1..2] of word
      =((19,60), (66,115), (540,581), (587,636));
  y11=70; y12=470;
  gb: array[1..2] of byte = (0,0);

type
  mt = array[1..4,0..nf] of real;

var
  ff: file of mt;
  i, j, lx:
  integer; a: mt;
  t, t1, t2:
  real;
  nv: char;

function x(t: real): real;
var w: real;
begin
  w:=a[1,0];
  for k:=1 to nf do
  w:=w+a[1,k]*sin(k*t+a[2,k]*pi);
  x:=w;
end;

function y(t: real): real;
var w: real;
begin
  w:=a[3,0];
  for k:=1 to nf do
  w:=w+a [3, k] *sin (k*t+a [4, k] *pi) ;
  y:=w;
end;

```

```

procedure megj; {görbe megjelenítése}
begin
  setfillstyle(1,0); bar(124,70,514,470);
  setlinestyle(0,0,3); setcolor(15);
  moveto(kx0+round(x(t1)),ky0-round(y(t1)));
  for l:=1 to lx do begin
    t:=t1+l/lx*(t2-t1);
    lineto(kx0+round(x(t)),ky0-round(y(t))); end;
end;

procedure keret; {aktív szerkesztési mező}
var ks: string;
begin
  setfillstyle(1,11); bar(0,0,640,480); bkeret(120,66,519,475,4,4);
  for k:=0 to of do begin
    str(k,ks);
    if k<10 then begin
      outtextxy(8,94+k*18,ks); outtextxy(529,94+k*18,ks) end
      else begin outtextxy(1,94+k*18,ks); outtextxy(522,94+k*18,ks);
end;
end;
end;

procedure fuggveny; {paraméteres előállítási képlet}
coast xk=10;
begin
  setcolor(0);
  outtextxy(xk+64,0,'n'); outtextxy(xk+48,20,'0 1 k k');
  outtextxy(xk,10,'x(t)=a +Ea sin(kt+p 1)');
  outtextxy(xk+64,35,'n'); outtextxy(xk+48,55,'0 1 k k');
  outtextxy(xk,45,'y(t)=b +Eb sin(kt+q i)'); end;

procedure konfig;
begin
  repeat
    qf:=' ';
    kerdez(200,200,' Konfiguráció ?','j','árolt','U','T');
  repeat kattint(200,200,'U','T',gf); until (qf='U') or (qf='T');
  if qf='T' then begin
    eger_n; olvas('GBP'); {tárolt együtthatók betöltése}
    if kō=1 then begin assign(ff,kn); reset(ff); read(ff,a);
      close(ff);
    end;
    eger_l;
  end else ko:=1;
  until ko=1;
end;

```

```
procedure kilep;
begin
    qm:=' '; kerdez(200,200,'                               Menteni a konfigurációt
?', 'gen', 'em', 'I','N');
    repeat kattint(200,200,'I','N',qm); until (qm='I') or (qm='N');
    if qm='I' then begin
        eger n; ment('GBP'); {együtthetők tárolása}
        if v='I' then begin assign(ff,kn); rewrite(ff); write(ff,a);
        close(ff); end;
        eger_1;
    end;
end;

procedure parancs; {vizuális billentyűk meghatározása parancsközlés-
hez}
begin
    gomb(550,21,'V','álaszt',gb[i]); gomb(550,38,'Q','-kilép',gb[2]);
end;

procedure par_katt(var vl: char); {parancs kiválasztása}
var fn: byte;
begin
    gb_katt(550,21,fn); if fn=1 then vl:='V'; {egérrel}
    gb_katt(550,38,fn); if fn=1 then vl:='Q';
    if keypressed then vl:=upcase(readkey); {billentyűzetről}
end;

procedure e_lap(xi,y1,x2,y2: integer; nev: char);
                                {együtthetők kijelzésére szolgáló lap}
var kl, h: byte; ks: string;
begin
    kkeret(x1,y1,x2,y2,2,2); outtextxy(x1+20,y1+2,nev);
    if (nev='a') or (nev='b') then begin h:=31; kl:=0 end
        else begin h:=39; kl:=1; end;
    for k:=kl to of do begin
        abiak(xi+6,y1+k*18+20,x1+6+h,y1+k*18+32); setcolor(15);
        case nev of
            'a':str(a[i,k]:3:0,ks);
            'p':str(a[2,k]:3:2,ks);
            'b':str(a[3,k]:3:0,ks);
            'q':str(a[4,k]:3:2,ks);
        end;
        outtextxy(x1+11,y1+k*18+23,ks);
    end;
end;

procedure egyutth; {együtthetők kiírása}
begin
    for j:=1 to 4 do e_lap(x1[j,i],y11,x1[j,2],y12,ehv[j]); end;
```

```

procedure beir(i, sz: byte); {együtthető értékének beírása}
var
  xk, h, kz: integer;
  ks: string;
begin
  if odd(i) then begin h:=31; kz:=4; end else begin h:=39; kz:=5; end;
  repeat
    ablak(xl[j,1]+6,y11+sz*18+20,xl[1,2]-5,y11+sz*18+32);
    kn:=""; l:=1; iras(kz,xl[j,1]+3,y11+sz*18+22);
    val(kn,a[j,sz],hk);
  until hk=0;
  ablak(xl[j,1]+6,y11+sz*18+20,xl[j,2]-5,y11+sz*18+32);
  setcolor(15);
  if odd(j) then str(a[j,sz]:3:0,ks) else str(a[j,sz]:3:2,ks);
  outtextxy(xl[1,1]+10,y11+sz*18+23,ks);
end;

procedure e_valaszt; {együtthető kiválasztása és módosítása}
var ev, sv, k1, h: byte;
begin
  j:=0; sz:=100;
  with reg do
    repeat
      ax:=3; intr($33,reg);
      if bx=1 then
        for i:=1 to 4 do
          if j=0 then begin
            katt(xl[i,1],y11,xl[i,2],y12,ev);
            if ev=1 then begin
              j=i;
              if odd(j) then begin k1:=0; h:=31 end
                else begin k1:=1; h:=39; end;
              for k:=k1 to 20 do
                if sz=100 then begin
                  katt(xl[j,1]+6,y11+k*18+20,xl[j,2]-5,y11+k*18+32,sv);
                  if sv=1 then sz:=k; end;
                end;
              end;
            until bx=1;
            eger_n; if sz<100 then beir(j,sz); eger_1;
          end;
        end;
      end;
    end;
  procedure nev_szam; {módosítandó paraméter nevének és sorszámának lekérdezése}
  var sa: byte;
  begin
    lap(208,5); setcolor(0); outtextxy(230,26,'Együtthető:');
    setcolor(12); outtextxy(320,12,'név'); setcolor(0);
    outtextxy(320,30,'szám');
    ablak(360,28,383,41);
    repeat
      j:=0;

```

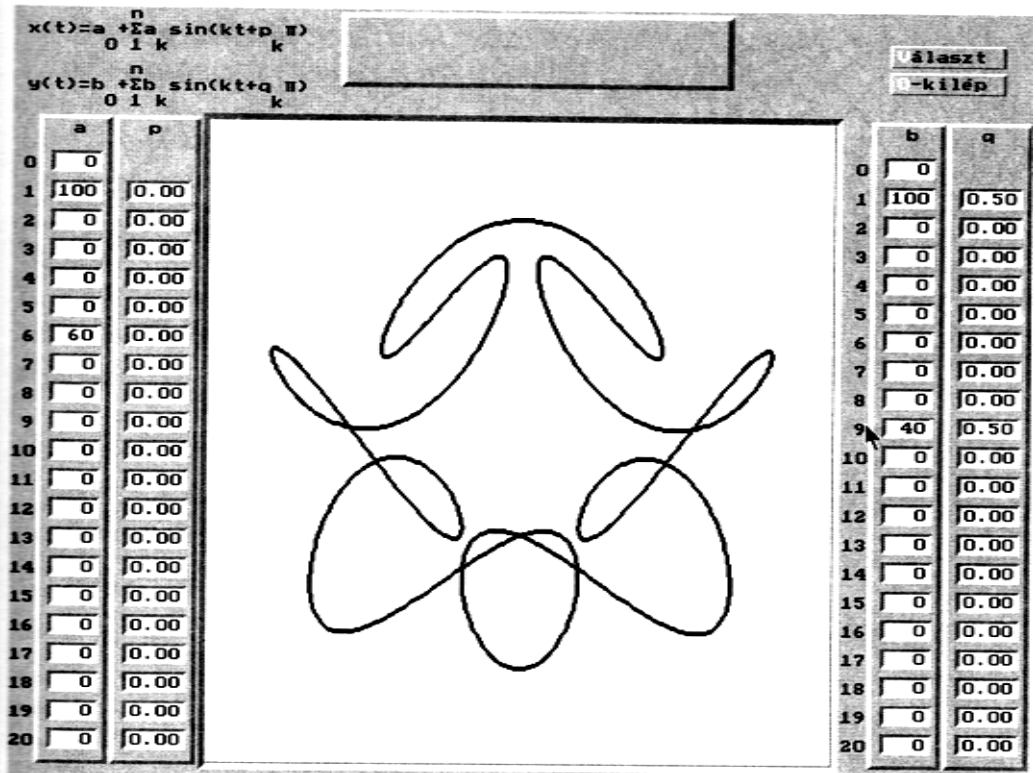
```
ablak(360,10,383,23); nv:=upcase(readkey); nv:=char(ord(nv)+32);
setcolor(15); outtextxy(368,13,nv); delay(500);
for i:=1 to 4 do if nv=ehv[i] then j:=i;
until j>0;
if (nv='a') or (nv='b') then sa:=0 else sa:=1;
setcolor(0); outtextxy(320,12,'név'); setcolor(12);
outtextxy(320,30,'szám');
repeat
ablak(360,28,383,41); kn:=""; l:=1; iras(3,356,30); val(kn,sz,
hk); until (hk=0) and (sz>=sa) and (sz<=nf);
end;
```

**begin**

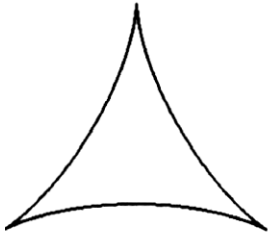
```
lx:=1000; t1:=0; t2:=2*pi;
grindhi; keret; fuggveny; eger_k;
repeat
konfig; qk:='N'; qu:='N';
if qf='U' then begin
for k:=0 to of do for j:=1 to 4 do a[j,k]:=0;
a[1,1]:=100; a[3,1]:=100; a[4,1]:=0.5;
end;
eger_n; egyutth; parancs; megj; eger_l;
repeat
eger_t(10,10,620,470); qr:=' '; k:=0;
e_valaszt; {együtthatómódosítás egérrel}
if sz=100 then repeat par_katt(qr); until (qr='V') or (qr='Q'
eger_n;
case qr of
'V':begin {
gb[1]:=1; parancs;
nev_szam; beir(j,sz);
gb[1]:=0; lap(208,5);
end;
'Q':begin {kilépés}
gb[2]:=1; parancs;
repeat kilep until not ((v='N') and (qm='I'));
vege; if qk='N' then ujkonf; gb[2]:=0;
end;
end;
if (qu='N') and (qk='N') then megj; parancs; eger_l;
until (qk='I') or (qu='I');
until qu='N';
closegraph;
end.
```

E program segítségével készült a 2.1. ábrán (a szerkesztési környezettel együtt) látható görbe, valamint a 2.2. ábrán látható görbék, amelyeknél a 0-tól különböző együtthatók értékei rendre:

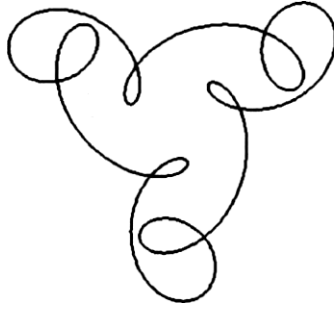
- a)  $a_1=b_1 = 100, q_1=q_2=0.5, a_2=b_2=50, p_2= 1$   
 b)  $a_1=b_1 = 100, q_1=0.5, a_2=b_2=50, q_2=q_7= 1.5, a_7=b_7=40$   
 c)  $a_1=b_1 = 100, q_1 = 0.5, a_5 = 50, b_7 = 50$   
 d)  $a_1=b_1 = 160, q_{11} = 0.5$   
 e)  $a_1=b_1 = 100, q_1=0.5, a_7 = b_7 = 60, q_7 = 0.5$   
 f)  $a_1=b_1 = 100, q_1 = 0.5, a_7=b_7=60, q_7=1.5$



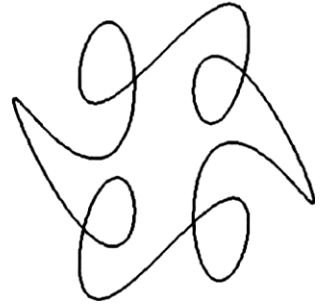




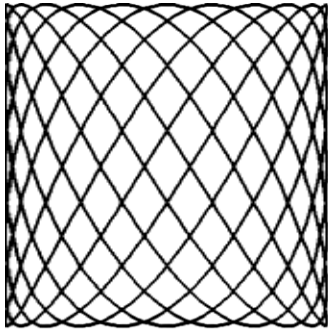
a



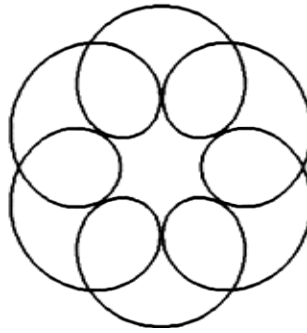
b



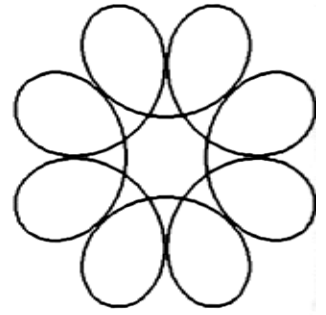
c



d



e



f

2.2. ábra

## 2.3. Sima görbék illesztése kontrollpontosorra

Tetszőleges alakú sima görbék legkényelmesebb szerkesztési módja. A felhasználó a kontrollpontok számának és helyzetének megfelelő változtatásával módosítani tudja a görbe alakját. A konfigurációváltoztatás hatása a görbealakra elég jól előre látható, ugyanis a szerkesztett görbe bizonyos mértékben követi a kontrollpontokat összekötő törtvonalat (karakterisztikus keret), ami a tervezési folyamatot nagy mértékben megkönnyíti.

Ami az illesztés módját illeti, a módszerek két nagy csoportba oszthatók:

- interpolációs eljárások - az illesztett görbe átmegy minden kontrollponton
- approximációs eljárások - az illesztett görbe a kontrollpontok között halad, általában nem megy át rajtuk, viszont a kapott görbe simább és előállításának együtthatói esetenként egyszerűbben meghatározhatók

### 2.3.1. A kontrollpontok mozgatása

Síkgörbék szerkesztéséhez előnyös egy unit-ban (hogyan több program használhassa) kontrollpont-objektumot értelmezni, amely tartalmazza a kontrollpontok abszolút- és képernyőkoordinátáit, a megjelenítési és eltüntetés (mozgatáshoz) eljárást illetve az egérrel való mozgatáshoz szükséges eljárásokat.

Ez a unit a lemezmellékleten KONF 2D.PAS néven található.

```
{N+}
unit konf_2d; (kontrollponthalmaz meghatározása a síkban)
interface
uses
  graph, dos, kozos;
coast
  nm=99; r=10; rr=r*r;
  kx0=41; ky0=450; xn=0; yn=0; xx=560; yx=380;
type
  kpoint = object(point) {kontrollpont objektum}
  q: pointer; {bitmap heap-beli tárolási címére mutat
              kontrollpontmozgatáshoz}
  fg: byte;
  xr, yr: integer;
```

```
procedure koord;
procedure megj;
procedure eltn;
procedure fog;
procedure eng;
procedure kezd;
function bent: boolean;
end;

mp = array[0..nm] of kpont;

var
  a: mp;
  nm: word; {bitmap memóriamérete}

implementation

procedure kpont.koord; {kontrollpont képernyőkoordinátái}
begin
  xr:=kx0+xp;
  yr:=ky0-yp;
end;

procedure kpont.megj; {kontrollpont megjelenik}
var sf: string;
begin
  setfillstyle(1,8); setcolor(15); fillellipse(xr,yr,r,r);
  str(k, sf); if k<=9 then outtextxy(xr-2,yr-3,sf)
               else outtextxy(xr-7,yr-3,sf);
end;

procedure kpont.eltn; {kontrollpont eltűnik}
begin
  putimage(xr-r,yr-r,q^,normalput);
end;

function kpont.bent: boolean;
  {ellenőrzi, hogy a kontrollpont az aktív mezőben van-e}
begin
  if (xp<=xx) and (yp<=yx) then bent:=true else bent:=false;
end;

procedure kpont.fog; {egér megfogja a kontrollpontot}
begin
  if sqr(reg.cx-xr)+sqr(reg.dx-yr)<=rr then fg:=1;
end;

procedure kpont.eng; {egér elengedi a kontrollpontot}
begin
  fg =0;
end;
```

```

procedure kpont.kezd; {kontrollpont példány inicializálása}
begin
  uj(577,360); koord;
  getmem(q,mm); {helyfoglalás a bitmap-nek a heap-ben}
  getimage(xr-r,yr-r,xr+r,yr+r,q^);
  fg:=0; megj;
end;
end.

```

A kontrollpontokkal a következő műveletek végezhetők:

- beszúrás és törlés
  - az erre szolgáló vizuális billentyűvel
  - egérrel való húzás a kontrollponttárból a szerkesztési mezőbe illetve ebből ki
- helyváltoztatás
  - sorszámát vizuális billentyűvel kiválasztva, majd új koordinátákat megadva
  - egérrel az új helyre mozgatva
- sorszámváltoztatás
  - a kiválasztott pont új sorszámát beírva

Az egérrel való mozgatás úgy történik, hogy miután a megfelelő kontrollpontra vittük az egérkurzort, lenyomjuk az egér bal gombját, ezzel "megfoglaljuk" a kontrollpontot és ez az egérkurzorral együtt mozog míg a gombot fel nem engedjük.

Ezen műveleteket megvalósító eljárások az EGER\_KP.PAS unit-ban találhatóak.

```

{☞}
unit eger kp; {kontrollpontmozgatás egérrel}

interface

uses
  graph, dos, crt, kozos, eger_kez, konf_2d;

var
  ef: byte;

procedure eger_f; {megfogás}
procedure eger_e; {elengedés}
procedure eger_v; {egér viszi a kontrollpontot}

```

**implementation**

```
procedure eger_f; {megfogás}
begin
  with reg do begin
    ax:=3; intr($33,reg);
    if (bx=1) and (getpixel(cx,dx)=8) and (ef=0) then begin
      k:=0; repeat k:=k+1; a[k].fog; until a[k].fg=1;
      ef:=1;
    end;
  end;
end;

procedure eger_e; {elengedés}
begin
  with reg do begin
    ax:=3; intr($33,reg);
    if (bx=0) and (ef=1) then begin
      k:=0; repeat k:=k+1; if a[k].fg=1 then begin a[k].eng; ef:=0;
                                                end;
      until of=0;
    end;
  end;
end;

procedure eger_v; {egér viszi a kontrollpontot}
begin
  with a[k] do
    with reg do begin
      ax:=3; intr($33,reg);
      if (fg=1) and (sqr(cx-xr)+sqr(dx-yr)>2) then begin
        eger_n; eltn; uj(cx-kx0,ky0-dx); koord;
        getimage(xr-r,yr-r,xr+r,yr+r,q^); megj; eger_l;
      end;
    end;
  end;
end;

end.
```

Térbeli kontrollpontok helyének meghatározása a koordináták megadásával egyszerűbb, bár itt is elképzelhető egerrel való mozgás úgy, hogy a kontrollpontnak két koordinátásikra eső vetületét szerre mozgatjuk és a két mozgást összehangoljuk.

A sorszámlekerdeztést és koordinátabeírását a KOZOS\_GB.PAS unit eljárásai végzik.

```

{N+}
.

unit kozos gb;

interface

uses
  graph, kozos, konf 2d, gomb kez;

procedure sorszam;
procedure koordin;
  edure racs2;
  edure ker 2;

implementation

procedure sorszam; {kiválasztandó kontrollpont sorszámának
                    lekérdezése}
begin
  repeat
    lap(208,5); setcolor(0); outtextxy(262,26,'Sorszám:');
    ablak(330,19,361,32); kn:= " ; 1:=1; iras(3,330,21); val(kn,sz,hk);
    until hk=0;
end;

procedure koordin; {síkbeli koordináták megadása}
  begin
    lap(208,5);
    etcolor(0); outtextxy(255,23,'Hely:');
    etcolor(13); outtextxy(315,15,'x = '); outtextxy(315,30,'y = '); ;
    ablak(340,12,378,24); ablak(340,27,378,39);
    repeat kn:= " ; 1:=1; iras(4,340,14); val(kn,x,hk);
      if hk<>0 then ablak(340,12,378,24); until hk=0;
    if x>xx then begin x:=xx; ablak(340,12,378,24);
      str(x,kn); setcolor(15); outtextxy(348,15,kn); end;
    if x<xn then begin x:=xn; ablak(340,12,378,24);
      str(x,kn); setcolor(15); outtextxy(348,15,kn); end;
    repeat kn:= " ; 1:=1; iras(4,340,29); val(kn,y,hk);
      if hk<>0 then ablak(340,27,378,39); until hk=0;
    if y>yx then y:=yx; if y<yn then y:=yn;
  end;

procedure racs2;
begin
  setfillstyle(1,0); bar(kx0-12,ky0-yx-12,kx0+xx+32,ky0+12);
  setcolor(15); if gb[2]=0 then outtextxy(607,67,'Tár'); setcolor(7);
  for k:=0 to 56 do line (kx0+k*10,ky0,kx0+k*10,ky0-yx);
  for k:=0 to 38 do line (kx0,ky0-k*10,kx0+xx,ky0-k*10);
end;

```

```

procedure ker_2; (keret koordinátákkal)
var ks: string;

begin
  setfillstyle(1,11); bar(0,0,640,480);
  bkeret(kx0-16,ky0-yx-16,kx0+xx+36,ky0+16,4,4);

  for k:=0 to 5 do begin
    line(kx0+k*100,ky0+12,kx0+k*100,ky0+20);
    str(k*100,ks); if k>0 then outtextxy(kx0+k*100-25,ky0+22,ks)
      else outtextxy(kx0+k*100-14,ky0+22,ks) end;

  for k:=0 to 3 do begin
    line(kx0-30,ky0-k*100,kx0-12,ky0-k*100);
    str(k*100,ks); if k>0 then outtextxy(kx0-40,ky0-k*100-10,ks)
      else outtextxy(kx0-30,ky0-10,ks) end;

end;
end.

```

### 2.3.2. A görbeelőállítás elve

Ha adott  $n + 1$  pontból álló kontrollpontosor, a rájuk (approximációs eljárások esetén "közéjük") illeszkedő görbe előállítása a következő:

$$\mathbf{r}(u) = \sum_{k=0}^n f_k(u) \mathbf{p}_k, \quad (2.9)$$

ahol  $\mathbf{p}_0, \mathbf{p}_1, \dots, \mathbf{p}_n$  a kontrollpontok helyvektorai,  $f_k$ ,  $k = 0, 1, \dots, n$  pedig egyváltozós függvények, úgynevezett blending (keverő) függvények. Súlyfüggvényeknek is nevezhetjük őket, ugyanis a 2.9 összefüggés rögzített  $u$  értékre a kontrollpontok helyvektorainak súlyozott közepe,

$$\sum_{k=0}^n f_k(u) = 1.$$

A továbbiakban polinomiális interpolációval foglalkozunk, vagyis a súlyfüggvények algebrai polinomok.

### 2.3.3. Coons-Hermite interpoláció

A Coons-Hermite interpoláció az illesztési feladatot helyileg, a karakterisztikus keret szakaszaira külön-külön oldja meg. Szükség van viszont a kontrollpontokban az érintővektorok értékeire.

Két szomszédos kontrollpontot összekötő görbeív analitikus előállítására egy harmadfokú, egyváltozós vektorfüggvény:

$$r(u) = a_3u^3 + a_2u^2 + a_1u + a_0; \quad u \in [0,1]. \quad (2.10)$$

Az ív két vége a két kontrollpontra ( $P_0$  és  $P_1$ ) kell támaszkodjon, a végpontokban az érintő egyenlő kell legyen az adott értékekkel ( $p_0''$  és  $p_1''$ ):

$$\begin{cases} \mathbf{r}(0) = \mathbf{p}_0 \\ \frac{d\mathbf{r}}{du}(0) = \mathbf{p}_0'' \end{cases} \quad \begin{cases} \mathbf{r}(1) = \mathbf{p}_1 \\ \frac{d\mathbf{r}}{du}(1) = \mathbf{p}_1'' \end{cases} \quad (2.11)$$

Következésképpen meghatározhatóak a harmadfokú súlyfüggvények, amelyek kielégítik a 2.11 feltételeket:

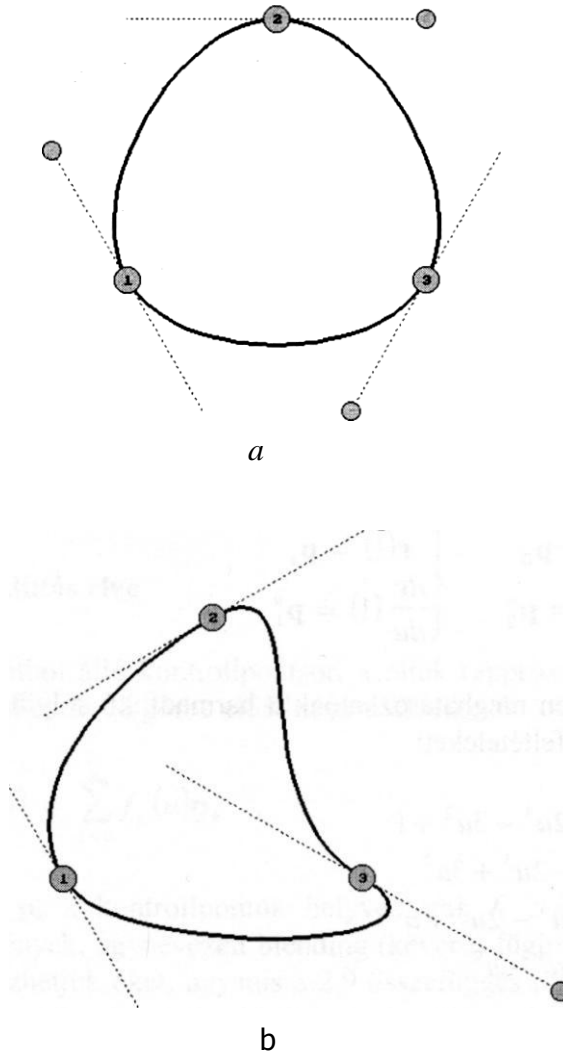
Az érintő folytonosságának feltétele, hogy a szomszédos íveknek a közös végpontjukban azonos legyen az érintő. A görbület az illesztési pontokban általában nem folytonos.

$$\begin{cases} f_1(u) = 2u^3 - 3u^2 + 1 \\ f_2(u) = -2u^3 + 3u^2 \\ f_3(u) = u^3 - 2u^2 + u \\ f_4(u) = u^3 - u^2 \end{cases} \quad (2.12)$$

A görbeív előállítására

$$\mathbf{r}(u) = f_1(u)\mathbf{p}_0 + f_2(u)\mathbf{p}_1 + f_3(u)\mathbf{p}_0'' + f_4(u)\mathbf{p}_1'' \quad (2.13)$$





2.3. ábra

A görbe alakja természetesen a négy határfeltétel bármelyikének változtatásával módosítható, amint az a 2.3. ábrán is látható. Az érintők meghatározása azonban a felhasználó számára kényelmetlen lehet. Ez a probléma megkerülhető például úgy, hogy a program minden belső kontrollponthoz tartozó érintőt a két szomszédos kontrollpontot összekötő vektorként számítja ki, azaz a  $p_i$  és  $p_{i+1}$  pontokat összekötő görbeív

Nyílt görbe esetén a végpontokban az érintő az illető pontot a szomszédos kontrollponttal összekötő vektor. Így készült a 2.4. ábra.

(2.14)

$$\mathbf{r}(u) = f_1(u)\mathbf{p}_i + f_2(u)\mathbf{p}_{i+1} + f_3(u)\mathbf{p}_i'' + f_4(u)\mathbf{p}_{i+1}''$$

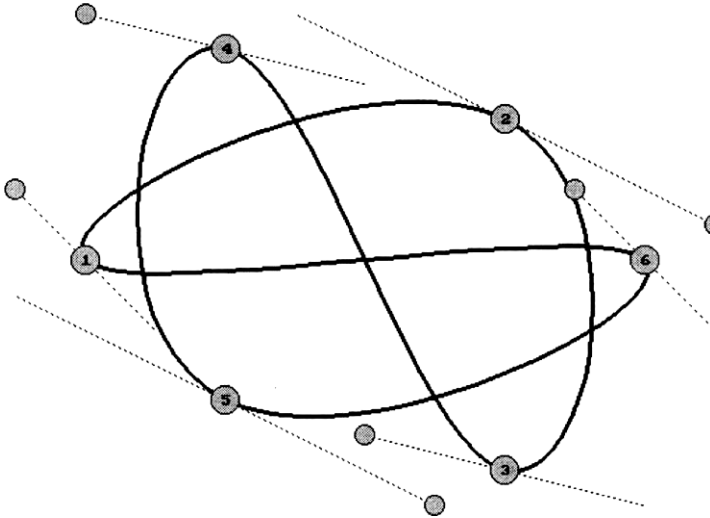
előállításában

$$\mathbf{p}_0'' = \mathbf{p}_1 - \mathbf{p}_0$$

$$\mathbf{p}_i'' = \mathbf{p}_{i+1} - \mathbf{p}_{i-1} \quad i = 1, 2, \dots, n-1$$

(2.15)

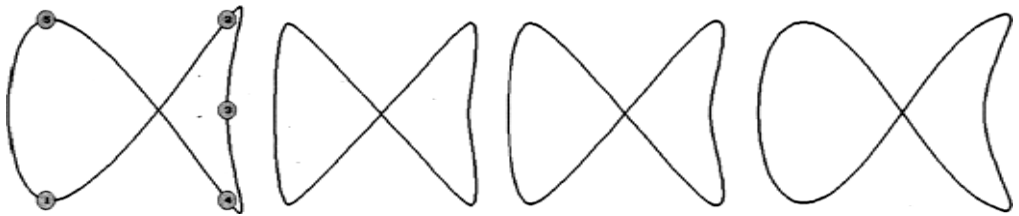
$$\mathbf{p}_n'' = \mathbf{p}_n - \mathbf{p}_{n-1}$$



2.4. ábra

Ha a 2.15 összefüggések jobboldalát megszorozzuk egy tetszőleges  $k_0$  állandóval, a görbe alakja módosul, az érintő viszont továbbra is folytonos marad. A 2.4. ábrán  $k_0 = 1$ . Kisebb  $k_0$  értékekre a görbe változásának mértéke csökken

mintha egy rugalmas huzalt egyre jobban kifeszítenénk), nagyobb értékekre pedig megnövekedik, szögpontok vagy újabb hurkok is megjelenhetnek. A 2.5. ábrán ugyanarra a karakterisztikus keretre illesztett, úgynevezett spline görbe (lásd 2.3.4. alpont) és néhány, a bemutatott módszerrel szerkesztett interpolációs görbe látható. Megfigyelhető, hogy negatív  $k_0$  értékekre a görbén hurkok jelennek meg, amint az várható is, hiszen az érintők iránya a kontrollpontokban ellenkező lesz a kontrollpontok helyéből és sorrendjéből származóval.

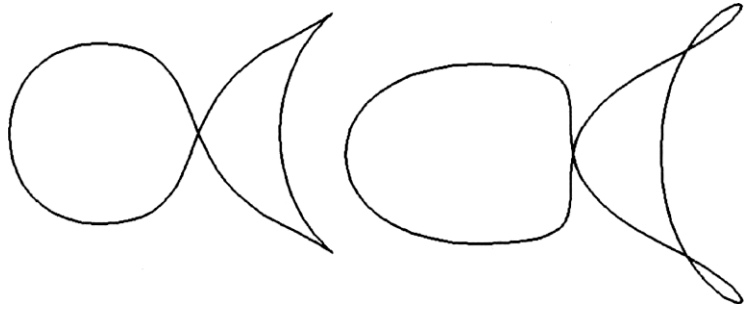


spline

$k_0 = 0.3$

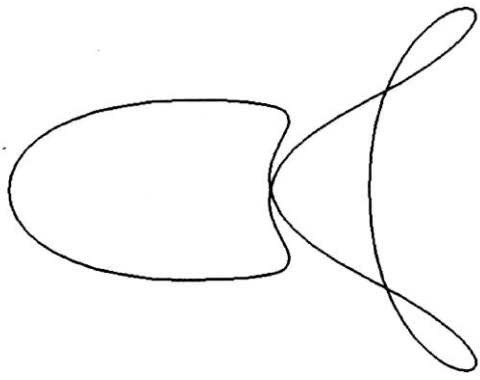
$k_0 = 0.5$

$k_0 = 1$

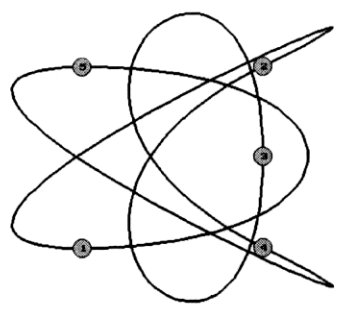
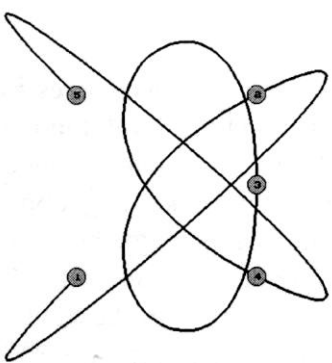


$k_0 = 2$

$k_0 = 3$



$k_0 = 4$



$k_0 = -5$   
2.5. ábra

A  $k_0 = 0.5$  értéknek megfelelő eljárás az úgynevezett Overhauser interpoláció, amelyet a következő módon is megkaphatunk:

tekintsük a három-három  $(p_{i-1}, p_i, p_{i+1})$  illetve  $(p_i, p_{i+1}, p_{i+2})$  egymás utáni kontrollponton átmenő kúpszeletek

$$\begin{aligned} r_1(u) &= \frac{u(u-1)}{2} p_{i-1} - (u+1)(u-1) p_i + \frac{u(u+1)}{2} p_{i+1} \\ r_2(u) &= \frac{(u-1)(u-2)}{2} p_i - u(u-2) p_{i+1} + \frac{u(u-1)}{2} p_{i+2} \end{aligned} \quad (2.16)$$

előállításait, amelyeknek az  $u \in [0,1]$  paramétertartománynak megfelelő ívei a  $p_i$  és  $p_{i+1}$ , pontokat kötik össze.

- szerkesszük meg a fenti két másodfokú polinom lineáris interpolációját a  $[0,1]$  intervallumon:

$$r(u) = (1-u) r_1(u) + u r_2(u) ; u \in [0, 1] . \quad (2.17)$$

Egy harmadfokú vektorpolinomot

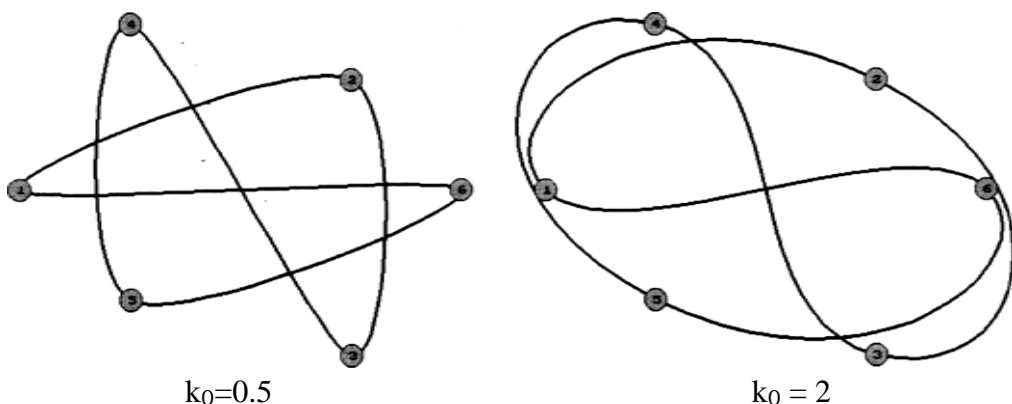
$$\begin{aligned} r(u) &= \frac{-u^3 + 2u^2 - u}{2} p_{i-1} + \frac{3u^3 - 5u^2 + 2}{2} p_i + \\ &+ \frac{-3u^3 + 4u^2 + u}{2} p_{i+1} + \frac{u^3 - u^2}{2} p_{i+2} ; u \in [0,1] \end{aligned} \quad (2.18)$$

amellyel az  $i$  értékeit  $0$  és  $n-1$  között változtatva, nyílt görbék végein a  $p_{-1}=p_0$  és  $p_{n+1} = p_n$  segédpontokkal, olyan görbét állíthatunk elő, amely a csatlakozási pontokban folytonos érintővektorokkal rendelkezik, amelyek a

$$\begin{aligned} p_0^u &= \frac{p_1 - p_0}{2} \\ p_i^u &= \frac{p_{i+1} - p_{i-1}}{2} ; i = 1, 2, \dots, n-1 \\ p_n^u &= \frac{p_{n+1} - p_n}{2} \end{aligned} \quad (2.19)$$

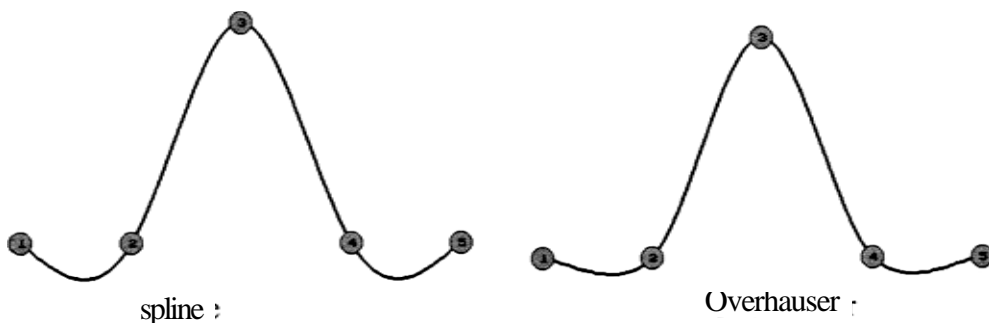
képletekkel

A 2.6. ábrán a 2.4. ábra ( $k_0 = 1$ ) karakterisztikus keretére illesztett görbék láthatóak,  $k_0 = 0.5$  (Overhauser) és  $k_0 = 2$  esetre.



2.6. ábra

Az Overhauser interpoláció a spline interpolációnál lényegesen kisebb globális változású görbét eredményez (2.7. ábra), ami bizonyos alkalmazások esetében kedvező lehet.



2.7. ábra

A GB\_2D\_CH.PAS nevű program az érintők módosítását egérrel is lehetővé teszi. Az érintőket teljes hosszukban jeleníti meg, úgy, hogy az érintővektor középpontja kerül a kontrollpontba. Az érintővektor csúcsán aktív körlap található, amely egérrel megfogható és mozgatható.

```

($N+)
program gb_2d_ch; {sima síkgörbék előállítása Coons-Hermite
                  interpolációval}
uses
  graph, grafind, crt, dos, kozos, file_kez, konf_2d, eger_kez,
  kerdesek, gomb_kez, kozos_gb;
coast
  valasz: kars = ['B','E','G','Q','T','V'];

var
  ep: mp; {érintőpontok}
  ff: file of mp;
  ef: byte;
  e, f: array[1..nm] of real;
  nh, fv, bill: byte; er: word;
  st, i integer; p: kpont;

procedure eger_f; {kontrollpont vagy érintőcsúcs megfogása}
begin
  with reg do begin
    ax:=3; intr($33,reg);
    if (bx=1) and (getpixel(cx,dx)=8) and (ef=0) then begin
      k:=0;
      repeat k:=k+1; a[k].fog; ep[k].fog until (a[k].fg=1) or
        (ep[k].fg=1);
      ef:=1;
    end;
  end;
end;

procedure eger_e; {megfogott objektum elengedése}
begin
  with reg do begin
    ax:=3; intr($33,reg);
    if (bx=0) and (ef=1) then begin
      k:=0;
      repeat k:=k+1;
        if a[k].fg=1 then begin a[k].eng; ef:=0; end;
        if ep[k].fg=1 then begin ep[k].eng; ef:=0; end;
      until of=0;
    end;
  end;
end;

procedure ekoord(sz: integer); {érintővektor csúcsának
                                képernyőkoordinátái}
begin
  ep[sz].xr:=a[sz].xr+round(ep[sz].xp/2);
  ep[sz].yr:=a[sz].yr-round(ep[sz].yp/2); end;

```

```

procedure emegj(s: integer); {érintővektor megjelenítése}
var
  x1, y1, x2, y2: integer;
  sf: string;
begin
  setfillstyle(1,8); setcolor(15);
  with ep[s] do begin
    getimage(xr-r,yr-r,xr+r,yr+r,q^);
    x1:=xr; y1:=yr; {csúcs}
    x2:=2*a[s]..xr-xr; y2:=2*a[s].yr-yr; {kezdőpont}
  end;
  setlinestyle(1,0,1); line(x1,y1,x2,y2); setlinestyle(0,0,1);
  fillellipse(x1,y1,7,7); {csúcson levő aktív korong, ami egérrel
                                mozgatható}
end;

procedure eger_v; {egér viszi a pontot}
var t: byte;
begin
  setfillstyle(1,8); setcolor(15);
  if a[k].fg=1 then t:=1 else t:=2; {1=kontrollpont; 2=érintő}
  if t=1 then p:=a[k] else p:=ep[k];
  with p do
    with reg do begin
      ax:=3; intr($33,reg);
      if (fg=1) and (sqr(cx-xr)+sqr(dx-yr)>2) then begin
        eger_n; eltn;
        case t of
          1:begin
            uj(cx-kx0,ky0-dx); koord;
          end;
          2:begin
            uj(2*(cx-a[k].xr) , -2*(dx-a[k].yr));
            p.xr:=a[k].xr+round(p.xp/2);
            p.yr:=a[k].yr-round(p.yr/2);
          end;
        end;
        getimage(xr-r,yr-r,xr+r,yr+r,q^);
        if t=1 then megj else fillellipse(xr,yr,7,7); eger_l;
      end;
    end;
    if t=1 then begin a[k]:=p; ekoord(k); end else ep[k]:=p;
end;

procedure kilep;
begin
  kerdez(200,200,'          Menteni a konfigurációt
repeat kattint(200,200,'I','N',qm);
until (qm='I') or (qm='N');
if qm='I' then begin
  eger_n; ment('IC2'); {kontrollpontok tárolása}

```

```

if v='I' then begin
    a[0].uj(nh,0); assign(ff,kn); rewrite(ff);
    write(ff, a);
    close(ff);
    end;
delete(kn,length(kn)-2,3); kn:=kn+'EC2';
if v='I' then begin {érintők tárolása}
    assign(ff,kn); rewrite(ff); write(ff,ep); close(ff); end;
eger_1;
end;
end;

procedure konfig; begin
    repeat
        qf:=' ';
        kerdez(200,200,'          Konfiguráció
    repeat kattint(200,200,'U','T',qf);
    until (qf='U') or (qf='T');
    if qf='T' then begin
        eger_n; olvas('IC2');
        if ko=1 then begin
            assign(ff,kn); reset(ff); read(ff,a);
            close(ff); {kontrollpontok}
            delete(kn,length(kn)-2,3); kn:=kn+'EC2';
            assign(ff,kn); reset(ff); read(ff,ep);
            close(ff);
            end; {érintők}

        eger_1;
        end else ko:=1;
    until ko=1;
end;

procedure erintosz; {új érintőirányítás lekérdezése} begin
    lap(208,5); setcolor(0);
    outtextxy(285,10,'Érintő irányítása'); outtextxy(285,9,'          ');
    circle(245,26,8); outtextxy(256,22,'0'); outtextxy(212,22,'180');
    outtextxy(239,9,'90'); outtextxy(235,36,'270'); ablak(340,27,378,39);
    outtextxy(380,27,'r');
    repeat kn:=""; l:=1; iras(4,340,29); val(kn,er,hk); if (hk<>0)
        or (er>359) then ablak(340,27,378,39);
    until (hk=0) and (er<360);
end;

procedure erintah; {új érintőhossz lekérdezése} var x, y:
real;
begin
    lap(208,5); setcolor(0);
    outtextxy(285,10,'Érintő hossza'); outtextxy(285,9,'          ');
    x:=ep[sz].xp; y:=ep[sz].yp;
    str(round(sqrt(sgr(x)+sgr(y))),kn);
    outtextxy(212,30,'most: '+kn+'          új:');

```



```
ablak(340,27,378;39);
repeat kn:=""; 1:=1; iras(4,340,29); val(kn,er,hk);
if hk<>0 then ablak(340,27,378,39); until hk=0;
end;

procedure erintsz(szog: word);
    {új irányításnak megfelelő érintőkoordináták kiszámítása}
var alf, x, y, re: real;
begin
    x:=ep[sz].xp; y:=ep[sz].yp;
    re:=sqrt(sqr(x)+sqr(y));
    alf:=szog*pi/180;
    ep[sz].uj(round(re*cos(alf)),round(re*sin(alf)));
    ekoord(sz);
end;

procedure erinth(h: word);
    {új hosszaknak megfelelő érintőkoordináták kiszámítása}
var x, y, re: real;
begin
    x:=ep[sz].xp; y:=ep[sz].yp;
    re:=sqrt(sqr(x)+sqr(y));
    if re<1 then ep[sz].uj(h,0)
    else ep[sz].uj(round(x*h/re),round(y*h/re));
    ekoord(sz);
end;

procedure kpontok; {kontrollpontok és érintők megjelenítése}
begin
    for k:=1 to nh do emegj(k);
    for k:=1 to nh do a[k].megj;
end;

procedure ersz; {érintők kiszámítása a szomszédos pontok függvényében}
begin
    alak;
    egyutth; lap(208,5); str(k0:3:2,kn);
    setfillstyle(1,11); bar(60,40,150,50); outtextxy(65,43,'k0 =
'+kn); case qa of
    'N':begin {nyílt görbe esetére}
        ep[1].xp:=round((a[2].xp-a[1].xp)*k0);
        ep[1].yp:=round((a[2].yp-a[1].yp)*k0);
        ep[nh].xp:=round((a[nh].xp-a[nh-1].xp)*k0);
        ep[nh].yp:=round((a[nh].yp-a[nh-1].yp)*k0); end;
    'Z':begin {zárt görbe esetére}
        ep[1].xp:=round((a[2].xp-a[nh].xp)*k0);
        ep[1].yp:=round((a[2].yp-a[nh].yp)*k0);
        ep[nh].xp:=round((a[1].xp-a[nh-1].xp)*k0);
        ep[nh].yp:=round((a[1].yp-a[nh-1].yp)*k0); end;
    end;
for k:=2 to nh-1 do begin
    ep[k].xp:=round((a[k+1].xp-a[k-1].xp)*k0);
    ep[k].yp:=round((a[k+1].yp-a[k-1].yp)*k0); end;
```

```

for k:=1 to nh do
ekoord(k); racs2; kpointok;
end;

procedure ujrasz; {felhasználó által elrendelt érintőújrászámítás}
begin
  ujra; if qm='I' then ersz;
end;

procedure rajz; {görbe megjelenítése}
coast nr=20;

var
  j: integer;
  u, u2, u3, w, z: real;
function xr(i, j: integer): integer; (görbepont x koordinátája)
begin
  case qa of
    'N':begin
      u:=j/nr; u2:=u*u; u3:=u2*u;
      xr:=kx0+round((2*u3-3*u2+1)*a[i].xp+(-2*u3+3*u2)*a[i+1].xp+
        (u3-2*u2+u)*ep[i].xp+(u3-u2)*ep[i+1].xp);
    end;
    'Z':begin
      u:=j/nr; u2:=u*u; u3:=u2*u;
      if i=nh then
        xr:=kx0+round((2*u3-3*u2+1)*a[nh].xp+(-2*u3+3*u2)*a[1].xp+
          (u3-2*u2+u)*ep[nh].xp+(u3-u2)*ep[1].xp)
      else
        xr:=kx0+round((2*u3-3*u2+1)*a[i].xp+(-2*u3+3*u2)*a[i+1].xp+
          (u3-2*u2+u)*ep[i].xp+(u3-u2)*ep[i+1].xp);
      end;
    end;
end;

function yr(i, j: integer): integer; (görbepont y koordinátája)
begin
  case qa of
    'N':begin
      u:=j/nr; u2:=u*u; u3:=u2*u;
      yr:=ky0-round((2*u3-3*u2+1)*a[i].yp+(-2*u3+3*u2)*a[i+1].yp+
        (u3-2*u2+u)*ep[i].yp+(u3-u2)*ep[i+1].yp);
    end;
    'Z':begin
      u:=j/nr; u2:=u*u; u3:=u2*u;
      if i=nh then
        yr:=ky0-round((2*u3-3*u2+1)*a[nh].yp+(-2*u3+3*u2)*a[1].yp+
          (u3-2*u2+u)*ep[nh].yp+(u3-u2)*ep[1].yp)
      else
        yr:=ky0-round((2*u3-3*u2+1)*a[i].yp+(-2*u3+3*u2)*a[i+1].yp+
          (u3-2*u2+u)*ep[i].yp+(u3-u2)*ep[i+1].yp);
      end;
    end;
end;
end;

```

```
begin
  eger_n;
  racs2; setlinestyle(0,0,3); setcolor(15);
  if qa='N' then moveto(a[1].xr,a[1].yr);
  if qa='Z' then moveto(xr(1,0),yr(1,0));
    for is=1 to nh-1 do for j:=1 to nr do lineto(xr(i,j),yr(i,j));
      if qa='Z' then for j:=1 to nr do lineto(xr(nh,j),yr(nh,j));
    setlinestyle(0,0,1);
  eger_l;
end;

procedure tar; {kontrollponttár - ahonnan új pontot lehet egérrel
                elvenni}

begin
  k:=nh+1; a[k].kezd; ep[k].kezd; ep[k].uj(0,0); ekoord(k);
end;

begin
  grindhi; ker_2; eger_k; mm:=imagesize(0,0,2*r,2*r);
  ef:=0; getmem(p,q,mm);
  repeat
    qu='N'; fe:=0;
    for k:=0 to nm do a[k].uj(0,0); qk='N';
  eger_n; racs2; konfig; nh:=a[0].xp; parancs(3);
  eger_n; racs2; eger_l; setcolor(15);
  if nh>0 then for k:=1 to nh do begin {kezdőkonfiguráció
                                        megjelenítése}

    with ep[k] do begin
      getmem(q,mm); fg:=0; end;
    megj(k);
    with a[k] do begin
      getmem(q,mm); getimage(xr-r, yr-r, xr+r, yr+r, q^); fg:=0; megj;
    end;
  end;
  tar;
  if nh>2 then ujrassz;
  repeat
    egér_t(kx0,10,620,ky0); eger_l; qr:=' '; k:=0;
    bill:=1; {billentyűzet aktív}
    repeat eger_f; until (ef=1) or (keypressed) or gombny(valasz);
    if of=1 then bill:=0; {billentyűzet az elengedésig nem aktív}
    repeat eger_v; eger_e; until ef=0;
    if k=nh+1 then begin if a[k].bent then nh:=nh+1; end
      else if not (a[k].bent) then begin
        {aktív mezőről lehúzott kontrollpont törlése}
      end;
    eger_n;
    for sz:=k+1 to nh do begin a[sz-1]:=a[sz]; ep[sz-1]:=ep[sz];
      end;
    nh:=nh-1; end;
  if bill=1 then begin
    repeat par_katt(1,qr); until qr in valasz; eger_n;
```

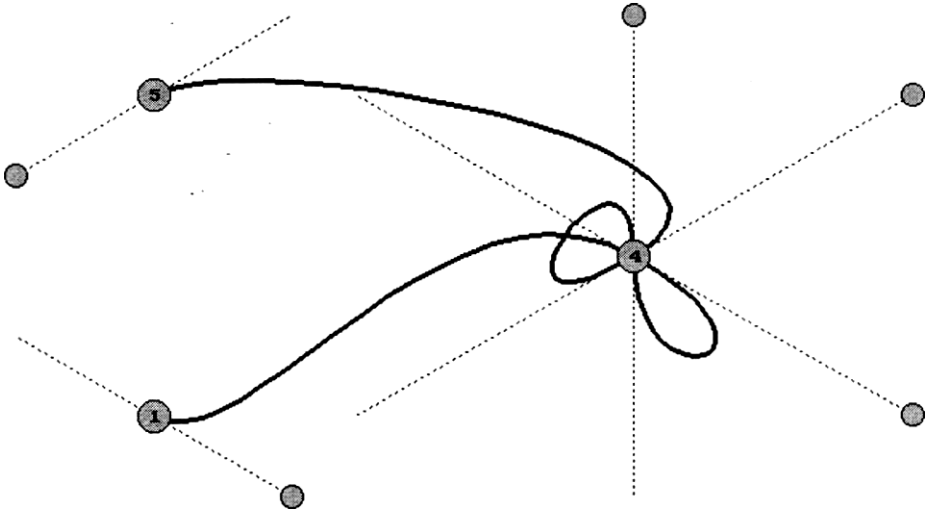
```

case qr of
  'B':if nh<nm then begin (új kontrollpont beszúrása)
    gb[6]:=1; parancs(3);
    sorszam;
    if sz>0 then begin
      if sz>nh then sz:=nh+1;
      if sz<=nh then for k:=nh downto sz do begin
        a[k+1]:=a[k]; ep[k+1]:=ep[k]; end;
        koordin; a[sz].uj(x,y); a[sz].koord;
        ep[sz].uj(0,0); ekoord(sz);
        nh:=nh+1;
      end;
      gb[6]:=0; lap(208,5); fe:=0;
    end;
  'V':begin {váltortatandó kontrollpont kiválasztása}
    gb[1]:=1; parancs(3); sorszam;
    if (sz>0) and (sz<=nh) then begin
      kper;
      case qr of
        'E':begin (érintőváltortatás)
          evlt;
          case qe of
            'H':begin erintoh; erinth(er); end; (hossz)
            'S':begin erintosz; erintsz(er); end; (irányítás)
          end;
        end;
        'P':begin vlt; {pont sorszám/hely váltortatása}
          case qr of
            'S':begin
              st:=sz; a[0]:=a[sz]; ep[0]:=ep[sz]; sorszam;
              if (sz>st) and (sz<=nh) then
                for k:=st to sz-1 do begin
                  a[k]:=a[k+1]; ep[k]:=ep[k+1]; end;
              if (sz<st) and (sz>0) then
                for k:=st downto sz+1 do begin
                  a[k]:=a[k-1]; ep[k]:=ep[k-1]; end;
              a[sz]:=a[0]; ep[sz]:=ep[0];
            end;
            'H':begin koordin;
              a[sz].uj(x,y); a[sz].koord; ekoord(sz); end;
          end;
        end;
      end;
    end;
    gb[1]:=0; lap(208,5); fe:=0;
  end;
  'T':if nh>0 then begin {kontrollpont törlése}
    gb[5]:=1; parancs(3); sorszam;
    if sz>0 then begin
      if sz<nh then for k:=sz+1 to nh do begin
        a[k-1]:=a[k]; ep[k-1]:=ep[k]; end;
      if sz<=nh then nh:=nh-1;
    end;
  end;
end;

```

```
        end;
        gb[5]:=0; lap(208,5);
    end;
    'G':if nh>2 then begin {görbemegjelenítés}
        gb[3]:=1; parancs(3); alak;
        rajz;
        gb[3]:=2; fe:=1;
    end;
    'E':if fe=1 then begin {görbemegjelenítés keret nélkül}
        gb[2]:=1; parancs(3); kpl; cleardevice;
        if qm='I' then begin racs2; rajz; kpontok; end
            else rajz;
        setcolor(7); outtextxy(5,5,'ESC - vissza');
        repeat qm:=readkey; until ord(qm)=27;
        ker_2;
        gb[2] :=0;
    end;
    'Q':begin (kilépés)
        gb[4]:=1; parancs(3);
        repeat kilep until not ((v='N') and (qm='I'));
        vege; if qk='N' then begin uj konf ; gb [ 4 ] : =0; end;
    end;
end;
end;
if gb[4]=0 then begin
    if gb[3]=0 then racs2; kpontok; gb[3]:=0; parancs(3); eger_1;
    if (nh>2) and (qr<>'Q') then ujrasz; tar;
end;
until (qk='I') or (qu='I');
for k:=1 to nh do begin dispose(a[k].q); dispose(ep[k].q); end;
    (a bitmap-memóriák felszabadítása a heap-ben)
until qu='N';
closegraph;
end.
```

Az érintők megfelelő kiválasztásával többszörös (több, ugyanazon helyen álló, a sorban szomszédos) kontrollpontokban is meghatározható a görbe alakja, amint az a 2.8. ábrán is látható, amelyen a 4-es számmal jelölt kontrollpont háromszoros (a 2, 3 és 4 sorszámú pontok azonos helyen állnak), így a leírt önműködő érintőmeghatározás a 3-as sorszámú pontra nulla hosszúságú érintőt adna.



2.8. ábra

### 2.3.4. Spline interpoláció

A spline angol eredetű szó, egy, a műszaki rajzban használt eszköz neve. Ez egy hosszú, vékony, rugalmas vessző volt, amelyen hosszában több nehezék szabadon csúszhatott. A nehezékeket a rajzasztalon a kívánt pontokba (kontrollpontok) helyezve, a vessző egy, a pontokat összekötő sima görbe mentén helyezkedett el. A szilárdságtanban ismert elv, hogy rugalmas tárgyak külső erők hatására olyan alakot vesznek fel, amely az adott megszorítások mellett a helyzeti energia minimumát adja. Hajlított rugalmas vessző helyzeti energiája a görbület négyzetének integráljával arányos, az  $y = f(x)$  előállítású síkgörbe görbülete pedig:

$$\frac{1}{\rho} = \frac{y''}{(1 + y'^2)^{3/2}}, \quad (2.20)$$

ahol  $\rho$  a görbületi sugár,  $y'$  az első-,  $y''$  a második deriváltat jelenti. Nem túl nagy görbületi értékek esetén a nevező hatása elhanyagolható és a helyzeti energia az

$$\int_{x_0}^{x_n} (y'')^2 dx$$

integrállal arányos.

A funkcionál-analízis egyik fontos eredménye a következő: ha adott  $n + 1$  pont:  $(x_0, y_0), (x_1, y_1), \dots, (x_n, y_n)$  és  $s \in C^2[x_0, x_n]$  (az adott intervallumon első két deriváltjukkal együtt folytonos függvények halmaza), amely:

- minden  $[x_k, x_{k+1}]$ ,  $k = 0, 1, \dots, n - 1$  intervallumon harmadfokú polinom
- $s(x_k) = y_k$ ,  $k = 0, 1, \dots, n$
- $x_0$  és  $x_n$  pontokban a második deriváltja nulla

és  $g \in C^2[x_0, x_n]$  egy másik függvény, amelyre  $g(x_k) = y_k$ ,  $k = 0, 1, \dots, n$ , akkor

$$\int_{x_0}^{x_n} (g''(x))^2 dx \geq \int_{x_0}^{x_n} (s''(x))^2 dx$$

és az egyenlőség csakis akkor áll fenn, ha  $g \equiv s$ .

Ez azt jelenti, hogy a harmadfokú spline függvények ( $s$ ) az összes másodrendű folytonos függvények közül a legkisebb "rugalmas helyzeti energiával" interpolálják az adott kontrollponthalmazt.

A paraméteres előállítású görbék esetében (beleértve az  $y = f(x)$  előállítást is), adott kontrollpontosorra a megfelelő spline-függvény összetevői a különböző koordinátákra (derékszögű koordinátarendszerre: síkban  $x$  és  $y$ , térben  $x$ ,  $y$  és  $z$ ) egymástól függetlenül állíthatók elő a következőképpen:

Legyen  $f_k$ ,  $k = 0, 1, \dots, n$  a kontrollpontosor valamelyik koordinátájának sora,  $g: [a, b] \rightarrow \mathfrak{R}$  a spline függvény megfelelő összetevője,  $t$  a görbe előállításának paramétere (a  $g$  függvény változója),  $t_0 = a$ ,  $t_1, \dots, t_{n-1}$ ,  $t_n = b$  pedig az értelmezési tartomány egy felosztása (természetesen a görbe mindegyik előállítási függvényének kiszámításakor ugyanazt a felosztást kell használni).

A  $g$  függvény a következő feltételeknek kell, hogy eleget tegyen: (2.23)

- minden  $[t_k, t_{k+1}]$   $k = 0, 1, \dots, n-1$  intervallumon harmadfokú polinom
- $g(t_k) = f_k$   $k = 0, 1, \dots, n$  - annak feltétele, hogy a görbe átmenjen a kontrollpontokon
- $g'(t_k + 0) = g'(t_k - 0)$  - az érintő folytonosságának feltétele
- $g''(t_k + 0) = g''(t_k - 0)$  - a görbület folytonosságának feltétele

Ezenkívül szükség van még a szélső kontrollpontokban egy-egy határfeltételre. Ezek a feltételek a keresett görbealaktól függően esetenként lehetnek:

a) nyílt görbe, szabad végekkel (a szélső pontokban nulla a második derivált):

$$g''(t_0) = g''(t_n) = 0 . \quad (2.24)$$

b) nyílt görbe, a végeken adott

$$g'(t_0 + 0) = f'_0 , \quad g'(t_n - 0) = f'_n \quad (2.25)$$

Ez a feltétel használható gömb topológiájú zárt felületek paramétervonalainak előállításánál, ha ismertek az érintők a pólusokon.



c) zárt görbe - ez annyit tesz, hogy a spline függvény koordináták szerinti összetevői periodikus függvények, a periódus az értelmezési tartomány hossza. Eggyel több kontrollpontot tekintünk (és a felosztásban eggyel több intervallumot):  $f_{n+1} = f_0$

$$g(t_{n+1}) = f_0, \quad g'(t_{n+1} - 0) = g'(t_0 + 0), \quad g''(t_{n+1} - 0) = g''(t_0 + 0). \quad (2.2)$$

Abból, hogy a függvény szakaszonként harmadfokú polinom és második deriváltja folytonos az következik, hogy a másodrendű derivált grafikus képe egy törtvonal (a kontrollpontokban levő másodrendű deriváltértékeket összekötő szakaszokból áll). Ez a 2.24 esetben:

$$g''(t) = 6a_k \frac{t_{k+1} - t}{d_k} + 6b_k \frac{t - t_k}{d_k}; \quad d_k = t_{k+1} - t_k, \quad (2.27)$$

$$a_0 = a_n = 0, \quad b_k = a_{k+1}; \quad k = 0, 1, \dots, n-1$$

Kétszer integrálva a fenti képletet, a  $g$  függvény következő szakaszonkénti előállítását kapjuk (figyelembe véve a kontrollpontokon való átmenés feltételét is):

$$g(t) = a_k \frac{(t_{k+1} - t)^3}{d_k} + a_{k+1} \frac{(t - t_k)^3}{d_k} + (f_k - a_k d_k^2) \frac{t_{k+1} - t}{d_k} + (f_{k+1} - a_{k+1} d_k^2) \frac{t - t_k}{d_k}; \quad t_k \leq t \leq t_{k+1}, \quad (2.28)$$

ami, figyelembe véve az érintő és a görbület folytonosságának feltételeit (2.23), a

$$d_{k-1} a_{k-1} + 2(d_{k-1} + d_k) a_k + d_k a_{k+1} = \frac{f_{k+1} - f_k}{d_k} - \frac{f_k - f_{k-1}}{d_{k-1}} \quad (2.2)$$

$$k = 1, \dots, n-1$$

egyenletrendszerhez vezet.

Az értelmezési tartományt és ennek felosztását úgy is megválaszthatjuk, hogy a  $dk$  szakaszok (a felosztás intervallumai) hossza 1 legyen. Bevezetve még az  $f_{k-1} - 2f_k + f_{k+1} = h_k$  jelölést, a 2.29 rendszer a következő egyszerűbb formát ölti:

$$\begin{cases} 4a_1 + a_2 = h_1 \\ a_{k-1} + 4a_k + a_{k+1} = h_k ; & k = 2, \dots, n-2 \\ a_{n-2} + 4a_{n-1} = h_{n-1} \end{cases} \quad (2.30)$$

Ez a rendszer a kiküszöbölés módszerét kétszer alkalmazva a következő módon oldható meg leggyorsabban: először egy-egy ismeretlent küszöbölünk ki, kezdve az első két egyenlettel és rendre kapjuk:

$$\begin{aligned} q_1 &= \frac{1}{4}; & \bar{h}_1 &= q_1 h_1 \\ q_k &= \frac{1}{4 - q_{k-1}}; & \bar{h}_k &= q_k (h_k - \bar{h}_{k-1}); & k &= 2, \dots, n-1 \\ a_k + q_k a_{k+1} &= \bar{h}_k; & k &= 1, \dots, n-2 \\ a_{n-1} &= \bar{h}_{n-1} \end{aligned} \quad (2.31)$$

mivel az utolsó ismeretlent kiszámítottuk, visszahelyettesítéssel az utolsó előtti egyenlettől rendre az elsőig:

$$a_k = \bar{h}_k - q_k a_{k+1}; \quad k = n-2, n-3, \dots, 1. \quad (2.32)$$

A bemutatott algoritmusban az egyes változók fölötti vízszintes vonal az illető változónak a számítások során adott új értékét jelenti.

A kapott együtthatókkal a keresett görbe pontjainak koordinátáit a

$$\begin{aligned} g(t) &= a_k (t_{k+1} - t)^3 + a_{k+1} (t - t_{k+1})^3 + (f_k - a_k)(t_{k+1} - t) + (f_{k+1} - a_{k+1})(t - t_{k+1}) \\ t_k &\leq t \leq t_{k+1}; \quad k = 0, \dots, n-1 \end{aligned} \quad (2.33)$$

előállításban számíthatjuk és a görbét úgy jelenítjük meg, hogy meghúzzuk a kontrollpontok közé eső ívek

$$t_j = t_k + \frac{j}{n_r}; \quad j = 0, 1, \dots, n_r \quad (2.34)$$

felosztásnak megfelelő elemi húrjait.

Írjuk fel a zárt görbék előállítására szolgáló harmadfokú spline függvény együtthatóinak kiszámítását, ezúttal a vektoros felírást használva. Ez annyi egyenletrendszerrel jelent ahány dimenziós a tér, amelyikben a kontrollpontsor értelmezett, de, akárcsak a fennebb tárgyalt esetben az egyenletrendszerek egymástól függetlenek és külön-külön megoldhatók.

Legyen tehát  $p_k$ ,  $k = 0, 1, \dots, n$  helyvektorokkal jellemzett kontrollpontsor,  $\mathbf{r}[0, n] \rightarrow \mathcal{R}^m$  ( $m \geq 2$ ) a keresett spline függvény. Az értelmezési tartomány  $t_0 = 0, t_1 = 1, \dots, t_k = k, \dots, t_n = n$ , felosztását használjuk.

A kontrollpontokban való folytonossági (2.35)

- $r(t_k) = p_k$ ,  $k = 0, 1, \dots, n$  - annak feltétele, hogy a görbe átmenjen a kontrollpontokon
- $r'(t_k + 0) = r'(t_k - 0)$  - az érintő folytonosságának feltétele
- $r''(t_k + 0) = r''(t_k - 0)$  - a görbület folytonosságának feltétele

Térgörbék esetén (2.6 vektoros

$$\mathbf{r}'(t) = \mathbf{r}(x'(t), y'(t), z'(t)), \mathbf{r}''(t) = \mathbf{r}(x''(t), y''(t), z''(t)) \quad (2.36)$$

A periodikussági

$$\mathbf{r}(t_{n+1}) = \mathbf{p}_0, \mathbf{r}'(t_{n+1} - 0) = \mathbf{r}'(t_0 + 0), \mathbf{r}''(t_{n+1} - 0) = \mathbf{r}''(t_0 + 0) \quad (2.37)$$

**A következő előállítás**

$$\mathbf{r}(t) = \begin{cases} \mathbf{a}_k(t_{k+1} - t)^3 + \mathbf{a}_{k+1}(t - t_k)^3 + (\mathbf{p}_k - \mathbf{a}_k)(t_{k+1} - t) + (\mathbf{p}_{k+1} - \mathbf{a}_{k+1})(t - t_k) \\ \quad t_k \leq t \leq t_{k+1} & k = 0, 1, \dots, n-1 \\ \mathbf{a}_n(t_{n+1} - t)^3 + \mathbf{a}_0(t - t_n)^3 + (\mathbf{p}_n - \mathbf{a}_n)(t_{n+1} - t) + (\mathbf{p}_0 - \mathbf{a}_0)(t - t_n) \\ \quad t_n \leq t \leq t_{n+1} \end{cases} \quad (2.38)$$

együtthatóit kell meghatározni. A 2.35 feltételekkel az egyenletrendszert kapjuk.

$$\begin{cases} \mathbf{a}_{k-1} + 4\mathbf{a}_k + \mathbf{a}_{k+1} = \mathbf{p}_{k-1} - 2\mathbf{p}_k + \mathbf{p}_{k+1} = \mathbf{h}_{k-1}; & k = 1, \dots, n-1 \\ \mathbf{a}_{n-1} + 4\mathbf{a}_n + \mathbf{a}_0 = \mathbf{p}_{n-1} - 2\mathbf{p}_n + \mathbf{p}_0 = \mathbf{h}_{n-1} \\ \mathbf{a}_n + 4\mathbf{a}_0 + \mathbf{a}_1 = \mathbf{p}_n - 2\mathbf{p}_0 + \mathbf{p}_1 = \mathbf{h}_n \end{cases} \quad (2.39)$$

**Ez a rendszer is megoldható, a kiküszöbölés módszerét háromszor alkalmazva. A következő együtthatókat vezetjük be:**

$$\begin{aligned} q_0 &= \frac{1}{4}; & q_k &= \frac{1}{4 - q_{k-1}} \\ s_0 &= \frac{1}{4}; & s_k &= -s_{k-1}q_k; & k &= 1, \dots, n-2 \\ q_{n-1} &= \frac{1 - s_{n-2}}{4 - q_{n-2}}; & q_n &= \frac{1}{4 - q_{n-1}}; \end{aligned} \quad (2.40)$$

A 2.39 rendszer szabadtagjait a következő módon újraszámítva:

$$\begin{aligned}
 \overline{\mathbf{h}}_0 &= q_0 \mathbf{h}_0 \\
 \overline{\mathbf{h}}_k &= q_k (\mathbf{h}_k - \overline{\mathbf{h}}_{k-1}); \quad k=1, \dots, n-2 \\
 \overline{\mathbf{h}}_{n-1} &= \frac{\mathbf{h}_{n-1} - \overline{\mathbf{h}}_{n-2}}{4 - q_{n-2}} \\
 \overline{\mathbf{h}}_n &= q_n (\mathbf{h}_n - \overline{\mathbf{h}}_{n-1})
 \end{aligned} \tag{2.41}$$

az

$$\begin{cases}
 \mathbf{a}_k + q_{k-1} \mathbf{a}_{k+1} + s_{k-1} \mathbf{a}_0 = \overline{\mathbf{h}}_{k-1}; \quad k=1, \dots, n-1 \\
 \mathbf{a}_n + q_{n-1} \mathbf{a}_0 = \overline{\mathbf{h}}_{n-1} \\
 \mathbf{a}_0 + q_n \mathbf{a}_1 = \overline{\mathbf{h}}_n
 \end{cases} \tag{2.42}$$

alakjához jutunk.

Az együtthatókat a

$$\begin{aligned}
 \overline{s}_n &= \frac{1}{q_n}; \quad \overline{s}_0 = \frac{s_0 - \overline{s}_n}{q_0} \\
 \overline{s}_k &= \frac{s_k - \overline{s}_{k-1}}{q_k}; \quad k=1, \dots, n-2;
 \end{aligned} \tag{2.43}$$

és a szabadtagokat a

$$\begin{aligned}
 \overline{\overline{\mathbf{h}}_n} &= s_n \overline{\mathbf{h}}_n \\
 \overline{\overline{\mathbf{h}}_0} &= \frac{\overline{\mathbf{h}}_0 - \overline{\mathbf{h}}_n}{q_0} \\
 \overline{\overline{\mathbf{h}}_k} &= \frac{\overline{\mathbf{h}}_k - \overline{\mathbf{h}}_{k-1}}{q_k} \quad k = 1, \dots, n-2
 \end{aligned} \tag{2.44}$$

képletekkel újraszámítva a következőt kapjuk:

$$\left\{ \begin{array}{l}
 \mathbf{a}_1 + s_n \mathbf{a}_0 = \overline{\overline{\mathbf{h}}_n} \\
 \mathbf{a}_k + s_{k-2} \mathbf{a}_0 = \overline{\overline{\mathbf{h}}_{k-2}}; \quad k = 2, \dots, n \\
 \mathbf{a}_0 = \frac{\overline{\overline{\mathbf{h}}_{n-1}} - \overline{\overline{\mathbf{h}}_{n-2}}}{q_{n-1} - s_{n-2}}
 \end{array} \right. \tag{2.45}$$

majd

$$\left\{ \begin{array}{l}
 \mathbf{a}_1 = \overline{\overline{\mathbf{h}}_n} - s_n \mathbf{a}_0 \\
 \mathbf{a}_k = \overline{\overline{\mathbf{h}}_{k-2}} - s_{k-2} \mathbf{a}_0; \quad k = 2, \dots, n
 \end{array} \right. \tag{2.46}$$

A változók fölötti egy vagy két vízszintes vonal itt is az illető változónak a számítások során első illetve második ízben adott új értékét jelenti.

A bemutatott módszert valósítja meg a GB\_2D\_IP.PAS és a GB\_3D\_IP.PAS nevű programok síkbeli illetve térbeli spline interpolációt használó részei.

A spline interpoláció lényeges előnye a Coons-Hermite interpolációval szemben, hogy nem kell megadni az érintőket a kontrollpontokban, elég a kontrollpontok koordinátáit megadni. Bizonyos feladatok esetében hátrányos az a tulajdonsága, hogy egyetlen kontrollpont elmozdítása az egész görbe alakjára kihat, bár nagyobb számú kontrollpont esetén ez a hatás csak a szomszédos néhány intervallumon számottevő.

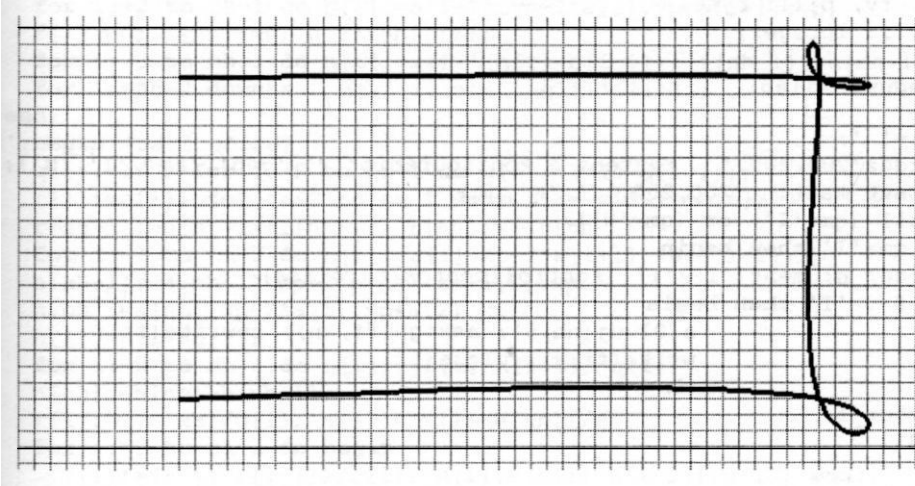
A 2.9 ábrán egy spline interpolációval szerkesztett zárt síkgörbe látható, míg a 2.10. ábrán egy zárt térgörbe, amely egy kocka csúcsain megy át.



Többszörös kontrollpontok esetén a spline görbéken hurkok keletkeznek, amint az a 2.11. ábrán is látható, amelyen a jobb felső kontrollpont háromszoros, a jobb alsó pedig kétszeres (a kontrollpont-konfiguráció azonos a 2.14. ábrán láthatóval).

2.11. ábra

A



GB\_2D\_IP.PAS nevű program sima síkgörbék különböző interpolációs illetve approximációs eljárással való szerkesztésére és megjelenítésére szolgál. A kontrollpont-konfigurációt billentyűzetről való koordinátabeírással vagy egerrel való mozgatással lehet meghatározni. A szerkesztési módszert változtatva ugyanarra a konfigurációra, a különböző módszereket össze lehet hasonlítani. A megjelenítést lehetővé teszi a szerkesztési környezetén kívül is, a kontrollpontok tetszés szerinti megjelenítésével. A görbe nyílt vagy zárt voltát is ki lehet választani. A Coons-Hermite interpolációt a 2.3.3. alponban leírt önműködő érintőszámítással végzi (a ko alakparaméter lekérdezésével együtt).

{SN+}

```

program gb_2d_ip; {sírna síkgörbeszerkesztés különböző approximációs
                   illetve interpolációs eljárással}

uses
  graph, grafind, crt, dos, kozos, file_kez, konf_2d, eger_kez, eger_kp,
  kerdesek, gomb_kez, kozos_gb;

```



**const**

```
valasz: kars = ['B','E','G','Q','T','V'];  
modszer: kars =
```

**var**

```
ff: file of mp;  
e, f: array[1..nm] of real;  
nh, fv, bill: byte;  
st, i: integer;
```

**procedure** kilep;**begin**

```
qm:='  
kerdez(200,200,' Menteni a konfigurációt?', 'gen','em','I','N');  
repeat kattint(200,200,'I','N',qm);  
until (qm='I') or (qm='N');  
if qm='I' then begin  
  eger_n; ment ('IP2') ; {kontrollpontok tárolása}  
  if v='I' then begin  
    a[0].uj(nh,0); assign(ff,kn); rewrite(ff);  
    write(ff,a); close(ff);  
  end;  
  eger_1;  
end;  
end;
```

**procedure** konfig;**begin****repeat**

```
  qf:=' ';
```

```
  kerdez(200,200,' Konfiguráció
```

```
  repeat kattint(200,200,'U','T',qf);
```

```
  until (qf='U') or (qf='T');
```

```
  if qf='T' then begin
```

```
    eger_n; olvas('IP2'); {tárolt kontrollpontok betöltése}
```

```
    if ko=1 then begin assign(ff,kn); reset(ff); read(ff,a);  
      close(ff);
```

```
    end;
```

```
    eger_1;
```

```
  end else ko:=1;
```

```
  until ko=1;
```

**end;****procedure** kpointok; {kontrollpontok megjelenítése}**begin**

```
  setcolor(15); for k:=1 to nh do a[k].megj;
```

**end;****procedure** spline; {splinefüggvények együtthatóinak kiszámítása}**var**

```
  h, q, r: array [ 1 .. nm] of real;
```

**begin**

```

case qa of
'N':begin {nyílt görbe}
  q[2]:=1/4; for i:=3 to nh-i do q[i]:=1/(4-q(i-1));
  for i:=2 to nh-1 do h[i]:=a[i-i].xp-2*a[i].xp+a[i+i].xp;
  e[1]:=0; e[nh]:=0; h[2]:=h[2]/4;
  for i:=3 to nh-1 do h[i]:=q[i]*(h[i]-h[i-1]); e[nh-1]:=h[nh-1];
  for i:=nh-2 downto 2 do e[i]:=h[i]-q[i]*e[i+1];
  for i:=2 to nh-1 do h[i]:=a[i-1].yp-2*a[i].yp+a[i+1].yp;
  f[i]:=0; f[nh]:=0; h[2]:=h[2]/4;
  for i:=3 to nh-1 do h[i]:=q[i]*(h[i]-h[i-1]); f[nh-1]:=h[nh-1];
  for i:=nh-2 downto 2 do f[i]:=h[i]-q[i]*f[i+1];
end;
'Z':begin {zárt görbe}
  q[1]:=1/4; for i:=2 to nh-1 do q[i]:=1/(4-q[i-1]);
  r[1]:=q[1]; for i:=2 to nh-i do r[i]:=-r[i-1]*q[i];
  r[nh-1]:=q[nh-1]+r[nh-1]; r[nh]:=4-r[nh-1];
  for i:=1 to nh-2 do h[i]:=a[i].xp-2*a[i+1].xp+a[i+2].xp;
  h[nh-1]:=a[nh-1].xp-2*a[nh].xp+a[1].xp;
  h[nh]:=a[nh].xp-2*a[i].xp+a[2].xp;
  h[1]:=h[1]*q[1];
  for i:=2 to nh-1 do h[i]:=(h[i]-h[i-1])*q[i];
  h[nh]:=h[nh]-h[nh-1];
  r[1]:=1-r[nh]/q[1]; h[1]:=(h[1]-h[nh])/q[1];
  for i:=2 to nh-2 do begin
    r[i]:=(r[i]-r[i-1])/q[i]; h[i]:=(h[i]-h[i-1])/q[i]; end;
  e[1]:=(h[nh-1]-h[nh-2])/(r[nh-1]-r[nh-2]);
  for i:=nh downto 3 do e[i]:=h[i-2]-r[i-2]*e[1];
  e[2]:=h[nh]-r[nh]*e[1];
  r[1]:=q[1]; for i:=2 to nh-1 do r[i]:=-r[i-1]*q[i];
  r[nh-1]:=q[nh-1]+r[nh-1]; r[nh]:=4-r[nh-1];
  for i:=1 to nh-2 do h[i]:=a[i].yp-2*a[i+1].yp+a[i+2].yp;
  h[nh-1]:=a[nh-1].yp-2*a[nh].yp+a[1].yp;
  h[nh]:=a[nh].yp-2*a[1].yp+a[2].yp;
  h[1]:=h[1]*q[1];
  for i:=2 to nh-1 do h[i]:=(h[i]-h[i-1])*q[i];
  h[nh]:=h[nh]-h[nh-1];
  r[1]:=1-r[nh]/q[1]; h[1]:=(h[1]-h[nh])/q[1];
  for i:=2 to nh-2 do begin
    r[i]:=(r[i]-r[i-1])/q[i]; h[i]:=(h[i]-h[i-1])/q[i]; end;
  f[i]:=(h[nh-1]-h[nh-2])/(r[nh-1]-r[nh-2]);
  for i:=nh downto 3 do f[i]:=h[i-2]-r[i-2]*f[1];
  f[2]:=h[nh]-r[nh]*f[1];
end;
end;
end;

procedure rajz; {görbe megjelenítése}
const r=50;
      nb=100;
var
  j: integer;
  u, u2, u3, w, z: real;

```

## 2. FEJEZET

---

```

function xr(i, j: integer): integer; {görbepont x koordinátája}
begin
  case a Lj of
    '1':case qa of {Coons-Hermite interpoláció}
      'N':begin (nyílt görbe)
        u:=j/nr; u2:=u*u; u3:=u2*u;
        if i=1 then
          xr:=kx0+round((2*u3-3*u2+1)*a[1].xp+(-2*u3+3*u2)*a[2].xp+
            ((u3-2*u2+u)*(a[2].xp-a[1].xp)+(u3-u2)*(a[3].xp-
              a[1].xp))*k0)
        else if i=nh-1 then
          xr:=kx0+round((2*u3-3*u2+1)*a[nh-1].xp+(-2*u3+3*u2)*a[nh].xp+
            ((u3-2*u2+u)*(a[nh].xp-a[nh-2].xp)+(u3-u2)*(a[nh].xp-
              a[nh-1].xp))*k0)
        else
          xr:=kx0+round((2*u3-3*u2+1)*a[i].xp+(-2*u3+3*u2)*a[i+1].xp+
            ((u3-2*u2+u)*(a[i+1].xp-a[i-1].xp)+(u3-u2)*(a[i+2].xp-
              a[i].xp))*k0);
        end;
      'Z':begin (zárt görbe)
        u:=j/nr; u2:=u*u; u3:=u2*u;
        if i=1 then
          xr:=kx0+round((2*u3-3*u2+1)*a[1].xp+(-2*u3+3*u2)*a[2].xp+
            ((u3-2*u2+u)*(a[2].xp-a[nh].xp)+(u3-u2)*(a[3].xp-
              a[1].xp))*k0)
        else if i=nh-1 then
          xr:=kx0+round((2*u3-3*u2+1)*a[nh-1].xp+(-2*u3+3*u2)*a[nh].xp+
            ((u3-2*u2+u)*(a[nh].xp-a[nh-2].xp)+(u3-u2)*(a[1].xp-
              a[nh-1].xp))*k0)
        else if i=nh then
          xr:=kx0+round((2*u3-3*u2+1)*a[nh].xp+(-2*u3+3*u2)*a[1].xp+
            ((u3-2*u2+u)*(a[1].xp-a[nh-1].xp)+(u3-u2)*(a[2].xp-
              a[nh].xp))*k0)
        else
          xr:=kx0+round((2*u3-3*u2+1)*a[i].xp+(-2*u3+3*u2)*a[i+1].xp+
            ((u3-2*u2+u)*(a[i+1].xp-a[i-1].xp)+(u3-u2)*(a[i+2].xp-
              a[i].xp))*k0);
        end;
      end;
    '3':begin (spline interpoláció)
      u:=j/nr; w:=1-u;
      case qa of
        'N':xr:=kx0+round(e[i]*w*w*w+e[i+1]*u*u*u+
          (a[i].xp-e[i])*w+(a[i+1].xp-e[i+1])*u);
        'Z':if i=nh then
          xr:=kx0+round(e[nh]*w*w*w+e[1]*u*u*u+
            (a[nh].xp-e[nh])*w+(a[1].xp-e[1])*u)
          else
            xr:=kx0+round(e[i]*w*w*w+e[i+1]*u*u*u+
              (a[i].xp-e[i])*w+(a[i+1].xp-e[i+1])*u);
          end;
      end;
    end;
  end;
end;

```

```

'4':case qa of {másodfokú B-spline közelítés}
  'N':begin (nyílt görbe)
    u:=j/nr;
    if nh=3 then
      xr:=kx0+round(sqr(1-u)*a[1].xp+2*u*(1-u)*a[2].xp+
        sqr(u)*a[3].xp);
    if i=2 then
      xr:=kx0+round(sqr(1-u)*a[1].xp+2*u*(1-u)*a[2].xp+
        sqr(u)*(a[2].xp+a[3].xp)/2)
    else if i=nh-1 then
      xr:=kx0+round(sqr(1-u)*(a[nh-2].xp+a[nh-1].xp)/2+
        2*u*(1-u)*a[nh-1].xp+sqr(u)*a[nh].xp)
    else
      xr:=kx0+round(sqr(1-u)*(a[i-1].xp+a[i].xp)/2+2*u*
        (1-u)*a[i].xp+sqr(u)*(a[i].xp+a[i+1].xp)/2);
    end;
  'Z':begin (zárt görbe)
    u:=j/nr;
    if i=0 then
      xr:=kx0+round(sqr(1-u)*(a[nh-1].xp+a[nh].xp)/2+2*u*
        (1-u)*a[nh].xp+sqr(u)*(a[nh].xp+a[1].xp)/2)
    else if i=1 then
      xr:=kx0+round(sqr(1-u)*(a[nh].xp+a[1].xp)/2+2*u*
        (1-u)*a[1].xp+sqr(u)*(a[1].xp+a[2].xp)/2)
    else
      xr:=kx0+round(sqr(1-u)*(a[i-1].xp+a[i].xp)/2+2*u*
        (1-u)*a[i].xp+sqr(u)*(a[i].xp+a[i+1].xp)/2);
    end;
  end;
'5':case qa of {harmadfokú B-spline közelítés}
  'N':begin (nyílt görbe)
    u:=j/nr; u2:=u*u; u3:=u2*u;
    if i=0 then
      xr:=kx0+round(((6-u3)*a[1].xp+u3*a[2].xp)/6)
    else if i=1 then
      xr:=kx0+round(((5-3*u-3*u2+2*u3)*a[1].xp+(1+3*u+3*u2-
        3*u3)*a[2].xp+u3*a[3].xp)/6)
    else if i=nh-1 then
      xr:=kx0+round(((1-3*u+3*u2-u3)*a[nh-2].xp+(4-6*u2+3*u3)*
        a[nh-1].xp+(1+3*u+3*u2-2*u3)*a[nh].xp)/6)
    else if i=nh then
      xr:=kx0+round(((1-3*u+3*u2-u3)*a[nh-1].xp+
        (5+3*u-3*u2+u3)*a[nh].xp)/6)
    else
      xr:=kx0+round(((1-3*u+3*u2-u3)*a[i-1].xp+(4-6*u2+3*u3)*
        a[i].xp+(1+3*u+3*u2-3*u3)*a[i+1].xp+u3*
        a[i+2].xp)/6);
    end;
  'Z':begin (zárt görbe)
    u:=j/nr; u2:=u*u; u3:=u2*u;
    if i=0 then
      xr:=kx0+round(((1-3*u+3*u2-u3)*a[nh-1].xp+(4-6*u2+3*u3)*
        a[nh].xp+(1+3*u+3*u2-3*u3)*a[1].xp+u3*a[2].xp)/6)

```

```

    else if i=1 then
      xr:=kx0+round(((1-3*u+3*u2-u3)*a[nh].xp+(4-6*u2+3*u3)*
        a[1].xp+(1+3*u+3*u2-3*u3)*a[2].xp+u3*a[3].xp)/6) else
      if i=nh-1 then
        xr:=kx0+round(((1-3*u+3*u2-u3)*a[nh-2].xp+(4-6*u2+3*u3)*
          a[nh-1].xp+(1+3*u+3*u2-3*u3)*a[nh].xp+u3*a[1].xp)/6)
        else
          xr:=kx0+round(((1-3*u+3*u2-u3)*a[i-1].xp+(4-6*u2+3*u3)*
            a[i].xp+(1+3*u+3*u2-3*u3)*a[i+1].xp+u3*a[i+2].xp)/6);
    end;
  end;
end;
end;

function yr(i, j: integer): integer; (görbepont y koordinátája)
begin
  case elj of
    '1':case qa of (Coons-Hermite interpoláció)
      'N':begin (nyílt görbe)
        u:=j/nr; u2:=u*u; u3:=u2*u;
        if i=1 then
          yr:=ky0-round((2*u3-3*u2+1)*a[1].yp+(-2*u3+3*u2)*a[2].yp+
            ((u3-2*u2+u)*(a[2].yp-a[1].yp)+(u3-u2)*(a[3].yp-
              a[1].yp))*k0)
        else if i=nh-1 then
          yr:=ky0-round((2*u3-3*u2+1)*a[nh-1].yp+(-2*u3+3*u2)*
            a[nh].yp+((u3-2*u2+u)*(a[nh].yp-a[nh-2].yp)+
              (u3-u2)*(a[nh].yp-a[nh-1].yp))*k0)
        else
          yr:=ky0-round((2*u3-3*u2+1)*a[i].yp+(-2*u3+3*u2)*a[i+1].yp+
            ((u3-2*u2+u)*(a[i+1].yp-a[i-1].yp)+(u3-u2)*(a[i+2].yp-
              a[i].yp))*k0);
        end;
      'Z':begin (zárt görbe)
        u:=j/nr; u2:=u*u; u3:=u2*u;
        if i=1 then
          yr:=ky0-round((2*u3-3*u2+1)*a[1].yp+(-2*u3+3*u2)*a[2].yp+
            ((u3-2*u2+u)*(a[2].yp-a[nh].yp)+(u3-u2)*(a[3].yp-
              a[1].yp))*k0)
        else if i=nh-1 then
          yr:=ky0-round((2*u3-3*u2+1)*a[nh-1].yp+(-
            2*u3+3*u2)*a[nh].yp+((u3-2*u2+u)*(a[nh].yp-
              a[nh-2].yp)+(u3-u2)*(a[1].yp-a[nh-1].yp))*k0)
          else if i=nh then
            yr:=ky0-round((2*u3-3*u2+1)*a[nh].yp+(-2*u3+3*u2)*a[1].yp+
              ((u3-2*u2+u)*(a[1].yp-a[nh-1].yp)+(u3-u2)*(a[2].yp-
                a[nh].yp))*k0)
          else
            yr:=ky0-round((2*u3-3*u2+1)*a[i].yp+(-2*u3+3*u2)*a[i+1].yp+
              ((u3-2*u2+u)*(a[i+1].yp-a[i-1].yp)+(u3-u2)*(a[i+2].yp-
                a[i].yp))*k0);
        end;
      end;
    end;
  end;
end;

```

```

'3':begin {spline interpoláció}
  u:=j/nr; w:=1-u;
  case qa of
  'N':yr:=ky0-round(f[i]*w*w*w+f[i+1]*u*u*u+
    (a[i].yp-f[i])*w+(a[i+1].yp-f[i+1])*u);
  'Z':if i=nh then
    yr:=ky0-round(f[nh]*w*w*w+f[1]*u*u*u+
      (a[nh].yp-f[nh])*w+(a[1].yp-f[1])*u)
    else
    yr:=ky0-round(f[i]*w*w*w+f[i+1]*u*u*u+
      (a[i].yp-f[i])*w+(a[i+1].yp-f[i+1])*u);
  end;
end;

'4':case qa of {másodfokú B-spline közelítés}
  'N':begin {nyílt görbe}
    u:=j/nr;
    if nh=3 then
      yr:=ky0-round(sqr(1-u)*a[1].yp+2*u*(1-u)*
        a[2].yp+sqr(u)*a[3].yp);
    if i=2 then
      yr:=ky0-round(sqr(1-u)*a[1].yp+2*u*(1-u)*a[2].yp+
        sqr(u)*(a[2].yp+a[3].yp)/2)
    else if i=nh-1 then
      yr:=ky0-round(sqr(1-u)*(a[nh-2].yp+a[nh-1].yp)/2+
        2*u*(1-u)*a[nh-1].yp+sqr(u)*a[nh].yp)
    else
      yr:=ky0-round(sqr(1-u)*(a[i-1].yp+a[i].yp)/2+2*u*(1-u)*
        a[i].yp+sqr(u)*(a[i].yp+a[i+1].yp)/2);
    end;
  end;
  'Z':begin {zárt görbe}
    U:=j/nr;
    if i=0 then
      yr:=ky0-round(sqr(1-u)*(a[nh-1].yp+a[nh].yp)/2+2*u*(1-u)*
        a[nh].yp+sqr(u)*(a[nh].yp+a[1].yp)/2)
    else if i=1 then
      yr:=ky0-round(sqr(1-u)*(a[nh].yp+a[1].yp)/2+2*u*(1-u)*
        a[1].yp+sqr(u)*(a[1].yp+a[2].yp)/2)
    else
      yr:=ky0-round(sqr(1-u)*(a[i-1].yp+a[i].yp)/2+2*u*(1-u)*
        a[i].yp+sqr(u)*(a[i].yp+a[i+1].yp)/2);
    end;
  end;
end;

'5':case qa of {harmadfokú B-spline közelítés}
  'N':begin {nyílt görbe}
    u:=j/nr; u2:=u*u; u3:=u2*u;
    if i=0 then
      yr:=ky0-round(((6-u3)*a[1].yp+u3*a[2].yp)/6)
    else if i=1 then
      yr:=ky0-round(((5-3*u-3*u2+2*u3)*a[1].yp+(1+3*u+3*u2-3*u3)*
        a[2].yp+u3*a[3].yp)/6)
    else if i=nh-1 then
      yr:=ky0-round(((1-3*u+3*u2-u3)*a[nh-2].yp+(4-6*u2+3*u3)*
        a[nh-1].yp+(1+3*u+3*u2-2*u3)*a[nh].yp)/6)
    end;
  end;
end;

```

```

else if i=nh then
  yr:=ky0-round(((1-3*u+3*u2-u3)*a[nh-1].yp+
    (5+3*u-3*u2+u3)*a[nh].yp)/6)
else
  yr:=ky0-round(((1-3*u+3*u2-u3)*a[i-1].yp+(4-6*u2+3*u3)*
    a[i].yp+(1+3*u+3*u2-3*u3)*a[i+i].yp+u3*a[i+2].yp)/6);
end;
'Z':begin {zárt görbe}
  u:=j/nr; u2:=u*u; u3:=u2*u;
  if i=0 then
    yr:=ky0-round(((1-3*u+3*u2-u3)*a[nh-1].yp+(4-6*u2+3*u3)*
      a[nh].yp+(1+3*u+3*u2-3*u3)*a[1].yp+u3*a[2].yp)/6)
  else if i=1 then
    yr:=ky0-round(((1-3*u+3*u2-u3)*a[nh].yp+(4-6*u2+3*u3)*
      a[1].yp+(1+3*u+3*u2-3*u3)*a[2].yp+u3*a[3].yp)/6)
  else if i=nh-1 then
    yr:=ky0-round(((1-3*u+3*u2-u3)*a[nh-2].yp+(4-6*u2+3*u3)*
      a[nh-1].yp+(1+3*u+3*u2-3*u3)*a[nh].yp+u3*a[1].yp)/6)
  else
    yr:=ky0-round(((1-3*u+3*u2-u3)*a[i-1].yp+(4-6*u2+3*u3)*
      a[i].yp+(1+3*u+3*u2-3*u3)*a[i+i].yp+u3*a[i+2].yp)/6);
end;
end;
end;
end;
begin
  eger_n;
  racs2; setlinestyle(0,0,3); setcolor(15);
  if qa='N' then moveto(a[1].xr,a[1].yr);
  case elj of
    '1':begin {Coons-Hermite interpoláció}
      if qa='Z' then moveto(xr(1,0),yr(1,0));
      for i:=1 to nh-1 do for j:=1 to nr do lineto(xr(i,j),yr(i,j));
      if qa='Z' then for j:=1 to nr do lineto(xr(nh,j),yr(nh,j));
    end;
    '2':if qa='N' then begin {Bézier-közelítés}
      for j:=0 to nb-1 do begin
        u:=j/nb; u2:=1-u; u3:=u2; for l:=2 to nh-i do u3:=u3*u2;
        w:=u3*a[1].xp; z:=u3*a[1].yp;
        for i:=2 to nh do begin
          u3:=u3*(nh-i+1)/(i-1)*u/(1-u);
          w:=w+u3*a[i].xp;
          z:=z+u3*a[i].yp;
        end;
        lineto(kx0+round(w),ky0-round(z));
      end;
      lineto(a[nh].xr,a[nh].yr);
    end;
    '3':case qa of {spline interpoláció}
      'N':for is=1 to nh-1 do
        for j:=1 to nr do lineto(xr(i,j),yr(i,j));

```

```

'Z':begin
    moveto(xr(1,0),yr(1,0));
    for i:=1 to nh do
        for j:=1 to nr do lineto(xr(i,j),yr(i,j));
    end;
end;
'4':begin (másodfokú B-spline közelítés)
    if qa='Z' then begin moveto(xr(0,0),yr(0,0));
        for i:=0 to 1 do for j:=1 to nr do lineto(xr(i,j),yr(i,j));
end;
    for i:=2 to nh-1 do
        for j:=1 to nr do lineto(xr(i,j),yr(i,j));
    end;
'5':begin (harmadfokú B-spline közelítés)
    if qa='Z' then moveto(xr(0,0),yr(0,0));
    for i:=0 to nh-1 do for j:=1 to nr do lineto(xr(i,j),yr(i,j));
    if qa='N' then for j:=1 to nr do lineto(xr(nh,j),yr(nh,j));
    end
end;
setlinestyle(0,0,1);
eger_1;
end;

procedure tar; {kontrollponttár - ahonnan új pontot lehet egérrel
                elvenni}

begin
    k:=nh+1; a[k].kezd;
end;

begin
    grindhi; ker_2; eger_k; mm:=imagesize(0,0,2*r,2*r); ef:=0;
repeat
    qu:='N'; fe:=0;
    for k:=0 to nm do a[k].uj(0,0); qk:='N';
    eger_n; racs2; konfig; nh:=a[0].xp; parancs(1); eljárás;
    eger_n; racs2; eger l;
    if nh>0 then (kezdőkonfiguráció megjelenítése)
        for k:=1 to nh do with a[k] do begin
            getmem(q,mm); (helyfoglalás a bitmap-nek a heap-ben)
            getimage (xr-r, yr-r, xr+r, yr+r, q^);
            fg:=0; megj;
        end;
    tar;
repeat
    egert(kx0,10,620,ky0); eger_1; qr:=' '; k:=0;
    bill_ =1; {billentyűzet aktív}
    repeat eger_f; until (ef=1) or (keypressed) or gombny(valasz);
    if of=1 then bill:=0; (billentyűzet az elengedésig nem aktív)
    repeat eger_v; eger_e; until ef=0;
    if k=nh+1 then begin if a[k].bent then nh:=nh+1; end
        else if not (a[k].bent) then begin
            {aktív mezőről lehúzott kontrollpont törlése}
        end;
    eger_n;

```



```

    for sz:=k+1 to nh do a[sz-1]:=a[sz];
    nh:=nh-1; end;
if bill=1 then begin
    repeat par_katt(1,qr); until qr in valasz; eger_n;
    case qr of
        'B':if nh<nm then begin {új kontrollpont beszúrása}
            gb[6]:=1; parancs(1);
            sorszam;
            if sz>0 then begin
                if sz>nh then sz:=nh+1;
                if sz<=nh then for k:=nh downto sz do a[k+1]:=a[k];
                koordin; a [sz] .uj (x, y) ; a [sz] .koord;
                nh:=nh+1;
            end;
            gb[6]:=0; lap(208,5); fe:=0;
        end;
        'V':begin {váltortatandó kontrollpont kiválasztása}
            gb[1]:=1; parancs(1); sorszam;
            if (sz>0) and (sz<=nh) then begin
                vlt;
                case qr of
                    'S':begin {sorszám váltortatása}
                        st:=sz; a[0]:=a[sz]; sorszam;
                        if (sz>st) and (sz<=nh) then
                            for k:=st to sz-1 do a[k]:=a[k+1];
                        if (sz<st) and (sz>0) then
                            for k:=st downto sz+1 do a[k]:=a[k-1];
                        a[sz]:=a[0]
                    end;
                    'H':begin {hely váltortatása}
                        koordin; a [sz] . uj (x, y) ; a [sz] .koord; end;
                end;
            end;
            gb[1]:=0; lap(208,5); fe:=0;
        end;
        'T':if nh>0 then begin {kontrollpont törlése}
            gb[5]:=1; parancs(1); sorszam;
            if sz>0 then begin
                if sz<nh then for k:=sz+1 to nh do a[k-1]:=a[k];
                if sz<=nh then nh:=nh-1;
            end;
            gb[5]:=0; lap(208,5); fe:=0;
        end;
        'G':if nh>2 then begin {görbemegjelenítés}
            gb[3]:=1; parancs(1); alak;
            eger_t(5,5,200,50); eger_1; elj:=' ';
            repeat elj katt(elj); {eljárásválasztás}
            until elj in modszer; eger_n;
            for 1:=7 to 10 do gb[1]:=0;
            case elj of
                '1':begin gb[7]:=1; egyutth; lap(208,5);
                    str(k0:3:2, kn); outtextxy(262,23, 'k0 = '+kn); end;
            end;
        end;
    end;
end;

```

```

'2':begin gb[8]:=1; end;
'3':begin spline; gb[9]:=1; end;
'4':begin b_spline; gb[10]:=1; end;
end;
eljaras; rajz;
gb[3]:=2; fe:=1;
end;
'E':if fe=1 then begin {görbemegjelenítés keret nélkül}
gb[2]:=1; parancs(1); kpl; cleardevice;
if qm='I' then begin racs2; rajz; kpontok; end
else rajz;
setcolor(7); outtextxy(5,5,'ESC - vissza');
repeat qm:=readkey; until ord(qm)=27;
ker 2; eljaras;
gb[2]:=0;
end;
'Q':begin (kilépés)
gb[4]:=1; parancs(1);
repeat kilep until not ((v='N') and (qm='I'));
vege; if qk='N' then ujkonf; gb[4]:=0;
end;
end; .
end;
if gb[3]=0 then racs2; kpontok; gb[3]:=0; parancs(1); eger_1;
tar;
until (qk='I') or (qu='I');

for k:=1 to nh do dispose(a[k].q);
{a bitmap-memóriák felszabadítása a heap-ben}
until qu='N';
closegraph;
end.

```

### 2.3.5. Bézier approximáció

A Bézier közelítés kifejlesztésének célja sima görbék és felületek több kontrollpont segítségével való szerkesztése volt, hogy megkönnyítse a számítógépes formatervezést. A Renault műveknél gépjárműkarosszéria tervezésre 1972 óta használják.

A 2.9 összefüggésben szereplő keverő- vagy súlyfüggvények a következő feltételeknek tesznek eleget:

- a görbe átmege a szélső pontokon ( $p_0$  és  $p_n$ )
- az érintő a szélső pontokban  $p_1 - p_0$  illetve  $p_{n-1} - p_n$  legyen
- a magasabb rendű deriváltak is hasonló módon álljanak elő, például a második deriváltak  $p_0$  pontban a  $p_0, p_1$  és  $p_2$ , a  $p_n$  pontban pedig a  $p_{n-2}, p_{n-1}$  és  $p_n$  pontok határozzák meg
- a súlyfüggvények szimmetrikusak legyenek  $u$  és  $1-u$ -ra nézve, azaz a sorrend megfordítása ne befolyásolja a görbe alakját

A Bernstein polinomok kielégítik ezeket a feltételeket. Alakjuk:

$$B_{k,n}(u) = \frac{n!}{k!(n-k)!} u^k (1-u)^{n-k} \quad u \in [0,1]. \quad (2.47)$$

A Bézier görbék előállítása tehát:

$$\mathbf{r}(u) = \sum_{k=0}^n B_{k,n}(u) \mathbf{P}_k. \quad (2.48)$$

A Bézier közelítés további előnyös tulajdonsága, hogy minden kontrollpont-konfiguráció esetén a görbe benne van a karakterisztikus keret konvex burkában.

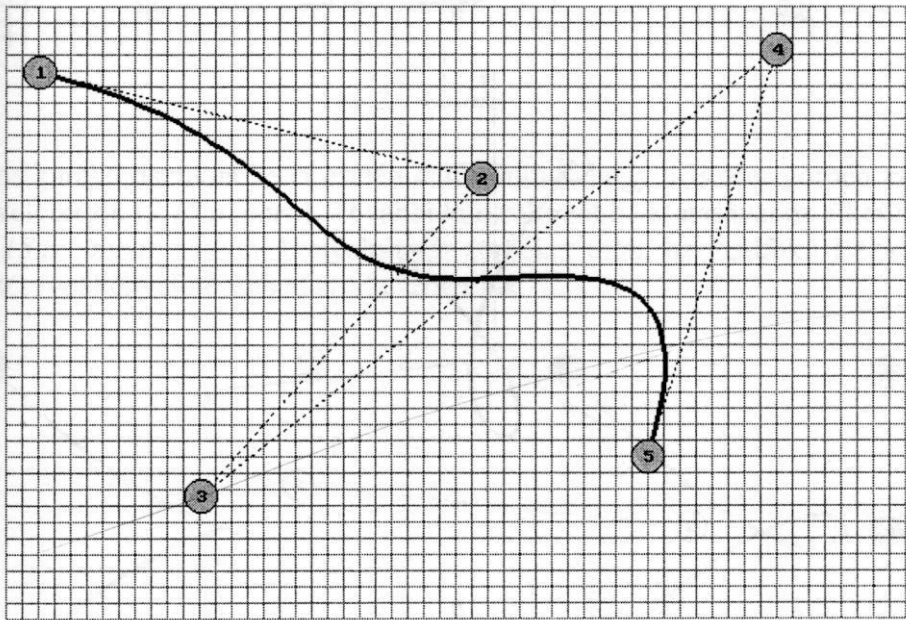
Hátránynak tudható be az a tény, hogy a keverő polinomok foka a kontrollpontok számával nő és ezek az egész értelmezési intervallumon különböznek nullától, vagyis egyetlen pont elmozdítása az egész görbe alakjára kihat.

A gyakorlatban a helyi alakmódosítást úgy valósítják meg, hogy harmadfokú Bézier-görbéket szerkesztenek (4 - 4 kontrollponttal) és ezeket illesztik. A köbös Bézier görbék előállítására:

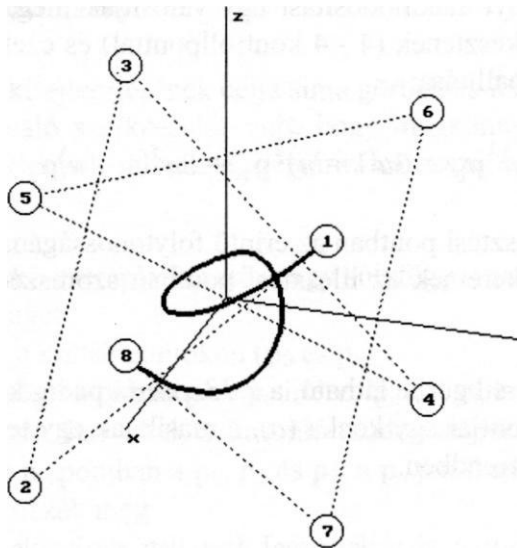
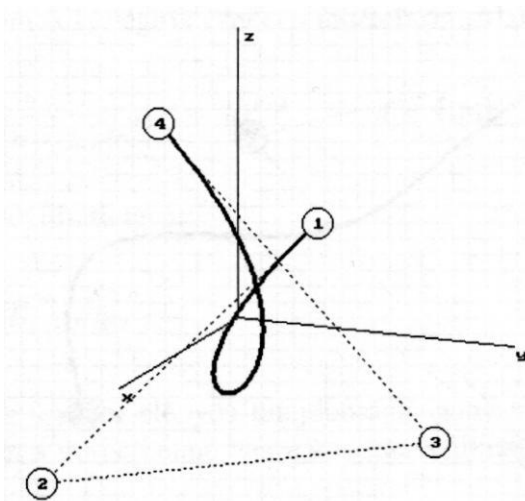
$$\mathbf{r}(u) = (1 - u)^3 \mathbf{p}_0 + 3u(1 - u)^2 \mathbf{p}_1 + 3u^2(1 - u) \mathbf{p}_2 + u^3 \mathbf{p}_3 . \quad (2.49)$$

Az illesztés és az illesztési pontban az érintő folytonosságának feltétele, hogy a két karakterisztikus keretnek az illesztési pontban szomszédos szakaszai kollineáriusak legyenek.

A 2.12. ábrán Bézier-síkgörbe látható, a 2.13. ábrán pedig két Bézier-térgörbe, egyiknek a kontrollpontjai egy kocka (a), a másikon pedig egy tetraéder (b) csúcsai az ábrákon látható sorrendben.



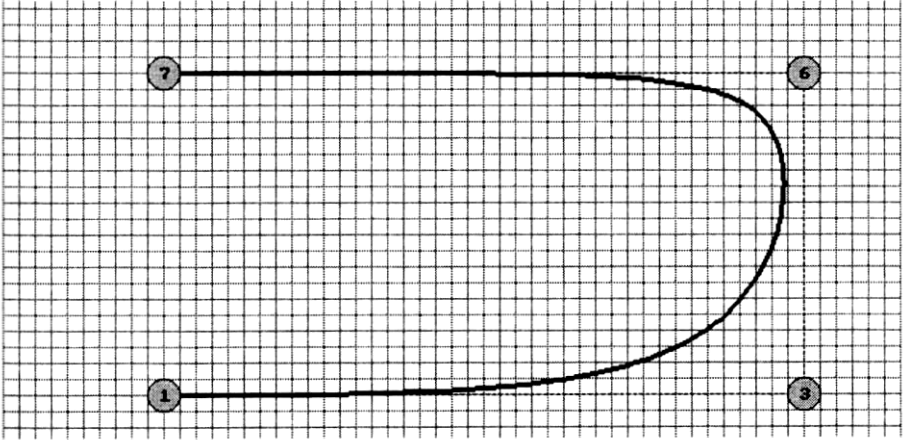
2.12. ábra

*a**b*

2.13.

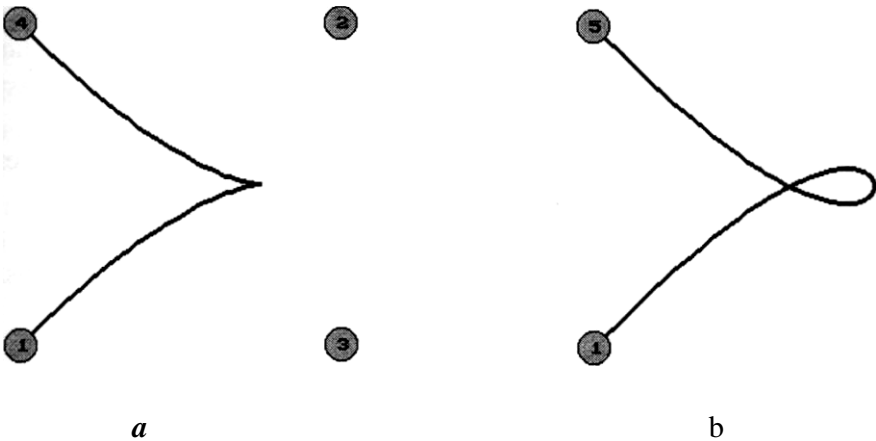
A 2.14. ábra többszörös kontrollpontok hatását szemlélteti. Megfigyelhető ezeknek a görbe alakjára gyakorolt "vonzása", abban az értelemben, hogy minél több kontrollpont van ugyanabban a pontban, annál jobban megközelíti a

érbe az illető pontot (mivel a görbe előállításában - 2.48 képlet - a többszörös pont helyvektorát több súlyfüggvény összege szorozza). A 2.14. ábrán a 3-mal **jelölt** kontrollpont kétszeres (a 2-es és 3-as pontok ugyanott állnak), a 6-tal **jelölt** pedig háromszoros (a 4., 5. és 6. kontrollpont egybeesik).



2.14. ábra

Hurkos Hurkos karakterisztikus keret esetén előfordulhat, hogy a Bézier görbén szög- pont keletkezik (2.15.a ábra). További kontrollpont beiktatásával ez elkerülhető (2.15.b ábra), viszont bonyolultabb görbéket több, harmadfokú Bézier-ív illesztésével kényelmesebben szerkeszthetünk.



2.15. ábra

### 2.3.6. B-spline approximáció

A görbealak helyi ellenőrzése és az úgynevezett globális simaság követelményeit egyidejűleg a B-spline közelítés valósítja meg a legjobban. Ezért a grafikus számítógépes tervezési szoftvercsomagok többsége ezen a módszeren alapul. A B-spline görbék előállítására:

$$\mathbf{r}(u) = \sum_{k=0}^n N_{k,i}(u) \mathbf{p}_k, \quad (2.5)$$

az  $u$  paraméter  $[a, b]$  értelmezési tartományának  $a = t_i \leq t_{i+1} \leq \dots \leq t_{n+i} = b$  felosztása mellett. Az  $N_{k,i}$ ,  $i$ -ed fokú, úgynevezett B-spline blending-súlyfüggvények rekurzív értelmezése:

, (2.51)

$$N_{k,0}(u) = \begin{cases} 1 & u \in [t_k, t_{k+1}) \\ 0 & u \notin [t_k, t_{k+1}) \end{cases}$$

$$N_{k,l}(u) = \frac{u - t_k}{t_{k+l} - t_k} N_{k,l-1}(u) + \frac{t_{k+l+1} - u}{t_{k+l+1} - t_{k+1}} N_{k+1,l-1}(u) \quad l = 1, 2, \dots, i$$

amelyhez további  $b = t_{n+1} \leq t_{n+2} \leq \dots \leq t_{n+i+1}$  alappontokra van szükség. A rekurziós képletben azok a tényezők, amelyeknek nevezőjében 0 adódna, értelmezés szerint 0 értékűek.

A helyi ellenőrzést az a tény teszi lehetővé, hogy minden B-spline súlyfüggvény csak a felosztás  $i$  egymás utáni intervallumán nem nulla. Ezért egy kontrollpont csak a szomszédos (mindkét oldalon)  $i$  intervallumra gyakorol hatást.

A szélső alappontok meghatározása a kívánt görbealaktól függ, a következőképpen:

- adott végpontú nyílt görbe esetén az értelmezési tartomány végein többszörös alappontok állnak:

(2.52)

$$\begin{cases} t_0 = t_1 = \dots = t_i = a \\ t_{n+1} = t_{n+2} = \dots = t_{n+i+1} = b \end{cases},$$

ezáltal a görbe végpontjai a karakterisztikus keret végein álló  $i+1$  - szeres kontrollpontokba kerülnek:

$$\begin{cases} \mathbf{p}_0 = \mathbf{p}_1 = \dots = \mathbf{p}_i \\ \mathbf{p}_{n+1} = \mathbf{p}_{n+2} = \dots = \mathbf{p}_{n+i+1} \end{cases} \quad (2.53)$$

- zárt görbék periodikus alappontokkal

$$\begin{cases} t_l = t_{n-i+l+1} + a - b \\ t_{n+l} = t_{i+l-1} + b - a \end{cases} \quad l = 0, 1, \dots, i, \quad (2.5)$$

feltéve, hogy a karakterisztikus keret is kielégíti

$$\mathbf{p}_{n-i+l+1} = \mathbf{p}_l \quad l = 0, 1, \dots, i \quad (2.55)$$

A B-spline függvények szakaszonként értelmezett polinomok, amelyeknek foka ( $i$ ) nem függ a kontrollpontok számától, hanem a felhasználó szabja meg. Legelterjedtebbek a másod- és harmadfokú B-spline közelítések.

A B-spline közelítés esetében is érdemes egyenletes paraméterfelosztást használni, vagyis a kontrollpontokhoz rendelt paraméterértékek megfelelő intervallumokat egyenlő hosszúaknak venni. Ezt a hosszúságot egységnyinek is vehetjük. Egyenletes paraméterfelosztás mellett a végpontok környezetének kivételével a súlyfüggvények alakja azonos, csupán elvannak tolvá egymáshoz viszonyítva. Ez a tény vezetett el az úgynevezett periodikus B-spline függvények bevezetéséhez, alkalmas változcseré segítségével.

A másodfokú periodikus B-spline függvények segítségével előállított approximációs görbeiv:

$$\mathbf{r}(u) = \frac{u^2 - 2u + 1}{2} \mathbf{p}_{k-1} + \frac{-2u^2 + 2u + 1}{2} \mathbf{p}_k + \frac{u^2}{2} \mathbf{p}_{k+1}; \quad u \in [0, 1] \quad (2.56)$$



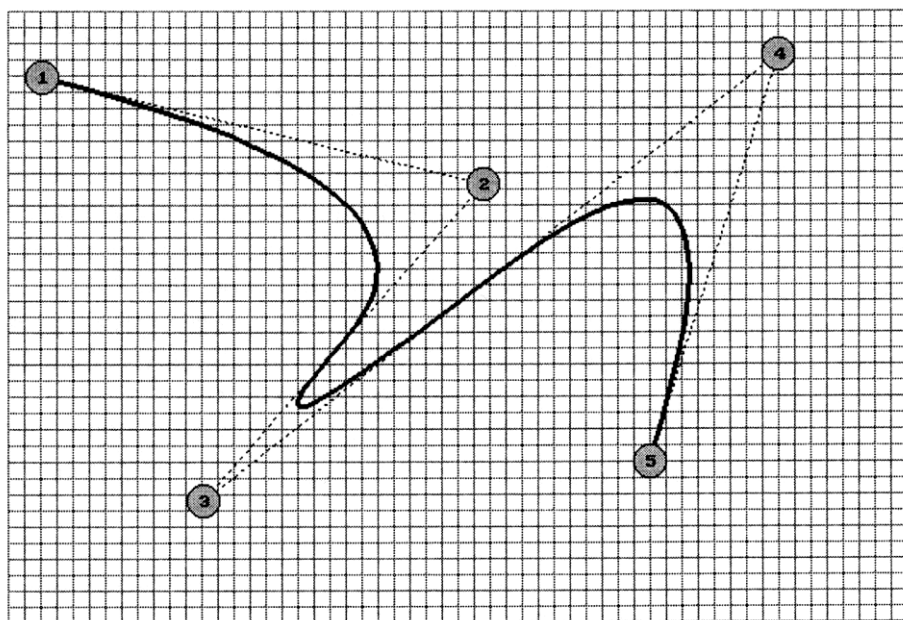
tulajdonképpen a  $\mathbf{p}_{k-1}\mathbf{p}_k$  és a  $\mathbf{p}_{k-1}\mathbf{p}_{k+1}$  szakaszok felezőpontját összekötő paraboláiv, amelynek az említett szakaszok a végpontjaiban érintői. Ez az alábbi, a 2.56 képlettel egyenértékű felírásból is látszik:

$$\mathbf{r}(u) = (1-u)^2 \frac{\mathbf{p}_{k-1} + \mathbf{p}_k}{2} + 2u(1-u)\mathbf{p}_k + u^2 \frac{\mathbf{p}_k + \mathbf{p}_{k+1}}{2}; \quad u \in [0,1] \quad (2.57)$$

Az egész görbét úgy állítjuk elő, hogy a  $k$  index értékét növelve megkapjuk a karakterisztikus keret szakaszainak középpontjait összekötő, ezen szakaszokat érintő paraboláiveket.

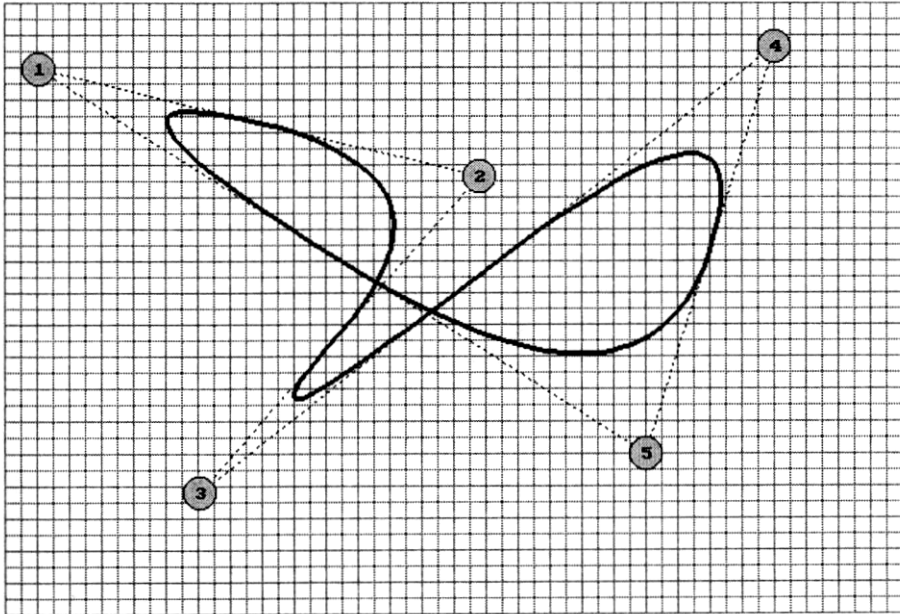
Nyílt görbéket úgy rajzolhatunk, hogy a végpontokba annyiszor többszörös kontrollpontot teszünk, ahányad fokú a B-spline közelítés. Másodfokú B-spline esetén a szélső ívek olyan parabolák, amelyek a szélső kontrollpontot a következő kettőt összekötő szakasz felezőpontjával kötik össze (2.16. ábra).

2.16. ábra



Zárt görbék rajzolásánál az utolsó kontrollpontot az elsővel összekötő szakasz is a karakterisztikus kerethez tartozik, az előállítás pedig minden ívre azonos a görbék belsejére vonatkozóan leírtakkal.

A 2.17. ábrán látható a 2.16. ábra kontrollpontjait összekötő, ezúttal zárt másodfokú B-spline síkgörbe. A 2.18. ábrán két másodfokú B-spline térgörbe látható, kocka, illetve tetraéder csúcspontjaiban fekvő kontrollpontokkal.



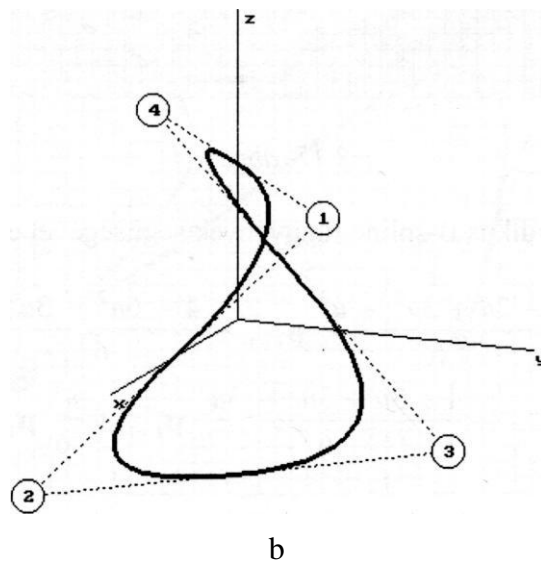
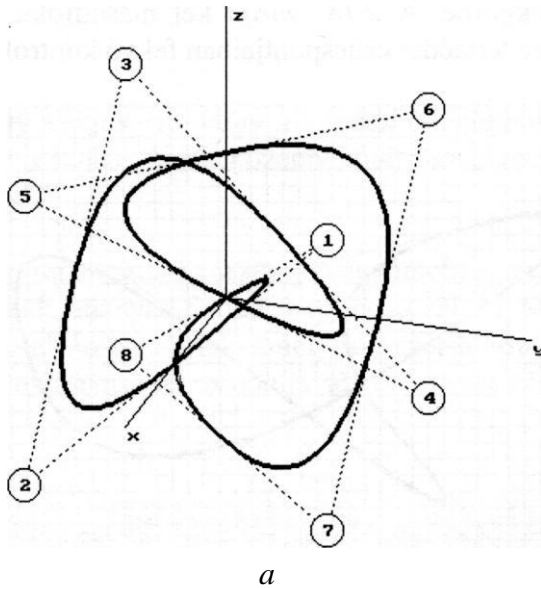
2.17. ábra

A harmadfokú periodikus B-spline függvények segítségével előállított görbeív:

$$\mathbf{r}(u) = \frac{1 - 3u + 3u^2 - u^3}{6} \mathbf{p}_{k-1} + \frac{4 - 6u^2 + 3u^3}{6} \mathbf{p}_k + \frac{1 + 3u + 3u^2 - 3u^3}{6} \mathbf{p}_{k+1} + \frac{u^3}{6} \mathbf{p}_{k+2} ; \quad u \in [0,1] \quad (2.58)$$

Az egész görbét itt is úgy állítjuk elő, hogy a  $k$  index értékét növelve megkapjuk az egymáshoz másodrendű folytonosan (folytonos görbülettel) illeszkedő íreket.

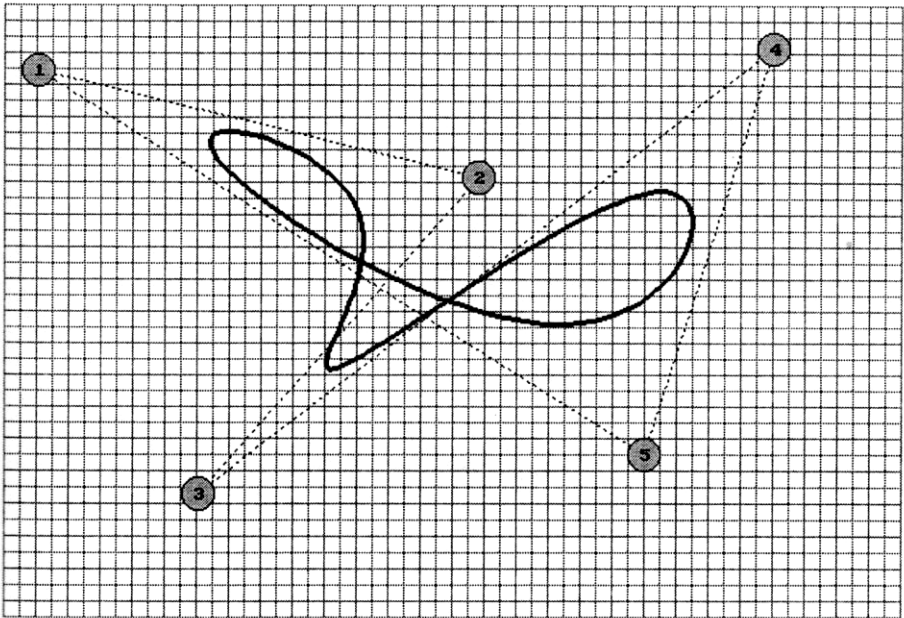
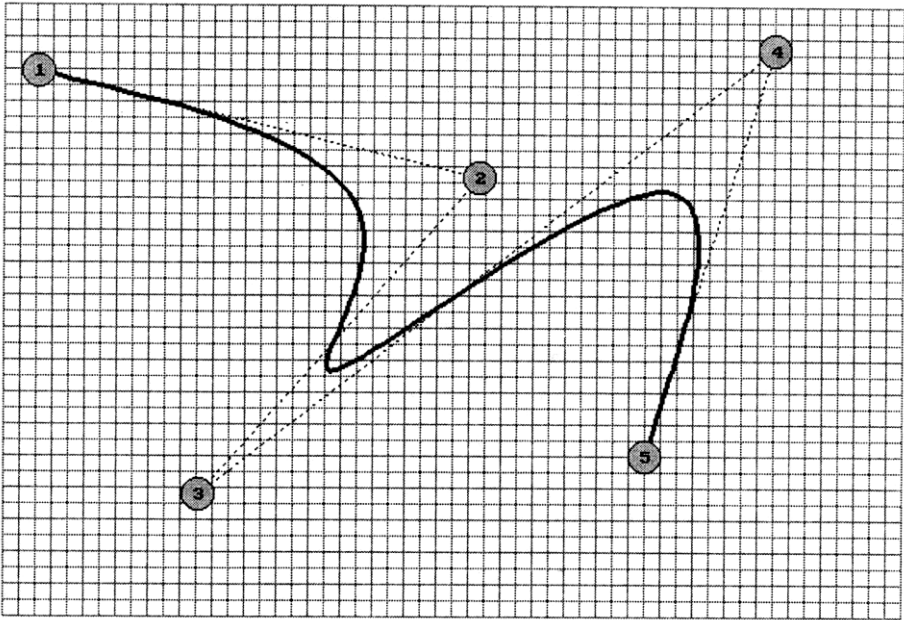
Nyílt görbék rajzolásakor a végpontokba háromszoros kontrollpont kerül, zárt görbék esetén pedig a kontrollpontosort ciklikusan be kell zárni. Ez azt jelenti, hogy az első 3 kontrollpont azonos az utolsó hárommal (fordított sorrendben), az eredeti  $n$  kontrollpont helyett  $n+2$ -t tekintve.



2.18. ábra

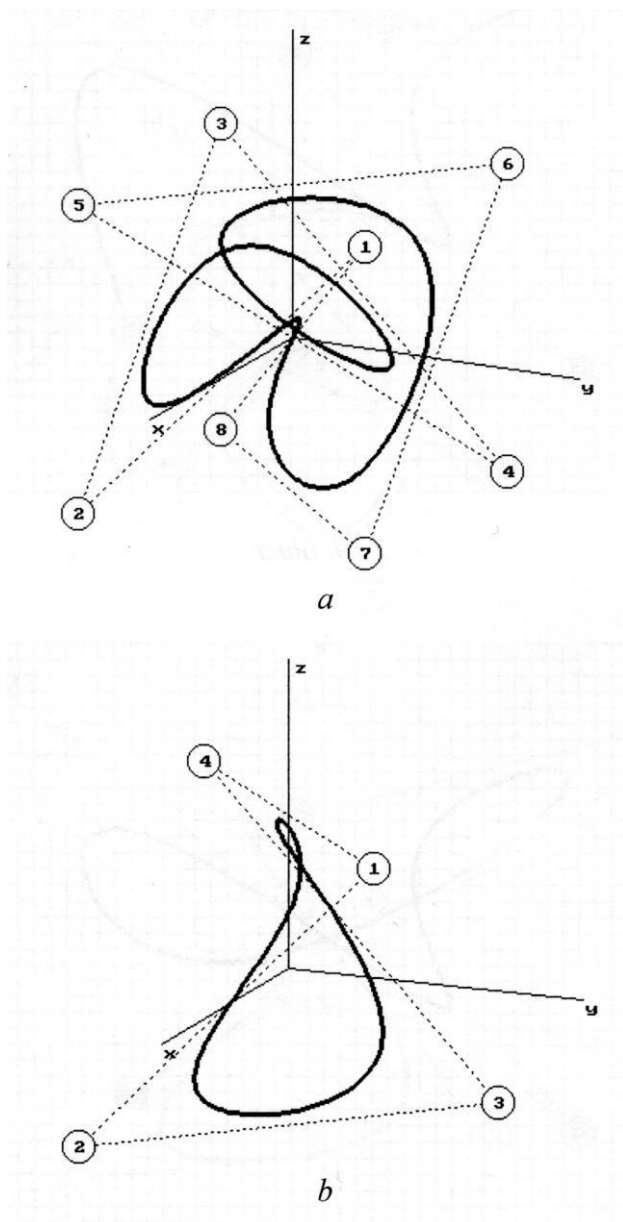
2.19. ábra

2.20.  
ábra



A 2.19. ábrán látható a 2.16. ábra kontrollpontjait összekötő nyílt-, a 2.20\_ ábrán pedig a zárt harmadfokú B-spline síkgörbe. A 2.21. ábrán két harma fokú B-spline térgörbelátható, a 2.18. ábra kontrollpontjaival.

2.21. ábra

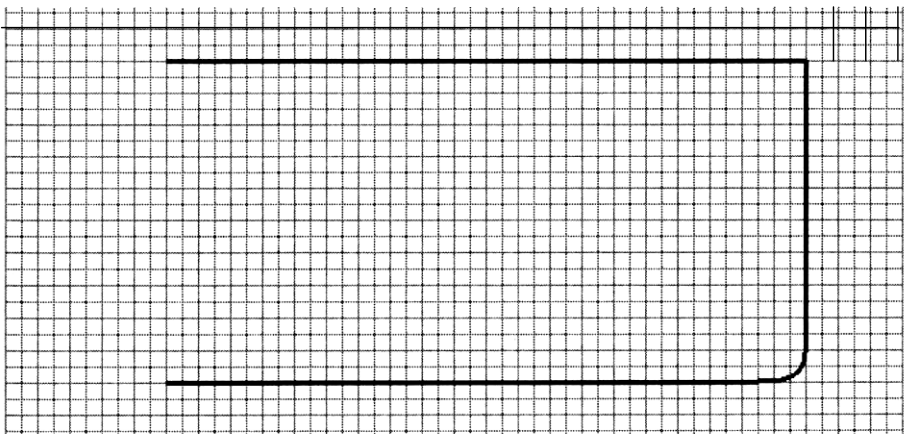


## A B-spline görbék tulajdonságai

- egy  $i$  -ed fokú B-spline görbe átmegy az  $i$  -szeres (vagy többszörös) kontrollpontokon
- ha  $i + 1$  kontrollpont kollineáris, akkor az  $i$  -ed fokú B-spline görbe részben az általuk meghatározott szakaszon fekszik. Másodfokú B-spline görbék esetén, ha a karakterisztikus keret két egymás melletti szakasza kollineáris, a két szakasz felezőpontjait összekötő szakasz a görbéhez tartozik.
- minden B-spline görbe benne van a karakterisztikus keretének konvex burkában

A másodfokú B-spline közelítés előnye az előreláthatóbb viselkedés, a harmadfokúé pedig a jobb simaság (folytonos görbület). Ezért a legtöbb szövegszerkesztő program az arányosan méretezhető betűkészleteket (true type fonts) másodfokú B-spline-ok segítségével szerkeszti.

A 2.22. ábrán harmadfokú B-spline görbe viselkedése figyelhető meg kétszeres (jobb alsó sarok) és háromszoros (jobb felső sarok) kontrollpont környezetében. A konfiguráció azonos a 2.14. ábrán láthatóval.



2.22. ábra

A kontrollpontok és a térgörbék illetve felületek pontjainak képsíkra vetítését, a vetítési irány változtatását, a koordináta-rendszer megjelenítését és a kontrollpontok koordinátáinak betáplálását végző eljárások a KOZOS\_3D.PAS nevű unit-ban találhatók.

```
{N+}
unit kozos 3d;

interface
uses graph, kozos;

const
  kx0=31; ky0=460; kx1=kx0+300; kyl=ky0-200;
  fel = #72; le = #80; bal = #75; jobb = #77; alf=pi/60; bet=pi/60;
  tgh = 200;
  xm = 600; ym = 400;

var
  kr: char;
  xt, yt: integer;
  ap, bp, cp, nv1, nv2: single;

procedure vetit(x,y,z: single);
procedure koordin3(sz: string);
procedure forgat;
procedure nyil;
procedure racs;

implementation

procedure vetit(x,y,z: single);
  {képsíkravetítés és képernyőkoordináták kiszámítása}
begin
  xt:=kx1+round((-by*x+ap*y)/nv1);
  yt:=kyl-round((-cp*(ap*x+bp*y)+sqr(nv1)*z)/nv2);
end;

procedure koordin3(sz: string); {térbeli koordináták megadása}
begin
  lap(208,5);
  setcolor(0); outtextxy(300,13,sz); setcolor(13);
  outtextxy(215,30,'x = '); outtextxy(295,30,'y = ');
  outtextxy(375,30,'z = ');
  ablak(242,27,280,39); ablak(322,27,360,39); ablak(402,27,440,39);
  repeat kn:=""; 1:=1; iras(5,238,29); val(kn,x,hk);
    if hk<>0 then ablak(240,27,282,39); until (hk=0) or (qr=chr(27));
  if qr<>chr(27) then
    repeat kn:= " "; 1:=1; iras(5,318,29); val(kn,y,hk);
      if hk<>0 then ablak(320,27,362,39); until (hk=0) or (qr=chr(27));
    if qr<>chr(27) then
      repeat kn:=""; 1:=1; iras(5,398,29); val(kn,z,hk);
        if hk<>0 then ablak(400,27,442,39); until (hk=0) or (qr=chr(27));
      end;
end;
```

```

procedure forgat; {vetítési irány módosítása}
var au, bu, cu, r: single;
begin
  r:=nvl;
  case kr of
    fel: begin au:=ap*cos(bet)+ap*cp/nvl*sin(bet);
          bu:=bp*cos(bet)+bp*cp/nvl*sin(bet); cu:=cp*cos(bet)-
          nvl*sin(bet); end;
    le: begin au:=ap*cos(bet)-ap*cp/nvl*sin(bet);
          bu:=bp*cos(bet)-bp*cp/nvl*sin(bet);
          cu:=cp*cos(bet)+nvl*sin(bet); end;
    jobb: begin au:=ap*cos(alf)+bp*sin(alf);
          bu:=-ap*sin(alf)+bp*cos(alf); cu:=cp; end;
    bal: begin au:=ap*cos(alf)-bp*sin(alf);
          bu:=ap*sin(alf)+bp*cos(alf); cu:=cp; end;
  end;
  if (au*ap>0) or (bu*bp>0) then begin ap:=au; bp:=bu; cp:=cu;
    nvl:=sqrt(sqr(ap)+sqr(bp)); nv2:=nvl*sqrt(sqr(nvl)+sqr(cp)); end;

procedure nyil;
const
  xk=50; yk=40;
begin
  setcolor(7); outtextxy(xk-35,yk+45,'ESC - kilép');
  line(xk-5, yk, xk-30, yk) ; line(xk-30, yk, xk-26, yk+2) ; line(xk-30, yk, xk-
    26, yk-2) ;
  line(xk, yk-5, xk, yk-30) ; line(xk, yk-30, xk+2, yk-26) ; line(xk, yk-30, xk-
    2, yk-26) ;
  line(xk+5, yk, xk+30, yk) ; line(xk+30, yk, xk+26, yk+2) ;
  line(xk+30, yk, xk+26, yk-2) ;
  line(xk, yk+5, xk, yk+30) ; line(xk, yk+30, xk+2, yk+26) ; line(xk, yk+30, xk-
    2, yk+26) ;
end;

procedure racs; {koordinátarendszer megjelenítése}
var x, y: integer;
begin
  setfillstyle(1,0); bar(kx0-2,ky0-402,kx0+602,ky0+2); setcolor(15);
  if fe=0 then begin
    x:=kx1+round(-bp*tgh/nvl); y:=kyl-round(-cp*ap*tgh/nv2);
    line(kx1,kyl,x,y); outtextxy(x+2,y+2,'x');
    x:=kx1+round(ap*tgh/nvl); y:=kyl-round(-cp*bp*tgh/nv2);
    line(kx1,kyl,x,y); outtextxy(x+2,y+2,'y'); y:=kyl-
    round(sqr(nvl)*tgh/nv2);
    line(kx1,kyl,kx1,y); outtextxy(kx1+5,y+2,'z'); end;
  end;
end;

```

Sima térgörbéket lehet szerkeszteni és megjeleníteni az alábbi, GB3D IP.PAS nevű program segítségével. A vizuális billentyűket gérre is lehet kezelni. A



kontrollpontok megjelenítése a szerkesztési környezetben a képsíkhöz viszonyított magasság szerinti fordított sorrendben történik, tehát a megfigyelőtől távolabbi pontok előbb jelennek meg, így a vetítés során adódó takarás esetén a közelebbiek kerülnek felül. A szerkesztési környezetben kívüli eredménymegjelenítés a kontrollpontokat kis, tömör alakban jeleníti meg, hogy ne zavarják a görbe képét.

(\$N+)

```
program gb_3d_ip; {sima térgörbeszerkesztés különböző approximációs
                   illetve interpolációs eljárással}
```

uses

```
graph, grafind, crt, dos, kozos, file_kez, kerdesek, kozos_3d,
eger kez, gomb kez, kozos_gb;
```

**const**

```
nm=99;
valasz: kars = modszer: kars =
```

**type**

```
pont3 = object {térbeli pont objektum}
  xp, yp, zp: real;
  procedure uj(ux, uy, uz: real);
end;
```

```
kpont = object(pont3) {kontrollpont objektum}
  xr, yr: integer;
  zr: real;
  ns: integer;
  procedure sorr(un: integer);
  procedure koord;
  procedure megj;
end;
```

```
mp = array[0..nm] of kpont;
```

**var**

```
a: mp; ff: file of mp;
e, f, g: array[1..nm] of real;
nh, fv, fk: byte;
st, i: integer;
```

```
procedure kpont.koord; {kontrollpont vetülete és mélysége}
begin
  vetit (xp, yp, zp) ;
  zr:=(ap*xp+bp*yp+cp*zp)/nv2;
  xr:=xt; yr:=yt;
end;
```

```

procedure pont3.uj(ux, uy, uz: real);
begin
  xp:=ux; yp:=uy; zp:=uz;
end;

procedure kpont.megj; {kontrollpont megjelenítése}
var sf: string;
begin
  if gb[2]=0 then begin
    setfillstyle(1,0); fillellipse(xr,yr,10,10);
    str(k, sf); if k<=9 then outtextxy(xr-2,yr-3,sf)
      else outtextxy(xr-7,yr-3,sf);
  end else begin setfillstyle(1,15); fillellipse(xr,yr,4,4); end;
end;

procedure kpont.sorr(un: integer);
begin ns:=un; end;

procedure sorrend; (mélység szerinti sorrendbehelyezés)
mar sf, fg: byte;
begin
  for k:=1 to nh do a[k].sorr(k);
  repeat
    sf:=0;
    for k:=1 to nh do
      for l:=1 to nh do
        if (a[1].zr-a[k].zr)*(a[1].ns-a[k].ns)<0 then begin
          fg:=a[k].ns; a[k].sorr(a[1].ns); a[1].sorr(fg); sf:=1; end;
        until sf=0;
  end;

procedure kilep;
begin
  qm:=' ';
  kerdez(200,200,' Menteni a konfigurációt ?','gen','em','I','N');
  repeat kattint(200,200,'I','N',qm);
  until (qm='I') or (qm='N');
  if qm='I' then begin
    eger_n; ment('IP3'); {kontrollpontok tárolása}
    if v='I' then begin
      a[0].sorr(nh);
      assign(ff, kn) ; rewrite(ff) ; write(ff, a) ; close(ff) ;
      a[0].sorr(0); end;
    eger_l;
  end;
end;

procedure konfig;
begin
  repeat
    of:=' ';
    kerdez(200,200,' Konfiguráció ?','j','árolt','U','T');

```

```

repeat kattint(200,200,'U','T',qf);
until (qf='U') or (qf='T');
if qf='T' then begin
  eger_n; olvas('IP3'); {tárolt kontrollpontok betöltése}
  if ko=1 then begin
    assign(ff,kn); reset(ff); read(ff,a); close(ff); end;
  eger_1;
  end else ko:=1;
until ko=1;
end;

procedure kpontok; {kontrollpontok megjelenítése}
begin
  setcolor(15); for k:=1 to nh do a[k].koord;
  if gb[2]=0 then begin
    sorrend;
    for l:=1 to nh do
      for k:=1 to nh do if l=a[k].ns then a[k].megj; {sorrend szerint}
    end else for k:=1 to nh do a[k].megj; {sorrendtől függetlenül}
  end;
end;

procedure spline; {splinefüggvények együtthatóinak kiszámítása}
var
  h, q, r: array [ 1..nm] of real;
begin
  case qa of
    'N':begin {nyílt görbe}
      q[2]:=1/4; for i:=3 to nh-1 do q[i]:=1/(4-q[i-1]);
      for i:=2 to nh-1 do h[i]:=a[i-1].xp-2*a[i].xp+a[i+1].xp;
      e[1]:=0; e[nh]:=0; h[2]:=h[2]/4;
      for i:=3 to nh-1 do h[i]:=q[i]*(h[i]-h[i-1]); e[nh-i]:=h[nh-1];
      for i:=nh-2 downto 2 do e[i]:=h[i]-q[i]*e[i+1]; for i:=2
      to nh-1 do h[i]:=a[i-1].yp-2*a[i].yp+a[i+1].yp;
      f[1]:=0; f[nh]:=0; h[2]:=h[2]/4;
      for i:=3 to nh-1 do h[i]:=q[i]*(h[i]-h[i-1]); f[nh-i]:=h[nh-1];
      for i:=nh-2 downto 2 do f[i]:=h[i]-q[i]*f[i+1];
      for i:=2 to nh-1 do h[i]:=a[i-1].zp-2*a[i].zp+a[i+1].zp;
      g[1]:=0; g[nh]:=0; h[2]:=h[2]/4;
      for i:=3 to nh-1 do h[i]:=q[i]*(h[i]-h[i-1]); g[nh-i]:=h[nh-1];
      for i:=nh-2 downto 2 do g[i]:=h[i]-q[i]*g[i+1];
    end;
    'Z':begin {zárt görbe}
      q[1]:=1/4; for i:=2 to nh-1 do q[i]:=1/(4-q[i-1]);
      r[1]:=q[1]; for i:=2 to nh-1 do r[i]:=-r[i-1]*q[i];
      r[nh-1]:=q[nh-1]+r[nh-1]; r[nh]:=4-r[nh-i];
      for i:=1 to nh-2 do h[i]:=a[i].xp-2*a[i+1].xp+a[i+2].xp;
      h[nh-1]:=a[nh-1].xp-2*a[nh].xp+a[1].xp;
      h[nh]:=a[nh].xp-2*a[1].xp+a[2].xp;
      h[i]:=h[1]*q[1];
      for i:=2 to nh-1 do h[i]:=(h[i]-h[i-1])*q[i];
      h[nh]:=h[nh]-h[nh-1];
      r[1]:=1-r[nh]/q[1]; h[1]:=(h[1]-h[nh])/q[1];
    end;
  end;
end;

```

```

for i:=2 to nh-2 do begin
  r[i]:=(r[i]-r[i-1])/q[i]; h[i]:=(h[i]-h[i-1])/q[i]; end;
e[1]:=(h[nh-1]-h[nh-2])/(r[nh-1]-r[nh-2]);
for i:=nh downto 3 do e[i]:=h[i-2]-r[i-2]*e[1];
e[2]:=h[nh]-r[nh]*e[1];
r[1]:=q[i]; for i:=2 to nh-1 do r[i]:=-r[i-1]*q[i];
r[nh-1]:=q[nh-1]+r[nh-1]; r[nh]:=4-r[nh-1];
for i:=1 to nh-2 do h[i]:=a[i].yp-2*a[i+1].yp+a[i+2].yp;
h[nh-1]:=a[nh-1].yp-2*a[nh].yp+a[1].yp;
h[nh]:=a[nh].yp-2*a[1].yp+a[2].yp;
h[1]:=h[1]*q[1];
for i:=2 to nh-1 do h[i]:=(h[i]-h[i-1])*q[i];
h[nh]:=h[nh]-h[nh-1];
r[1]:=1-r[nh]/q[1]; h[1]:=(h[1]-h[nh])/q[1];
for i:=2 to nh-2 do begin
r[i] :=(r[i]-r[i-1] ) /q[i]; h[i] :=(h[i]-h[i-1] ) /q[i]; end;
f[1]:=(h[nh-1]-h[nh-2])/(r[nh-1]-r[nh-2]);
for i:=nh downto 3 do f[i]:=h[i-2]-r[i-2]*f[1];
f [2] :=h[nh]-r[nh] *f [1] ;
r[1]:=q[1]; for i:=2 to nh-1 do r[i]:=-r[i-1]*q[i];
r[nh-1]:=q[nh-1]+r[nh-1]; r[nh]:=4-r[nh-1];
for i:=1 to nh-2 do h[i]:=a[i].zp-2*a[i+1].zp+a[i+2].zp;
h[nh-1]:=a[nh-1].zp-2*a[nh].zp+a[1].zp;
h[nh]:=a[nh].zp-2*a[1].zp+a[2].zp;
h[1]:=h[1]*q[1];
for i:=2 to nh-1 do h[i]:=(h[i]-h[i-1])*q[i];
h[nh]:=h[nh]-h[nh-1];
r[1]:=1-r[nh]/g[1]; h[1]:=(h[1]-h[nh])/q[1];
for i:=2 to nh-2 do begin
  r[i]:=(r[i]-r[i-1])/q[i]; h[i]:=(h[i]-h[i-1])/q[i]; end;
g[1]:=(h[nh-1]-h[nh-2])/(r[nh-1]-r[nh-2]);
for i:=nh downto 3 do g[i]:=h[i-2]-r[i-2]*g[1];
g[2]:=h[nh]-r[nh]*g[1];
end;
end;
end;
end;

```

procedure rajz; {görbe megjelenítése}

const nr=50; nb=100;

:ar

integer;

u2, u3, ux, uy, uz, w: real;

function xx(i, j: integer): real; {térgörbepont x koordinátája}

begin

case elj of

'1':case qa of {Coons-Hermite interpoláció}

'N':begin {nyílt görbe}

u:=j/nr; u2:=u\*u; u3:=u2\*u;

if i=1 then

xx:=(2\*u3-3\*u2+1)\*a[1].xp+(-2\*u3+3\*u2)\*a[2].xp+

( (u3-2\*u2+u) \* (a [2] .xp-a [1] .xp) +(u3-u2) \* (a [3] . xp-

a[1].xp))\*k0

else if i=nh-1 then

```

xx:=(2*u3-3*u2+1)*a[nh-1].xp+(-2*u3+3*u2)*a[nh].xp+ ((u3-
2*u2+u)* (a[nh].xp-a[nh-2].xp)+(u3-u2)* (a[nh].xp-
a[nh-1].xp))*k0
else
xx:=(2*u3-3*u2+1)*a[i].xp+(-2*u3+3*u2)*a[i+1].xp+ ((u3-
2*u2+u)* (a[i+1].xp-a[i-1].xp)+(u3-u2)* (a[i+2].xp-
a[i].xp))*k0;
end;
'Z':begin {zárt görbe}
u:=j/nr; u2:=u*u; u3:=u2*u;
if i=1 then
xx:=(2*u3-3*u2+1)*a[1].xp+(-2*u3+3*u2)*a[2].xp+ ((u3-
2*u2+u)* (a[2].xp-a[nh].xp)+(u3-u2)* (a[3].xp-
a[1].xp) ) *k0
else if i=nh-1 then
xx:=(2*u3-3*u2+1)*a[nh-1].xp+(-2*u3+3*u2)*a[nh].xp+ ((u3-
2*u2+u)* (a[nh].xp-a[nh-2].xp)+(u3-u2)* (a[1].xp-
a[nh-1].xp))*k0
else if i=nh then
xx:=(2*u3-3*u2+1)*a[nh].xp+(-2*u3+3*u2)*a[1].xp+ ((u3-
2*u2+u)* (a[1].xp-a[nh-1].xp)+(u3-u2)* (a[2].xp-
a[nh].xp))*k0
else
xx:=(2*u3-3*u2+1)*a[i].xp+(-2*u3+3*u2)*a[i+1].xp+ ((u3-
2*u2+u)* (a[i+1].xp-a[i-1].xp)+(u3-u2)* (a[i+2].xp-
a[i].xp) ) *k0;
end;
end;
'3':begin {spline interpoláció}
u:=j/nr; w:=1-u;
case qa of
'N':begin {nyílt görbe}
xx:=e[i]*w*w*w+e[i+1]*u*u*u+(a[i].xp-e[i])*w+(a[i+1].xp-
e[i+1])*u;
end;
'Z':if i=nh then begin {zárt görbe}
xx:=e[nh]*w*w*w+e[1]*u*u*u+(a[nh].xp-e[nh])*w+(a[1].xp-
e[1])*u;
end else begin
xx:=e[i]*w*w*w+e[i+1]*u*u*u+(a[i].xp-e[i])*w+(a[i+1].xp-
e[i+1])*u;
end;
end;
end;
'4':case qa of {másodfokú B-spline közelítés}
'N':begin {nyílt görbe}
U:=j/nr;
xx:=sqr(1-u)*a[1].xp+2*u*(1-u)*a[2].xp+sqr(u)*a[3].xp;
if i=2 then
xx:=sqr(1-u)*a[1].xp+2*u*(1-u)*a[2].xp+
sqr(u)*(a[2].xp+a[3].xp)/2
else if i=nh-1 then
xx:=sqr(1-u)*(a[nh-2].xp+a[nh-1].xp)/2+

```

```

                2*u*(1-u)*a[nh-1].xp+sqr(u)*a[nh].xp
else
    xx:=sqr(1-u)*(a[i-1].xp+a[i].xp)/2+2*u*(1-u)*a[i].xp+
        sqr(u)*(a[i].xp+a[i+1].xp)/2;
end;
'Z':begin {zárt görbe}
    U:=j/nr;
    if i=0 then
        xx:=sqr(1-u)*(a[nh-1].xp+a[nh].xp)/2+2*u*(1-u)*a[nh].xp+
            sgr(u)*(a[nh].xp+a[1].xp)/2
    else if i=1 then
        xx:=sqr(1-u)*(a[nh].xp+a[1].xp)/2+2*u*(1-u)*a[1].xp+
            sgr(u)*(a[1].xp+a[2].xp)/2
    else
        xx:=sqr(1-u)*(a[i-1].xp+a[i].xp)/2+2*u*(1-u)*a[i].xp+
            sgr(u)*(a[i].xp+a[i+1].xp)/2;
    end;
end;
'5':case qa of {harmadfokú B-spline közelítés}
'N':begin {nyílt görbe}
    u:=j/nr; u2:=u*u; u3:=u2*u;
    if i=0 then
        xx:=((6-u3)*a[1].xp+u3*a[2].xp)/6
    else if i=1 then
        xx:=((5-3*u-3*u2+2*u3)*a[1].xp+(1+3*u+3*u2-3*u3)*a[2].xp+
            u3*a[3].xp)/6
    else if i=nh-1 then
        xx:=((1-3*u+3*u2-u3)*a[nh-2].xp+(4-6*u2+3*u3)*a[nh-1].xp+
            (1+3*u+3*u2-2*u3)*a[nh].xp)/6
    else if i=nh then
        xx:=((1-3*u+3*u2-u3)*a[nh-1].xp+(5+3*u-3*u2+u3)*a[nh].xp)/6
    else
        xx:=((1-3*u+3*u2-u3)*a[i-1].xp+(4-6*u2+3*u3)*a[i].xp+
            (1+3*u+3*u2-3*u3)*a[i+1].xp+u3*a[i+2].xp)/6;
    end;
'Z':begin {zárt görbe}
    u:=j/nr; u2:=u*u; u3:=u2*u;
    if i=0 then
        xx:=((1-3*u+3*u2-u3)*a[nh-1].xp+(4-6*u2+3*u3)*a[nh].xp+
            (1+3*u+3*u2-3*u3)*a[1].xp+u3*a[2].xp)/6
    else if i=1 then
        xx:=((1-3*u+3*u2-u3)*a[nh].xp+(4-6*u2+3*u3)*a[1].xp+
            (1+3*u+3*u2-3*u3)*a[2].xp+u3*a[3].xp)/6
    else if i=nh-1 then
        xx:=((1-3*u+3*u2-u3)*a[nh-2].xp+(4-6*u2+3*u3)*a[nh-1].xp+
            (1+3*u+3*u2-3*u3)*a[nh].xp+u3*a[1].xp)/6
    else
        xx:=((1-3*u+3*u2-u3)*a[i-1].xp+(4-6*u2+3*u3)*a[i].xp+
            (1+3*u+3*u2-3*u3)*a[i+1].xp+u3*a[i+2].xp)/6;
    end;
end;
end;
end;

```

```

function yy(i, j: integer): real; (térgörbepont y koordinátája)
begin
  case elj of
    '1':case qa of (Coons-Hermite interpoláció)
      'N':begin {nyílt görbe}
        u:=j/nr; u2:=u*u; u3:=u2*u;
        if i=1 then
          yy:=(2*u3-3*u2+1)*a[1].yp+(-2*u3+3*u2)*a[2].yp+
            ((u3-2*u2+u)*(a[2].yp-a[1].yp)+(u3-u2)*(a[3].yp-
              a[1].yp))*k0
        else if i=nh-1 then
          yy:=(2*u3-3*u2+1)*a[nh-1].yp+(-2*u3+3*u2)*a[nh].yp+ ((u3-
            2*u2+u)*(a[nh].yp-a[nh-2].yp)+(u3-u2)*(a[nh].yp-
              a[nh-1].yp))*k0
        else
          yy:=(2*u3-3*u2+1)*a[i].yp+(-2*u3+3*u2)*a[i+1].yp+ ((u3-
            2*u2+u)*(a[i+1].yp-a[i-1].yp)+(u3-u2)*(a[i+2].yp-
              a[i].yp) ) *k0;
        end;
      'Z':begin {zárt görbe}
        u:=j/nr; u2:=u*u; u3:=u2*u;
        if i=1 then
          yy:=(2*u3-3*u2+1)*a[1].yp+(-2*u3+3*u2)*a[2].yp+ ((u3-
            2*u2+u)*(a[2].yp-a[nh].yp)+(u3-u2)*(a[3].yp-
              a[1].yp))*k0
        else if i=nh-1 then
          yy:=(2*u3-3*u2+1)*a[nh-1].yp+(-2*u3+3*u2)*a[nh].yp+
            ((u3-2*u2+u)*(a[nh].yp-a[nh-2].yp)+(u3-u2)*(a[1].yp-
              a[nh-1].yp))*k0
        else if i=nh then
          yy:=(2*u3-3*u2+1)*a[nh].yp+(-2*u3+3*u2)*a[1].yp+ ((u3-
            2*u2+u)*(a[1].yp-a[nh-1].yp)+(u3-u2)*(a[2].yp-
              a[nh].yp))*k0
        else
          yy:=(2*u3-3*u2+1)*a[i].yp+(-2*u3+3*u2)*a[i+1].yp+ ((u3-
            2*u2+u)*(a[i+1].yp-a[i-1].yp)+(u3-u2)*(a[i+2].yp-
              a[i].yp) ) *k0;
        end;
      end;
    '3':begin (spline interpoláció)
      u:=j/nr; w:=1-u;
      case qa of
        'N':begin {nyílt görbe}
          yy:=f[i]*w*w*w+f[i+1]*u*u*u+(a[i].yp-f[i])*w+(a[i+1].yp-
            f[i+1])*u;
          end;
        'Z':if i=nh then begin {zárt görbe}
          yy:=f[nh]*w*w*w+f[1]*u*u*u+(a[nh].yp-f[nh])*w+(a[1].yp-
            f[1])*u;
          end else begin
          yy:=f[i]*w*w*w+f[i+1]*u*u*u+(a[i].yp-f[i])*w+(a[i+1].yp-
            f[i+1])*u;
          end;
      end;
    end;
  end;
end;

```

```

end;
end;
'4':case qa of {másodfokú B-spline közelítés}
'N':begin {nyílt görbe}
  u:=j/nr;
  yy:=sqr(1-u)*a[1].yp+2*u*(1-u)*a[2].yp+sqr(u)*a[3].yp;
  if i=2 then
    yy:=sqr(1-u)*a[1].yp+2*u*(1-u)*a[2].yp+
      sqr(u)*(a[2].yp+a[3].yp)/2
  else if i=nh-1 then
    yy:=sqr(1-u)*(a[nh-2].yp+a[nh-1].yp)/2+
      2*u*(1-u)*a[nh-1].yp+sqr(u)*a[nh].yp
  else
    yy:=sqr(1-u)*(a[i-1].yp+a[i].yp)/2+2*u*(1-u)*a[i].yp+
      sqr(u)*(a[i].yp+a[i+1].yp)/2;
  end;
end;
'Z':begin {zárt görbe}
  U:=j/nr;
  if i=0 then
    yy:=sqr(1-u)*(a[nh-1].yp+a[nh].yp)/2+2*u*(1-u)*a[nh].yp+
      sqr(u)*(a[nh].yp+a[1].yp)/2
  else if i=1 then
    yy:=sqr(1-u)*(a[nh].yp+a[1].yp)/2+2*u*(1-u)*a[1].yp+
      sqr(u)*(a[1].yp+a[2].yp)/2
  else
    yy:=sqr(1-u)*(a[i-1].yp+a[i].yp)/2+2*u*(1-u)*a[i].yp+
      sgr(u)*(a[i].yp+a[i+1].yp)/2;
  end;
end;
end;
'5':case qa of {harmadfokú B-spline közelítés}
'N':begin (nyílt görbe)
  u:=j/nr; u2:=u*u; u3:=u2*u;
  if i=0 then
    yy:=((6*u3)*a[1].yp+u3*a[2].yp)/6
  else if i=1 then
    yy:=((5-3*u-3*u2+2*u3)*a[1].yp+(1+3*u+3*u2-3*u3)*a[2].yp+
      u3*a[3].yp)/6
  else if i=nh-1 then
    yy:=((1-3*u+3*u2-u3)*a[nh-2].yp+(4-6*u2+3*u3)*a[nh-1].yp+
      (1+3*u+3*u2-2*u3)*a[nh].yp)/6
  else if i=nh then
    yy:=((1-3*u+3*u2-u3)*a[nh-1].yp+(5+3*u-3*u2+u3)*a[nh].yp)/6
  else
    yy:=((1-3*u+3*u2-u3)*a[i-1].yp+(4-6*u2+3*u3)*a[i].yp+
      (1+3*u+3*u2-3*u3)*a[i+1].yp+u3*a[i+2].yp)/6;
  end;
end;
'Z':begin (zárt görbe)
  u:=j/nr; u2:=u*u; u3:=u2*u;
  if i=0 then
    yy:=((1-3*u+3*u2-u3)*a[nh-1].yp+(4-6*u2+3*u3)*a[nh].yp+
      (1+3*u+3*u2-3*u3)*a[1].yp+u3*a[2].yp)/6
  else if i=1 then
    yy:=((1-3*u+3*u2-u3)*a[nh].yp+(4-6*u2+3*u3)*a[1].yp+

```



```

        (1+3*u+3*u2-3*u3)*a[2].yp+u3*a[3].yp)/6
    else if i=nh-1 then
        yy:=( (1-3*u+3*u2-u3)*a[nh-2].yp+(4-6*u2+3*u3)*a[nh-1].yp+
        (1+3*u+3*u2-3*u3)*a[nh].yp+u3*a[1].yp)/6
    else
        yy:-((1-3*u+3*u2-u3)*a[i-1].yp+(4-6*u2+3*u3)*a[i].yp+
        (1+3*u+3*u2-3*u3)*a[i+1].yp+u3*a[i+2].yp)/6;
    end;
end;
end;
end;
function zz(i, j: integer): real; {térgörbepont z koordinátája}
begin
    case elj of
    '1':case qa of {Coons-Hermite interpoláció}
    'N':begin {nyílt görbe}
        u:=j/nr; u2:=u*u; u3:=u2*u;
        if i=1 then
            zz:=(2*u3-3*u2+1)*a[1].zp+(-2*u3+3*u2)*a[2].zp+
            ((u3-2*u2+u)*(a[2].zp-a[1].zp)+(u3-u2)*(a[3].zp-
            a[1].zp))*k0
        else if i=nh-1 then
            zz:=(2*u3-3*u2+1)*a[nh-1].zp+(-2*u3+3*u2)*a[nh].zp+
            ((u3-2*u2+u)*(a[nh].zp-a[nh-2].zp)+(u3-u2)*(a[nh].zp-
            a[nh-1].zp))*k0
        else
            zz:=(2*u3-3*u2+1)*a[i].zp+(-2*u3+3*u2)*a[i+1].zp+
            ((u3-2*u2+u)*(a[i+1].zp-a[i-1].zp)+(u3-
            u2)*(a[i+2].zp-
            a[i].zp))*k0;
        end;
    'Z':begin {zárt görbe}
        u:=j/nr; u2:=u*u; u3:=u2*u;
        if i=1 then
            zz:=(2*u3-3*u2+1)*a[1].zp+(-2*u3+3*u2)*a[2].zp+
            ((u3-2*u2+u)*(a[2].zp-a[nh].zp)+(u3-u2)*(a[3].zp-
            a[1].zp))*k0
        else if i=nh-1 then
            zz:=(2*u3-3*u2+1)*a[nh-1].zp+(-2*u3+3*u2)*a[nh].zp+
            ((u3-2*u2+u)*(a[nh].zp-a[nh-2].zp)+(u3-u2)*(a[1].zp-
            a[nh-1].zp))*k0
        else if i=nh then
            zz:=(2*u3-3*u2+1)*a[nh].zp+(-2*u3+3*u2)*a[1].zp+
            ((u3-2*u2+u)*(a[1].zp-a[nh-1].zp)+(u3-u2)*(a[2].zp-
            a[nh].zp))*k0
        else
            zz:=(2*u3-3*u2+1)*a[i].zp+(-2*u3+3*u2)*a[i+1].zp+
            ((u3-2*u2+u)*(a[i+1].zp-a[i-1].zp)+(u3-
            u2)*(a[i+2].zp-
            a[i].zp))*k0;
        end;
    end;
    end;
    '3':begin {spline interpoláció}
        u := j /nr; w:=1-u;

```

```

case qa of
'N':begin {nyílt görbe}
  zz:=g[i]*w*w*w+g[i+1]*u*u*u+(a[i].zp-g[i])*w+(a[i+1].zp-
  g[i+1])*u;
  end;
'Z':if i=nh then begin {zárt görbe}
  zz:=g[nh]*w*w*w+g[1]*u*u*u+(a[nh].zp-g[nh])*w+(a[1].zp-
  g[1])*u;
  end else begin
  zz:=g[i]*w*w*w+g[i+1]*u*u*u+(a[i].zp-g[i])*w+(a[i+1].zp-
  g[i+1])*u;
  end;
end;
end;
'4':case qa of {másodfokú B-spline közelítés}
'N':begin {nyílt görbe}
  u:=j /nr;
  zz:=sqr(1-u)*a[1].zp+2*u*(1-u)*a[2].zp+sqr(u)*a[3].zp;
  if i=2 then
    zz:=sqr(1-u)*a[1].zp+2*u*(1-u)*a[2].zp+
    sqr(u)*(a[2].zp+a[3].zp)/2
  else if i=nh-1 then
    zz:=sqr(1-u)*(a[nh-2].zp+a[nh-1].zp)/2+
    2*u*(1-u)*a[nh-1].zp+sqr(u)*a[nh].zp
  else
    zz:=sqr(1-u)*(a[i-1].zp+a[i].zp)/2+2*u*(1-u)*a[i].zp+
    sqr(u)*(a[i].zp+a[i+1].zp)/2;
  end;
'Z':begin {zárt görbe}
  u:=j/nr;
  if i=0 then
    zz:=sqr(1-u)*(a[nh-1].zp+a[nh].zp)/2+2*u*(1-u)*a[nh].zp+
    sqr(u)*(a[nh].zp+a[1].zp)/2
  else if i=1 then
    zz:=sqr(1-u)*(a[nh].zp+a[1].zp)/2+2*u*(1-u)*a[1].zp+
    sqr(u)*(a[1].zp+a[2].zp)/2
  else
    zz:=sqr(1-u)*(a[i-1].zp+a[i].zp)/2+2*u*(1-u)*a[i].zp+
    sqr(u)*(a[i].zp+a[i+1].zp)/2;
  end;
end;
end;
'5':case qa of {harmadfokú B-spline közelítés}
'N':begin {nyílt görbe}
  u:=j/nr; u2:=u*u; u3:=u2*u;
  if i=0 then
    zz:=((6-u3)*a[1].zp+u3*a[2].zp)/6
  else if i=1 then
    zz:=((5-3*u-3*u2+2*u3)*a[1].zp+(1+3*u+3*u2-3*u3)*a[2].zp+
    u3*a[3].zp)/6
  else if i=nh-1 then
    zz:=((1-3*u+3*u2-u3)*a[nh-2].zp+(4-6*u2+3*u3)*a[nh-1].zp+
    (1+3*u+3*u2-2*u3)*a[nh].zp)/6
  else if i=nh then

```

```

zz:=((1-3*u+3*u2-u3)*a[nh-1].zp+(5+3*u-
3*u2+u3)*a[nh].zp)/6 else
zz:=((1-3*u+3*u2-u3)*a[i-1].zp+(4-6*u2+3*u3)*a[i].zp+
(1+3*u+3*u2-3*u3)*a[i+1].zp+u3*a[i+2].zp)/6;
end;
'Z':begin {zárt görbe}
u:=j/nr; u2:=u*u; u3:=u2*u;
if i=0 then
zz:=((1-3*u+3*u2-u3)*a[nh-1].zp+(4-6*u2+3*u3)*a[nh].zp+
(1+3*u+3*u2-3*u3)*a[1].zp+u3*a[2].zp)/6 else if i=1
then
zz:=((1-3*u+3*u2-u3)*a[nh].zp+(4-6*u2+3*u3)*a[1].zp+
(1+3*u+3*u2-3*u3)*a[2].zp+u3*a[3].zp)/6 else if
i=nh-1 then
zz:=((1-3*u+3*u2-u3)*a[nh-2].zp+(4-6*u2+3*u3)*a[nh-
1].zp+(1+3*u+3*u2-3*u3)*a[nh].zp+u3*a[1].zp)/6
else
zz:=((1-3*u+3*u2-u3)*a[i-i].zp+(4-6*u2+3*u3)*a[i].zp+
(1+3*u+3*u2-3*u3)*a[i+1].zp+u3*a[i+2].zp)/6;
end;
end;
end;
end;
begin
eger n;
racs; if gb[2]=1 then nyil; setlinestyle(0,0,3); setcolor(15);
if qa='N' then begin vetit(a[1].xp,a[1].yp,a[1].zp); moveto(xt,yt);
end;
case elj of
'1':begin (Coons-Hermite interpoláció)
if qa='Z' then begin
vetit(xx(1,0),yy(1,0),zz(1,0)); moveto(xt,yt); end;
for is=1 to nh-1 do for j:=1 to nr do begin
vetit(xx(i,j),yy(i,j),zz(i,j)); lineto(xt,yt); end;
if qa='Z' then for j:=1 to nr do begin
vetit(xx(nh,j),yy(nh,j),zz(nh,j)); lineto(xt,yt); end;
end;
'2':if qa='N' then begin {Bézier-közelítés}
for j:=0 to nb-1 do begin
u:=j/nb; u2:=1-u; u3:=u2; for 1:=2 to nh-i do u3:=u3*u2;
ux:=u3*a[1].xp; uy:=u3*a[1].yp; uz:=u3*a[1].zp;
for i:=2 to nh do begin
u3:=u3*(nh-i+1)/(i-1)*u/(1-u);
ux:=ux+u3*a[i].xp; uy:=uy+u3*a[i].yp; uz:=uz+u3*a[i].zp;
end;
vetit(ux, uy, uz); lineto(xt,yt);
end;
vetit(a[nh].xp,a[nh].yp,a[nh].zp); lineto(xt,yt);
end;
'3':case qa of (spline interpoláció)
'N':for is=1 to nh-1 do

```

```

        for j:=1 to nr do begin
            vetit(xx(i,j),yy(i,j),zz(i,j)); lineto(xt, yt); end;
'Z':begin
    vetit(xx(1,0),yy(1,0),zz(1,0)); moveto(xt, yt);
    for is=1 to nh do
        for j:=1 to nr do begin
            vetit(xx(i,j),yy(i,j),zz(i,j)); lineto(xt, yt); end;
        end;
    end;
'4':begin (másodfokú B-spline közelítés)
    if qa='Z' then begin
        vetit(xx(0,0),yy(0,0),zz(0,0)); moveto(xt, yt);
    for i:=0 to 1 do
        for j:=1 to nr do begin
            vetit(xx(i,j),yy(i,j),zz(i,j)); lineto(xt, yt); end;
        end;
    for i:=2 to nh-1 do
        for j:=1 to nr do begin
            vetit(xx(i,j),yy(i,j),zz(i,j)); lineto(xt, yt); end;
        end;
    end;
'5':begin (harmadfokú B-spline közelítés)
    if qa='Z' then begin
        vetit(xx(0,0),yy(0,0),zz(0,0) ); moveto(xt, yt); end;
    for i:=0 to nh-1 do
        for j:=1 to nr do begin
            vetit(xx(i,j),yy(i,j),zz(i,j)); lineto(xt, yt); end;
        end;
    if qa='N' then for j:=1 to nr do begin
        vetit(xx(nh,j),yy(nh,j),zz(nh,j)); lineto(xt, yt); end;
    end;
end;
setlinestyle(0,0,1);
eger 1;
end ;

procedure inform;
    (kiválasztott kontrollpont térbeli helyének kiírása)
var ks, kx, ky, kz: string;
begin
    setcolor(0); str(sz, ks);
    str(a[sz].xp:3:0, kx); str(a[sz].yp:3:0, ky); str(a[sz].zp:3:0, kz);
    outtextxy(130,470, 'Sorszám: '+kn+' Hely: x = '+
        kx+' y = '+ky+' z = '+kz);
end;

procedure fg; {vetítési irány változtatásának vezérlése}
begin
    repeat
        repeat kr:=readkey;
        until (kr=fel) or (kr=le) or (kr=jobb) or (kr=bal) or
            (ord(kr)=27);
        cleardevice;
    if kr<>chr(27) then begin forgat; rajz;
        if qm='I' then kpointok; end;
    end;
end;

```

## 2. FEJEZET

```
until kr=chr(27);
end;

begin
grindhi; keret(kx0, ky0); eger_k;
repeat
qu:='N'; fe:=0; fk:=0;
ap:=0.7; bp:=0.2; cp:=0.3; {kezdeti vetítési irány}
nvl:=sqrt(sqr(ap)+sqr(bp)); nv2:=nvl*sqrt(sqr(nvl)+sqr(cp));
for k:=0 to nm do begin a[k].uj(0,0,0); a[k].sorr(0); end;
qk:='N';
eger_n; racs; konfig; nh:=a[0].ns; parancs(1); eljárás;
eger_n; racs; kpontok; eger_l;
repeat
eger_t(kx0,10,620,ky0); eger_l; qr:=' '; k:=0;
repeat par_katt(1,qr); until qr in valasz; eger_n;
case qr of
'B':if nh<nm then begin {új kontrollpont beszárolása}
gb[6]:=1; parancs(1);
sorszam;
if sz>0 then begin
koordin3('Hely');
if qr<>chr(27) then begin
if sz>nh then sz:=nh+1;
if sz<=nh then for k:=nh downto sz do a[k+1]:=a[k];
a[sz].uj(x,y,z);
nh:=nh+1;
end;
end;
gb[6]:=0; lap(208,5); fk:=0;
end;
'V':begin (váltortatandó kontrollpont kiválasztása)
gb[1]:=1; parancs(1); sorszam;
if (sz>0) and (sz<=nh) then begin
inform; vlt;
case qr of
'S':begin (sorszám váltortatása)
st:=sz; a[0]:=a[sz]; sorszam;
if (sz>st) and (sz<=nh) then
for k:=st to sz-1 do a[k]:=a[k+1];
if (sz<st) and (sz>0) then
for k:=st downto sz+1 do a[k]:=a[k-1];
a[sz]:=a[0]
end;
'H':begin {hely váltortatása}
koordin3('Hely');
if qr<>chr(27) then a[sz].uj(x,y,z); end;
end;
end;
setfillstyle(1,11); bar(130,470,590,480);
gb[1]:=0; lap(208,5); fk:=0;
end;
end;
```

```

'T':if nh>0 then begin {kontrollpont törlése}
  gb[5]:=1; parancs(1); sorszam;
  if sz>0 then begin
    if sz<nh then for k:=sz+1 to nh do a[k-1]:=a[k];
    if sz<=nh then nh:=nh-1;
  end;
  gb[5]:=0; lap(208,5); fk:=0;
end;
nh>2 then begin {görbemejjelenítés}
  gb[3]:=1; parancs(1); alak;
  eger_t(5,5,200,50); eger_1; elj:=' ';
  repeat elj katt(elj); {eljárásválasztás}
  until elj in modszer; eger_n;
  for l:=7 to 10 do gb[l]:=0;
  case elj of
    '1':begin gb[7]:=1; egyutth; lap(208,5);
      str(k0:3:2,kn); outtextxy(262,23,'k0 = '+kn); end;
    '2':begin gb[8]:=1; end;
    '3':begin spline; gb[9]:=1; end;
    '4':begin b_spline; gó[10]:=1; end;
  end;
  eljárás; rajz;
  gb[3]:=0; fk:=1;
end;
'E':if fk=1 then begin (görbemejjelenítés keret nélkül)
  gb[2]:=1; parancs(1); kpl; cleardevice;
  rajz; if qm='I' then kpontok; fg;
  keret(kx0, ky0); eljárás;
  gb[2] :=0; fk:=0;
end;
'Q':begin {kilépés}
  gb[4]:=1; parancs(1);
  repeat kilep until not ((v='N') and (qm='I'));
  vege; if qk='N' then ujkonf; gb[4]:=0; fk:=0;
end;
end;
if fk=1 then rajz else racs; kpontok; parancs(1); eger_1;
until (qk='I') or (qu='I');
until qu='N';
closegraph;

```

### 2.3.7. $\beta$ -spline közelítés

A harmadfokú B-spline approximáció általánosítható, abban az értelemben, hogy az előállítási függvények első- és második deriváltjainak folytonossága helyett az érintő egységvektor:

$$\mathbf{t}(u) = \frac{\mathbf{r}'(u)}{|\mathbf{r}'(u)|}, \quad (2.59)$$

illetve a

$$\mathbf{k}(u) = \frac{\mathbf{r}''(u) - \mathbf{t}(u)(\mathbf{r}''(u) \cdot \mathbf{t}(u))}{|\mathbf{r}'(u)|^2} = \frac{(\mathbf{r}'(u) \times \mathbf{r}''(u)) \times \mathbf{r}'(u)}{|\mathbf{r}'(u)|^4} \quad (2.60)$$

folytonosságát kötjük ki. A  $\mathbf{k}(u)$  vektort azért jogosult görbületvektornak nevezni, mert abszolút értéke a görbe görbületével egyenlő, iránya pedig megegyezik a görbe főnormálisának az irányával. Ezen a főnormálison van a görbeponttól  $1 / |\mathbf{k}(u)|$  távolságra a görbületi középpont. Ez azt jelenti, hogy a görbeívek csatlakozási pontjaiban a két ívhez tartozó érintővektorok hossza különbözhet:

illetve a második deriváltak egyenlősége helyett elegendő ha közöttük fennáll az

$$\mathbf{r}_2'(0) = \beta_1 \mathbf{r}_1'(1), \quad (2.61)$$

összefüggés, ami biztosítja  $\mathbf{k}_2(0)$  és  $\mathbf{k}_1(1)$  egyenlőségét. Ezáltal  $\mathbf{r}_2''(0)$  is benne van a csatlakozási ponthoz tartozó simulósíkban. Két alakparaméter,  $\beta_1$  és  $\beta_2$  jelent meg így, amelyeknek változtatásával a görbe alakja módosítható (a simaság rovására). Ha  $\beta_1 = 1$  és  $\beta_2 = 0$ , akkor

$\mathbf{r}_2''(0) = \beta_1^2 \mathbf{r}_1''(1) + 2\beta_2 \mathbf{r}_1'(1)$  a paraméteres előállítás első és második deriváltjai folytonosak lesznek

és a harmadfokú B-spline görbét kapjuk. Az alakparamétereket a görbére gyakorolt hatásuk alapján eltolásnak ( $\beta_1$  - bias) illetve feszültségnek ( $\beta_2$  - tension) is nevezhetjük.

A (3 -spline

$$\mathbf{r}(u) = \sum_{k=0}^3 f_k(u) \mathbf{p}_{i+k-1} \quad ; \quad u \in [0,1], \quad i = 0,1,\dots,n-1 \quad (2.63)$$

előállításában szereplő

$$\begin{aligned} f_0(u) &= \frac{1}{\delta} \beta_1^3 (1-u)^3 \\ f_1(u) &= \frac{1}{\delta} [\beta_1^3 u(u^2 - 3u + 3) + \beta_1^2 (u^3 - 3u^2 + 2) + \\ &\quad + \beta_1 (u^3 - 3u + 2) + \beta_2 (2u^3 - 3u^2 + 1)] \\ f_2(u) &= \frac{1}{\delta} [\beta_1^2 u^2 (3-u) + \beta_1 u (3-u^2) + \beta_2 u^2 (3-2u) + 1-u^3] \\ f_3(u) &= \frac{u^3}{\delta} \\ \delta &= \beta_1^3 + 2(\beta_1^2 + \beta_1) + \beta_2 \quad ; \quad u \in [0,1] \end{aligned} \quad (2.64)$$

Nyílt görbék szerkesztésénél a karakterisztikus keret végein többszörös kontrollpontokat használhatunk, vagy egy-egy se édkontroll pontot tekintünk, amelyeket úgy határozunk meg, hogy a görbe végpontjai a karakterisztikus keret határpontjaiba kerüljenek. A 2.63. előállítás ennek az esetnek felel meg, ahol  $\mathbf{p}_1$  és  $\mathbf{p}_{n+1}$  a segédkontrollpontokat jelentik és helyzetük a

$$\begin{aligned} \mathbf{p}_{-1} &= \frac{1}{\beta_1^3} (\mathbf{p}_0 - \mathbf{p}_1) + \mathbf{p}_0 \\ \mathbf{p}_{n+1} &= \beta_1^3 (\mathbf{p}_n - \mathbf{p}_{n-1}) + \mathbf{p}_n \end{aligned} \quad (2.65)$$

képletekkel számítható. A segédkontrollpontokat az ábrákon nem tüntetjük fel. szerepük a görbe meghosszabbítása a szélső csatlakozási pontoktól az eredeti karakterisztikus keret -  $i = 0$  és  $i = n - 1$  -nek megfelelő - végpontjáig. Az érintő a végpontokban a karakterisztikus keret megfelelő szélső szakasza.

Ez a módszer természetesen a harmadfokú B-spline approximációnál (amely  $\mathbf{a} \beta$ -spline közelítés sajátos esetének tekinthető) is alkalmazható. Alapvető elő-

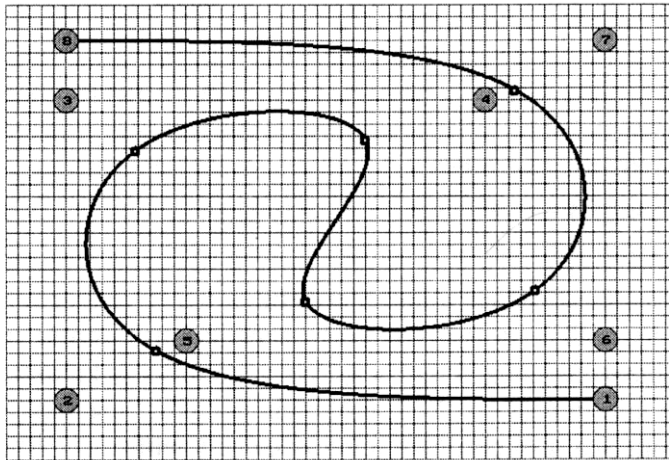


nye a gömb topológiájú zárt felületek szerkesztésénél mutatkozik meg, ugyanis lehetővé válik a pólusokban is sima felület előállítása.

Zárt görbék esetén a 2.63 előállításban az  $i$  index felső határa  $n$ , az  $n+1$  pontból álló karakterisztikus keretet pedig ciklikusan bezárjuk:

$$\mathbf{p}_{-1} = \mathbf{p}_n ; \quad \mathbf{p}_{n+1} = \mathbf{p}_0 ; \quad \mathbf{p}_{n+2} = \mathbf{p}_1 . \quad (2.66)$$

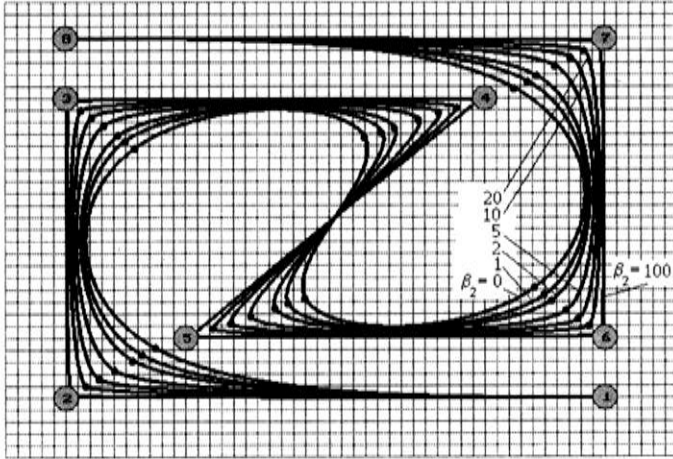
Az alakparamétereknek a görbére gyakorolt hatását a 2.23 - 2.28. ábrák szemléltetik nyílt síkgörbék, illetve a 2.29 - 2.30. ábrák zárt síkgörbék esetén.



$$\beta_1 = 1 , \beta_2 = 0$$

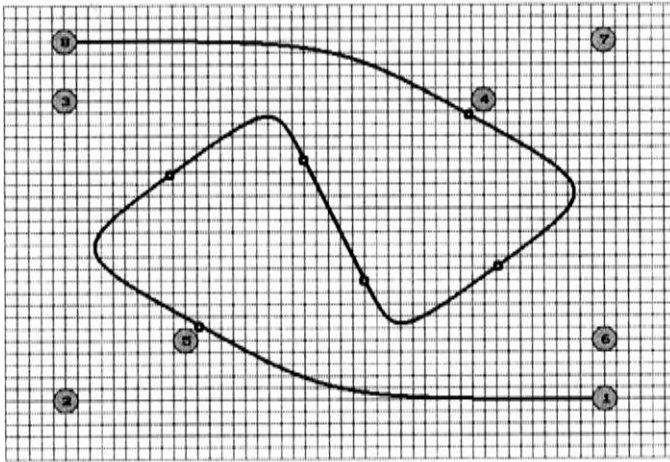
2.23. ábra

A 2.23. ábrán egy B-spline görbe látható, a 2.24. ábrán pedig ugyanazzal a karakterisztikus kerettel szerkesztett  $\mathcal{I}$ -spline görbék, különböző pozitív feszültségértékekre. Megfigyelhető, hogy a feszültség növekedése az apró körökkel jelölt csatlakozási pontoknak a kontrollpontok felé való vonzását eredményezi.



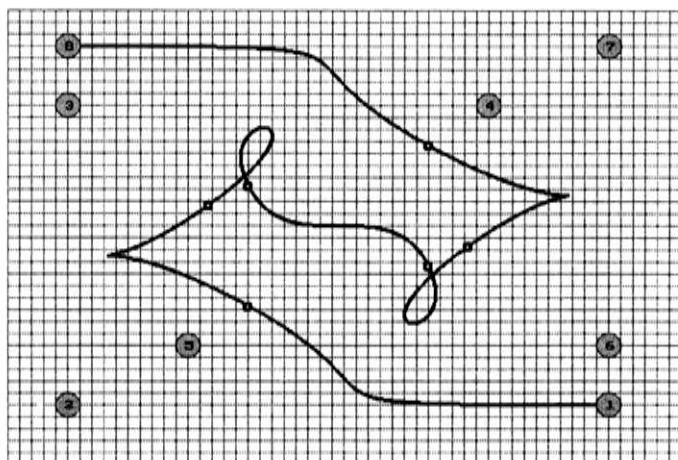
$$\beta_1 = 1$$

2.24. ábra



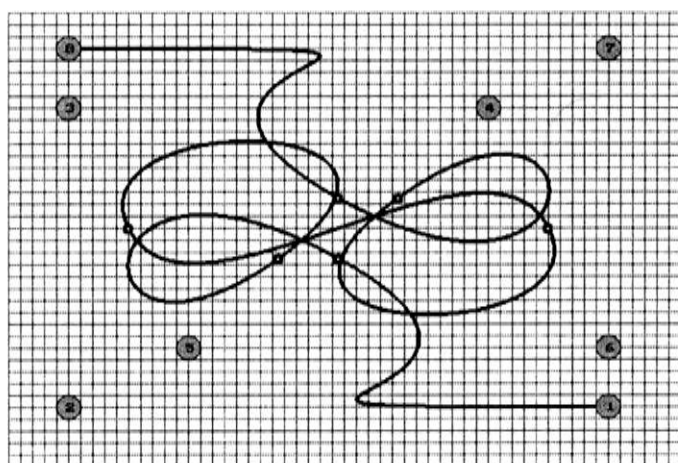
$$\beta_1 = 1, \beta_2 = -2$$

a)



$$\beta_1 = 1, \beta_2 = -3$$

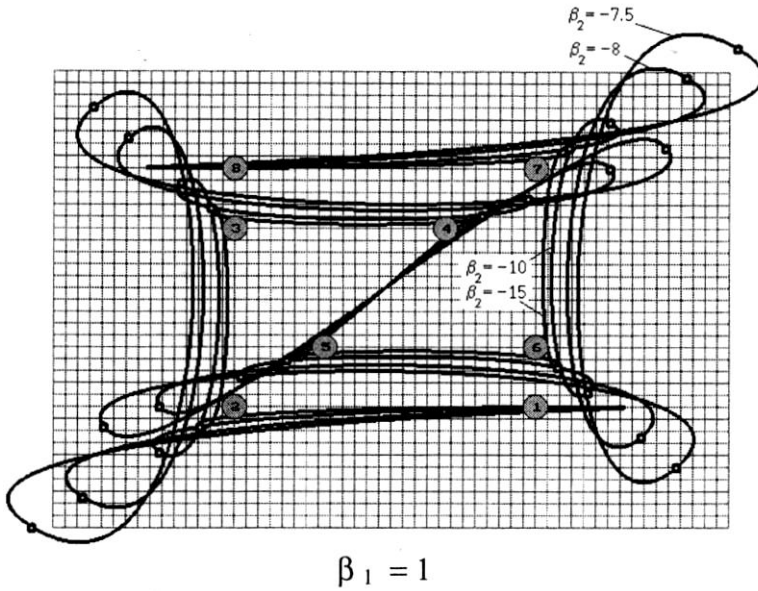
b)



$$\beta_1 = 1, \beta_2 = -4$$

c)

2.25. ábra

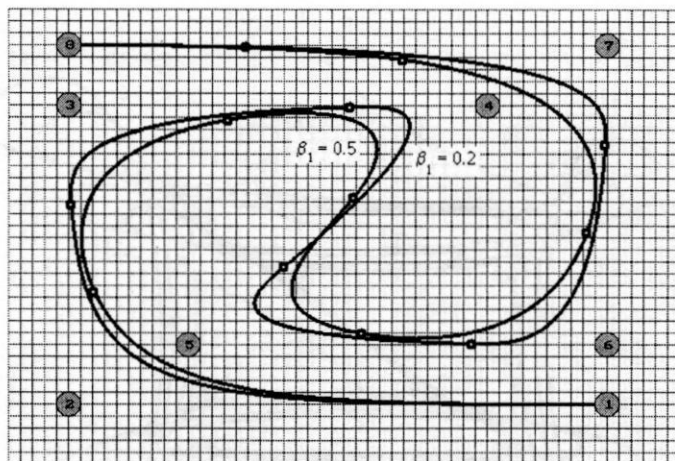


A 2.26. ábra 2.25. ábra negatív feszültség hatását szemlélteti a

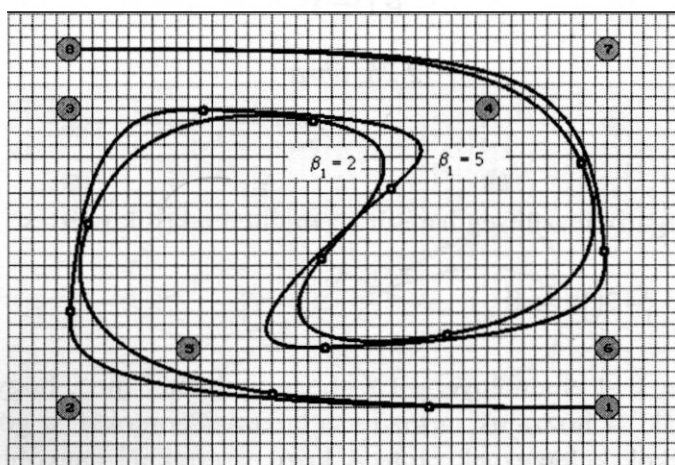
kritikus érték:

$$\beta_2 = -\beta_1^3 - 2(\beta_1^2 + \beta_1) \quad (2.67)$$

alatt (amely  $8 = 0$ -t eredményez). Ez abban nyilvánul meg, hogy a kontrollpontok "taszítják" a hozzájuk tartozó csatlakozási pontokat, a görbe "meglazul", újabb hurkok keletkeznek rajta. A kritikus értéknél nagyobb negatív feszültség hatására a kontrollpontok a görbe csatlakozási pontjait az ellenkező irányból - "kívülről" - vonzzák (2.26. ábra).



a)



b)

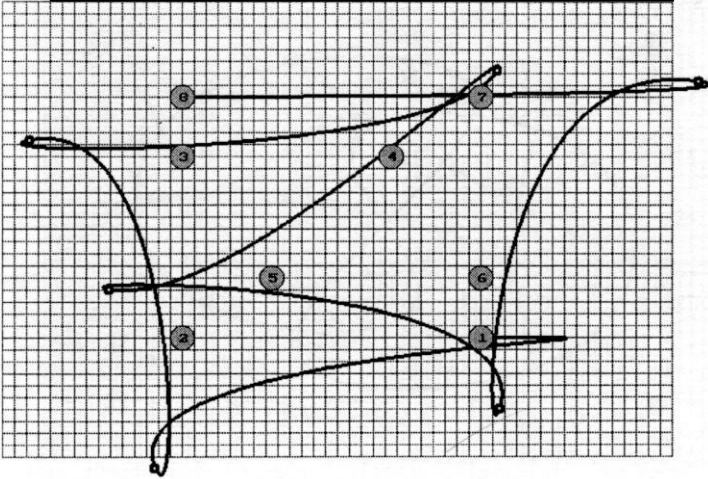
$$\beta_2 = 0$$

2.27. ábra

Az egységtől különböző eltolásérték a görbe csatlakozási pontjait az alakját viszonylag kis mértékben változtató görbén valamelyik végpont irányába tolja

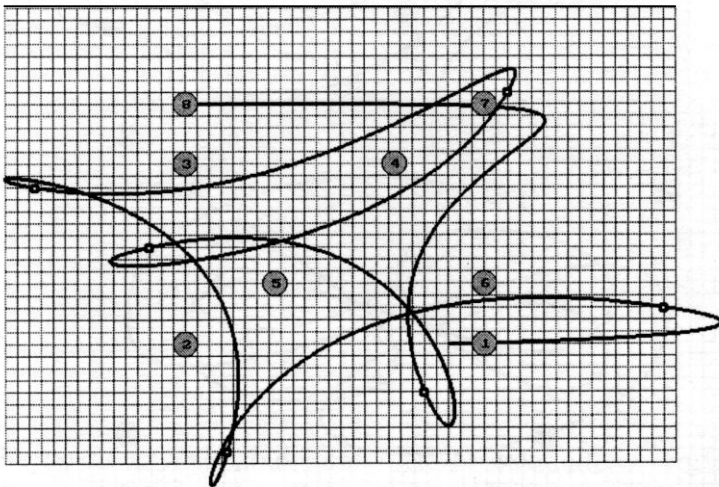
el (2.27. ábra). Az eltolás és feszültség együttes hatását a 2.28. ábra szemlélteti. Amint a 2.67 képlet is mutatja, a kritikus feszültségérték az eltolás függvénye.

2.28. ábra



$$\beta_1 = 0.5, \beta_2 = -4$$

a)

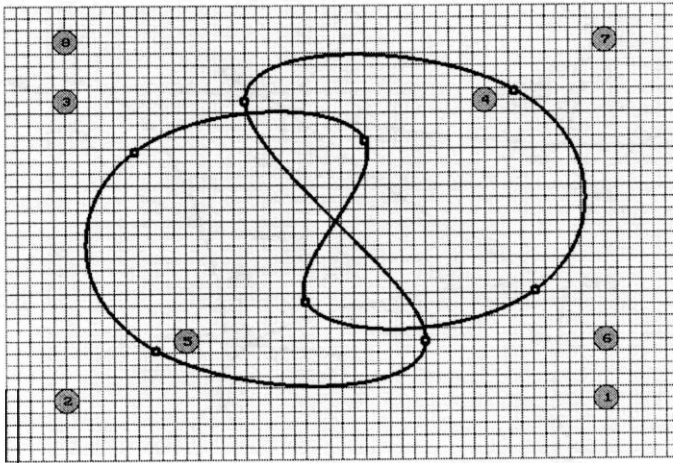


$$\beta_1 = 2, \beta_2 = -16$$

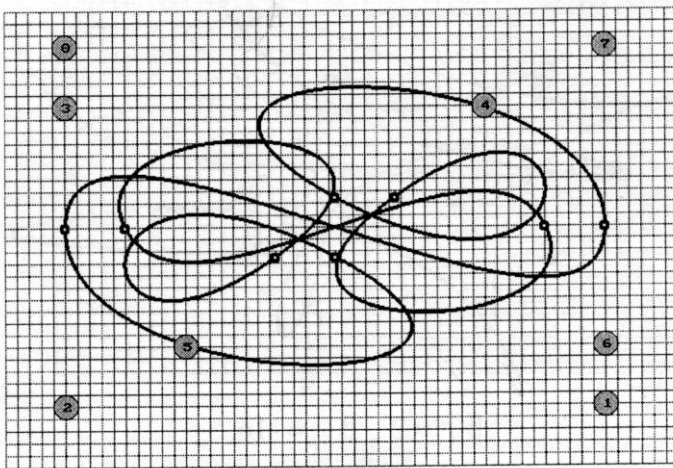
b)

Ugyanazzal a karakterisztikus kerettel szerkesztett zárt B-spline görbe látható a 2.29. ábrán, a 2.30. ábra pedig az alakparaméterek hatását szemléltetik negatív feszültségértékek esetén.

2.29. ábra

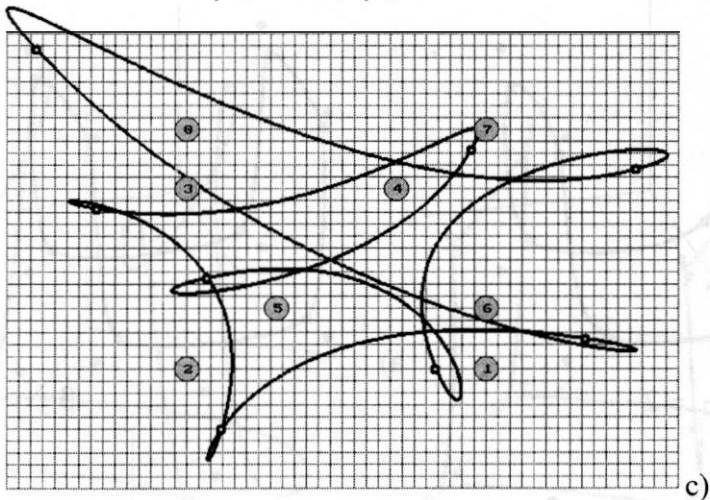
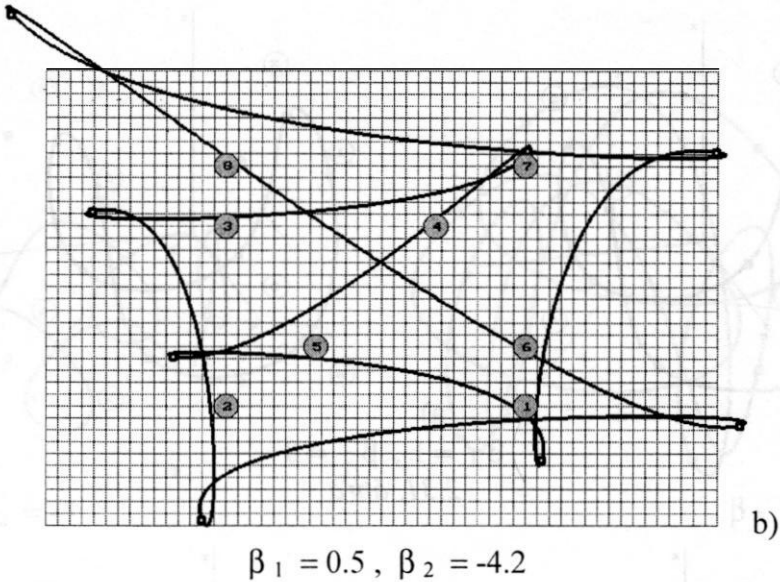


$$\beta_1 = 1, \beta_2 = 0$$



a)

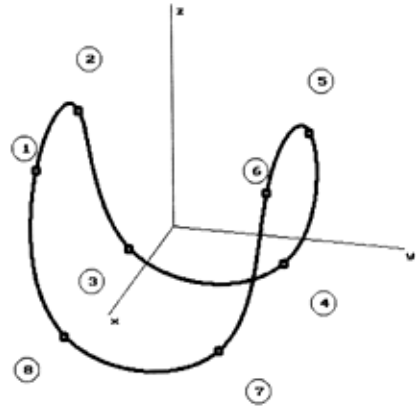
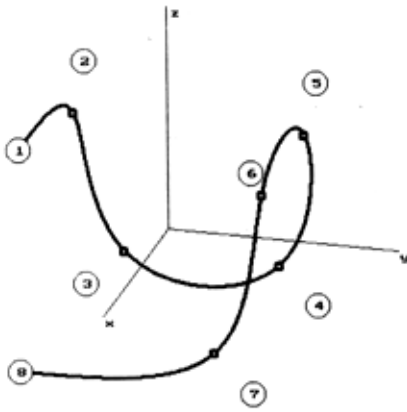
$$\beta_1 = 1, \beta_2 = -4$$



**13<sub>1</sub>=2, R<sub>2</sub>=-15**  
**2.30. ábra**

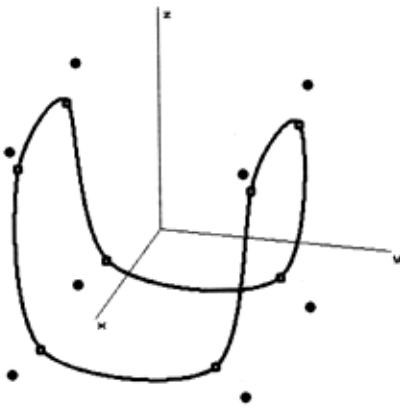
A 2.31 - 2.33. ábrák az alakparaméterek hatását szemléltetik térgörbék esetén. A 2.31. ábrán egy kocka néhány éléből álló karakterisztikus kerettel szerkesztett nyílt illetve zárt B-spline térgörbe, a 2.32. ábrán fokozatosan növekvő feszültségű zárt  $\beta$ -spline térgörbék, míg a 2.33. ábrán  $\beta_1=2$  eltolással és a megfelelő kritikus érték alatti, illetve fölötti negatív feszültséggel szerkesztett görbék láthatók.



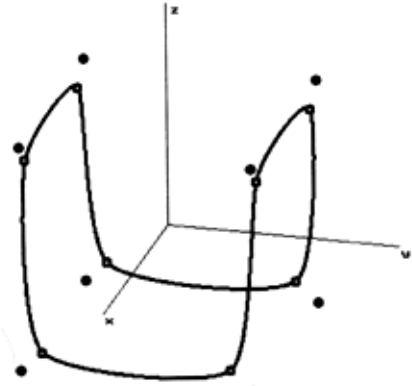


a)  $\beta_1 = 1, \beta_2 = 0$   
2.31. ábra

b)



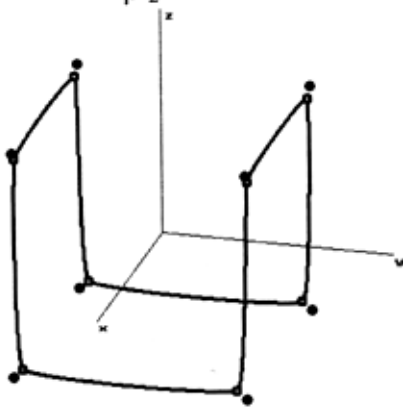
$\beta_2 = 2$



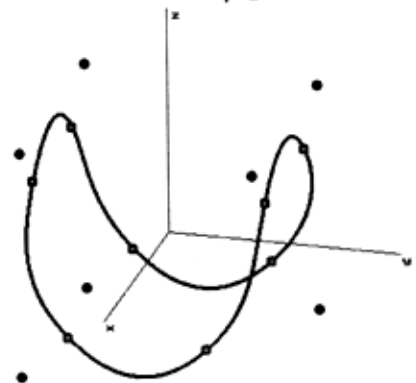
a)

$\beta_2 = 5$

b)



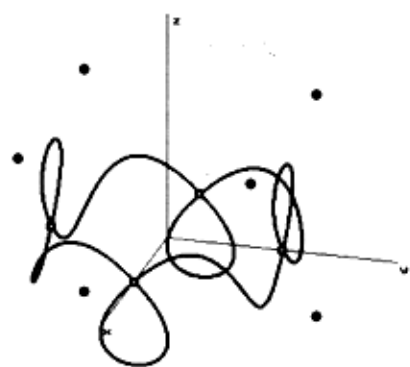
$\beta_2 = 20$



c)

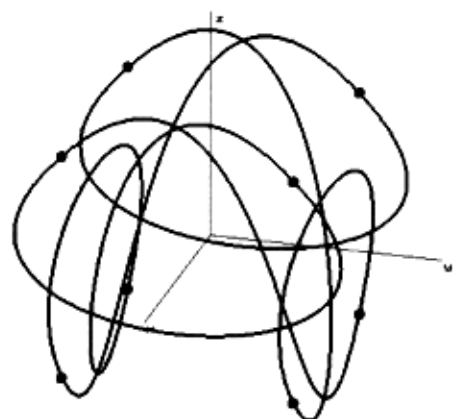
$\beta_2 = -2$

c)



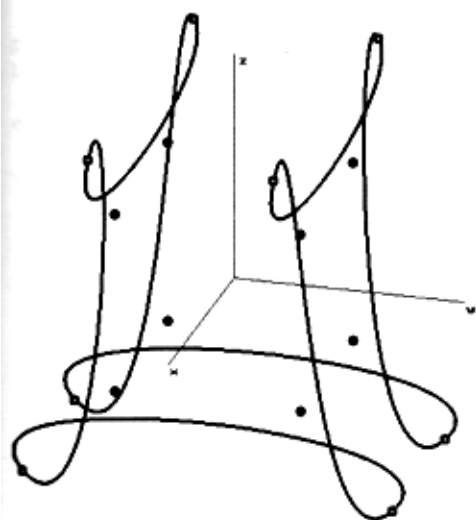
$$\beta_2 = -4$$

e)



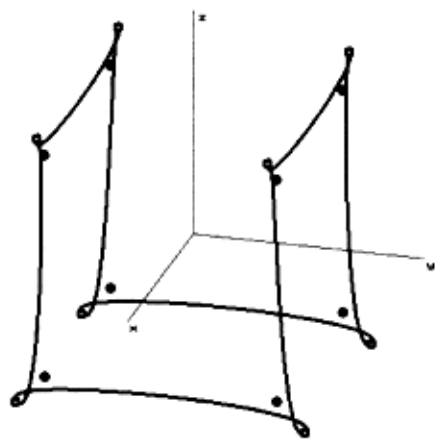
$$\beta_2 = -5$$

f)



$$\beta_2 = -8$$

g)

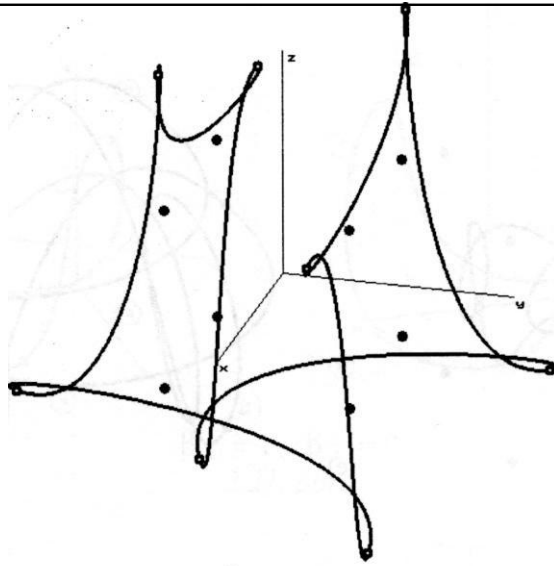


$$\beta_2 = -14$$

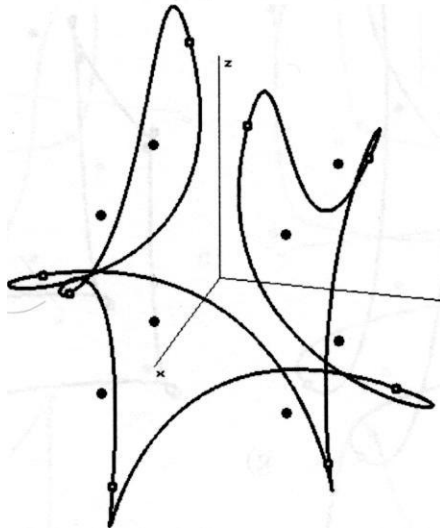
h)

$$\beta_1 = 1$$

2.32. ábra



$$\beta_2 = -31$$



$$\beta_2 = -16$$

$$\beta_1 = 2$$

2.33. ábra

A lemez mellékleten található GB\_2D\_BT.PAS nevű programmal szerkeszthetők  $\beta$ -spline síkgörbék. Az alábbi forráskódból hiányzik a GB\_2D\_IP.PAS nevű programmal azonos néhány részlet.

-SN+}

```

program gb_2d_bt; {sima síkgörbeszerkesztés  $\beta$ -spline
t      approximációs eljárással}

' uses
  graph, grafind, crt, dos, kozos, file_kez, konf_2d, eger_kez,
  eger_kp, kerdesek, gomb_kez, kozos_gb;

const
  valasz: kars = ['B','E','G','Q','T','V','A','C'];

type
  pontr = object (valós koordinátájú síkbeli pont)
    xp, yp: real;
    procedure uj(ux, uy: real);
  end;

procedure pontr.uj(ux, uy: real);
begin
  xp:=ux; yp:=uy;
end;

yaw
  ff: file of mp;
  e, f: array[1..nm] of real;
  nh, fv, bill: byte;
  st, i: integer;
  b12, b13, d: real;
  b: array[-2..1] of real;
  p: array[-2..1] of pontr;
  dp: array[1..nm] of pont;

procedure kilep;

.....
procedure konfig;

.....
procedure kpontok; {kontrollpontok megjelenítése}

.....
procedure rajz; {görbemejelenítés}
const nr=500;
var
  j, w, nf, ux, uy: integer;
  u, u2, u3, fl, f2, f3, f4: real;

```

```

function xr(i: integer): integer; {görbepont x koordinátája}
begin
  xr:=kx0+round((b[-2]*p[-2].xp+b[-1]*p[-
    1].xp+ b[0]*p[0].xp+b[1]*p[1].xp)/d);
  end;

function yr(i: integer): integer; {görbepont y koordinátája}
begin
  yr:=ky0-round((b[-2]*p[-2].yp+b[-1]*p[-1].yp+
    b[0]*p[0].yp+b[1]*p[1].yp)/d);
end;

function mezo(bx,by: integer): boolean;
  {kivágási feltétel a szerkesztési mező határain}
begin
  if (bx<kx0+xx+12) and (bx>kx0-12) and (by<ky0+12) and
    (by>ky0-yx-12)
  then mezo:=true else mezo:=false;
end;

procedure delta;
begin
  b12:=b1*b1; b13:=b12*b1; d:=b13+2*(b12+b1)+b2+1;
end;

procedure jel(a: pont); {görbeívek csatlakozásán álló jel}
begin
  if mezo(a.xp,a.yp) then fillellipse(a.xp,a.yp,3,3);
end;

begin
  eger_n; delta;
  if abs(d)<0.1 then begin
    if d<0 then b2:=b2-1 else b2:=b2+1;
    delta; end; {nullaosztás elkerülése}
  racs2; setlinestyle(0,0,3); setcolor(15);
  for j:=0 to nr do begin
    u:=j/nr; u2:=u*u; u3:=u2*u;
    f1:=1-3*u+3*u2-u3; f2:=u2*(3-u); f3:=u*(3-u2); f4:=f2-u3;
    b[-2]:=b13*f1; {  $\beta$ -spline súlyfüggvények}
    b[-1]:=b13*(1-f1)+b12*(2-f2)+b1*(2-f3)+b2*(1-f4);
    b[0]:=b12*f2+b1*f3+b2*f4+1-u3;
    b[1]:=u3;
    if qa='N' then nf:=nh else nf:=nh+1;
    for i:=2 to of do begin
      if i=2 then begin
        if qa='N' then
          p[-2].uj((a[1].xp-a[2].xp)/b13+a[1].xp, (segédvégpont)
            (a[1].yp-a[2].yp)/b13+a[1].yp)
          else p[-2].uj(a[nh].xp,a[nh].yp);
          for w:=-1 to 1 do p[w].uj(a[i+w].xp,a[i+w].yp);
        end else if i=nh then begin
          if qa='N' then

```

```

        p[1].uj((a[nh].xp-a[nh-1].xp)*b13+a[nh].xp, {segédvégpont}
            (a[nh].yp-a[nh-1].yp)*b13+a[nh].yp)
    else p[1].uj(a[1].xp,a[1].yp);
    for w:=-2 to 0 do p[w].uj(a[i+w].xp,a[i+w].yp);
end else if i=nh+1 then begin
    p[1].uj(a[2].xp,a[2].yp); p[0].uj(a[1].xp,a[1].yp);
    p[-1].uj(a[nh].xp,a[nh].yp); p[-2].uj(a[nh-1].xp,a[nh-1].yp);
end else for w:=-2 to 1 do p[w].uj(a[i+w].xp,a[i+w].yp);
ux:=xr(i); uy:=yr(i);
if j>0 then if (mezo(dp[i].xp,dp[i].yp)) and (mezo(ux,uy))
    then line(dp[i].xp,dp[i].yp,ux,uy);
dp[i].uj(ux,uy);
if (j=nr) and (mezo(dp[i].xp,dp[i].yp)) then jel(dp[i]);
end;
end;
setlinestyle(0,0,1);
eger 1;
end;

```

```

procedure tar; {kontrollponttár ahonnan új pontot lehet
    egerrel elvenni}
begin k:=nh+1; a[k].kezd; end;

begin
obj = ' G' ;
grind1; ker_2; eger_k; mm:=imagesize(0,0,2*r,2*r); ef:=0;
repeat
qu:='N'; fe:=0;
for k:=0 to nm do a[k].uj(0,0); qk:='N';
eger_n; racs2; konfig; nh:=a[0].xp; parancs(4); bvalt;
eger_n; racs2; eger 1;
if nh>0 then {kezdőkonfiguráció megjelenítése}
    for k:=1 to nh do with a[k] do begin
        getmem(q,mm); (helyfoglalás a bitmap-nek a heap-ben)
        getimage(xr-r, yr-r, xr+r, yr+r, q^);
        fg:=0; megj;
    end;
tar;
repeat.....
repeat par_katt(1,qr); until qr in valasz; eger_n;
case qr of
    'B':if nh<nm then begin {új kontrollpont beszurása}
        .....
    end;
    'V':begin {változtatandó kontrollpont kiválasztása}
        .....
    end;
    'T':if nh>0 then begin {kontrollpont törlése}
        .....
    end;

```

```

'G':if nh>2 then begin {görbemejjelenítés}
    gb [ 3 ] :=1; parancs(4); alak;
    rajz;
    gb[3]:=2; fe:=1;
end;
'E':if fe=1 then begin {görbemejjelenítés keret nélkül}
    gb[2]:=1; parancs(4); kpl; cleardevice;
    if qm='I' then begin racs2; rajz; kpontok; end
        else rajz;
    setcolor(7); outtextxy(5,5,'ESC - vissza');
    repeat qm:=readkey; until ord(qm)=27;
    ker 2; bvalt;
    gb[2]:=0;
end;
'A':begin {eltolásmódosítás}
    gb[7]:=1; bvalt;
    eltl; if bl<0.05 then bl:=0.05; if bl>20 then bl:=20;
    gb[7] :=0; lap(208,5);
end;
'C':begin {feszültségmódosítás}
    gb[8]:=1; bvalt;
    fesz;
    gb[8]:=0; lap(208,5);
end;
'Q':begin {kilépés}
    .....
end;
end;
end;
    if gb[3]=0 then racs2; kpontok; gb[3]:=0; parancs(4); bvalt;
    eger_l; tar;
until (qk='I') or (qu='I');
until qu=' N' ;
.....
end.

```

A program lehetővé teszi a kontrollpont-konfiguráció és az alakparaméterek interaktív módosítását. 13-spline térgörbéket a GB\_3D\_BT.PAS program szerkeszt. Az itt kinyomtatott forráskódból hiányzik néhány, a GB\_3D\_IP.PAS programban megtalálható részlet.

```
{ $N+ }
```

```
program gb_3d_bt; {sima térgörbeszerkesztés 0-spline
                  approximációs eljárással}
```

```
uses
```

```
graph, grafind, crt, dos, kozos, file_kez, kerdesek, kozos_3d,
eger kez, gomb kez, kozos_gb;
```

```

const
  nm=99
  ;
  valasz: kars = ['B','E','G','Q','T','V','A','C'];

type
  pont3...= object {térbeli pont objektum}

  kpont...= object(pont3) {kontrollpont objektum}

  mp = array [ 0 .. nm] of kpont;

  a: mp; ff: file of mp;
  e, f, g: array[1..nm] of real;
  nh, fv, fk: byte;
  st, i: integer;
  b12, b13, d: real;
  b: array[-2..1] of real;
  p: array[-2..1] of pont3;
  dp: array[1..nm] of pont;

  procedure kpont.koord; {kontrollpont vetülete és
  mélysége}

  procedure pont3.uj(ux, uy, uz: real);
  begin
    xp:=ux; yp:=uy; zp:=uz; end;

  prócedúra kpont.megj; {kontrollpont megjelenítése}

  prócedúra kpont.sorr(un: integer);

  procedure sorrend; {mélység szerinti sorrendbehelyezés}

  procedure kilep; procedure konfig; procedure kpontok;

  {kontrollpontok megjelenítése}

  .....
  procedure rajz; {görbemejelenítés}
  :must nr=500;
  var
    j, w, nf, ux, uy: integer;
    u, u2, u3, f1, f2, f3, f4: real;

```



```

function xx(i: integer): real; {görbepont x koordinátája}
begin
  xx:=(b[-2]*p[-2].xp+b[-1]*p[-
1].xp+b[0]*p[0].xp+b[1]*p[1].xp)/d; end;

function yy(i: integer): real; {görbepont y koordinátája}
begin
  yy:=(b[-2]*p[-2].yp+b[-1]*p[-
1].yp+b[0]*p[0].yp+b[1]*p[1].yp)/d; end;

function zz(i: integer): real; {görbepont z koordinátája}
begin
  zz:=(b[-2]*p[-2].zp+b[-1]*p[-1].zp+b[0]*p[0].zp+b[1]*p[1].zp)/d;
end;

function mezo(bx,by: integer): boolean;
  (kivágási feltétel a szerkesztési mező határain)
begin
  if (bx<kx0+xm) and (bx>kx0) and (by<ky0) and (by>ky0-ym)
  then mezo:=true else mezo:=false;
end;

procedure delta;
begin
  b12:=b1*b1; b13:=b12*b1; d:=b13+2*(b12+b1)+b2+1;
end;

procedure jel(a: pont); {görbeívek csatlakozásán álló jel}
begin
  if mezo(a.xp,a.yp) then fillellipse(a.xp,a.yp,3,3);
end;

begin
  eger_n; delta;
  if a.bs(d)<0.1 then begin
    if d<0 then b2:=b2-1 else b2:=b2+1;
    delta; end; {hullaosztás elkerülése}
  racs; if gb[2]=1 then nyil; setlinestyle(0,0,3); setcolor(15);
  for j:=0 to nr do begin
    u:=j/nr; u2:=u*u; u3:=u2*u;
    f1:=1-3*u+3*u2-u3; f2:=u2*(3-u); f3:=u*(3-u2); f4:=f2-u3;
    b[-2]:=b13*f1; { $\beta$ -spline súlyfüggvények}
    b[-1]:=b13*(1-f1)+b12*(2-f2)+b1*(2-f3)+b2*(1-f4);
    b[0]:=b12*f2+b1*f3+b2*f4+1-u3;
    b[1] :=u3;
    if qa='N' then nf:=nh else nf:=nh+1;
    for i:=2 to of do begin
      if i=2 then begin
        if qa='N' then
          p[-2].uj((a[1].xp-a[2].xp)/b13+a[1].xp,           {segédvégpont}
          (a[1].yp-a[2].yp)/b13+a[1].yp,
          (a[1].zp-a[2].zp)/b13+a[1].zp)
        else p[-2].uj(a[nh].xp,a[nh].yp,a[nh].zp);
      end;
    end;
  end;

```

```

for w:=-1 to 1 do p[w].uj(a[i+w].xp,a[i+w].yp,a[i+w].zp);
end else if i=nh then begin
  if qa='N' then
    p[1].uj((a[nh].xp-a[nh-1].xp)*b13+a[nh].xp, (segédvégpont)
            (a[nh].yp-a[nh-1].yp)*b13+a[nh].yp,
            (a[nh].zp-a[nh-1].zp)*b13+a[nh].zp)
  else p[1].uj(a[1].xp,a[1].yp,a[1].zp);
    for w:=-2 to 0 do p[w].uj(a[i+w].xp,a[i+w].yp,a[i+w].zp);
end else if i=nh+1 then
begin
  p[i].uj(a[2].xp,a[2].yp,a[2].zp);
  p[0].uj(a[1].xp,a[1].yp,a[1].zp);
  p[-1].uj(a[nh].xp,a[nh].yp,a[nh].zp);
  p[-2].uj(a[nh-1].xp,a[nh-1].yp,a[nh-1].zp);
end else
  for w:=-2 to 1 do [w].uj(a[i+w].xp,a[i+w].yp,a[i+w].zp);
vetit(xx(i),yy(i),zz(i)); ux:=xt; uy:=yt;
if j>0 then if (mezo(dp[i].xp,dp[i].yp)) and (mezo(ux,uy))
  then line(dp[i].xp,dp[i].yp,ux,uy);
dp[i].uj(ux,uy);
if (j=nr) and (mezo(dp[i].xp,dp[i].yp)) then jel(dp[i]);
end;
end;
setlinestyle(0,0,1);
eger_l;
end;

procedure inform;

.....
procedure fg; {vetítési irány váltortatásának vezérlése}

.....
begin
obj:='G';
grindhi; keret(kx0, ky0); eger_k;
repeat
  repeat
    eger_t(kx0, 10, 620, ky0); eger_l; qr:=' ';
    k:=0;
    repeat par_katt(1,qr); until qr in valasz; eger_n;
    case qr of
      'B':if nh<nm then begin (új kontrollpont beszúrása)
          .....
        end;
      'V':begin (váltortatandó kontrollpont kiválasztása)

          end;.....
      'T':if nh>0 then begin {kontrollpont törlése}

          end; .....
      'G':if nh>2 then begin {görbemejjelenítés}

          end;

```

```

'E':if fk=1 then begin (görbemegjelenítés keret nélkül)

    end;
'A':begin {eltolásmódosítás}
    gb[7]:=1; bvalt;
    eltl; if b1<0.05 then b1:=0.05; if b1>20 then b1:=20;
    gb[7]:=0; lap(208,5);
    end;
'C':begin {feszültségmódosítás}
    gb[8]:=1; bvalt;
    fesz;
    gb[8] :=0; lap(208,5);
    end;
'Q':begin {kilépés)

    end;
end;
.....
if fk=0 then racs; kponatok; parancs(4); bvalt; eger_1;
until (qk='I') or (qu='I');
until qu=' N' ;
closegraph;
end.

```

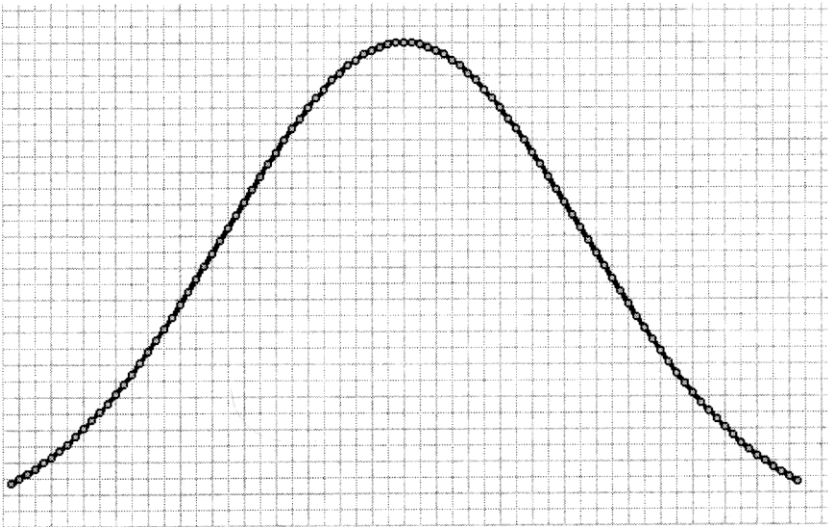
A  $\beta$ -spline közelítés tovább általánosítható, folytonosan változó alakparaméterek használata irányában. Nyílt görbe esetén a felhasználó az  $n+1$  kontrollpont között található  $n$  csatlakozási pontban és a görbe végpontjaiban megadja az eltolása  $\alpha_{-1}, \alpha_0, \alpha_1, \dots, \alpha_{n-1}, \alpha_n$  illetve a feszültség  $\varphi_{-1}, \varphi_0, \varphi_1, \dots, \varphi_{n-1}, \varphi_n$  értékeit. Az alakparaméterek a görbeívek mentén folytonosan változnak a

képletek szerint, ahol az  $s$  függvény első és második deriváltjainak értéke a paraméterintervallum határain nulla.

$$\begin{aligned}
 \beta_{1i}(u) &= (1-s(u))\alpha_{i-1} + s(u)\alpha_i \\
 \beta_{2i}(u) &= (1-s(u))\varphi_{i-1} + s(u)\varphi_i \\
 s(u) &= 10u^3 - 15u^4 + 6u^5 \quad ; \quad u \in [0,1], \quad i = 0,1,\dots,n
 \end{aligned}
 \tag{2.6}$$

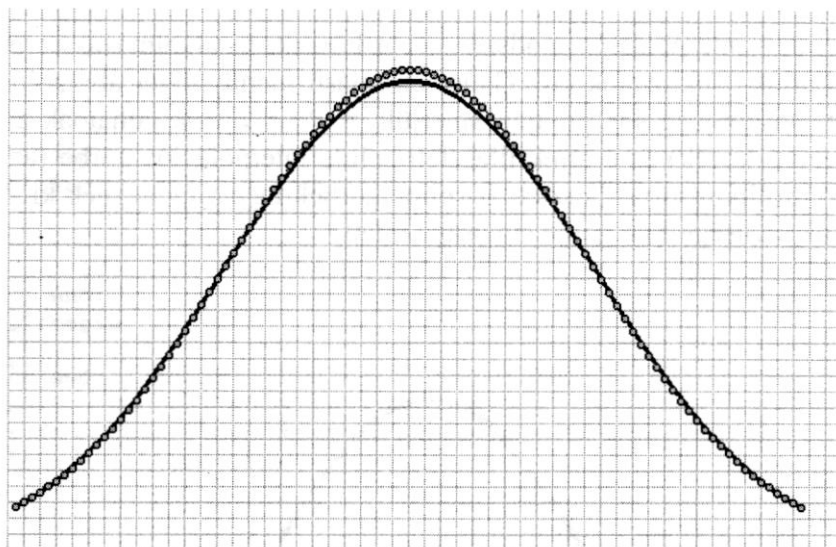
## 23.8. Alkalmazás

A különböző interpolációs módszereket a következő alkalmazással is összehasonlíthatjuk. Tekintsünk egy Gauss eloszlású mennyiséget ábrázoló görbét, amelynek viszonylag sok pontját ismerjük. A 2.34. ábrán láthatóak az ismert pontok (apró körök) és a rájuk illesztett spline interpolációs görbe (az ugyanerre a kontrollpontosorra illesztett B-spline görbék ugyanígy néznek ki - a kontrollpontok sűrűsége és a görbe simasága miatt).



2.34. ábra

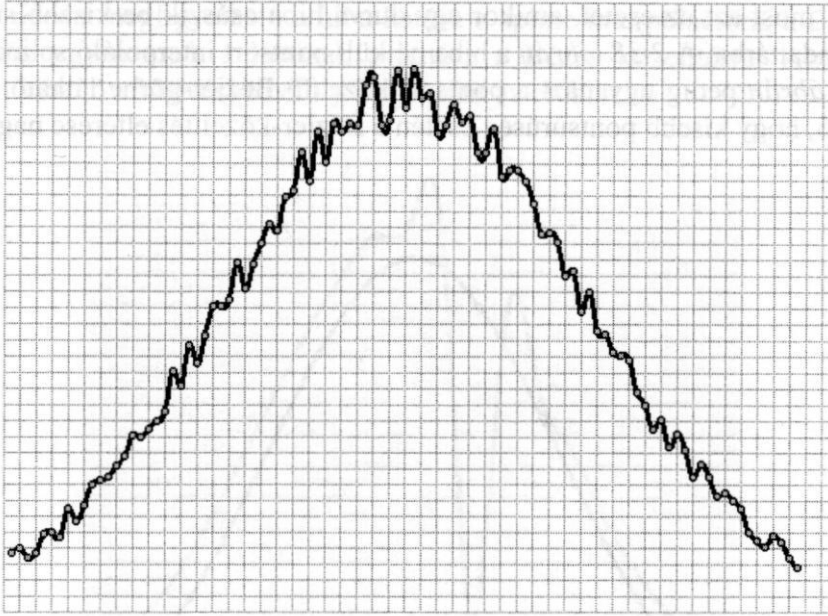
A 2.35. ábrán ugyanazokra a pontokra szerkesztett Bézier görbe található. Látható, hogy a sűrű kontrollponthalmaz ellenére a közelítő görbe valamelyest eltér az adott értékektől. Arra lehet következtetni, hogy a spline interpoláció ebben az esetben jobb.



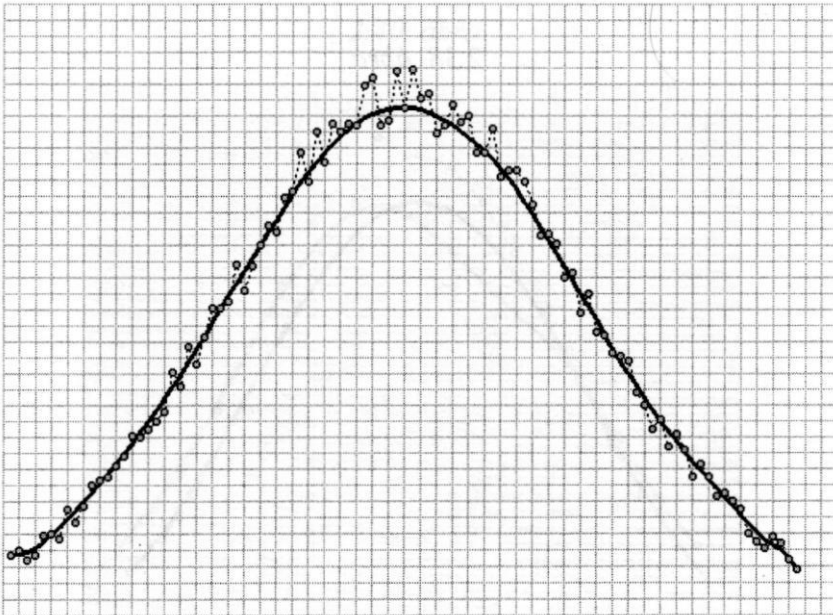
2.35. ábra

Most tegyük fel, hogy a görbét nem ismerjük, hanem egy sor mérési adat áll rendelkezésünkre, amelyet bizonyos zavaró tényezők által okozott, úgynevezett mérési zaj befolyásol. Jelen esetben a fenti görbe ordinátáinak véletlenszerű módosításával modellezzük a "zajt".

A 2.36. ábrán a mérési adatokra spline interpolációval illesztett görbe látható, míg a 2.37. ábrán a mérési adatokat Bézier görbével közelítettük. Nyilvánvaló a Bézier közelítés alkalmazásának előnye az adott körülmények között, elsősorban a sokkal jobb simaság miatt, főleg ha a mérési eredményeket további feldolgozásnak vetjük alá, amelynek során deriválásra is sor kerül, ugyanis ez a művelet annyira felerősítheti a zajt, hogy használhatatlanná teszi az adatokat. A Bézier-közelítés kiszűri a véletlenszerű, váltakozó előjelű zajt és jó becslést nyújt a görbének a zaj rátevődése előtti alakjáról.

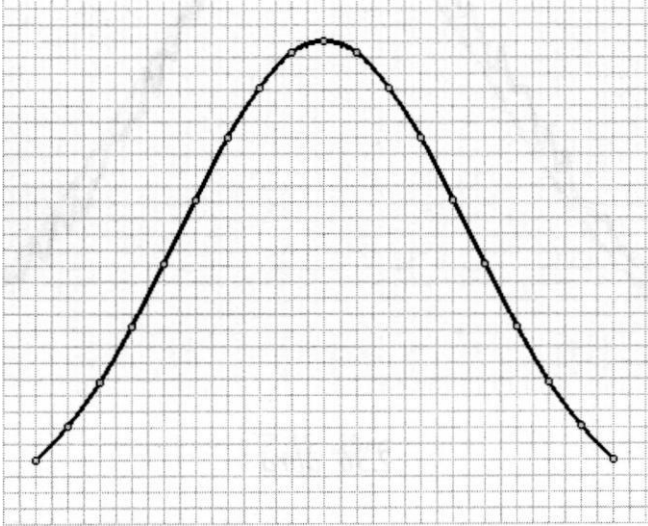


2.36. ábra

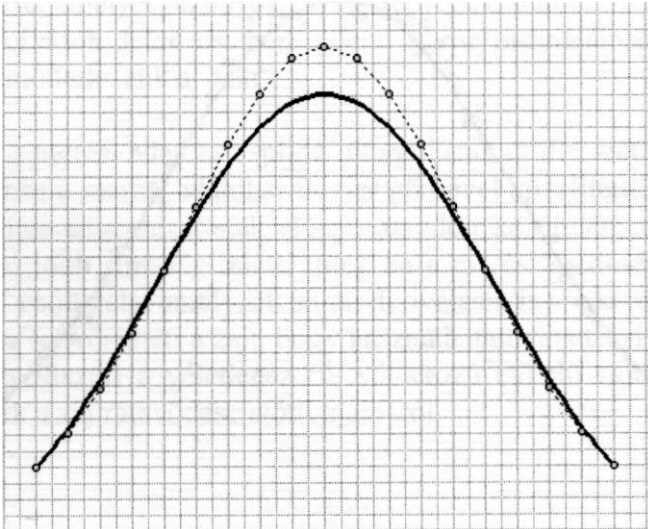


2.37. ábra

Vegyük most azt az esetet, amikor egy durva hiba csúszik be kisebb sűrűségű mérési adattárba. A 2.38. ábrán a hiba nélküli pontsört interpoláló spline görbe. a 2.39. ábrán pedig ugyanazt a pontsört közelítő Bézier-görbe látható. Megfigyelhető, hogy kisebb pontsűrűség esetén a Bézier-közelítés eltérése nagyobb.

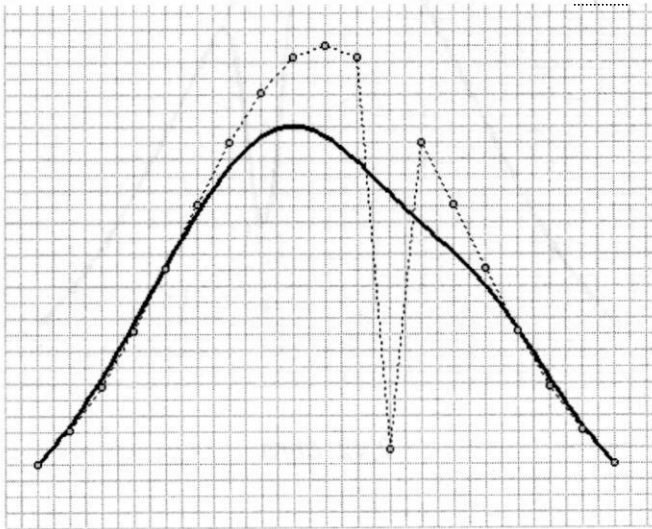


2.38. ábra



2.39. ábra

A 2.40. ábrán megfigyelhető a hiba hatása a spline interpolációra, a 2.41. ábrán pedig ugyanannak a hibának a hatása a Bézier-közelítésre. Az utóbbit egyetlen hiba jóval kevésbé befolyásolja mint az előbbit.



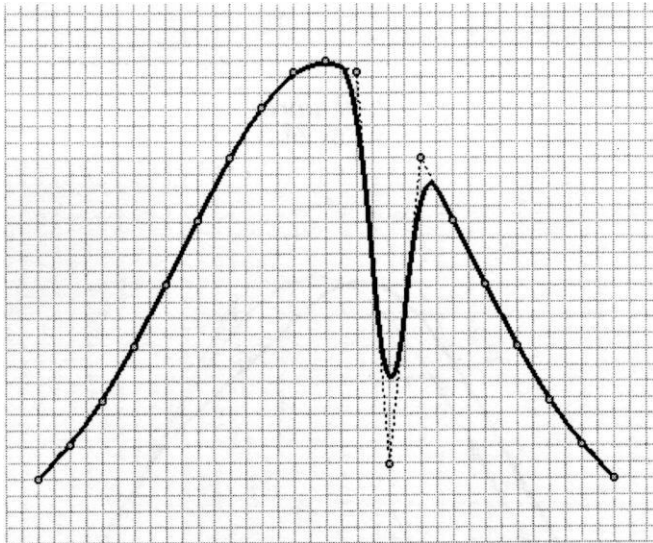
2.41. ábra



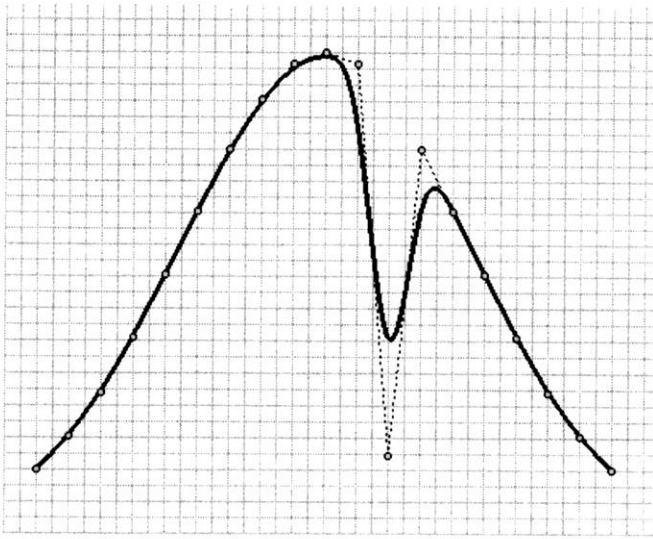
Más (például formatervezési) szempontból az is megfigyelhető, hogy a spline görbét egy kontrollpont elmozdítása a kontrollponthoz tartozókon kívül néhány szomszédos intervallumon is módosítja (csillapított mértékben), míg a Bézier-görbét teljes egészében befolyásolja.

A 2.42. ábrán másodfokú, a 2.43. ábrán pedig harmadfokú B-spline görbét illesztettünk a szóban forgó kontrollpontosorra. Látható, hogy egy kontrollpont elmozdítása a görbének csak helyi módosulását okozza, és ezt is jóval kisebb mértékben, mint a spline interpoláció esetében.

Egy értékes mérésstratégiai és adatfeldolgozási következtetést vonhatunk le az elmondottakból. Legjobb a mérési eredményeket jelképező ponthalmazt B-spline közelítéssel folytonos görbévé alakítani, majd a görbe előállításának segítségével meghatározott nagyszámú ponthalmazt Bézier-görbével közelíteni, ily módon kiszűrve a mérési zajt.



2.42. ábra



2.43. ábra



### 3. Sima felületek interaktív előállítására

A felületeknek a számítógépes szerkesztés szempontjából legelőnyösebb megadási módja a paraméteres előállítás, amelyben a felület pontjainak koordinátáit kétváltozós függvények:

$$\mathbf{r}(u, v) = \mathbf{r}(x(u, v), y(u, v), z(u, v)); \quad (u, v) \in D \subset \mathbb{R}^2. \quad (3.1)$$

Ide sorolhatjuk az úgynevezett Euler-Monge előállítást is, amelyben a paraméterek maguk az  $x$  és  $y$  koordináták (domborzat jellegű felületek):

$$z = z(x, y); \quad (x, y) \in D \subset \mathbb{R}^2. \quad (3.2)$$

A felületek leggyorsabb és egyik legszemléletesebb megjelenítési módja az, ha a felületre görbékkel álló hálózatot rajzolunk. Paraméteres előállítású felületre görbét úgy rajzolhatunk, hogy a paraméter értelmezési tartományában értelmezzünk újabb paraméter bevezetésével egy síkgörbét, majd ennek előállítását behelyettesítjük a felület képletébe:

$$\mathbf{r}(t) = \mathbf{r}(u(t), v(t)); \quad t \in I \subset \mathbb{R}. \quad (3.3)$$

Az  $u = \text{áll.}$  és  $v = \text{áll.}$  egyenesekből a fenti módon származtatott görbét paramétergörbéknek nevezzük. Ezek érintővektorai a felület 3.1. előállításának az illető paraméter szerinti parciális deriváltjai:

$$\begin{aligned} \mathbf{r}_u &= \frac{\partial \mathbf{r}}{\partial u}(u, v) = \left( \frac{\partial x}{\partial u}, \frac{\partial y}{\partial u}, \frac{\partial z}{\partial u} \right) \\ \mathbf{r}_v &= \frac{\partial \mathbf{r}}{\partial v}(u, v) = \left( \frac{\partial x}{\partial v}, \frac{\partial y}{\partial v}, \frac{\partial z}{\partial v} \right) \end{aligned} \quad (3.4)$$

A 3.3 előállítású tetszőleges felületi görbe érintője

$$\mathbf{r}'(t) = \mathbf{r}_u u'(t) + \mathbf{r}_v v'(t) \quad (3.5)$$

az illető ponton áthaladó két paramétervonal érintője által meghatározott síkban (érintősík) található. A felület normálisvektorát (az érintősíkra merőleges vektor) az

$$\mathbf{n} = \mathbf{r}_u \times \mathbf{r}_v \quad (3.6)$$

képlet adja.

Egy felületet simának nevezünk, ha érintősíkja a felület minden pontjában értelmezett, és változása folytonos. További simasági követelmény lehet az, hogy a másodrendű parciális deriváltak is folytonosak legyenek.

Bizonyos követelményeknek eleget tevő felületek előállításának meghatározását többféleképpen megpróbálhatjuk:

- interaktív paraméteres előállítással  
A 3.2 vagy 3.3 előállításban szereplő kétváltozós analitikus függvényeket megadva, ezek konstansait módosítva változtatjuk a felület alakját. Előnye, hogy analitikus előállítás lévén, a kapott felület sima lesz, hátránya, hogy a szóba jöhető függvények sokfélesége és az együttható-módosítás kevéssé előrelátható volta miatt nem létezik biztosan célravezető tervezési stratégia, a felhasználó leginkább tapasztalatára és intuíciójára támaszkodhat.
- görbecsaládok segítségével történő előállítás  
Tekintsünk két görbét, az egyiket mozgassuk a másik mentén. Az elsőt leírógörbének, a másodikat pályagörbének nevezzük. A leírógörbét nem tekintjük merevnek, hanem a pályagörbe menti helyzetétől függően változtatja alakját. Ez azt jelenti, hogy két paraméterünk van, az egyik a leírógörbe saját paramétere, a másik a pályagörbe ívhossza, amelytől a leírógörbe ugyancsak függ, tehát egy felületet értelmeltünk. Ez a módszer eredményes lehet például már létező görbe felületű test (modell) számítógépre viteléhez, ha rajta valamely görbecsalád paraméteres előállítását sikerül meghatározni.
- kontrollpontrácsra illesztéssel  
Ez az egyik legkényelmesebb és legcélravezetőbb felületmodellező módszer. Megfelelő kontrollpontrács szerkesztése után a felületet, úgy, ahogy az előző fejezetben görbéket is megfelelő interpolációs vagy approximációs módszerrel állítjuk elő. A kontrollpontokat összekötő törtvonalak hálóját karakterisztikus poliédernek is nevezik, bár a háló szemei általában nem síkidomok.

A KONF\_3D.PAS nevű unit tartalmazza a kontrollpontrács és a felületmegjelenítési háló értelmezését valamint a kontrollpontok kiválasztását és megjelenítést végző eljárásokat. A kontrollpontokat sorszámuk beütésével vagy - gyorsabban - egérrel lehet kiválasztani a képernyő bal felső sarkában látható térkép megfelelő pontjára kattintva. A kiválasztott pont színe a térképen is, a szerkesztési mezőben is megváltozik, a képernyő alján pedig megjelenik koordinátáinak aktuális értéke. Az 'Esc' billentyű leütésével meg lehet szakítani a helyzetváltoztatást és a kontrollpont a módosítási eljárás hívása előtti helyén marad.

```

($N+)
unit konf 3d; {kontrollpontstruktúra meghatározása a térben}

interface

uses graph, crt, kozos, kozos_3d, eger_kez;

const
  um=7; vm=4; nm=16;

type
  pont3 = object
    xp, yp, zp: single;
    procedure uj(ux, uy, uz: single);
  end;

  p3 = Apont3;

  kpont = object(pont3) xr,
    yr: integer; procedure
    koord; procedure megj(s:
    byte);
  end;

  p4 = array[1..4] of pont;

  szem = object {a felület négy pontja által meghatározott
    torz négyszög képsíkra eső vetülete}
    c: p4;
    zm: single;
    n: integer;
    procedure uj(uc: p4; uz: single);
    procedure sr(un: integer);
  end;

  kpksz = array[1..(um+1)*(vm+1)] of szem; {kontrollpontrács-szemek}
  rsz = array[1..nm*nm] of szem; (hálószemek egy kontrollpontrács-
    szemben)

  psz = ^rsz;
  halo = array[1..(um+1)*(vm+1)] of psz; (megjelenítési háló)

```

```
mp = array(0..um,0..vm) of kpoint; {kontrollpontok}
mr = array[0..(um+1)*nm,0..(vm+1)*nm] of p3; {megjelenítési háló
                                             térbeli csomópontjai}

var
  a: mp; ff: file of mp;
  fl, fr, fp: byte;
  i,j, km, lm, kp, ip, p, q, r: integer;
  rp: mr; hl: halo; kp_sz: kpsz;
  b: byte;

procedure sorszam(nu, nv: byte);
procedure kpointok (nu, nv, ztu, ztv: byte);
procedure kp_kor(i,j,s: byte); procedure
kpracs(nu, nv: byte); procedure
kp_r_katt(nu, nv: byte); procedure
inform(i,j: byte; szg: string);

implementation

procedure kpoint.koord; {képernyőkoordináták}
begin
  vetit(xp, yp, zp) ; xr:=xt; yr:=yt;
end;

procedure pont3.uj(ux, uy, uz: single);
begin
  xp:=ux; yp:=uy; zp:=uz; end;

procedure kpoint.megj(s: byte); {kontrollpontok megjelenítése}
var sf: string;
begin
  setfillstyle(i,$); fillellipse(xr,yr,4,4);
end;

procedure szem.uj(uc: p4; uz: single);
begin c :=uc; zm:=uz; end;
procedure szem.sr(un: integer);
begin n:=un; end;
procedure sorszam(nu, nv: byte);
  {kiválasztandó kontrollpont sorszámának lekérdezése}
var ki: boolean;
begin
  lap(208,5); setcolor(0); outtextxy(262,26,'Sorszám:');
  setcolor(12); outtextxy(350,12,'k'); setcolor(0);
  outtextxy(350,30,'1');
  ablak(360,28,383,41);
  repeat
    ablak(360,10,383,23); szx:=ord(readkey)-48; setcolor(15);
    ki:=(szx>=0) and (szx<=nu);
    if ki then begin str(szx,kn); outtextxy(368,13,kn); end;
  until ki;
  setcolor(0); outtextxy(350,12,'k'); setcolor(12);
```

```

outtextxy(350,30,'1');
repeat
  ablak(360,28,383,41); szy:=ord(readkey)-48; setcolor(15);
  ki:=(szy>=0) and (szy<=nv);
  if ki then begin str(szy,kn); outtextxy(368,31,kn); end;
until ki; delay (500) ;
end;

procedure kpontok(nu, nv, ztu, ztv: byte);
  {kontrollpontstruktúra megjelenítése
   ztu=1 ha a felület u irányban zárt, 0 ellenkező esetben}
begin
  setcolor(15);
  for k:=0 to nu-ztu do for l:=0 to nv-ztv do a[k,l].koord;
  if fe=0 then begin
    setcolor(7);
    for l:=0 to nv-ztv do begin
      vetit(a[0,l].xp,a[0,l].yp,a[0,l].zp); moveto(xt,yt);
      for k:=1 to nu-ztu do begin
        vetit(a[k,l].xp,a[k,l].yp,a[k,l].zp); lineto(xt,yt); end;
      if ztu=1 then
        vetit(a[0,l].xp,a[0,l].yp,a[0,l].zp); lineto(xt,yt);
    end;
    for k:=0 to nu-ztu do begin
      vetit(a[k,0].xp,a[k,0].yp,a[k,0].zp); moveto(xt,yt);
      for l:=1 to nv-ztv do begin
        vetit(a[k,l].xp,a[k,l].yp,a[k,l].zp); lineto(xt,yt); end;
      if ztv=1 then
        vetit(a[k,0].xp,a[k,0].yp,a[k,0].zp); lineto(xt,yt);
    end;
    setcolor(15);
    for l:=0 to nv-ztv do
      for k:=0 to nu-ztu do a[k,l].megj(0);
  end;
end;

procedure kp_kor(i,j,s: byte);
begin
  setfillstyle(1,$); setcolor(0); fillellipse(50+10*i,36-8*j,3,3);
  if s>8 then a[szx,szy].megj(s);
end;

procedure kp_racs(nu, nv: byte);
  {kontrollpontrács megjelenítése egérrel való kiválasztáshoz}
var sf: string;
begin
  for k:=0 to nu do begin
    str(k, sf); outtextxy(47+10*k,44,sf);
    for l:=0 to nv do kpkor(k,l,7);
  end;
  for l:=0 to nv do begin
    str(l, sf); outtextxy(36,34-8*l,sf);
  end;
  line(150,45,150,5); line(150,5,152,9); line(150,5,148,9);

```



```
line(130,27,175,27); line(175,27,171,29);
line(175,27,171,25); setcolor(12); outtextxy(20,20,'1');
outtextxy(60+nu*10,44,'k'); outtextxy(170,30,'u');
outtextxy(140,4,'v'); end;

procedure kp_r_katt(nu, nv: byte); {kontrollpont egerrel való kivá-
lasztása}
var ny: byte;
begin
  for k:=0 to nu do
    for l:=0 to nv do begin
      kp_katt(50+10*k,36-8*l,ny);
      if ny=1 then begin szx:=k; szy:=l; qr:='V'; b:=1; end;
    end;
end;

procedure inform(i,j: byte; szg: string);
  {kontrollpont térbeli helyének kiírása}
var ksl, ks2, kx, ky, kz: string;
begin
  setfillstyle(1,11); bar(0,465,640,479);
  setcolor(0); str(szx,ksl); str(szy,ks2); str(a[i,j].xp:3:0,kx);
  str(a[i,j].yp:3:0,ky); str(a[i,j].zp:3:0,kz);
  outtextxy(130,470,'Sorszám: '+ksl+', '+ks2+szg+'x = '+kx+
    ' y = '+ky+' z = '+kz);
end;

end.
```

A kontrollpont-konfigurációt file-ba lehet menteni más alkalommal való felhasználás céljával, az ide tartozó kommunikációt a felhasználóval a KOMM\_FEL.PAS nevű unit eljárásai végzik:

```
{SN+}
unit komm_fel; {konfigurációval kapcsolatos kommunikáció felületszer
kesztésnél}

interface
uses crt, kozos, kerdesek, file kez, konf 3d, eger kez;

procedure kilep(ext: string);
procedure konfig(ext: string);

implementation

procedure kilep(ext: string);
  {felhasználó választától függő konfigurációmentés kilépéskor}
begin
  kerdez(200,200,' Menteni a konfigurációt ?','gen','em','I','N');
  repeat kattint(200,200,'I','N',qm);
```

```

until (qm='I') or (qm='N');
if qm='I' then begin
  eger n; ment(ext);
  if v='I' then begin
    assign(ff,kn); rewrite(ff); write(ff,a); close(ff); end;
  eger_1;
end;
end;

procedure konfigur(ext: string);
  (felhasználó választól függő konfigurációbetáplálás)
begin
  repeat
    qf=' ' ;
    kerdez(200,200,'          Konfiguráció ?','j','árolt','U','T');
    repeat kattint(200,200,'U','T',qf);
    until (qf='U') or (qf='T');
    if qf='T' then begin
      eger_n; olvas(ext);
      if ko=1 then begin assign(ff,kn); reset(ff); read(ff,a);
                        close(ff); end;

      eger_1;
    end else ko:=1;
  until ko=1;
end;
end.

```

### 3.1. Felületek megjelenítése

Amint már említettük, a felületeket paramétervonalak hálójának segítségével ábrázoljuk. A drótvázás megjelenítés az egyszerűbb, de kevésbé szemléletes (bonyolult felületek ábrázolásakor meglehetősen kusza rajzolatot eredményez). Ez úgy történik, hogy a felület paramétergörbéit térgörbéként megjelenítjük, az esetleges takarásokat nem véve figyelembe (mintha a felület átlátszó lenne).

A képies, "tele" megjelenítéshez ugyancsak a paramétergörbék hálójából indulunk ki. A hálószemeket síkidomoknak tekintjük (ez általában nem igaz, de eléggé sűrű háló esetén a planeitástól való eltérés elhanyagolható) és képsíkhöz viszonyított magasságuknak megfelelő fordított sorrendben megjelenítjük, így a megfigyelőhöz közelebb álló felületelemek fogják a távolabb levőket takarni és helyes képet kapunk. Ez a sorrendbe helyezés azonban sűrű háló esetén temérdek gépidőt igényel, amelynek nagy része fölösleges, ugyanis a legtöbb felületelem nem is kerül egymás fölé. Ezért érdemes a következő eljárást használni:

- a felületet egy durvább hálóval felosztjuk. Ez az interaktív szerkesztésnél lehet éppen a kontrollpontrács csúcsait összekötő görbék hálója
- ennek a hálónak a szemeit súlypontjuk képsíkhhoz viszonyított magasságának megfelelő fordított sorrendbe rendezzük
- a kapott sorrendben megjelenítjük a hálószemekhez tartozó felületdarabokat:
  - a hálószemet felosztjuk sűrű hálóval
  - ha a nagy hálószem húrnégyszögének vetülete konvex, akkor a megjelenítés sorrendje közömbös, az elemi felületdarabok nem fogják egymást fedni
  - ha a nagy hálószem húrnégyszögének vetülete konkáv, akkor a hozzátartozó sűrű háló szemeit is megfelelő sorrendben kell megjeleníteni

Másik gyorsítási lehetőség, hogy a már egyszer meghatározott sorrendet használjuk kiindulási sorrendnek a vetítési irány változtatása utáni megjelenítéshez, ugyanis így kisebb lesz a helycserék száma és kevesebb ciklust igényel a rendező eljárás.

A RAJZ F3D.PAS unit tartalmazza a felületek megjelenítését végző eljárásokat.

(\$N+)

```
unit rajz f3d; {szerkesztett felületek megjelenítése}
```

```
interface
```

```
uses graph, kozos, kozos_3d, konf_3d;
```

```
procedure megjelen(nu, nv, n, kq, ztu, ztv, bs: byte);
```

```
implementation
```

```
var dh: array[1..5] of pont; t: byte;
```

```
procedure megjelen(nu, nv, n, kq, ztu, ztv, bs: byte);
```

```
  procedure rajzol;
```

```
  var
```

```
    x, y, z : array [ 1.. 4 ] of real;
```

```
    sk: p4;
```

```
    ql, q2: byte;
```

```
    procedure negyszog; {vetített hálószem meghatározása}
```

```

begin
  x[2]:=rp[k*n+p,1*n+r]^ .xp; y[2]:=rp[k*n+p,1*n+r]^ .yp;
  z[2]:=rp[k*n+p,1*n+r]^ .zp;
  x[3]:=rp[k*n+p-1,1*n+r]^ .xp; y[3]:=rp[k*n+p-i,1*n+r]^ .yp;
  z[3]:=rp[k*n+p-1,1*n+r]^ .A.zp;
  x[4]:=rp[k*n+p-1,1*n+r-1]^ .xp; y[4]:=rp[k*n+p-1,1*n+r-i]^ .yp;
  z[4]:=rp[k*n+p-1,1*n+r-1]^ .zp;
  x[1]:=rp[k*n+p,1*n+r-1]^ .xp; y[1]:=rp[k*n+p,1*n+r-1]^ .yp;
  z[1]:=rp[k*n+p,1*n+r-1]^ .zp;
  if r=1 then begin if p=1 then begin q1:=1; q2:=4; end
                    else begin q1:=1; q2:=2; end;
                    end
                    else if p=1 then begin qi:=2; q2:=3; end
                    else begin q1:=2; q2:=2; end;
  for q:=q1 to q2 do begin
    vetit (x [q] , y [q] , z [q]) ; sk [q] . uj (xt, yt) ;
    if q=2 then z[q]:= (ap*x[q]+bp*y[q]+cp*z[q])*nv1/nv2;
  end;
  if r>1 then begin
    sk[1]:=hl[k*nv+1+1]^( (p-1)*n+r-1) .c[2];
    sk[4]:=hl[k*nv+1+1]^( (p-1)*n+r-i) .c[3];
    if p>1 then sk[3]:=hl[k*nv+1+1]^( (p-2)*n+r) .c[2]; end
  else if p>1 then begin
    sk[3]:=hl[k*nv+1+1]^( (p-2)*n+r) .c[2];
    sk[4]:=hl[k*nv+1+1]^( (p-2)*n+r) .c[1]; end;
    hl[k*nv+1+1]^( (p-i)*n+r) .uj (sk,z[2]);
    if fr=0 then hl[k*nv+1+i]^( (p-1)*n+r) .sr ( (p-i)*n+r-1);
    (kezdősorrend)
  end;
  procedure sor; {hálószemekből álló sor}
  begin for r:=1 to n do negyszog; end;
  procedure keret; {sorokból álló háló}
  begin for p:=1 to n do sor; end;
begin
  for k:=0 to nu-1 do
    for l:=0 to nv-1 do keret;
end;

procedure kp_szem; {kontrollponthálószem}
var
  pt: array[1..4] of pont3;
  sk: p4;
  procedure kp_nsz;
  begin
    if (ztu=1) and (k=nu) then
      if (ztv=1) and (l=nv) then begin
        pt[1]:=a[0,nv-1]; pt[2]:=a[0,0]; pt[3]:=a[nu-1,0];
        pt[4]:=a[nu-1,nv-1];
      end else begin
        pt[1]:=a[0,1-1]; pt[2]:=a[0,1]; pt[3]:=a[nu-1,1];
        pt[4]:=a[nu-i,1-1];
      end
    end
  else if (ztv=1) and (l=nv) then begin

```

```

pt[1]:=a[k,nv-1]; pt[2]:=a[k,0]; pt[3]:=a[k-1,0];
pt[4]:=a[k-1,nv-1];
end else begin
pt[1]:=a[k,1-1]; pt[2]:=a[k,1]; pt[3]:=a[k-i,1];
pt[4]:=a[k-1,1-1];
end;
for q:=1 to 4 do begin
  vetit(pt[q].xp,pt[q].yp,pt[q].zp); sk[q].uj(xt,yt);
  pt[q].zp:=ap*pt[q].xp+bp*pt[q].yp+cp*pt[q].zp;
end;
kp_sz[(k-1)*nv+1].uj(sk,bs*(pt[1].zp+pt[2].zp+pt[3].zp)+
  pt[4].zp);
kp_sz[(k-i)*nv+1].sr((k-1)*nv+1); (kezdősorrend)
end;
begin
for k:=1 to nu do for l:=1 to nv do kp_nsz;
end;

procedure sorrend_h; {kontrollpontszemek rendezése}
var sf: byte;
  fg: integer;
begin
  repeat
    sf:=0;
    for k:=1 to nu do for l:=1 to nv do
      for kp:=1 to nu do for lp:=1 to nv do
        if (kp_sz[(k-1)*nv+1].zm-kp_sz[(kp-1)*nv+lp].zm)*
          (kp_sz[(k-1)*nv+1].n-kp_sz[(kp-1)*nv+lp].n)<0 then begin
          fg =kp_sz[(k-1)*nv+1].n; kp_sz[(k-1)*nv+i].sr(kp_sz[(kp-1)
            *nv+lp].n);
          kp_sz[(kp-1)*nv+lp].sr(fg); sf:=1; end;
        until sf=0;
      end;
    end;

procedure sorrend_sz; {hálószemek rendezése egy kontrollpontszemen belül}
var sf: byte;
  fg: integer;
begin
  repeat
    sf:=0;
    for km:=1 to n*n do for lm:=1 to n*n do
      if (hl[(k-1)*nv+1]^ [km].zm-hl[(k-1)*nv+1]^ [lm].zm)*
        (hl[(k-1)*nv+1]^ [km].n-hl[(k-1)*nv+1]^ [lm].n)<0 then begin
        fg:=hl[(k-1)*nv+1]^ [km].n;
        hl[(k-1)*nv+1]^ [km].sr(hl[(k-1)*nv+1]^ [lm].n);
        hl[(k-1)*nv+1]^ [lm].sr(fg); sf:=1; end;
      until sf=0;
    end;

function konkav(k,l: byte): boolean;
  {megállapítja, hogy a kontrollpontszem vetülete konkáv-e}
var x,y: array[1..4] of real;

```

```

    kv1, kv2: real;
begin
  if kq=1 then begin
    with kpsz[(k-1)*nv+1] do for q:=1 to 4 do begin
      x[q]:=c[q].xp; y[q]:=c[q].yp; end;
      kv1:=(y[2] * (x[3]2x[1])2x[2] * (y[3]2y[1])+x[1] *y[3]2x[3] *y[i]) *
        (y[4]2x[3]2x[1]2x[4]2(y[3]2y[i])+x[i]*y[3]2x[3]*y[i]);
      kv2:=(y[i] * (x[4]2x[2])2x[i] * (y[4]2y[2])+x[2] *y[4]2x[4] *y[2]) *
        (y[3]2 * (x[4]2x[2])2x[3] * (y[4]2y[2])+x[2] *y[4]2x[4] *y[2])
      ; if(kv1>0) or (kv2>0) then konkav:=true else konkav:=false;
    end else konkav:=true;
  end;
end;

begin
  if fl*fp=0 then rajzol;
  case qj of
  'T':begin ("tele" (átlátszatlan) megjelenítés)
    setfillstyle(1,0);
    if fp=0 then begin
      kp_szem; sorrend_h;
    end;
    for lp:=1 to nu*nv do
      for kp:=1 to nu*nv do
        if lp=kp_sz[kp].n then begin
          l:=kp mod nv; if l=0 then l:=nv; k:=round((kp-1)/nv)+1;
          if konkav(k,l)=true then begin sorrend_sz;
            for lm:=1 to n*n do
              for km:=1 to n*n do
                if lm=h1[(k-i)*nv+1]A[km].n+i then
                  fillpoly(4, h1[(k-1)*nv+1][km]); end
                else for km:=1 to n*n do fillpoly(4,
                  h1[(k-1)*nv+1][km]);
              end;
            fp:=i;
          end;
        end;
      end;
    end;
  'D':begin (drótvázás megjelenítés)
    for k:=1 to nu do
      for l:=1 to nv do
        for km:=1 to n*n do begin
          for t:=1 to 4 do dh[t]:=h1[(k-1)*nv+1]A[km].c[t];
          dh[5]:=dh[1];
          drawpoly(5, dh);
        end;
      end;
    end;
  end;
end;
end.

```

Ezt a módszert használva rajzolja a CSAV\_GY.PAS nevű program a 3.1. ábrán látható "csavart gyűrűt", amelynek paraméteres előállítását a tórusz

meridiánsíkjában fekvő leírókörnek középpontját a tórusz felületén futó csavarvonal mentén mozgatva nyerhető.

A leírókör középpontjának pályagörbéjét hordozó tórusz paraméteres előállítás:

ahol  $R$  a tórusz

$$\mathbf{r}(\varphi, \psi) = ((R + r \sin \varphi) \cos \psi, (R + r \sin \varphi) \sin \psi, r \cos \varphi), \quad (3.7)$$

$\varphi \in [0, 2\pi]; \quad \psi \in [0, 2\pi]$

középkörének (a leírókör

középpontja által leírt kör) sugara,  $r$  a leírókör sugara. A paraméterek közötti összefüggés egy görbét értelmez a tóruszon. Az ábrázolt esetben  $k = 6$ . Legyen ez a görbe a keresett felület középköre. A felület  $\varphi = k\psi$ ;  $k \in \mathbb{N}$  leírókörének sugara  $q$ . (3.8)

Akkor a keresett előállítás:

$$\mathbf{r}(\varphi, \psi) = \begin{pmatrix} (R + r \sin k\psi + q \sin \varphi) \cos \psi, \\ (R + r \sin k\psi + q \sin \varphi) \sin \psi, \\ r \cos \varphi + q \cos \varphi \end{pmatrix} \quad \varphi \in [0, 2\pi]; \quad \psi \in [0, 2\pi] \quad (3.9)$$

(\$N+)

```

program csau gy; (csavart tóruszfelület)
uses graph, crt, grindhi, kozos, kozos 3d, konf 3d, rajz f3d;
const
  nu=5; nv=2; n=12;
  (nu=7; nv=3; n=16;) (így csak a fejlesztési környezeten (IDE)
    kívül fut, különben túlcsodul a heap) ru=160;
    ry=20; rg=60; t=6; (méretek)
  valasz f: kars = ('D','T', fel, le, jobb, bal, char(27));
    
```

```

var
  fi, psi, om: single;
  pim, pin: single;

procedure raj z; { felületmegjelení tés}
                                                    (paraméteres előállítás)
function fx(k,l: integer): real;
  begin fx:=(ru+ry*sin(t*k*pim)+rg*sin(l*pin))*cos(k*pim); end;

  function fy(k,l: integer): real;
  begin fy:=(ru+ry*sin(t*k*pim)+rg*sin(l*pin))*sin(k*pim); end;

  function fz(k,l: integer): real;
  begin fz:=ry*cos(t*k*pim)+rg*cos(l*pin); end;

procedure d_racs; (osztórács csomópontjai)
begin
  for l:=0 to nv do
    for k:=0 to nu do
      a[k,l].uj (fx(k*n,l*n),fy(k*n,l*n),fz(k*n,l*n));
  end;

procedure rajzracs; {felületháló csomópontjainak kiszámítása}
var rl, pl: integer;
begin
  for l:=0 to nv do begin
    if l=0 then rl:=0 else rl:=1;
    for r:=rl to n do begin
      for k:=0 to nu do begin
        if k=0 then pl:=0 else pl:=1;
        for p:=pl to n do begin
          rp[k*n+p, l*n+r].uj (fx (k*n+p, l*n+r) ,
            fy(k*n+p,l*n+r),fz(k*n+p,l*n+r));
        end;
      end;
    end;
  end;
  fl:=1; fp:=0;
end;

begin
  nyil; setcolor(15);
  if fl=0 then begin d_racs; rajzracs; end;
  megjelen(nu+1,nv+1,n,0,1,1,1);
  fr:=1;
end;

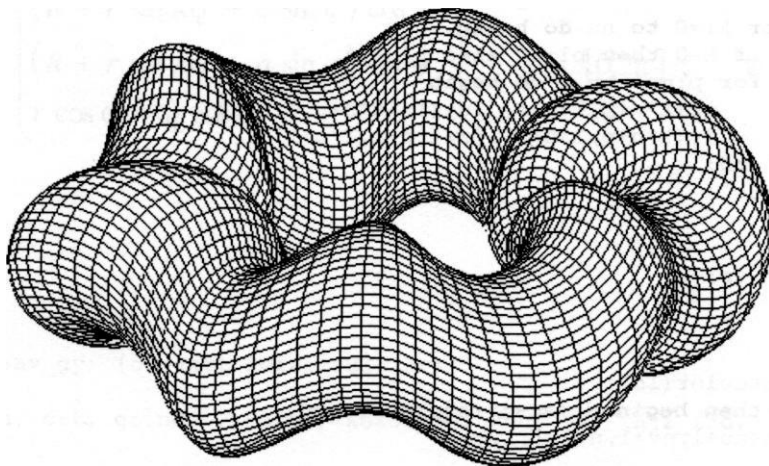
procedure fg; (vetítési irány váltortatásának vezérlése)
begin
  repeat
    setcolor(7);
    case qj of
      'D':outtextxy(15,102,'T - tele');

```



```
'T':outtextxy(15,102,'D - drótváz');
end;
repeat kr:=upcase(readkey); until kr in valasz f;
cleardevice;
case kr of
'D','T': qj=kr;
else if kr>chr(27) then begin forgat; fp:=0; end;
end;
if kr<>chr(27) then rajz;
until kr=chr(27);
end;

begin
pim:=2*pi/(nu+1)/n; pin:=2*pi/(nv+1)/n;
ap:=0.3; bp:=0.4; cp:=0.2; {kezdeti vetítési irány}
nvl:=sqrt(sqr(ap)+sqr(bp)); nv2:=nvl*sqrt(sqr(nvl)+sqr(cp));
fl:=0; fp:=0; fr:=0;
grafind;
for k:=0 to (nu+1)*n do
  for l:=0 to (nv+1)*n do new(rp(k,l));
for k:=1 to (nu+1)*(nv+1) do new(hl[k]);
qj='D';
rajz; fg;
closegraph;
end.
```



3.1. ábra

### 3.2. Felületek illesztése

Bonyolultabb felületek szerkesztésekor gyakran adódik az illesztés problémája, ugyanis egyszerűbb felületrészeket külön-külön megszerkesztünk, majd belőlük összeállítjuk a keresett objektumot. Interaktív szerkesztésnél a kontrollpontokat összekötő görbék a felületet foltokra (angolul patch) osztják, amelyek pontosan az említett görbék mentén illeszkednek.

Ha a kontrollpontrács a paraméter értelmezési tartományának téglalapokra való felosztásának felel meg, akkor egy patch előállítására:

$$\mathbf{r}(u, v) = \mathbf{r}(x(u, v), y(u, v), z(u, v)); \quad (u, v) \in [a, b] \times [c, d]. \quad (3.10)$$

Két szomszédos patch 0-ad rendű folytonosan illeszkedik, ha a közös határgörbe azonos, például:

$$\begin{aligned} \mathbf{r}_1: [a, b] \times [c, d] &\rightarrow \mathbb{R}^3; \quad \mathbf{r}_2: [b, e] \times [c, d] \rightarrow \mathbb{R}^3 \\ \mathbf{r}_1(b, v) &= \mathbf{r}_2(b, v); \quad v \in [c, d] \end{aligned} \quad (3.11)$$

Az illesztés elsőrendben folytonos, ha a két patch érintővektorai a határgörbe minden pontjában egyenlőek. A fenti példát tekintve, a  $v$  irányú érintők önműködően egyenlőek, hiszen a közös határgörbe érintői. Még az  $u$  irányú érintők egyenlőségét kell kikötni:

$$\begin{aligned} \mathbf{r}_1: [a, b] \times [c, d] &\rightarrow \mathbb{R}^3; \quad \mathbf{r}_2: [b, e] \times [c, d] \rightarrow \mathbb{R}^3 \\ \frac{\partial \mathbf{r}_1(u, v)}{\partial u} &= \frac{\partial \mathbf{r}_2(u, v)}{\partial u} \Big|_{u=b}; \quad v \in [c, d] \end{aligned} \quad (3.12)$$

Ez azt jelenti, hogy az érintősík folytonos változású lesz a határgörbe mentén. A gyakorlatban egy ennél gyengébb feltételt is alkalmaznak, éspedig azt, hogy az érintősík egyáltalán létezzen a határgörbe mentén. Ehhez elég, ha a 3.12 összefüggésben szereplő érintővektorok kollineárisak, nem kötelező hogy egyenlőek legyenek.

### 3.3. Sima felületek interaktív szerkesztése

A továbbiakban a kontrollpontrács segítségével történő felületmodellezési eljárásokkal foglalkozunk. A görbeszerkesztéshez hasonlóan a kontrollpontok helyvektorainak súlyozott közepét jelentő előállítást használunk, a paramétertartomány egységnyi oldalú négyzetét feleltetve meg a kontrollpontrács egy-egy szemének:

$$\mathbf{r}(u, v) = \sum_{k=0}^m \sum_{l=0}^n f_k(u) f_l(v) \mathbf{p}_{kl} ; \quad (u, v) \in [0,1] \times [0,1] . \quad (3.13)$$

A súlyfüggvények ezúttal is polinomok lesznek. A harmadfokúnál nem nagyobb fokszámú polinomok a símaság szempontjából megfelelőek, előállításuk sem különösen bonyolult. Magasabb fokú polinomok használata igencsak megnöveli a szükséges műveletek mennyiségét és bonyolítja az együttthatók meghatározását.

Az interpolációs módszerek pontosan a kontrollpontok közé "feszítenek ki" egy-egy patch-et, az approximációs eljárások esetén azonban a felület nem megy át a kontrollpontokon.

#### 3.3.1. Hermite interpoláció

A patch négy sarkában megadva a paramétervonalak érintőit, ezek a görbék Coons-Hermite interpolációval előállíthatók, megadva a patch határgörbéit:

$$\begin{aligned} \mathbf{r}(0, v) &= f_1(v) \mathbf{p}_{00} + f_2(v) \mathbf{p}_{01} + f_3(v) \mathbf{p}_{00}^v + f_4(v) \mathbf{p}_{01}^v \\ \mathbf{r}(1, v) &= f_1(v) \mathbf{p}_{10} + f_2(v) \mathbf{p}_{11} + f_3(v) \mathbf{p}_{10}^v + f_4(v) \mathbf{p}_{11}^v \\ \mathbf{r}(u, 0) &= f_1(u) \mathbf{p}_{00} + f_2(u) \mathbf{p}_{10} + f_3(u) \mathbf{p}_{00}^u + f_4(u) \mathbf{p}_{10}^u \\ \mathbf{r}(u, 1) &= f_1(u) \mathbf{p}_{01} + f_2(u) \mathbf{p}_{11} + f_3(u) \mathbf{p}_{01}^u + f_4(u) \mathbf{p}_{11}^u \end{aligned} \quad (3.14)$$

A felületfolt meghatározásához szükség van azonban a határgörbék pontjaiban a másik irányú érintőkre. Ezeket akkor tudjuk meghatározni, ha ismertek a csúcspontokban a másodrendű vegyes parciális deriváltak, az úgynevezett twist-(csavaró) vektorok:

$$\mathbf{r}^{uv} = \frac{\partial^2 \mathbf{r}}{\partial v \partial u}(u, v) \quad (3.15)$$

Az alkalmazott függvények (algebrai polinomok) folytonossági és deriválhatósági feltételei mellett a vegyes parciális deriváltak a deriválási sorrendtől függetlenek.

Ezzel meghatározhatóak a keresett

$$\begin{aligned} \mathbf{r}^u(0, v) &= f_1(v)\mathbf{p}_{00}^u + f_2(v)\mathbf{p}_{01}^u + f_3(v)\mathbf{p}_{00}^{uv} + f_4(v)\mathbf{p}_{01}^{uv} \\ \mathbf{r}^u(1, v) &= f_1(v)\mathbf{p}_{10}^u + f_2(v)\mathbf{p}_{11}^u + f_3(v)\mathbf{p}_{10}^{uv} + f_4(v)\mathbf{p}_{11}^{uv} \\ \mathbf{r}^v(u, 0) &= f_1(u)\mathbf{p}_{00}^v + f_2(u)\mathbf{p}_{10}^v + f_3(u)\mathbf{p}_{00}^{uv} + f_4(u)\mathbf{p}_{10}^{uv} \\ \mathbf{r}^v(u, 1) &= f_1(u)\mathbf{p}_{01}^v + f_2(u)\mathbf{p}_{11}^v + f_3(u)\mathbf{p}_{01}^{uv} + f_4(u)\mathbf{p}_{11}^{uv} \end{aligned} \quad (3.16)$$

A felület meghatározása tehát a határfeltételmátrix

$$\mathbf{A} = \begin{bmatrix} \mathbf{p}_{00} & \mathbf{p}_{01} & \mathbf{p}_{00}^v & \mathbf{p}_{01}^v \\ \mathbf{p}_{10} & \mathbf{p}_{11} & \mathbf{p}_{10}^v & \mathbf{p}_{11}^v \\ \mathbf{p}_{00}^u & \mathbf{p}_{01}^u & \mathbf{p}_{00}^{uv} & \mathbf{p}_{01}^{uv} \\ \mathbf{p}_{10}^u & \mathbf{p}_{11}^u & \mathbf{p}_{10}^{uv} & \mathbf{p}_{11}^{uv} \end{bmatrix} \quad (3.17)$$

a következőképpen állítható elő:

$$\begin{aligned} \mathbf{r}(u, v) &= [f_1(u), f_2(u), f_3(u), f_4(u)]\mathbf{A}[f_1(v), f_2(v), f_3(v), f_4(v)]^T = \\ &= \sum_{k=1}^4 \sum_{l=1}^4 f_k(u)f_l(v)\mathbf{a}_{kl} ; \quad (u, v) \in [0,1] \times [0,1] \end{aligned} \quad (3.18)$$

A F\_P\_HERM.PAS nevű program ezt a szerkesztést könnyíti meg. Interaktív módon, a program futása közben lehet változtatni a határfeltételeket. A határgörbét és az érintővektorokat (kisebb léptékkel) a program a szerkesztés közben is megjeleníti.

```
{ $N+$ }
```

```
program f_p_herm; {felületfolt (patch) Hermite-interpolációval}
```

```
uses
```

```
graph, grafind, crt, dos, kozos, kozos_3d, kerdesek, rajz_f3d,  
konf_3d, komm_fel, eger_kez, gomb_kez;
```

```
const
```

```
pu=1; pv=1;  
nu=3; nv=3;  
ax=300; ay=300; n=16;  
valasz: kars = ['E','F','Q','V'];  
vsz: kars = ['H','T','U','V',chr(27)];  
valasz_f: kars = ['D','T', fel, le, jobb, bal, char(27)];
```

```
var qv: char;
```

```
procedure rajz(kep: byte); {felületmegjelenítés}
```

```
var
```

```
u, u2, u3, v, v2, v3: single;  
fu, fv: array[1..4] of single;  
gp: array[1..2,0..3,0..n] of kpoint;
```

```
procedure sulyfugg; {súlyfüggvények}
```

```
begin
```

```
u:=p/n; u2:=u*u; u3:=u2*u;  
v:=r/n; v2:=v*v; v3:=v2*v;  
fu[1]:=2*u3-3*u2+1; fu[2]:=-2*u3+3*u2; fu[3]:=u3-2*u2+u;  
fu[4]:=u3-u2;  
fv[1]:=2*v3-3*v2+1; fv[2]:=-2*v3+3*v2; fv[3]:=v3-2*v2+v;  
fv[4]:=v3-v2;
```

```
end;
```

```
function xx: single;
```

```
var s: single;
```

```
begin
```

```
s:=0;  
for i:=1 to 4 do  
for j:=1 to 4 do  
s:=s+a[i-1,j-1].xp*fu[i]*fv[j];  
xx:=s
```

```
end;
```

```
function yy: single;
```

```
var s: single;
```

```
begin
```

```
s:=0;  
for i:=1 to 4 do  
for j:=1 to 4 do  
s:=s+a[i-1,j-1].yp*fu[i]*fv[j];  
yy:=s
```

```
end;
```

```

function zz: single;
var s: single;
begin
  s:=0;
  for is=1 to 4 do
    for j:=1 to 4 do
      s:=s+a[i-1,1-1].zp*fu[i]*fv[j];
    zz:=s;
  end;

procedure gorbek; {szegélygörbék és érintők
megjelenítése} const el=0.2; {érintőmegjelenítési lépték}
var g: byte; s, gu, gv: pont3;

procedure gbu(q: byte; var gu: pont3); {u irányú
szegélygörbék} begin
  s.uj (0,0,0);
  for i:=1 to 4 do
    s.uj (s.xp+a[i-1,g+2*q].xp*fu[i],s.yp+a[i-
      1,g+2*q].yp*fu[i], s.zp+a[i-1,g+2*q].zp*fu[i]);
  gu:=s;
end;

procedure gbv(q: byte; var gv: pont3); {v irányú szegélygörbék}
begin
  s.uj (0,0,0);
  for i:=1 to 4 do
    s.uj (s.xp+a[g+2*q,i-1].xp*fv[i],s.yp+a[g+2*q,i-
      1].yp*fv[i], s.zp+a[g+2*q,i-1].zp*fv[i]);
  gv:=s;
end;

begin
  for p:=0 to n do begin
    r:=p;
    sulyfugg;
    for q:=0 to 1 do
      for g:=0 to 1 do begin
        gbu(q,gp[q+1,g,p]); gbv(q,gp[q+1,g+2,p]);
      end;
    for g:=0 to 3 do begin
      with gp[2,g,p] do
        uj (gp[1,g,p].xp+xp*el,gp[1,g,p].yp+yp*el'gp[1,g,p].zp+zp*el);
        gp[i,g,p].koord; gp[2,g,p].koord;
        line(gp[1,g,p].xr,gp[1,g,p].yr,gp[2,g,p].xr,
          gp[2,g,p].yr); {érintők}
      end;
    end;
  for g:=0 to 3 do {szegélygörbék meghúzása}
    for p:=0 to n-1 do
      line(gp[1,g,p].xr,gp[1,g,p].yr,gp[1,g,p+1].xr,gp[1,g,p+1].yr);
    end;
end;

```

```

procedure rajzracs; {felületháló csomópontjainak kiszámítása}
begin
  for p:=0 to n do
    for r:=0 to n do begin
      sulyfugg;
       $\text{mp}[p, r] \wedge .\text{uj}(\text{xx}, \text{yy}, \text{zz})$ ;
    end;
  fl:=1; fp:=0;
end;

begin
  racs;
  case kep of
  1:begin gorbek; kpontok(pu,pv,0,0); end;
  2:begin
    if gb[2]=1 then nyil; setcolor(15);
    if fl=0 then rajzracs;
    eger_n; megjelen(pu,pv,n,0,0,0,1); eger_1;
    fr:=1;
  end;
end;
end;

procedure fg; {vetítési irány változtatásának vezérlése}
begin
  repeat
    setcolor(7);
    case qj of
    'D':outtextxy(15,102,'T - tele');
    'T':outtextxy(15,102,'D - drótváz');
  end;
  repeat kr:=upcase(readkey); until kr in valasz_f;
  cleardevice;
  case kr of
  'D', 'T': qj:=kr;
  else if kr<>chr(27) then begin forgat; fp:=0; end;
  end;
  if kr<>chr(27) then rajz(2);
  until kr=chr(27);
end;

procedure v_v; {módosítandó mennyiség (kontrollpont helye - u/v
  irányú érintő - twistvektor) kiválasztása}
var n: byte;
begin
  qv: _";
  lap(208,5); setcolor(0); outtextxy(290,6,'Mi változik
  ?'); outtextxy(310,18,'.rintő');
  ablak(220,15,280,28); ablak(375,15,435,28);
  ablak(270,31,330,44); ablak(335,31,395,44); setcolor(12);
  outtextxy(225,18,'H'); outtextxy(380,18,'T');
  outtextxy(275,34,'U'); outtextxy(340,34,'V'); setcolor(15);
  outtextxy(233,18,'ely'); outtextxy(388,18,'wist');

```

```

outtextxy(280,34,' irány'); outtextxy(345,34,' irány');
eger_t(208,5,448,45); eger_1; eger_h(328,10);
repeat
  with reg do begin
    ax:=3; intr($33,reg);
    if bx=1 then begin
      katt(220,15,280,28,n); if n=1 then qv:='H';
      katt(270,31,330,44,n); if n=1 then qv:='U';
      katt(335,31,395,44,n); if n=1 then qv:='V';
      katt(375,15,435,28,n); if n=1 then qv:='T';
      bx:=0; eger_h(328,10);
    end;
  end;
  if keypressed then qv:=upcase(readkey);
until qv in vsz;
eger_n;
end;

begin
grindhi; keret(kx0, ky0); kp_racs(pu,pv); eger_k;
for k:=0 to pu*n do
  for l:=0 to pv*n do new(rp[k,l]);
for k:=1 to pu*pv do new(hl[k]);
repeat
  qu:='N';
  ap:=0.4; bp:=-0.7; cp:=0.2;
  fl:=0; fr:=0; fp:=0; fe:=0;
  nv1:=sqrt(sqr(ap)+sqr(bp)); nv2:=nv1*sqrt(sqr(nv1)+sqr(cp));
  for k:=0 to nu do for l:=0 to nv do a[k,l].uj(0,0,0);
  for k:=0 to pu do for l:=0 to pv do a[k,l].uj((k-pu/2)*ax,
    (l-pv/2)*ay,0);

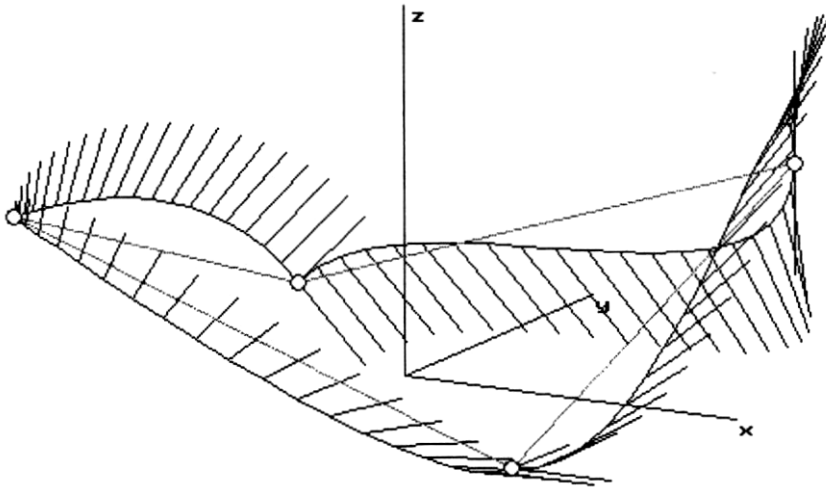
qk:='N';
racs; konfig('FHC'); eger_n; parancs(2); rajz(1);
repeat
  eger_t(kx0,2,620,ky0); eger_1; qr:=' '; b:=0;
  repeat par_katt(2,qr); kp_r_katt(pu,pv); until qr in valasz;
  eger_n;
  case qr of
    'V':begin {kontrollpont kiválasztása adatainak módosítása}
      gb[3]:=0; fe:=0; rajz(1);
      gb[1]:=1; parancs(2); if b=0 then sorszam(pu,pv);
      kp_kor(szx,szy,12); v_v;
      case qv of
        'H':begin
          inform(szx,szy,' Hely: '); koordin3('Hely');
          if qr<>chr(27) then a [szx, szy] . uj (x, y, z) ;
        end;
        'U':begin
          inform(szx+2,szy,' Érintő-u: '); koordin3('Érintő-
          u'); if qr<>chr(27) then a[szx+2,szy].uj(x,y,z); end;
        'V':begin
          inform(szx,szy+2,' Érintő-v: '); koordin3('Érintő-
          v'); if qr<>chr(27) then a[szx,szy+2].uj(x,y,z); end;
      end;
    end;
  end;

```

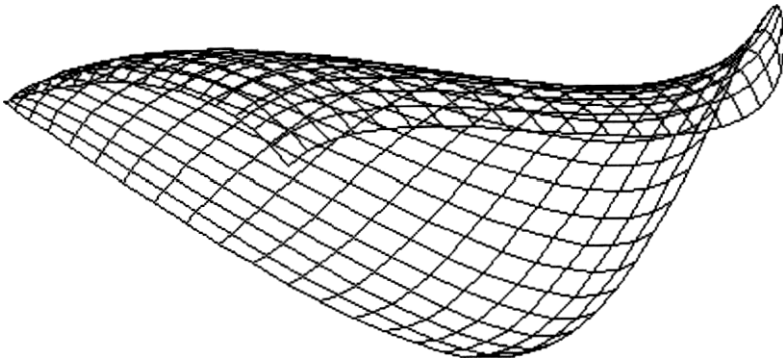


```
'T':begin
  inform(szx+2,szy+2,' Twist: '); koordin3('Twist');
  if qr<>chr(27) then a[szx+2,szy+2].uj(x,y,z); end;
end;
setfillstyle(1,11); bar(130,470,590,480);
kp_kor(szx,szy,7); rajz(1);
gb[1]:=0; lap(208,5);
fl:=0;
end;
'F':begin (felületmegjelenítés)
  gb[3]:=1; parancs(2); fe:=1;
  megj; rajz(2);
  gb[3]:=0;
end;
'E':if fe=1 then begin (felületmegjelenítés keret nélkül)
  gb[2]:=1; parancs(2);
  megj; cleardevice;
  rajz(2); fg; gb[2] :=0;
  keret(kx0, ky0); kp_racs(pu,pv);
  megj; rajz(2);
end;
'Q':begin {kilépés}
  gb[4]:=1; parancs(2); fe:=0;
  repeat kilep('FHC') until not ((v='N') and (qm='I'));
  vege; if qk='N' then ujkonf;
  if qu='N' then begin
    gb[3] :=0; rajz(1); end;
  gb[4]:=0;
end;
end;
parancs(2);
until (qk='I') or (qu='I');
gb[3]:=0; parancs(2);
until qu='N';
closegraph;
end.
```

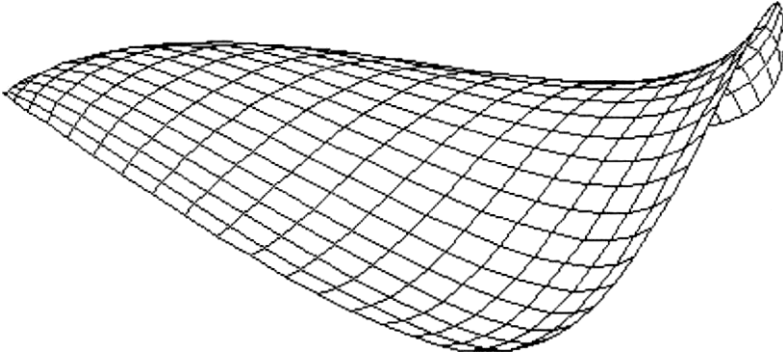
A 3.2. ábrán egy, ezzel a programmal meghatározott határfeltételeknek megfelelő határgörbék és ezek menti érintők, a 3.3. ábrán a megfelelő Hermitepatch drótvázás, a 3.4. ábrán pedig ennek képies megjelenítése látható.



3.2. ábra



3.3. ábra



3.4. ábra

A Hermite-patch-ek illesztésének feltétele, hogy a közös csúcsokhoz tartozó határfeltételek (érintő- és twist-vektorok) egyenlőek legyenek.

### 33.2. Spline interpoláció

A kontrollpontoknak az értelmezési tartomány ugyancsak egységnyi oldalhosszúságú négyzetes felosztásának csomópontjait feleltetve meg, a térgörbék spline-interpolációjánál (2.3.4. *pont*) használt módszert alkalmazva, a következő módon állítható elő a

$$\begin{bmatrix} \mathbf{p}_{00} & \mathbf{p}_{01} & \cdots & \mathbf{p}_{0n} \\ \mathbf{p}_{10} & \mathbf{p}_{11} & \cdots & \mathbf{p}_{1n} \\ \cdots & \cdots & \cdots & \cdots \\ \mathbf{p}_{m0} & \mathbf{p}_{m1} & \cdots & \mathbf{p}_{mn} \end{bmatrix} \quad (3.19)$$

kontrollpontokra illeszkedő spline-felület:

- megszerkesztjük a

$$[\mathbf{p}_{k0} \quad \mathbf{p}_{k1} \quad \cdots \quad \mathbf{p}_{kn}] ; \quad k = 0, 1, \dots, m \quad (3.20)$$

kontrollpontokra illeszkedő spline-görbék

a kapott görbéken felvesszünk egy, a megjelenítéshez szükséges sűrűségű paraméter-felosztásnak megfelelő pontsort:

$$\mathbf{r}_p[k \cdot s, l \cdot s + q] ; \quad q = 0, 1, \dots, s ; \quad l = 0, 1, \dots, n \\ k = 0, 1, \dots, m \quad (3.2)$$

ahol  $s$  a két szomszédos kontrollpont közötti ívet felosztó pontok száma

- a kapott pontsorok azonos  $l \cdot s + q$  oszlopszámának megfelelő pontokat kontrollpontoknak tekintve megszerkesztjük az ezekre illeszkedő spline-görbék, ezzel kitöltve a megjelenítéshez szükséges háló csomópontjainak helyvektorait tartalmazó

$$\mathbf{r}_p[k \cdot s + p, l \cdot s + q] \\ q = 0, 1, \dots, s ; \quad l = 0, 1, \dots, n \\ p = 0, 1, \dots, s ; \quad k = 0, 1, \dots, m \quad (3.2)$$

mátrixot

A F\_P\_SPLN.PAS program segítségével készült a 3.5 ábrán látható karakterisztikus "poliéderre" illeszkedő, a 3.6 ábrán látható spline-felület. Megjegyzendő, hogy az itt poliédernek nevezett alakzat lapjai általában nem síkidomok, hanem torz négyszögek.

```
($N+)
```

```
program f_p_spin;
    {paraméteres előállítású nyílt felületek spline interpolációval}

uses
    graph, grafind, crt, dos, kozos, kozos_3d, kerdesek, rajz_f3d,
    konf_3d, komm_fel, eger_kez, gomb_kez;

const
    nu=4; nv=4; ax=80; ay=80; n=12;
    valasz: kars = ['E','F','Q','V'];
    valasz f: kars = ['D','T', fel, le, jobb, bal, char(27)];

type
    mu = array[0..nu] of single;
    mv = array[0..nv] of single;

var
    gx, gy, gz: mu;
    hu, ku: array[1..nu-1] of single;
    fx, fy, fz: mv;
    hv, kv: array[1..nv-1] of single;

procedure splineu(var g: mu); {spline együtthatók u irányban}
begin
    ku[1]:=1/4; for i:=2 to nu-1 do ku[i]:=1/(4-ku[i-1]);
    g[0] :=0; g[nu] :=0; hu[1] :=hu[1] /4;
    for i:=2 to nu-1 do hu[i]:=ku[i]*(hu[i]-hu[i-1]); g[nu-1]:=hu[nu-1];
    for i:=nu-2 downto 1 do g[i]:=hu[i]-ku[i]*g[i+1];
end;

procedure splinev(var f: mv); {spline együtthatók v irányban}
begin
    kv[1]:=1/4; for j:=2 to nv-1 do kv[j]:=1/(4-kv[j-1]);
    f[0]:=0; f [nv] :=0; hv[1] :=hv[1] /4;
    for j:=2 to nv-1 do hv[j]:=kv[j]*(hv[j]-hv[j-1]); f[nv-1]:=hv[nv-1];
    for j:=nv-2 downto 1 do f[j]:=hv[j]-kv[j]*f[j+1];
end;

procedure rajz; {felületmegjelenítés}
var
    u, w, u3, w3, v, t, v3, t3: single;
```

```

function xu(k,j,r: integer): single;
begin
  for is=1 to nu-1 do
    hu[i]:=rp[(i-1)*n,j*n+r]^xp-2*rp[i*n,j*n+r]^xp+
      rp[(i+1)*n,j*n+r]^xp;
    splineu(gx);
    xu:=gx[k]*t3+gx[k+1]*v3+(rp[k*n,j*n+r]A.xp-gx[k])*t+
      (rp[(k+1)*n,j*n+r]^xp-gx[k+1])*v;
  end;
function xv(i,l: integer): single;
begin
  for j:=1 to nv-1 do hv[j]:=a[i,j-1].xp-2*a[i,j].xp+a[i,j+1].xp;
  splinev(fx);
  xv:=fx[1]*w3+fx[1+1]*u3+(a[i,1].xp-fx[1])*w+(a[i,1+1].xp-
    fx[1+1])*u;
end;

function yu(k,j,r: integer): single;
begin
  for is=1 to nu-1 do
    hu[i]:=rp[(i-1)*n,j*n+r]A.yp-2*rp[i*n,j*n+r]^yp+
      rp[(i+1)*n,j*n+r]A.yp;
    splineu(gy);
    yu:=gy[k]*t3+gy[k+1]*v3+(rp[k*n,j*n+r]A.yp-gy[k])*t+
      (rp[(k+1)*n,j*n+r]A.yp-gy[k+1])*v;
  end;
function yv(i,l: integer): single;
begin
  for j:=1 to nv-1 do hv[j]:=a[i,j-1].yp-2*a[i,j].yp+a[i,j+1].yp;
  splinev(fy);
  yv:=fy[1]*w3+fy[1+1]*u3+(a[i,1].yp-fy[1])*w+(a[i,1+1].yp-
    fy[1+1])*u;
end;

function zu(k,j,r: integer): single;
begin
  for is=1 to nu-1 do
    hu[i]:=rp[(i-1)*n,j*n+r]^zp-2*rp[i*n,j*n+r]^zp+
      rp[(i+1)*n,j*n+r]^zp;
    splineu(gz);
    zu:=gz[k]*t3+gz[k+1]*v3+(rp[k*n,j*n+r]^zp-gz[k])*t+
      (rp[(k+1)*n,j*n+r]^zp-gz[k+1])*v;
  end;
function zv(i,l: integer): single;
begin
  for j:=1 to nv-1 do hv[j]:=a[i,j-1].zp-2*a[i,j].zp+a[i,j+1].zp;
  splinev(fz);
  zv:=fz[1]*w3+fz[1+1]*u3+(a[i,1].zp-fz[1])*w+(a[i,1+1].zp-
    fz[1+1])*u;
end;

```

```

procedure rajzracs; {felületháló csomópontjainak kiszámítása}
var rl, pl: integer;
begin
  for k:=0 to nu do
    for l:=0 to nv-1 do begin
      if l=0 then rl:=0 else rl:=1;
      for r:=rl to n do begin
        u:=r/n; w:=1-u; u3:=u*u*u; w3:=w*w*w;
        rp[k*n,l*n+r]^uj (xv(k,l),yv(k,l),zv(k,l) );
      end;
    end;
    for l:=0 to nv-1 do begin
      if l=0 then rl:=0 else ri:=1;
      for r:=rl to n do begin
        u:=r/n; w:=1-u;
        for k:=0 to nu-1 do begin
          if k=0 then pl:=0 else pi:=1;
          for p:=pl to n do begin
            v:=p/n; t:=1-v; v3:=v*v*v; t3:=t*t*t;
            rp[k*n+p,l*n+r]^uj (xu(k,l,r),yu(k,l,r),zu(k,l,r) );
          end;
        end;
      end;
    end;
    fl:=1; fp:=0;
  end;
begin
  racs; if gb[2]=1 then nyíl; setcolor(15);
  if fl=0 then rajzracs;
  eger_n; megjelen(nu,nv,n,l,0,0,1); eger_1;
  fr:=1;
end;
procedure fg; {vetítési irány változtatásának vezérlése}
begin
  repeat
    setcolor(7);
    case qj of
      'D':outtextxy(15,102,'T - tele');
      'T':outtextxy(15,102,'D - drótváz');
    end;
    repeat kr:=upcase(readkey); until kr in valasz_f;
    cleardevice;
    case kr of
      'D', 'T' : qj :=kr;
    else if kr<>chr(27) then begin forgat; fp:=0; end;
    end;
    if kr<>chr(27) then rajz;
  until kr=chr(27);
end;
begin
  grindhi; keret(kx0, ky0); kp_racs(nu,nv); eger_k;
  for k:=0 to nun do

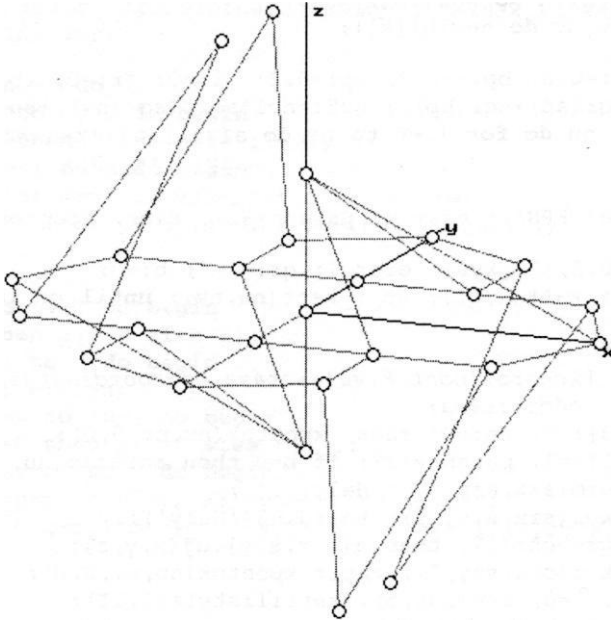
```

```

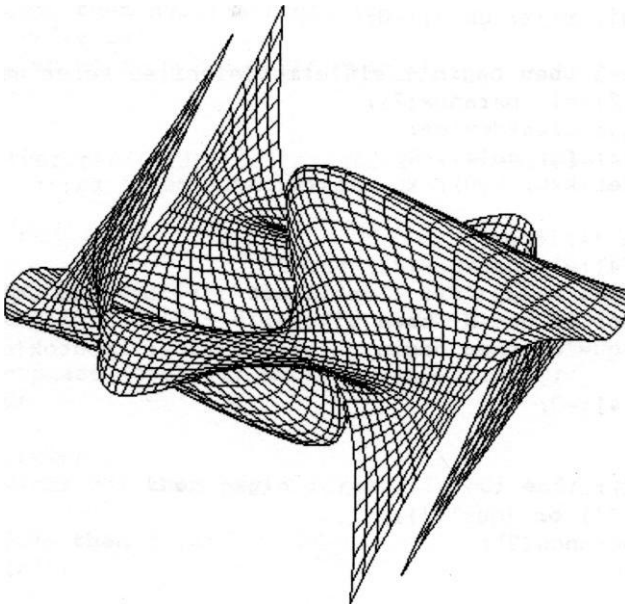
for l:=0 to nv*n do new(rp[k,l]);
for k:=1 to nu*nv do new(hl[k]);
repeat
qu:='N'; ap:=0.3; bp:=-0.7; cp:=0.2; fl:=0; fr:=0; fp:=0; fe:=0;
nvl:=sqrt(sqr(ap)+sqr(bp)); nv2:=nvl*sqrt(sqr(nvl)+sqr(cp));
for k:=0 to nu do for l:=0 to nv do a[k,l].uj((k-nu/2)*ax,(1-
nv/2)*ay,0);
qk:='N';
racs; konfig('FPS'); eger_n; parancs(2); racs; kpontok(nu,nv,0,0);
repeat
eger_t(kx0,2,620,ky0); eger_l; qr:=' '; b:=0;
repeat par_katt(2,qr); kp_r_katt(nu,nv); until qr in valasz;
eger_n;
case qr of
'V':begin {kontrollpont kiválasztása és koordinátáinak
módosítása}
gb[3]:=0; fe:=0; racs; kpontok(nu,nv,0,0);
gb[1]:=1; parancs(2); if b=0 then sorszam(nu,nv);
inform(szx,szy,' Hely: ');
kp_kor(szx,szy,12); koordin3('Hely');
if qr<>chr(27) then a [sxz, szy] .uj(x,y,z);
kp_kor(szx,szy,7); racs; kpontok(nu,nv,0,0);
gb[1]:=0; lap(208,5); setfillstyle(1,11);
bar(130,470,590,480);
fl:=0;
end;
'F':begin {felületmegjelenítés}
gb[3]:=1; parancs(2); fe:=1;
megj; rajz; gb[3]:=0;
end;
'E':if fe=1 then begin {felületmegjelenítés keret nélkül}
gb[2] :=1; parancs(2);
megj; cleardevice;
rajz; fg; gb[2]:=0;
keret(kx0,ky0); kp_racs(nu,nv); megj; rajz;
end;
'Q':begin (kilépés)
gb[4]:=1; parancs(2); fe:=0;
repeat kilep('FPS') until not ((v='N') and (qm='I'));
vege; if qk='N' then ujkonf;
if qu='N' then begin gb[3]:=0; racs; kpontok(nu,nv,0,0);
end;
gb[4]:=0;
end;
end;
parancs(2);
until (qk='I') or (qu='I');
gb[3]:=0; parancs(2);
until qu='N';
closegraph;
end.

```





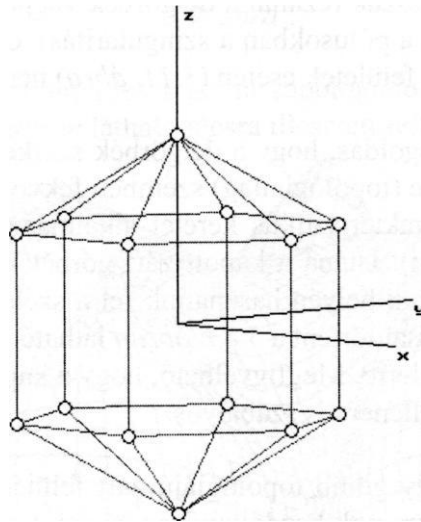
3.5. ábra



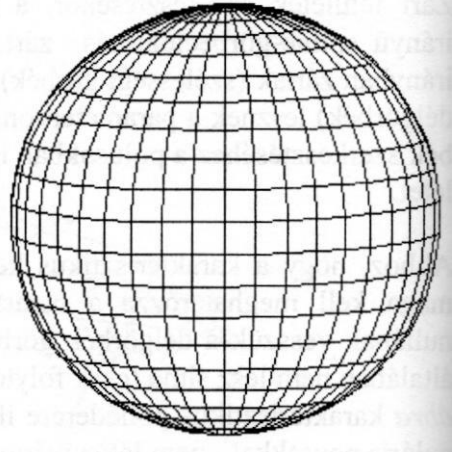
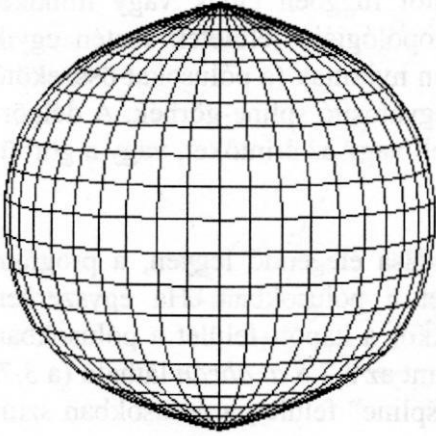
3.6. ábra

Zárt felületek szerkesztésekor, a topológiától függően egyik vagy mindkét irányú spline-görbeelőállítás zárt. Gömb topológiájú felületek esetén egyik irányban zártak (szélességi görbék), másokban nyitottak (a pólusokat összekötő délgörbék) lesznek a paramétervonalakat megvalósító spline-görbék. A délgörbék szerkesztéséhez a pólusokban ismerni kell vagy az érintőket, vagy a görbületet.

Ahhoz, hogy a karakterisztikus keret megadása elegendő legyen, a program maga kell meghatározza a határfeltételeket a pólusokban. Ha egyszerűen nullának vesszük a délgörbék görbületét, akkor a kapott felület a pólusokban általában nem lesz sima (csak folytonos), amint az a 3.8. ábrán látható (a 3.7. ábra karakterisztikus poliéderére illesztett "spline" felület, a pólusokban szinguláris pontokkal - nem létezik érintősík).



3.7. ábra



a b

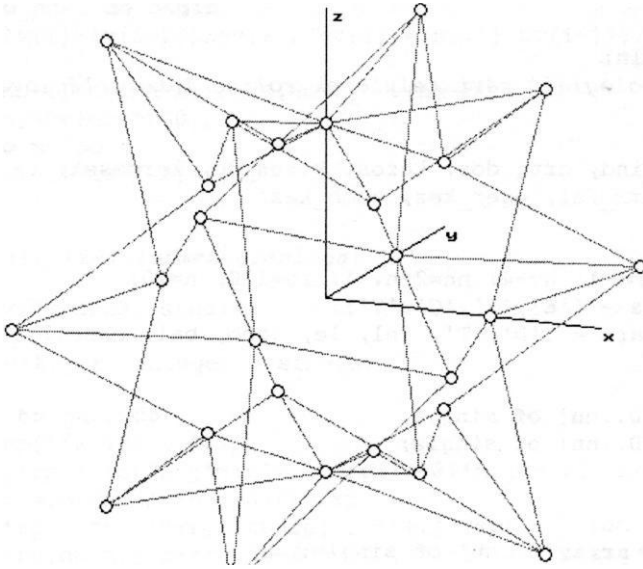
3. FEJEZET

3.8. ábra

Egyik megoldás például az, hogy a pólusokban az érintősíkot eleve a  $z$  tengelyre merőlegesnek vesszük (ezáltal a délgörbék végpontjaiban az érintők egy síkba kerülnek - eltűnik a pólusokban a szingularitás), ez viszont bonyolultabb. nem gömbszimmetriájú felületek esetén (3.11. ábra) nem alkalmazható.

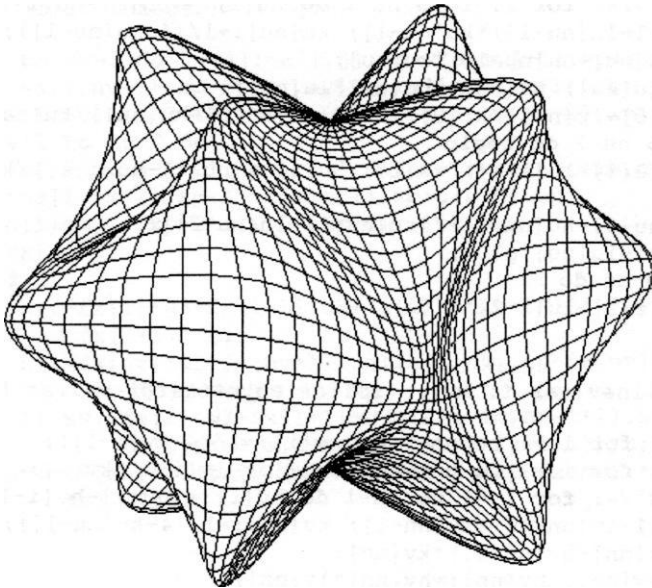
Másik, általánosabb megoldás, hogy a délgörbék szerkesztésekor az illető délgörbe saját keretét a vele (topológiailag) szemben fekvő délgörbe keretével kiegészítve kapott zárt karakterisztikus keretet alkalmazzuk (ehhez a délgörbék száma páros kell legyen). Utána a kapott zárt görbét kettéosztjuk és mindkét délgörbe pontjait a maguk helyén használjuk fel a szélességi görbék szerkesztéséhez. Ezzel az eljárással történt a 3.8.b ábrán látható gömbfelület illesztése a 3.7. ábrán látható poliéderre. Megfigyelhető, hogy a kapott felület a viszonylag kisszámú kontrollpont ellenére is szabályos.

A 3.9. ábrán látható egy gömb topológiájú zárt felület kontrollpontrácsa. Az interpolációt végző programok kezdőkonfigurációként egy gömb pontjait adják meg. Ezeket elmozdítva lehet a kívánt karakterisztikus poliédert megkapni.



3.9. ábra

A ZM\_SPLN.PAS program illeszt gömb topológiájú kontrollpontrácsra zárt splinefelületet. A 3.9. ábrán látható rácsra illesztett felület (3.10. ábra):



3.10. ábra

```
{\$N+}
```

```

program zm_spin;
  {gömb topológiájú zárt felületek spline interpolációval}

uses
  graph, grafind, crt, dos, kozos, kozos_3d, kerdesek, rajz_f3d,
  konf_3d, komm_fel, eger_kez, gomb_kez;

const
  mm=4; nu=2*mm-1; nv=4; nn=2*nv-1; rg=120; n=10;
  v a l a s z :   k a r s   =
  valasz_f: kars = ['D','T', fel, le, jobb, bal, char(27)];

type
  mu = array[0..nu] of single;
  my = array[0..nn] of single;

var
  gx, gy, gz: mu;
  hu, ku, lu: array[0..nu] of
  single; fx, fy, fz: mv; hv, kv,
  lv: array [ 0 .. nn] of single;
  fi, psi: single;

procedure splineu(var g: mu); {spline együtthatók u irányban}
begin
  ku[0]:=1/4; for i:=1 to nu-1 do ku[i]:=1/(4-ku[i-1]);
  lu[0]:=1/4; for i:=1 to nu-2 do lu[i]:=-lu[i-1]*ku[i];
  hu[0]:=hu[0]/4; for i:=1 to nu-1 do hu[i]:=(hu[i]-hu[i-1])*ku[i];
  ku[nu-1]:=(1-lu[nu-1])*ku[nu-1]; ku[nu]:=1/(4-ku[nu-1]);
  hu[nu]:=(hu[nu]-hu[nu-1])*ku[nu];
  lu[nu]:=1/ku[nu]; hu[nu]:=hu[nu]*lu[nu];
  lu[0]:=(lu[0]-lu[nu])/ku[0]; hu[0]:=(hu[0]-hu[nu])/ku[nu];
  for i:=1 to nu-2 do begin
    lu[i]:=(lu[i]-lu[i-1])/ku[i]; hu[i]:=(hu[i]-hu[i-1])/ku[i];
  end;
  g[0]:=(hu[nu-1]-hu[nu-2])/(ku[nu-1]-lu[nu-2]);
  g[1] :=hu[nu]-lu[nu] *g[0];
  for i:=2 to nu do
    g[i]:=hu[i-2]-lu[i-2]*g[0];
end;

procedure splinev(var f: mv); {spline együtthatók v irányban}
begin
  kv[0]:=1/4; for i:=1 to nn-1 do kv[i]:=1/(4-kv[i-1]);
  lv[0]:=1/4; for i:=1 to nn-2 do lv[i]:=-lv[i-1]*kv[i];
  hv[0]:=hv[0]/4; for i:=1 to nn-1 do hv[i]:=(hv[i]-hv[i-
  1])*kv[i]; kv[nn-1]:=(1-lv[nn-1])*kv[nn-1]; kv[nn]:=1/(4-kv[nn-
  1]); hv[nn]:=(hv[nn]-hv[nn-1])*kv[nn];
  lv[nn]:=1/kv[nn]; hv[nn]:=hv[nn]*lv[nn];
  lv[0]:=(lv[0]-lv[nn])/kv[0]; hv[0]:=(hv[0]-hv[nn])/kv[nn];

```

```

for i:=1 to nn-2 do begin
  lv[i]:= (lv[i]-lv[i-1])/kv[i]; hv[i]:= (hv[i]-hv[i-1])/kv[i];
end;
f[0]:= (hv[nn-1]-hv[nn-2]) / (kv[nn-1]-lv[nn-2]);
f[1] :=hv[nn]-lv[nn]*f[0];
for i:=2 to nn do
  f[i]:=hv[i-2]-lv[i-2]*f[0];
end;

procedure rajz; {felületmegjelenítés}
var
  u,w,u3,w3,v,t,v3,t3: single;

function xu(k,j,r: integer): single;
begin
  for i:=0 to nu-2 do
    hu[i]:=rp[i*n,j*n+r]^.xp-
      2*rp[(i+1)*n,j*n+r]^.xp+rp[(i+2)*n,j*n+r]^.xp;
    hu[nu-1]:=rp[(nu-1)*n,j*n+r]^.xp-
      2*rp[nu*n,j*n+r]^.xp+rp[0,j*n+r]^.xp;
    hu[nu]:=rp[nu*n,j*n+r]^.xp-2*rp[0,j*n+r]^.xp+rp[n,j*n+r]^.xp;
    splineu(gx);
  if k=nu then
    xu:=gx[nu]*t3+gx[0]*v3+(rp[nu*n,j*n+r]^.xp-
      gx[nu])*t+ (rp[0,j*n+r]^.xp-gx[0])*v
  else
    xu:=gx[k]*t3+gx[k+1]*v3+(rp[k*n,j*n+r]^.xp-gx[k])*t+
      (rp[(k+1)*n,j*n+r]^.xp-gx[k+1])*v;
  end;
function xv(i,l: integer): single;
begin
  for j:=0 to nv-2 do hv[j]:=a[i,j].xp-
    2*a[i,j+1].xp+a[i,j+2].xp; hv[nv-1]:=a[i,nv-1].xp-
    2*a[i,nv].xp+a[i+mm,nv-1].xp; hv[nv]:=a[i,nv].xp-2*a[i+mm,nv-
    1].xp+a[i+mm,nv-2].xp; for j:=nv+1 to nn-2 do
    hv[j]:=a[i+mm,nn-j+1].xp-2*a[i+mm,nn-j].xp+a[i+mm,nn-j-
    1].xp; hv[nn-1]:=a[i+mm,2].xp-2*a[i+mm,1].xp+a[i30].xp;
    hv[nn]:=a[i+mm,1].xp-2*a[i30].xp+a[i,1].xp;
    splinev(fx);
  case 1 of
    0..nv-1: xv:=fx[1]*w3+fx[1+1]*u3+(a[i,1].xp-fx[1])*w+(a[i,1+1].xp-
      fx[1+1])*u;
    nv:      xv:=fx[nv]*w3+fx[nv+1]*u3+(a[i,nv].xp-fx[nv])*w+(a[i+mm,
      nv-1].xp-fx[nv+1])*u;
    nv+1..nn-1: xv:=fx[1]*w3+fx[1+1]*u3+(a[i+mm,nn-1+1].xp-
      fx[1])*w+(a[i+mm,nn-1].xp-fx[1+1])*u;
    nn:      xv:=fx[nn]*w3+fx[0]*u3+(a[i+mm,1].xp-
      fx[nn])*w+(a[i30].xp-
      fx [0] ) *u;
  end;
end;

```

```

function yu(k,j,r: integer): single;
begin
  for i:=0 to nu-2 do
    hu[i]:=rp[i*n,j*n+r]^yp-
      2*rp[(i+1)*n,j*n+r]^yp+rp[(i+2)*n,j*n+r]^yp; hu[nu-
      1]:=rp[(nu-1)*n,j*n+r]^yp-
      2*rp[nu*n,j*n+r]^yp+rp[0,j*n+r]^yp;
    hu[nu]:=rp[nu*n,j*n+r]^yp-2*rp[0,j*n+r]^yp+rp[n,j*n+r]^yp;
    splineu (gy) ;
  if k=nu then
    yu:=gy[nu]*t3+gy[0]*v3+(rp[nu*n,j*n+r]^yp-
      gy[nu])*t+ (rp[0,j*n+r]^yp-gy[0])*v
  else
    yu:=gy[k]*t3+gy[k+1]*v3+(rp[k*n,j*n+r]^yp-gy[k])*t+
      (rp[(k+1)*n,j*n+r]^yp-gy[k+1])*v;
  end;
function yv(i,l: integer): single;
begin
  for j:=0 to nv-2 do hv[j]:=a[i,j].yp-
    2*a[i,j+1].yp+a[i,j+2].yp; hv[nv-1]:=a[i,nv-1].yp-
    2*a[i,nv].yp+a[i+mm,nv-1].yp; hv[nv]:=a[i,nv].yp-2*a[i+mm,nv-
    1].yp+a[i+mm,nv-2].yp; for j:=nv+1 to nn-2 do
    hv[j]:=a[i+mm,nn-j+1].yp-2*a[i+mm,nn-j].yp+a[i+mm,nn-j-
    1].yp; hv[nn-1]:=a[i+mm,2].yp-2*a[i+mm,1].yp+a[i30].yp;
  hv[nn]:=a[i+mm,1].yp-2*a[i30].yp+a[i,1].yp;
  splinev ( fy) ;
  case 1 of
    0..nv-1: yv:=fy[1]*w3+fy[1+1]*u3+(a[i,1].yp-fy[1])*w+(a[i,1+1].yp-
      fy[1+1])*u;
    nv: yv:=fy[nv]*w3+fy[nv+1]*u3+(a[i,nv].yp-
      fy[nv])*w+(a[i+mm,nv- 1].yp-fy[nv+1])*u;
    nv+1..nn-1: yv:=fy[1]*w3+fy[1+1]*u3+(a[i+mm,nn-1+1].yp-
      fy[1])*w+(a[i+mm,nn-1].yp-fy[1+1])*u; nn:
      yv:=fy[nn]*w3+fy[0]*u3+(a[i+mm,1].yp-fy[nn])*w+(a[i30].yp-
      fy[0] ) *u;
  end;
end;
function zu(k,j,r: integer): single;
begin
  for i:=0 to nu-2 do
    hu[i]:=rp[i*n,j*n+r]^zp-
      2*rp[(i+1)*n,j*n+r]^zp+rp[(i+2)*n,j*n+r]^zp;
    hu[nu-1]:=rp[(nu-1)*n,j*n+r]^zp-
      2*rp[nu*n,j*n+r]^zp+rp[0,j-n+r]^zp;
    hu[nu]:=rp[nu*n,j*n+r]^zp-
      2*rp[0,j*n+r]^zp+rp[n,j*n+r]^zp; splineu (gz) ;
  if k=nu then
    zu:=gz[nu]*t3+gz[0]*v3+(rp[nu*n,j*n+r]^zp-
      gz[nu])*t+ (rp[0,j*n+r]^zp-gz[0])*v
  else
    zu:=gz[k]*t3+gz[k+1]*v3+(rp[k*n,j*n+r]^zp-gz[k])*t+
      (rp[(k+1)*n,j*n+r]^zp-gz[k+1])*v;
  end;

```

```

function zv(i,l: integer): single;
begin
  for j:=0 to nv-2 do hv[j]:=a[i,j].zp-2*a[i,j+1].zp+a[i,j+2].zp;
  hv[nv-1]:=a[i,nv-1].zp-2*a[i,nv].zp+a[i+mm,nv-1].zp;
  hv[nv]:=a[i,nv].zp-2*a[i+mm,nv-1].zp+a[i+mm,nv-2].zp;
  for j:=nv+1 to nn-2 do
    hv[j]:=a[i+mm,nn-j+1].zp-2*a[i+mm,nn-j].zp+a[i+mm,nn-j-1].zp;
  hv[nn-1]:=a[i+mm,2].zp-2*a[i+mm,1].zp+a[i30].zp;
  hv[nn]:=a[i+mm,1].zp-2*a[i30].zp+a[i,1].zp;
  splinev(fz);
  case 1 of
    0..nv-1: zv:=fz[1]*w3+fz[1+i]*u3+(a[i,1].zp-fz[1])*w+(a[i,1+1].zp-
      fz[1+1])*u;
    nv: zv:=fz[nv]*w3+fz[nv+1]*u3+(a[i,nv].zp-fz[nv])*w+(a[i+mm,nv-
      1].zp-fz[nv+1])*u;
    nv+1..nn-1: zv:=fz[1]*w3+fz[1+1]*u3+(a[i+mm,nn-1+1].zp-
      fz[1])*w+(a[i+mm,nn-1].zp-fz[1+1])*u;
    nn: zv:=fz[nn]*w3+fz[0]*u3+(a[i+mm,1].zp-fz[nn])*w+(a[i30].zp-
      fz[0])*u;
  end;
end;

procedure rajzracs; {felületháló csomópontjainak kiszámítása}
var r1, p1: integer;
begin
  for k:=0 to mm-1 do begin
    for l:=0 to nv-1 do begin
      if l=0 then r1:=0 else r1:=1;
      for r:=r1 to n do begin
        u:=r/n; w:=1-u; u3:=u*u*u; w3:=w*w*w;
        rp[k*n,l*n+r]^.uj (xv(k,l),yv(k,l),zv(k,l) );
      end;
    end;
    for l:=nv to nn do begin
      if l=nv then r1:=0 else r1:=1;
      for r:=r1 to n do begin
        u:=r/n; w:=1-u; u3:=u*u*u; w3:=w*w*w;
        rp[(k+mm)*n, (nn-1)*n+n-r]A.uj (xv(k,l),yv(k,l),zv(k,l) );
      end;
    end;
  end;
  for l:=0 to nv-1 do begin
    if l=0 then r1:=0 else r1:=1;
    for r:=r1 to n do begin
      u:=r/n; w:=1-u;
      for k:=0 to nu do begin
        if k=0 then p1:=0 else p1:=1;
        for p:=p1 to n do begin
          v:=p/n; t:=1-v; v3:=v*v*v; t3:=t*t*t;
          rp[k*n+p,l*n+r]A.uj (xu(k,l,r),yu(k,l,r),zu(k,l,r) );
        end;
      end;
    end;
  end;

```



```
    end;  
    fl:=1; fp:=0;  
end;
```

```
begin  
  racs; if gb[2]=1 then nyil; setcolor(15);  
  if fl=0 then rajzracs;  
  eger_n; megjelen(nu+1,nv,n,1,0,0); eger_l;  
  fr:=1;  
end;
```

```
procedure fg; {vetítési irány változtatásának vezérlése}
```

```
begin  
  repeat  
    setcolor(7);  
    case qj of  
      'D':outtextxy(15,102,'T - tele');  
      'T':outtextxy(15,102,'D - drótváz');  
    end;  
    repeat kr:=upcase(readkey); until kr in valasz_f;  
    cleardevice;  
    case kr of  
      'D','T': qj:=kr;  
    else if kr<>chr(27) then begin forgat; fp:=0; end;  
    end;  
    if kr<>chr(27) then rajz;  
  until kr=chr(27);  
end;
```

```
begin  
  grindhi; keret(kx0, ky0); kp_racs(nu,nv); eger_k;  
  for k:=0 to (nu+1)*n do  
    for l:=0 to nv*n do new(rp[k,l]);  
  for k:=1 to (nu+1)*nv do new(hl[k]);  
  repeat  
    qu:='N'; ap:=0.3; bp:=-0.7; cp:=0.2; fl:=0; fr:=0; fp:=0; fe:=0;  
    nvl:=sqrt(sqr(ap)+sqr(bp)); nv2:=nvl*sqrt(sqr(nvl)+sqr(cp));  
    for k:=0 to nu do begin {kezdőkonfiguráció - gömb}  
      psi:=2*pi*k/(nu+1);  
      for l:=0 to nv do begin  
        fi:=pi*l/nv;  
        a [k, l] .uj (rg*sin(fi) *cos(psi) , rg*sin(fi) *sin(psi) , rg*cos(fi)) ;  
      end;  
    end;  
    qk:='N';  
    racs; konfig('ZMS'); eger_n; parancs(2); racs;  
    kpontok(nu+1,nv,1,0);  
  
    repeat  
      eger_t(kx0,2,620,ky0); eger_l; qr:=''; b:=0;  
      repeat par katt(2,qr); kp r katt(nu,nv); until qr in valasz;  
      eger_n;  
      case qr of
```

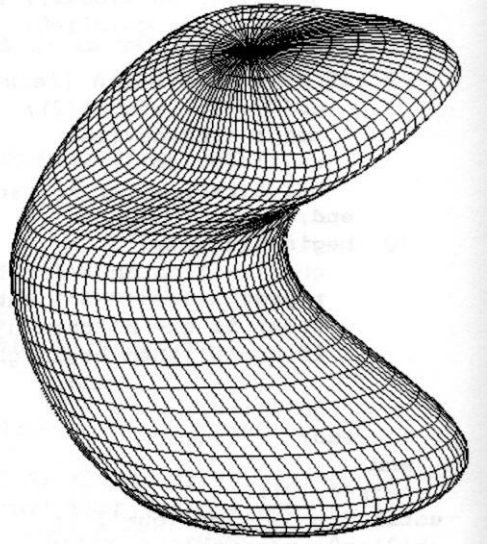
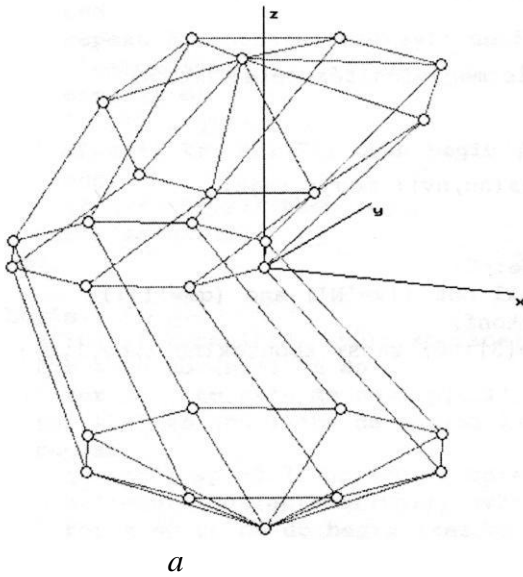
```

'V':begin {kontrollpont kiválasztása és koordinátáinak
        módosítása}
    gb[3]:=0; fe:=0; racs; kpontok(nu+1,nv,1,0);
    gb[1]:=1; parancs(2); if b=0 then sorszam(nu, nv);
    inform(szx,szy,'      Hely: '); kp_kor(szx,szy,12);
    koordin3('Hely');
    if qr<>char(27) then
        if (szy=0) or (szy=nv) then for k:=0 to nu do
            a[k,szy] .uj (x,y,z)
            {a pólus mozgatásának összehangolása mindenik délgörbére}
            else a [sxz, szy] . uj (x, y, z) ;
        kp_kor(szx,szy,7); racs; kpontok(nu+1,nv,1,0);
        gb[1]:=0; lap(208,5); setfillstyle(1,11);
        bar(130,470,590,480);
        fl:=0;
    end;
'F':begin {felületmegjelenítés}
    gb[3] :=1; parancs(2); fe:=1;
    megj; rajz; gb[3]:=0;
    end;
'E':if fe=1 then begin {felületmegjelenítés keret nélkül}
    gb[2]:=1; parancs(2);
    megj; cleardevice;
    rajz; fg; gb[2]:=0;
    keret(kx0, ky0); kp_racs(nu,nv); megj; rajz;
    end;
'Q':begin {kilépés}
    gb[4]:=1; parancs(2); fe:=0;
    repeat kilep('ZMS') until not ((v='N') and (qm='I'));
    vege; if qk='N' then ujkonf;
    if qu='N' then begin gb[3]:=0; racs; kpontok(nu+1,nv,1,0);
        end;
    gb[4] :=0;
    end;
end;
parancs(2);
until (qk='I') or (qu='I');
gb[3]:=0; parancs(2);
until qu='N';
closegraph;
end.

```

A 3.11 ábra egy másik, ugyancsak gömb topológiájú karakterisztikus poliédert és rá illesztett spline felületet ábrázol. Ezúttal a felső pólusban az érintősík nem merőleges a z tengelyre, maga a pólus sincs a z tengelyen (a pólus elnevezés itt kissé erőltetett, topológiai szempontból viszont helyes).

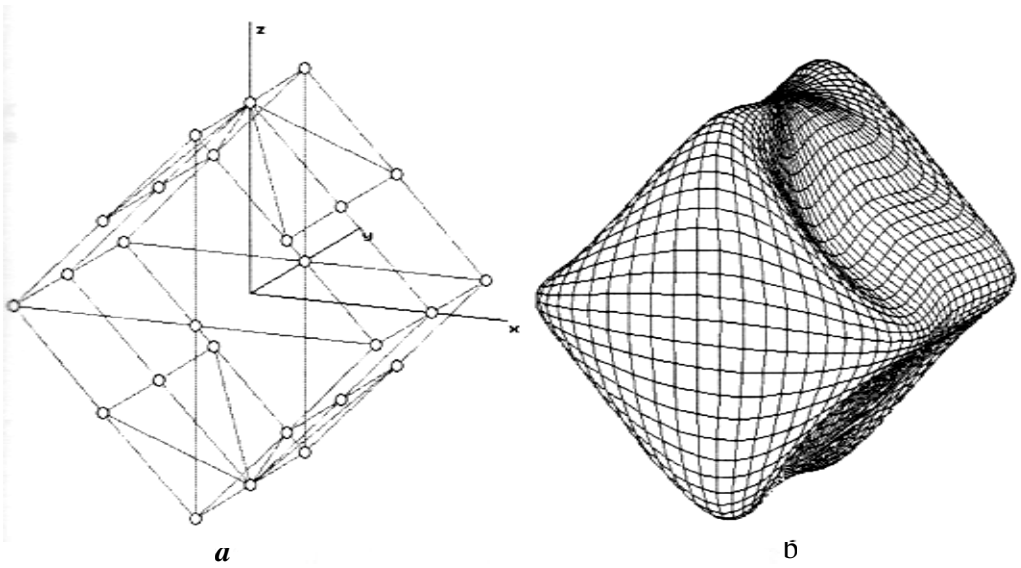
A 3.12 és 3.13. ábrákon két, geometriailag azonos - csak különböző helyzetű - kocka egy-egy felosztása és a kapott karakterisztikus keretre illesztett spline-



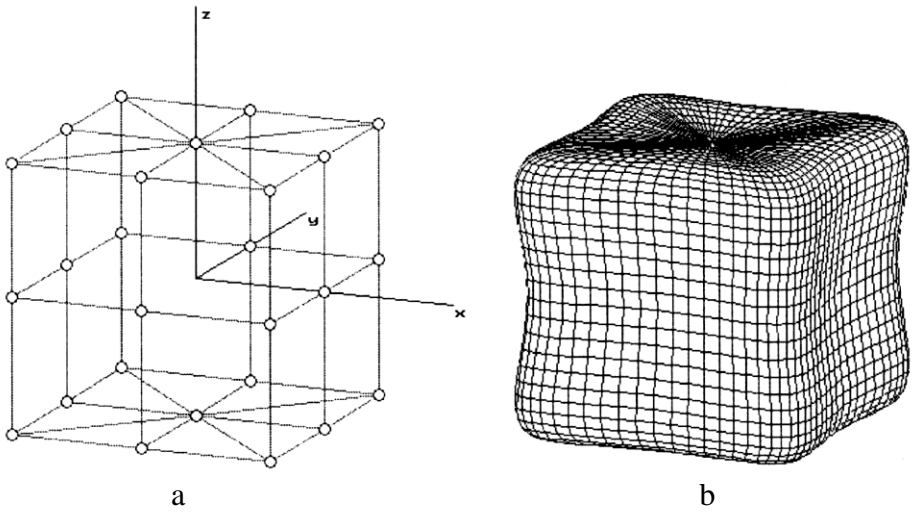
3.11. ábra

3. FEJEZET

felület látható. Megfigyelhető, hogy a zárt felületek modellezésére bemutatott módszer - két pólus kiválasztása és a felület felosztása délgörbék és szélességi görbék hálójával - nem minden esetben kielégítő (bár az a lényeges előnye, hogy a paramétertartomány négyzetes felosztása nagymértékben megkönnyíti a spline felület előállítását). Ahhoz, hogy a kapott felület ne függjön a karakterisztikus poliéder viszonyítási rendszerétől (a bemutatott példákban a pólusok helye a felületen meghatározó jellegű míg a  $z$  tengely körüli forgatás nem okoz változást), a gyakorlatban háromszögekből álló karakterisztikus poliéderre illesztnek spline, vagy inkább B-spline felületeket, ezeknek előállítása azonban lényegesen bonyolultabb.

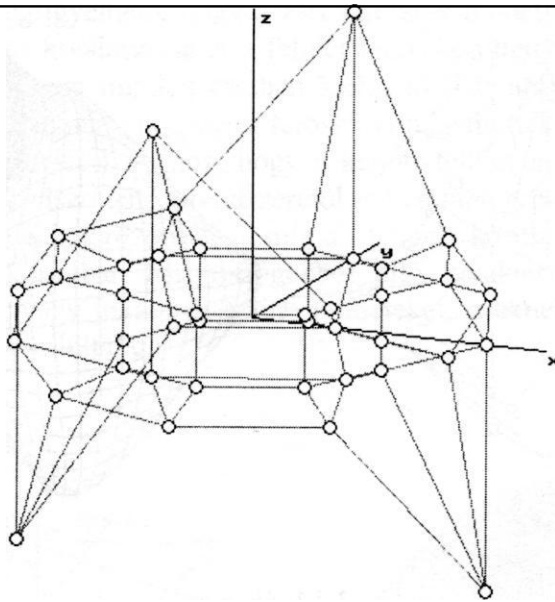


3.12.



3.13. ábra

A 3.14. ábrán látható egy gyűrű topológiájú zárt felület karakterisztikus poliédere. Az interpolációt végző programok kezdőkonfigurációként egy tórusz pontjait adják meg. Ezt módosítva lehet a kívánt felületalakot biztosító konfigurációt megkapni.



3.14. ábra

A ZY\_SPLN.PAS program illeszt gyűrű topológiájú kontrollpontrácsra zárt spline-felületet. A fenti karakterisztikus poliéderre illesztett felület a 3.15. ábrán látható.

```
{ $N+ }
```

```
program zy spin;
```

```
(gyűrű topológiájú zárt felületek spline interpolációval)
```

```
uses
```

```
graph, grafind, crt, dos, kozos, kozos_3d, kerdesek, rajz_f3d,  
konf_3d, komm fel, eger_kez, gomb_kez;
```

```
const
```

```
nu=7; nv=4; ru=120; ry=40; n=10;  
valasz: kars =  
valasz_f: kars = ['D','T', fel, le, jobb, bal, char(27)];
```

```
type
```

```
mu = array[0..nu] of single;  
mv = array[0..nv] of single;
```

```
var
```

```
gx, gy, gz: mu;  
hu, ku, lu: array[0..nu] of single;  
fx, fy, fz: mv;
```

```

hv, kv, lv: array[0..nv] of single;
fi, psi: single;

```

```

procedure splineu(var g: mu); {spline együtthatók u irányban}
begin
  ku[0]:=1/4; for i:=1 to nu-1 do ku[i]:=1/(4-ku[i-1]); lu[0]:=1/4;
  for i:=1 to nu-2 do lu[i]:=-lu[i-1]*ku[i]; hu[0]:=hu[0]/4; for
  i:=1 to nu-1 do hu[i]:=(hu[i]-hu[i-1])*ku[i]; ku[nu-1]:=(1-lu[nu-
  1])*ku[nu-1]; ku[nu]:=1/(4-ku[nu-1]); hu[nu]:=(hu[nu]-hu[nu-
  1])*ku[nu];
  lu[nu]:=1/ku[nu]; hu[nu]:=hu[nu]*lu[nu];
  lu[0]:=(lu[0]-lu[nu])/ku[0]; hu[0]:=(hu[0]-hu[nu])/ku[nu];
  for i:=1 to nu-2 do begin
    lu[i]:=(lu[i]-lu[i-1])/ku[i]; hu[i]:=(hu[i]-hu[i-1])/ku[i];
  end;
  g[0]:=(hu[nu-1]-hu[nu-2])/(ku[nu-1]-lu[nu-2]);
  g[1]:=hu[nu]-lu[nu]*g[0];
  for i:=2 to nu do
    g[i]:=hu[i-2]-lu[i-2]*g[0];
end;

```

```

procedure splinev(var f: mv); {spline együtthatók v irányban}
begin
  kv[0]:=1/4; for i:=1 to nv-1 do kv[i]:=1/(4-kv[i-1]);
  lv[0]:=1/4; for i:=1 to nv-2 do lv[i]:=-lv[i-1]*kv[i];
  hv[0]:=hv[0]/4; for i:=1 to nv-1 do hv[i]:=(hv[i]-hv[i-1])*kv[i];
  kv[nv-1]:=(1-lv[nv-1])*kv[nv-1]; kv[nv]:=1/(4-kv[nv-1]);
  hv[nv]:=(hv[nv]-hv[nv-1])*kv[nv];
  lv[nv]:=1/kv[nv]; hv[nv]:=hv[nv]*lv[nv];
  lv[0]:=(lv[0]-lv[nv])/kv[0]; hv[0]:=(hv[0]-hv[nv])/kv[nv];
  for i:=1 to nv-2 do begin
    lv[i]:=(lv[i]-lv[i-1])/kv[i]; hv[i]:=(hv[i]-hv[i-1])/kv[i];
  end;
  f[0]:=(hv[nv-1]-hv[nv-2])/(kv[nv-1]-lv[nv-2]); f[1]:=hv[nv]-
  lv[nv] *f [0] ;
  for i:=2 to nv do
    f[i]:=hv[i-2]-lv[i-2]*f[0];
end;

```

```

procedure rajz; {felületmegjelenítés}
var
  u,w,u3,w3,v,t,v3,t3: single;

```

```

function xu(k,j,r: integer): single;
begin
  for i:=0 to nu-2 do
    hu[i]:=rp[i*n,j*n+r]^xp-
      2*rp[(i+1)*n,j*n+r]^xp+rp[(i+2)*n,j*n+r]^xp;
    hu[nu-1]:=rp[(nu-i)*n,j*n+r]^xp-
      2*rp[nu*n,j*n+r]^xp+rp[0,j*n+r].xp;
    hu[nu]:=rp[nu*n,j*n+r]^xp-
      2*rp[0,j*n+r]^xp+rp[n,j*n+r]^xp; splineu(gx);
  if k=nu then

```

```

    xu:=gx[nu]*t3+gx[0]*v3+(rp[nu*n,j*n+r]^.*xp-gx[nu])*t+
        (rp[0,j*n+r]^.*xp-gx[0])*v
else
    xu:=gx[k]*t3+gx[k+1]*v3+(rp[k*n,j*n+r]^.*xp-gx[k])*t+
        (rp[(k+1)*n,j*n+r]^.*xp-gx[k+1])*v;
end;
function xv(i,l: integer): single;
begin
    for j:=0 to nv-2 do
        hv[j]:=a[i,j].xp-2*a[i,j+1].xp+a[i,j+2].xp;
    hv[nv-1]:=a[i,nv-1].xp-2*a[i,nv].xp+a[i_30].xp;
    hv[nv]:=a[i,nv].xp-2*a[i_30].xp+a[i,1].xp;
    splinev(fx);
    if l=nv then
        xv:=fx[nv]*w3+fx[0]*u3+(a[i,nv].xp-fx[nv])*w+(a[i_30].xp-fx[0])*u
    else
        xv:=fx[1]*w3+fx[1+1]*u3+(a[i,1].xp-fx[1])*w+(a[i,1+1].xp-
            fx[1+1])*u;
    end;

function yu(k,j,r: integer): single;
begin
    for i:=0 to nu-2 do
        hu[i]:=rp[i*n,j*n+r]^.*yp-
            2*rp[(i+1)*n,j*n+r]^.*yp+rp[(i+2)*n,j*n+r]^.*yp;
    hu[nu-1]:=rp[(nu-1)*n,j*n+r]^.*yp-
        2*rp[nu*n,j*n+r]^.*yp+rp[0,j*n+r]^.*yp;
    hu[nu]:=rp[nu*n,j*n+r]^.*yp-2*rp[0,j*n+r]^.*yp+rp[n,j*n+r]^.*yp;
    splineu(gy);
    if k=nu then
        yu:=gy[nu]*t3+gy[0]*v3+(rp[nu*n,j*n+r]^.*yp-gy[nu])*t+
            (rp[0,j*n+r]^.*yp-gy[0])*v
    else
        yu:=gy[k]*t3+gy[k+1]*v3+(rp[k*n,j*n+r]^.*yp-gy[k])*t+
            (rp[(k+1)*n,j*n+r]^.*yp-gy[k+1])*v;
    end;
function yv(i,l: integer): single;
begin
    for j:=0 to nv-2 do
        hv[j]:=a[i,j].yp-2*a[i,j+1].yp+a[i,j+2].yp;
    hv[nv-1]:=a[i,nv-1].yp-2*a[i,nv].yp+a[i_30].yp;
    hv[nv]:=a[i,nv].yp-2*a[i_30].yp+a[i,1].yp;
    splinev(fy);
    if l=nv then
        yv:=fy[nv]*w3+fy[0]*u3+(a[i,nv].yp-fy[nv])*w+(a[i_30].yp-fy[0])*u
    else
        yv:=fy[1]*w3+fy[1+1]*u3+(a[i,1].yp-fy[1])*w+(a[i,1+1].yp-
            fy[1+1])*u;
    end;

function zu(k,j,r: integer): single;
begin

```

```

for i:=0 to nu-2 do
  hu[i]:=rp[i*n,j*n+r]^*.zp-
    2*rp[(i+1)*n,j*n+r]^*.zp+rp[(i+2)*n,j*n+r]^*.zp; hu[nu-
  1]:=rp[(nu-1)*n,j*n+r]^*.zp-
    2*rp[nu*n,j*n+r]^*.zp+rp[0,j*n+r]^*.zp;
  hu[nu]:=rp[nu*n,j*n+r]^*.zp-
    2*rp[0,j*n+r]^*.zp+rp[n,j*n+r]^*.zp; splineu(gz);
if k=nu then
  zu:=gz[nu]*t3+gz[0]*v3+(rp[nu*n,j*n+r]^*.zp-gz[nu])*t+
    (rp[0,j*n+r]^*.zp-gz[0])*v
else
  zu:=gz[k]*t3+gz[k+1]*v3+(rp[k*n,j*n+r]^*.zp-gz[k])*t+
    (rp[(k+1)*n,j*n+r]^*.zp-gz[k+1])*v;
end;
function zv(i,l: integer): single;
begin
  for j:=0 to nv-2 do
    hv[j]:=a[i,j].zp-2*a[i,j+1].zp+a[i,j+2].zp;
  hv[nv-1]:=a[i,nv-1].zp-2*a[i,nv].zp+a[i_30].zp;
  hv[nv]:=a[i,nv].zp-2*a[i_30].zp+a[i,l].zp;
  splinev(fz);
  if l=nv then
    zv:=fz[nv]*w3+fz[0]*u3+(a[i,nv].zp-fz[nv])*w+(a[i_30].zp-fz[0])*u
  else
    zv:=fz[l]*w3+fz[l+1]*u3+(a[i,l].zp-fz[l])*w+(a[i,l+1].zp-
    fz[l+1])*u;
end;
procedure rajzracs; (felületháló csomópontjainak kiszámítása)
var rl, pl: integer;
begin
  for k:=0 to nu do
    for l:=0 to nv do begin
      if l=0 then rl:=0 else rl:=1;
      for r:=rl to n do begin
        u:=r/n; w:=1-u; u3:=u*u*u; w3:=w*w*w;
        rp[k*n,l*n+r]^*.uj (xv(k,l),yv(k,l),zv(k,l) );
      end;
    end;
  for l:=0 to nv do begin
    if l=0 then rl:=0 else rl:=1;
    for r:=rl to n do begin
      u:=r/n; w:=1-u;
      for k:=0 to nu do begin
        if k=0 then pl:=0 else pl:=1;
        for p:=pl to n do begin
          v:=p/n; t:=1-v; v3:=v*v*v; t3:=t*t*t;
          rp[k*n+p,l*n+r]^*.uj (xu(k,l,r),yu(k,l,r),zu(k,l,r) );
        end;
      end;
    end;
  end;
  fl:=1; fp:=0;
end;

```



```

begin
  racs; if gb[2]=1 then nyil; setcolor(15);
  if fl=0 then rajzracs;
  eger_n; megjelen(nu+1,nv+1,n,0,1,1,1); eger_1;
  fr:=1;
end;

procedure fg; {vetítési irány változtatásának vezérlése}
begin
  repeat
    setcolor(7);
    case qj of
      'D':outtextxy(15,102,'T - tele');
      'T':outtextxy(15,102,'D - drótváz');
    end;
    repeat kr:=upcase(readkey); until kr in valasz_f;
    cleardevice;
    case kr of
      'D','T': qj:=kr;
      else if kr<>chr(27) then begin forgat; fp:=0; end;
    end;
    if kr<>chr(27) then rajz;
  until kr=chr(27);
end;

begin
  grindhi; keret(kx0, ky0); kp_racs(nu,nv); eger_k;
  for k:=0 to (nu+1)*n do
    for l:=0 to (nv+1)*n do new(rp[k,l]);
  for k:=1 to (nu+1) * (nv+1) do new (hl [k] );
  repeat
    qu:='N'; ap:=0.3; bp:=-0.7; cp:=0.2; fl:=0; fr:=0; fp:=0; fe:=0;
    nvl:=sqrt(sqr(ap)+sqr(bp)); nv2:=nvl*sqrt(sqr(nvl)+sqr(cp));
    for k:=0 to nu do begin {kezdőkonfiguráció - gyűrű}
      psi:=2*pi*k/(nu+1);
      for l:=0 to nv do begin
        fi:=2*pi*l/(nv+1)+pi/2;
        a[k,l].uj((ru+rv*sin(fi))*cos(psi),(ru+ry*sin(fi))*
          sin(psi) , ry*cos(fi));
      end;
    end;
  end;
  qk:='N';
  racs; konfig('ZYS'); eger_n; parancs(2); racs;
  kpontok(nu+1,nv+1,1,1);
  repeat
    eger_t(kx0,2,620,ky0); eger_1; qr:=''; b:=0;
    repeat par katt(2,qr); kp r katt(nu,nv); until qr in valasz;
  eger_n;
  case qr of
    'V':begin {kontrollpont kiválasztása és koordinátáinak
      módosítása}
      gb[3]:=0; fe:=0; racs; kpontok(nu+1,nv+1,1,1);
      gb[1]:=1; parancs(2); if b=0 then sorszam(nu, nv);
    end;
  end;
end;

```

```

inform(szx,szy,' Hely: '); kp_kor(szx,szy,12);
koordin3('Hely');
if qr<>char(27) then a[szx,szy].uj(x,y,z);
kp_kor(szx,szy,7); racs; kpontok(nu+1,nv+1,1,1);
gb[1]:=0; lap(208,5); setfillstyle(1,11);
bar(130,470,590,480);
fl:=0;
end;

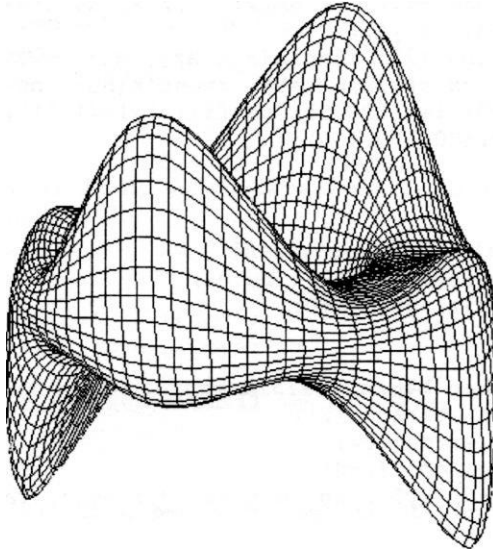
'F':begin (felületmegjelenítés)
gb[3]:=1; parancs(2);
fe:=1; megj; rajz; gb[3]
:=0; end;

'E':if fe=1 then begin (felületmegjelenítés keret nélkül)
gb[2]:=1; parancs(2);
megj; cleardevice;
rajz; fg; gb [ 2 ] :=0;
keret(kx0, ky0) ; kp_racs (nu, nv) ; megj; rajz;
end;

'Q':begin (kilépés)
gb[4]:=1; parancs(2); fe:=0;
repeat kilep('ZYS') until not ((v='N') and (qm='I'));
vege; if qk='N' then ujkonf;
if qu='N' then begin gb[3]:=0; racs;
kpontok(nu+1,nv+1,1,1); end;
gb[4] :=0;
end;
end;
parancs(2);
until (qk='I') or (qu='I');
gb[3]:=0; parancs(2);

until qu='N';
closegraph;
end.

```



3.15. ábra

Euler-Monge előállítású felületek esetén a paraméterrács éppen a kontrollpontok  $x$  és  $y$  koordinátáit adja meg. A Gauss előállítás (3.1 összefüggés) három függvényének megfelelő interpoláció helyett itt csak egyetlen koordináta ( $z$ ) szerinti interpolációt kell elvégezni.

Másik különbség, hogy a felületnek meg lehet különböztetni egy felső és egy alsó oldalát. Hogy egy felületelemnek melyik oldalát látjuk, azt a vetítési irány és a felületelem normálisvektora közötti skaláris szorzat előjeléből lehet megállapítani. A 3.17. ábrán látható felület alsó oldala sötétebb árnyalatú. A felületet a F\_EM\_SPL.PAS nevű program illesztette a 3.16. ábrán látható kontrollpont-rácsra.

```
{ $N+ }
```

```
program f_em_spl; {Euler Monge előállítású felületek  
 spline interpolációval}
```

```
uses
```

```
 graph, grafind, crt, dos, kozos, kozos_3d, filekez, kerdesek,  
  konf 3d, komm fel, eger kez, gomb kez;
```

```
const
```

```
 nx=7; ny=4; ax=70; ay=70; nr=12; ex=2*ax/nx/nr; ey=2*ay/ny/nr;  
 valasz: kars = ['E', 'F', 'Q', 'V'];
```

```

type
  p5 = array[1..5] of pont;

var
  g: array[0..nx] of single;
  hx, qx: array[1..nx-1] of single;
  f: array[0..ny] of single;
  hy, qy: array[1..ny-1] of single;

procedure koordin; (ordináta (z) betáplálás)
begin
  lap (208, 5);
  setcolor(0); outtextxy(300,13,'Magasság:'); setcolor(13);
  outtextxy(275,30,'z = '); ablak(302,27,340,39);
  repeat kn:=""; 1:=1; iras(5,298,29); val(kn,z,hk);
    if hk<>0 then ablak(300,27,342,39); until (hk=0) or (qr=chr(27));
end;

procedure splinex(j,p: byte); (spline együtthatók x irányban)
begin
  qx[1]:=1/4; for i:=2 to nx-1 do qx[i]:=1/(4-qx[i-1]);
  for i:=1 to nx-1 do
    hx[i]:=rp[(i-1)*nr,j*nr+p]^z.p-
      2*rp[i*nr,j*nr+p]^z.p+rp[(i+1)*nr,j*nr+p]^z.p;
  g[0]:=0; g[nx]:=0; hx[1]:=hx[1]/4;
  for i:=2 to nx-1 do hx[i]:=qx[i]*(hx[i]-hx[i-1]); g[nx-1]:=hx[nx-1];
  for i:=nx-2 downto 1 do g[i]:=hx[i]-qx[i]*g[i+1];
end;

procedure spliney(i: byte); (spline együtthatók y irányban)
begin
  qy[1]:=1/4; for j:=2 to ny-1 do qy[j]:=1/(4-qy[j-1]);
  for j:=1 to ny-1 do hy[j]:=a[i,j-1].zp-2*a[i,j].zp+a[i,j+1].zp;
  f[0]:=0; f[ny]:=0; hy[1]:=hy[1]/4;
  for j:=2 to ny-1 do hy[j]:=qy[j]*(hy[j]-hy[j-1]); f[ny-1]:=hy[ny-1];
  for j:=ny-2 downto 1 do f[j]:=hy[j]-qy[j]*f[j+1];
end;

procedure inform; (ordináta (z) kiírás)
var ksl, ks2, kz: string;
begin
  setcolor(0); str(szx,ksl); str(szy,ks2); str(a[szx,szy].zp:3:0,kz);
  outtextxy(130,470,'Sorszám: '+ksl+', '+ks2+' Magasság: z =' +kz);
end;

procedure rajz; (felületmegjelenítés)
var
  u,w,u3,w3,v,t,v3,t3: single;

function xy(i,j: byte): single;
begin xy:=a[i,j].xp*w+a[i,j+1].xp*u; end;
function xx(i,j: byte): single;
begin xx:=a[i,j].xp*t+a[i+1,j].xp*v; end;

```

```

function yy(i,j: byte): single;
begin yy:=a[i,j].yp*w+a[i,j+1].yp*u; end;
function yx(i,j: byte): single;
begin yx:=yy(i,j)*t+yy(i+1,j)*v; end;
function zx(i,j,p: byte): single; {x irányú interpoláció}
begin
  splineX (j, p) ;
  zx:=g[i]*t3+g[i+1]*v3+(rp[i*nr,j*nr+p]^ .zp-g[i])*t+
    (rp[(i+1)*nr,j*nr+p]A.zp-g[i+1])*v;
end;
function zy(i,j: byte): single; {y irányú interpoláció}
begin
  splineY(i);
  zy:=f [j] *w3+f [j+1] *u3+(a[i, j] .zp-f [j]) *w+(a[i, j+1] .zp-f [j+1]) *u;
end;

procedure rajzracs; {felületeháló csomópontjainak kiszámítása}
begin
  for k:=0 to nx do begin
    for l:=0 to ny-1 do
      for p:=0 to nr do begin
        u:=p/nr; w:=1-u; u3:=u*u*u; w3:=w*w*w;
        rp[k*nr,l*nr+p]^ .uj (0,0,zy(k,l));
      end;
    end;
  for l:=0 to ny-1 do
    for p:=0 to nr do begin
      u := p/nr; w:=1-u;
      for k:=0 to nx-1 do
        for r:=0 to nr do begin
          v:=r/nr; t:=1-v; v3:=v*v*v; t3:=t*t*t;
          rp[k*nr+r,l*nr+p]^ .uj (xx(k,l),yx(k,l),zx(k,l,p));
        end;
      end;
    end;
  end;

procedure rajzolz; {felületeháló képsíkra vetítése és megjelenítése}
const cl=ex*ey;
var
  a1, b1: single;
  kx, ky: array [ 1 .. 4 ] of integer;
  x,y,z: array[1..4] of single;
  sk: p5;
procedure negyszog;
var q: byte;
begin
  x[1]:=rp[k,1]^ .xp; y[1]:=rp[k,1]" .yp; z[1]:=rp[k,1]^ .zp;
  x[2]:=rp[k-1,1]^ .xp; y[2]:=y[1]; z[2]:=rp[k-1,1]^ .zp;
  x[3]:=x[2]; y[3]:=rp[k,1-1]^ .yp; z[3]:=rp[k-1,1-1]^ .zp;
  x[4]:=x[1]; y[4]:=y[3]; z[4]:=rp[k,1-1]^ .zp;
  for q:=1 to 4 do begin
    kx[q]:=round((-bp*x[q]+ap*y[q])/nv1);
    ky[q]:=round((-cp*(ap*x[q]+bp*y[q])+sqr(nv1)*z[q])/nv2);
  end;
end;

```

```

    sk[q].uj(kxl+kx[q],kyl-ky[q]);
end;
al:=ey*(z[2]-z[1]); bl:=(z[4]-z[1])*ex;
if al*ap+bl*bp+cl*cp>0 then setfillstyle(1,0) else
    setfillstyle(1,7);
fillpoly(4, sk);
end;
procedure sor;
begin
    if by>0 then for l:=1 to ny*nr do negyszog
        else for l:=ny*nr downto 1 do negyszog;
    end;
begin
    if ap>0 then for k:=1 to nx*nr do sor
        else for k:=nx*nr downto 1 do sor;
    end;
end;

begin
    racs; if gb[2]=1 then nyíl; setcolor(15);
    rajzracs;
    eger_n; rajzol; eger_l;
end;

procedure fg; {vetítési irány változtatásának vezérlése}
begin
    repeat
        repeat kr:=readkey;
        until (kr=fel) or (kr=le) or (kr=jobb) or (kr=bal) or
            (ord(kr)=27);
        cleardevice;
        if kr<>chr(27) then begin forgat; rajz; end;
        until kr=chr(27);
    end;

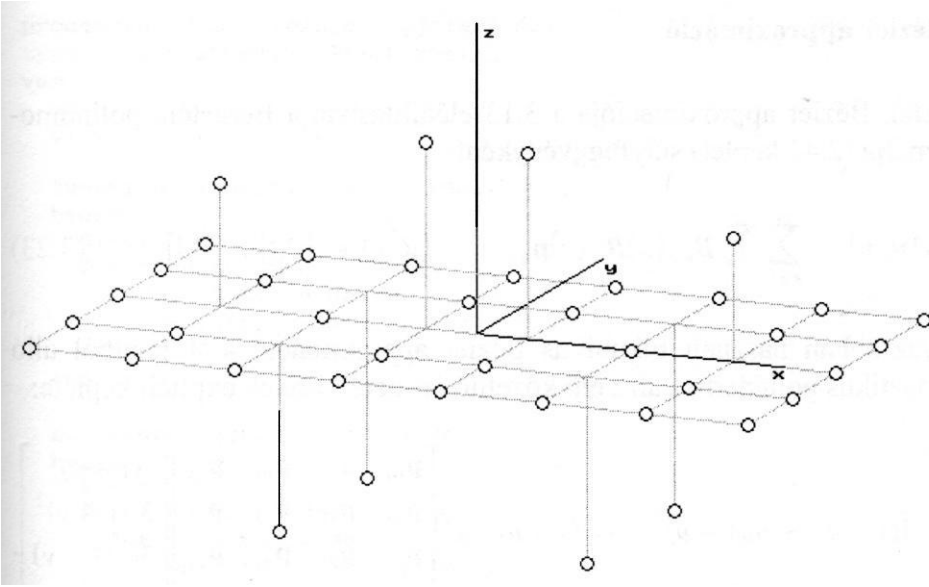
procedure kpontok; {kontrollpontok megjelenítése}
begin
    setcolor(8);
    for k:=0 to nx do for l:=0 to ny do a[k,l].koord; if
    gb [ 2 ] =0 then begin
        for k:=0 to nx do begin
            vetit(a[k,0].xp,a[k,0].yp,0); moveto(xt,yt);
            vetit(a[k,ny].xp,a[k,ny].yp,0); lineto(xt,yt);
        end;
        for l:=0 to ny do begin
            vetit(a[0,l].xp,a[0,l].yp,0); moveto(xt,yt);
            vetit(a[nx,l].xp,a[nx,l].yp,0); lineto(xt,yt);
        end;
        for k:=0 to nx do
            for l:=0 to ny do begin
                vetit(a[k,l].xp,a[k,l].yp,0); moveto(xt,yt);
                lineto(a[k,l].xr,a[k,l].yr);
            end;
        setcolor(15);

```

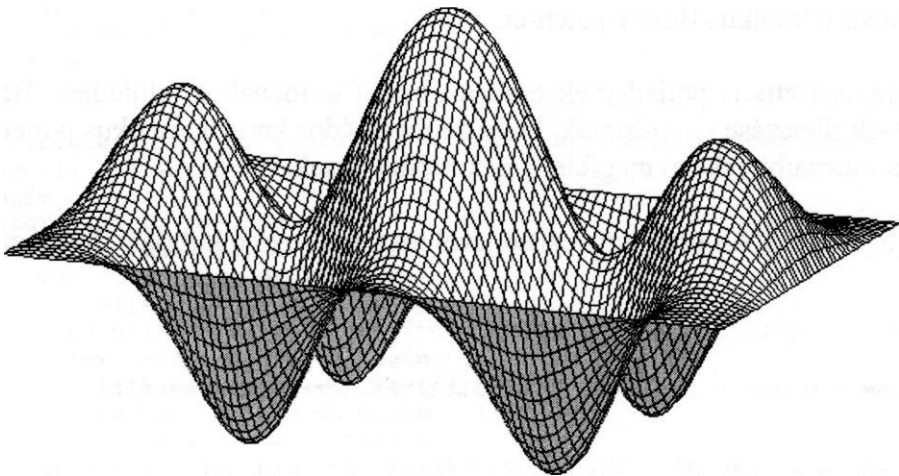
```

    for l:=0 to ny do
        for k:=0 to nx do a[k,l].megj(0);
    end;
end;
begin
grindhi; keret(kx0, ky0); kp_racs(nx,ny); eger_k;
for k:=0 to nx*nr do
    for l:=0 to ny*nr do new(rp[k,l]);
repeat
qu:='N'; ap:=0.3; bp:=-0.7; cp:=0.2; fe:=0;
nvl:=sqrt(sqr(ap)+sqr(bp)); nv2:=nvl*sqrt(sqr(nvl)+sqr(cp));
for k:=0 to nx do for l:=0 to ny do
    a[k,l].uj((k-nx/2)*ax,(l-ny/2)*ay,0);
qk:='N'; racs; konfig('FEM'); eger_n; parancs(2); racs; kpontok;
repeat
    eger_t(kx0,2,620,ky0); eger_l; qr:=' '; b:=0;
    repeat par_katt(2,qr); kp_r_katt(nx,ny); until qr in valasz;
    eger_n;
    case qr of
    'V':begin {kontrollpont kiválasztása és magasságának módosítása}
        gb[3]:=0; fe:=0; racs; kpontok;
        gb[1]:=1; parancs(2); if b=0 then sorszam(nx,ny); inform;
        kp_kor(szx,szy,12); koordin;
        if qr<>chr(27) then
            a[szx,szy].uj(a[szx,szy].xp,a[szx,szy].yp,z);
            kp_kor(szx,szy,7); racs; kpontok;
            gb(1):=0; lap(208,5); setfillstyle(1,11);
            bar(130,470,590,480);
        end;
    'F':begin {felületmegjelenítés}
        gb[3]:=1; parancs(2); fe:=1; rajz; gb[3]:=0;
        end;
    'E':if fe=1 then begin {felületmegjelenítés keret nélkül}
        gb[2]:=1; parancs(2); cleardevice;
        rajz; fg; gb[2]:=0;
        keret(kx0, ky0) ; kp_racs (nx, ny) ; rajz;
        end;
    'Q':begin {kilépés}
        gb [ 4 ] :=1; parancs(2);
        repeat kilep('FEM'); until not ((v='N') and (qm='I'));
        vege; if qk='N' then ujkonf;
        if qu='N' then begin fe:=0; racs; kpontok; end;
        gb[4]:=0;
        end;
    end;
end;
parancs(2);
until (qk='I') or (qu='I');
gb[3]:=0; parancs(2);
until qu='N';
closegraph;
end.

```



3.16. ábra



3.17. ábra



## 3.3.3. Bézier approximáció

A felületek Bézier approximációja a 3.13 előállításban a Bernstein-polinomokat használja (2.41 képlet) súlyfüggvényként:

$$\mathbf{r}(u, v) = \sum_{k=0}^m \sum_{l=0}^n B_{km}(u) B_{ln}(v) \mathbf{p}_{kl} ; \quad (u, v) \in [0,1] \times [0,1] . \quad (3.23)$$

A leggyakrabban használt bikubikus Bézier approximáció 4x4 pontból álló karakterisztikus poliéderhez állít elő közelítő felületet. Ennek explicit képlete:

$$\mathbf{r}(u, v) = \begin{bmatrix} (1-u)^3 & 3u(1-u)^2 & 3u^2(1-u) & u^3 \end{bmatrix} \begin{bmatrix} \mathbf{p}_{00} & \mathbf{p}_{01} & \mathbf{p}_{02} & \mathbf{p}_{03} \\ \mathbf{p}_{10} & \mathbf{p}_{11} & \mathbf{p}_{12} & \mathbf{p}_{13} \\ \mathbf{p}_{20} & \mathbf{p}_{21} & \mathbf{p}_{22} & \mathbf{p}_{23} \\ \mathbf{p}_{30} & \mathbf{p}_{31} & \mathbf{p}_{32} & \mathbf{p}_{33} \end{bmatrix} \begin{bmatrix} (1-v)^3 \\ 3v(1-v)^2 \\ 3v^2(1-v) \\ v^3 \end{bmatrix} .$$

$(u, v) \in [0,1] \times [0,1]$

(3.24)

A 3.18. ábra egy karakterisztikus poliédert ábrázol, a 3.19. ábra pedig a hozzátartozó bikubikus Bézier-patch-et.

A karakterisztikus poliédernek csak a csúcsai tartoznak a felülethez. Bézier-patch-ek illesztése úgy történik, hogy a szomszédos karakterisztikus poliéderek közös csúcsaiba érkező megfelelő élek kollineárisak.

A F\_P\_BEZR.PAS program segítségével szerkeszthető bikubikus Bézier-patch.

{ \$N+ }

```
program f p bezr; {felületfolt (patch) Bézier-közelítéssel}
```

```
uses
```

```
graph, grafind, crt, dos, kozos, kozos_3d, kerdesek, rajz_f3d,
konf_3d, komm_fel, eger_kez, gomb kez;
```

```
const
```

```
nu=3; nv=3; ax=120; ay=120; n=16;
```

```
valasz: kars =
```

```
valasz f: kars = ['D','T', fel, le, jobb, bal, char(27)];
```

```

procedure rajz; (felületmegjelenítés)
type valt = array[0..3] of real;
var
  uu, vv: valt;
  u, v, w, t, s: real;

  function xx(uu,vv: valt): real;
  begin
    s:=0;
    for i:=0 to nu do
      for j:=0 to nv do
        s:=s+a[i,j].xp*uu[i]*vv[j];
      xx:=s;
    end;

  function yy(uu,vv: valt): real;
  begin
    s:=0;
    for i:=0 to nu do
      for j:=0 to nv do
        s:=s+a[i,j].yp*uu[i]*vv[j];
      yy:=s;
    end;

  function zz(uu,vv: valt): real;
  begin
    s:=0;
    for i:=0 to nu do
      for j:=0 to nv do
        s:=s+a[i,j].zp*uu[i]*vv[j];
      zz:=s;
    end;

procedure rajzracs; (felületháló csomópontjainak kiszámítása)
var rl, pl: integer;
begin
  for l:=0 to nv-1 do begin
    if l=0 then rl:=0 else rl:=1;
    for r:=rl to n do begin
      v:=(l+r/n)/nv; t:=1-v;
      vv[0]:=t*t*t; vv[1]:=3*t*t*v; vv[2]:=3*t*v*v; vv[3]:=v*v*v;
      for k:=0 to nu-1 do begin
        if k=0 then pl:=0 else pl:=1;
        for p:=pl to n do begin
          u:=(k+p/n)/nu; w:=1-u;
          uu[0]:=w*w*w; uu[1]:=3*w*w*u; uu[2]:=3*w*u*u;
          uu[3]:=u*u*u;
          rp[k*n+p, l*n+r]^.uj(xx(uu,vv), yy(uu,vv), zz(uu,vv));
        end;
      end;
    end;
  end;

```

```
    fl:=1; fp:=0;
end;

begin
  racs; if gb[2]=1 then nyil; setcolor(15);
  if fl=0 then rajzracs;
  eger_n; megjelen(nu,nv,n,1,0,0,1); eger_1;
  fr:=1;
end;

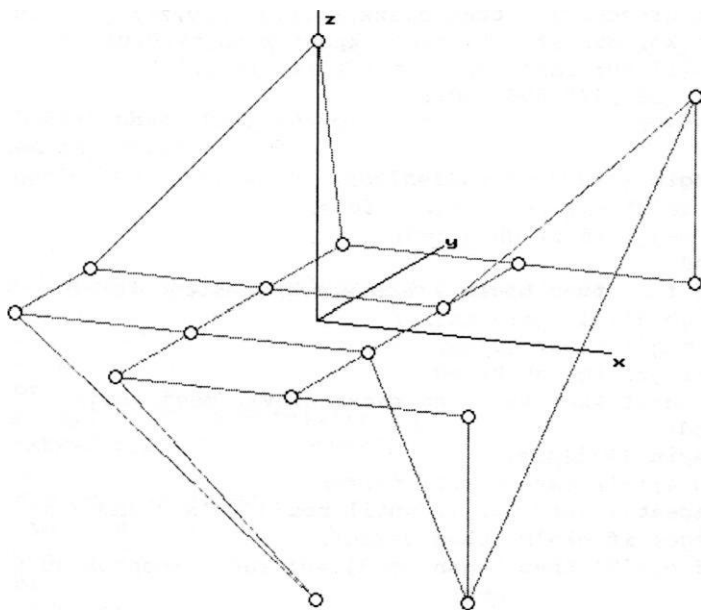
procedure fg; (vetítési irány változtatásának vezérlése)
begin
  repeat
    setcolor(7);
    case qj of
      'D':outtextxy(15,102,'T - tele');
      'T':outtextxy(15,102,'D - drótváz');
    end;
    repeat kr:=upcase(readkey);
    until kr in valasz_f;
    cleardevice;
    case kr of
      'D','T': qj:=kr;
    else if kr<>chr(27) then begin forgat; fp:=0; end;
    end;
    if kr<>chr(27) then rajz;
  until kr=chr(27);
end;

begin
  grindhi; keret(kx0, ky0); kp_racs(nu,nv); eger_k;
  for k:=0 to nu*n do
    for l:=0 to nv*n do new(rp[k,1]);
  for k:=1 to nu*nv do new(hl[k]);
  repeat
    qu:='N'; ap:=0.3; bp:=-0.7; cp:=0.2; fl:=0; fr:=0; fp:=0; fe:=0;
    nvl:=sqrt(sqr(ap)+sqr(bp)); nv2:=nvl*sqrt(sqr(nvl)+sqr(cp));
    for k:=0 to nu do for l:=0 to nv do a[k,1].uj((k-nu/2)*ax,(1-
      nv/2)*ay,0);
    qk:='N';
    racs; konfig('FPB'); eger_n; parancs(2); racs; kpontok(nu,nv,0,0);
  repeat
    eger_t(kx0,10,620,ky0); eger_1; qr:=' '; b:=0;
    repeat par katt(2,qr); kp r katt(nu,nv); until qr in valasz;
    eger_n;
    case qr of
      'V':begin (kontrollpont kiválasztása és koordinátáinak
        módosítása)
        gb[3]:=0; fe:=0; racs; kpontok(nu,nv,0,0);
        gb[1]:=1; parancs(2); if b=0 then sorszam(nu, nv);
        inform(szx, szy, ' Hely:  ');
        kp kor(szx,szy,12); koordin3('Hely');
      end;
    end;
  until qr=chr(27);
end;
```

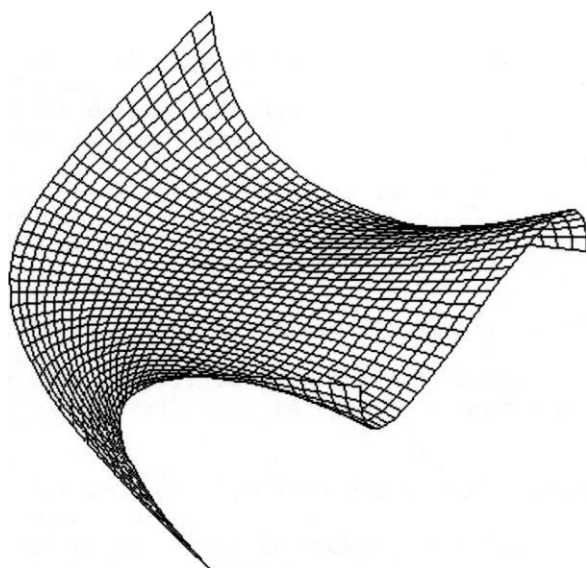
```

if qr<>chr(27) then a[szx,szy].uj(x,y,z);
kp_kor(szx,szy,7); racs; kpontok(nu,nv,0,0);
gb[1]:=0; lap(208,5); setfillstyle(1,11);
bar(130,470,590,480);
fl:=0;
end;
'F':begin {felületmegjelenítés}
    gb[3]:=1; parancs(2); fe:=1;
    megj; rajz; gb[3] :=0;
end;
'E':if fe=1 then begin {felületmegjelenítés keret nélkül}
    gb[2]:=1; parancs(2);
    megj; cleardevice;
    rajz; fg; gb[2] :=0;
    keret(kx0, ky0); kp_racs(nu,nv); megj; rajz;
end;
'Q':begin {kilépés}
    gb[4]:=1; parancs(2); fe:=0;
    repeat kilep('FPB'); until not ((v='N') and (qm='I'));
    vege; if qk='N' then ujkonf;
    if qu='N' then begin gb[3]:=0; racs; kpontok(nu,nv,0,0);
        end;
    gb[4]:=0;
end;
end;
parancs(2);
until (qk='I') or (qu='I');
gb [ 3 ] :=0; parancs(2);
until qu='N';
closegraph;
end.

```



3.18. ábra



3.19. ábra

### 3.3.4. B-spline approximáció

A B-spline közelítés esetében a 3.13 előállítás súlyfüggvényei egyváltozós B-spline polinomok. Periodikus B-spline-ok alkalmazásakor a kapott felület olyan foltokból áll, amelyeket a karakterisztikus keretnek egy-egy  $(m+1) \times (n+1)$  kontrollpontból álló darabja határoz meg, ha  $m$  és  $n$  az  $u$  illetve  $v$  változójú B-spline blendingfüggvények foka. Hasonlóan a görbeszerkesztéshez, egy nyílt B-spline felület akkor éri el a határgörbéit, ha a karakterisztikus keret szélein álló kontrollpontokat annyiszor többszörösnek tekintjük, ahány az illető határvonalra merőleges irányú blendingfüggvény foka. A keret négy sarkán  $m \times n$  szeres kontrollpontok állnak, ezek rajta lesznek a szerkesztett felületen.

A másodfokú B-spline felületek előállítása:

$$\mathbf{r}(u, v) = \begin{bmatrix} \frac{(1-u)^2}{2} & 1 - \frac{(1-u)^2 + u^2}{2} & \frac{u^2}{2} \end{bmatrix} \mathbf{P} \begin{bmatrix} \frac{(1-v)^2}{2} & 1 - \frac{(1-v)^2 + v^2}{2} & \frac{v^2}{2} \end{bmatrix}^T, \\ (u, v) \in [0,1] \times [0,1] \quad (3.25)$$

ahol

$$\mathbf{P} = \begin{bmatrix} \mathbf{p}_{00} & \mathbf{p}_{01} & \mathbf{p}_{02} \\ \mathbf{p}_{10} & \mathbf{p}_{11} & \mathbf{p}_{12} \\ \mathbf{p}_{20} & \mathbf{p}_{21} & \mathbf{p}_{22} \end{bmatrix} \quad (3.26)$$

a karakterisztikus keretnek a szerkesztett folthoz tartozó darabja (az indexek átírva, a  $\mathbf{p}_{11}$  az a kontrollpont, amely köré szerkesztjük a felületfoltot). A teljes felület a 3.25 képletet a karakterisztikus poliéder minden belső kontrollpontjára alkalmazva állítható elő, kiegészítve a szegélyek előállításával kétszeres szélső kontrollpontokra. A 3.20. ábra azt az egyszerű esetet szemlélteti, amikor a patch karakterisztikus kerete az  $xy$  síkban fekvő egységnyi vonalközű négyzetrács:

$$\mathbf{P} = \begin{bmatrix} (0,0,0) & (0,1,0) & (0,2,0) \\ (1,0,0) & (1,1,0) & (1,2,0) \\ (2,0,0) & (2,1,0) & (2,2,0) \end{bmatrix}. \quad (3.27)$$

Ebben az esetben a felület egy sík négyzet lesz, amely a 3.20.a ábrán látható, előállítás pedig:

$$\mathbf{r}: [0,1] \times [0,1] \rightarrow \left[ \frac{1}{2}, \frac{3}{2} \right] \times \left[ \frac{1}{2}, \frac{3}{2} \right] \times \{0\}$$

$$\mathbf{r}(u, v) = \left( u + \frac{1}{2}, v + \frac{1}{2}, 0 \right), \quad (3.28)$$

vagyis egyenletes megjelenítési paraméterfelosztás

$$u = \frac{i}{n_r}, \quad i = 0, 1, \dots, n_r; \quad v = \frac{j}{n_r}, \quad j = 0, 1, \dots, n_r \quad (3.29)$$

mellett a paramétervonalak egyenletes négyzetes hálót alkotnak. Ha most a felületet ki akarjuk terjeszteni a karakterisztikus keret széléig, akkor a szélső kontrollpontokat kétszeresnek tekintve állíthatók elő a szegélyező patch-ek. Például a

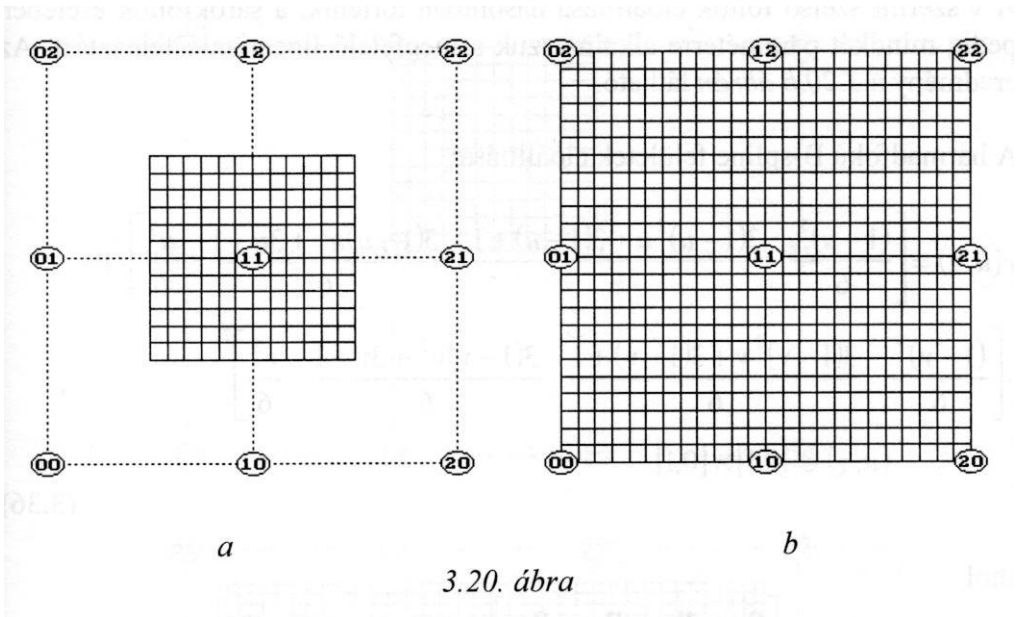
$$\mathbf{P} = \begin{bmatrix} (0,0,0) & (0,1,0) & (0,2,0) \\ (0,0,0) & (0,1,0) & (0,2,0) \\ (1,0,0) & (1,1,0) & (1,2,0) \end{bmatrix} \quad (3.30)$$

keret az

$$\mathbf{r}: [0,1] \times [0,1] \rightarrow \left[ 0, \frac{1}{2} \right] \times \left[ \frac{1}{2}, \frac{3}{2} \right] \times \{0\}$$

$$\mathbf{r}(u, v) = \left( \frac{u^2}{2}, v + \frac{1}{2}, 0 \right) \quad (3.31)$$

előállítást eredményezi, amely már  $u$  irányban nem lineáris, tehát a háló a széleken nem egyenletes felosztású. Ez bizonyos alkalmazások esetében (amikor a kontrollpontok térbeli eloszlása olyan, hogy a széleken ritkábbak) egyenesen előnyös lehet. Ha mégis azt akarjuk, hogy a megjelenítési háló egyenletes legyen, akkor a fenti esetben az



A

$$\mathbf{P} = \begin{bmatrix} (1,0,0) & (1,1,0) & (1,2,0) \\ (2,0,0) & (2,1,0) & (2,2,0) \\ (2,0,0) & (2,1,0) & (2,2,0) \end{bmatrix} \quad (3.33)$$

kere

$$\mathbf{r}: [0,1] \times [0,1] \rightarrow \left[ \frac{3}{2}, 2 \right] \times \left[ \frac{1}{2}, \frac{3}{2} \right] \times \{0\} \quad (3.34)$$

$$\mathbf{r}(u,v) = \left( 2 - \frac{(1-u^2)}{2}, v + \frac{1}{2}, 0 \right)$$

előállítású foltjának linearizáló felosztása pedig:



$$u = 1 - \sqrt{1 - \frac{2i}{n_r}}, \quad i = 0, 1, \dots, \frac{n_r}{2}; \quad v = \frac{j}{n_r}, \quad j = 0, 1, \dots, n_r. \quad (3.35)$$

A  $v$  szerint szélső foltok előállítása hasonlóan történik, a sarokfoltok esetében pedig mindkét paraméterre alkalmazzuk a megfelelő linearizáló felosztást. Az eredmény a 3.20.b ábrán látható.

A harmadfokú B-spline felületek előállítása:

$$\mathbf{r}(u, v) = \begin{bmatrix} \frac{(1-u)^3}{6} & \frac{3(1-u)^2 u + 3(1-u) + 1}{6} & \frac{3(1-u)u^2 + 3u + 1}{6} & \frac{u^3}{6} \end{bmatrix} \cdot \mathbf{P} \cdot \begin{bmatrix} \frac{(1-v)^3}{6} & \frac{3(1-v)^2 v + 3(1-v) + 1}{6} & \frac{3(1-v)v^2 + 3v + 1}{6} & \frac{v^3}{6} \end{bmatrix}^T$$

$(u, v) \in [0, 1] \times [0, 1]$

A

(3.3)

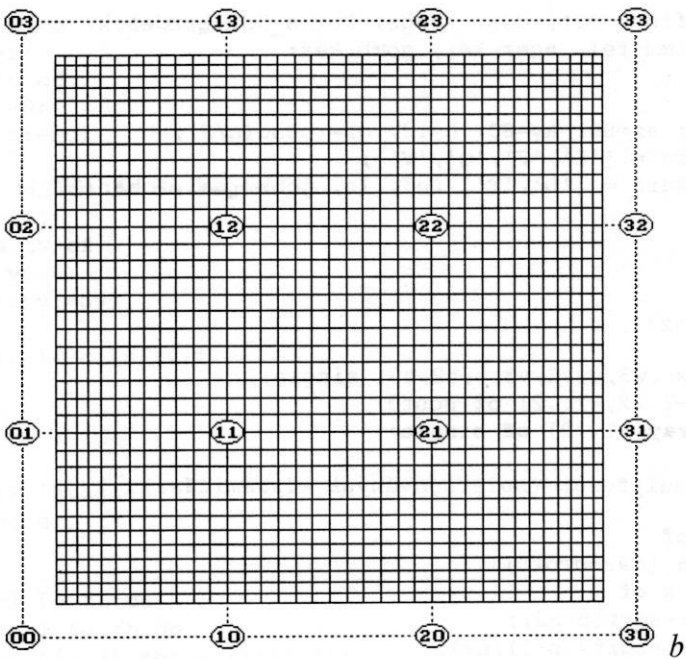
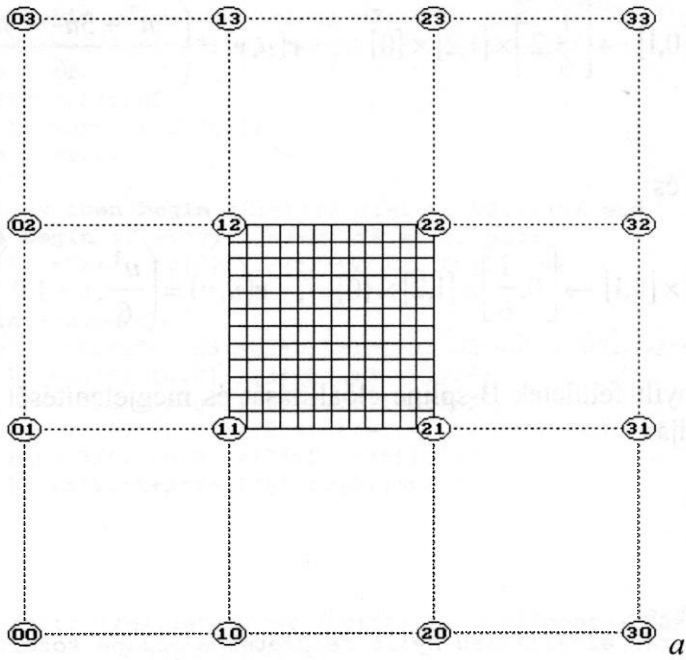
ahol

$$\mathbf{P} = \begin{bmatrix} \mathbf{P}_{00} & \mathbf{P}_{01} & \mathbf{P}_{02} & \mathbf{P}_{03} \\ \mathbf{P}_{10} & \mathbf{P}_{11} & \mathbf{P}_{12} & \mathbf{P}_{13} \\ \mathbf{P}_{20} & \mathbf{P}_{21} & \mathbf{P}_{22} & \mathbf{P}_{23} \\ \mathbf{P}_{30} & \mathbf{P}_{31} & \mathbf{P}_{32} & \mathbf{P}_{33} \end{bmatrix}. \quad (3.3)$$

3.21.a ábrán az  $xy$  síkban fekvő egységnyi vonalközű négyzetrácsra kapott

$$\mathbf{r}: [0, 1] \times [0, 1] \rightarrow [1, 2] \times [1, 2] \times \{0\}, \quad \mathbf{r}(u, v) = (u + 1, v + 1, 0) \quad (3.38)$$

egyenletes felosztású foltot láthatjuk. A szegélyezéshez a megfelelő szélső pontokat előbb kétszeresnek, majd háromszorosnak tekintve az előállítási keret "elcsúsztatható" az illető irányba (miközben a széleken "torlódnak" az alappontok). Így kaphatók például a csökkenő  $u$  irányban szegélyező



3.21. ábra

$$\mathbf{r}: [0,1] \times [0,1] \rightarrow \left[ \frac{1}{6}, 2 \right] \times [1,2] \times \{0\} \quad , \quad \mathbf{r}(u,v) = \left( \frac{-u^3 + 3u^2 + 3u + 1}{6}, v + 1, 0 \right) \quad (3.39)$$

(3.2.1.b ábra) és

$$\mathbf{r}: [0,1] \times [0,1] \rightarrow \left[ 0, \frac{1}{6} \right] \times [1,2] \times \{0\} \quad , \quad \mathbf{r}(u,v) = \left( \frac{u^3}{6}, v + 1, 0 \right) \quad (3.40)$$

patch-ek. A nyílt felületek B-spline előállítását és megjelenítését végző program forráskódja:

F\_P\_BSPL.PAS

{\\$N+}

```

program f_p_bspl;
    {paraméteres előállítású nyílt felületek B-spline közelítéssel}

uses
    graph, grafind, crt, dos, kozos, kozos_3d, kerdesek, rajz_f3d,
    konf_3d, komm_fel, eger_kez, gomb_kez;

const
    nu=4; nv=4; ax=80; ay=80; n=12; n2=round(n/2);
    valasz: kars =
    valasz_f: kars = ['D','T', fel, le, jobb, bal, char(27)];

var
    fh: byte;

procedure rajz;
var
    u,u2,u3,w,w2,w3,v,v2,v3,t,t2,t3: single;
    kp: array[-1..2,-1..2] of pont3;
    fu, fv: array[-1..2] of single;

procedure sulyfugg; {súlyfüggvények kiszámítása}
begin
    case qr of
        '2':begin {másodfokú}
            case k of
                0: u:=sqrt(p/n2);
                nu: w:=sqrt((p-1)/n2);
                else u:=p/n;
            end;
            if k=nu then begin w2:=w*w; u:=1-w; u2:=u*u; end

```

```

else begin u2:=u*u; w:=1-u; w2:=w*w; end;
fu[-1]:=w2/2; fu[0]:=1-(w2+u2)/2; fu[1]:=u2/2;
case 1 of
0: v:=sqrt(r/n2);
nv: t:=sqrt((r-1)/n2);
else v:=r/n;
end;
if 1=nv then begin t2:=t*t; v:=1-t; v2:=v*v; end
else begin v2:=v*v; t:=1-v; t2:=t*t; end;
fv[-1]:=t2/2; fv[0]:=1-(t2+v2)/2; fv[1]:=v2/2;
end;
'3':begin {harmadfokú}
u:=p/n; u2:=u*u; u3:=u2*u; w:=1-u; w2:=w*w; w3:=w2*w;
fu[-1]:=w3/6; fu[0]:=(3*w2*u+3*w+1)/6;
fu[1]:=(3*u2*w+3*u+1)/6; fu[2]:=u3/6;
v:=r/n; v2:=v*v; v3:=v2*v; t:=1-v; t2:=t*t; t3:=t2*t;
fv[-1]:=t3/6; fv[0]:=(3*t2*v+3*t+1)/6;
fv[1]:=(3*v2*t+3*v+1)/6; fv[2]:=v3/6;
end;
end;
end;

procedure folt; {felületfoltok (patch) kontrollpontjainak
összerendelése}
var tu, tv: integer;
begin
for i:=-1 to fh do begin
tu:=k+i;
case tu of
-1:tu:=0;
nu+1:tu:=nu;
end;
for j:=-1 to fh do begin
tv:=1+j;
case tv of
-1:tv:=0;
nv+1:tv:=nv;
end;
kp[i,j]:=a[tu,tv];
end;
end;
end;

function xx: single;
var s: single;
begin
s:=0;
for i:=-1 to fh do
for j:=-1 to fh do
s:=s+kp[i,j].xp*fu[i]*fv[j];
xx:=s
end;
end;

```

```
function yy: single;
var s: single;
begin
  s:=0;
  for i:=-1 to fh do
    for j:=-1 to fh do
      s:=s+kp[i,j].yp*fu[i]*fv[j];
    yy:=s
  end;

function zz: single;
var s: single;
begin
  s:=0;
  for i:=-1 to fh do
    for j:=-1 to fh do
      s:=s+kp[i,j].zp*fu[i]*fv[j];
    zz:=s
  end;

procedure rajzracs; {felületháló csomópontjainak kiszámítása}
var pl, rl, p2, r2, ql, q2: byte;
begin
  for k:=0 to nu-fh+1 do
    for l:=0 to nv-fh+1 do begin
      folt;
      if k=0 then pl:=0 else pl:=1;
      if l=0 then rl:=0 else rl:=1;
      if qr='2' then begin
        if (k=0) or (k=nu) then p2:=n2 else p2:=n;
        if (l=0) or (l=nv) then r2:=n2 else r2:=n;
      end else begin p2:=n; r2:=n; end;
      for p:=pl to p2 do
        for r:=rl to r2 do begin
          sulyfugg;
          if qr='2' then begin
            if k=0 then ql:=p else if k=nu then ql:=k*n-p+1 else
              ql:=k*n-n2+p;
            if l=0 then q2:=r else if l=nv then q2:=1*n-r+1 else
              q2:=1*n-n2+r;
            end else begin ql:=k*n+p; q2:=1*n+r; end;
            rp[ql,q2]^uj (xx,yy,zz);
          end;
        end;
      fl:=1; fp:=0;
    end;

begin
  racs; if gb[2]=1 then nyil; setcolor(15);
  if fl=0 then rajzracs;
  eger_n; megjelen(nu,nv,n,1,0,0,1); eger_1;
  fr:=1;
end;
```

```

procedure fg; {vetítési irány változtatásának vezérlése}
begin
  repeat
    setcolor(7);
    case qj of
      'D':outtextxy(15,102,'T - tele');
      'T':outtextxy(15,102,'D - drótváz');
    end;
    repeat kr:=upcase(readkey); until kr in valasz_f;
    cleardevice;
    case kr of
      'D','T': qj:=kr;
      else if kr<>chr(27) then begin forgat; fp:=0; end;
    end;
    if kr<>chr(27) then rajz;
  until kr=chr(27);
end;

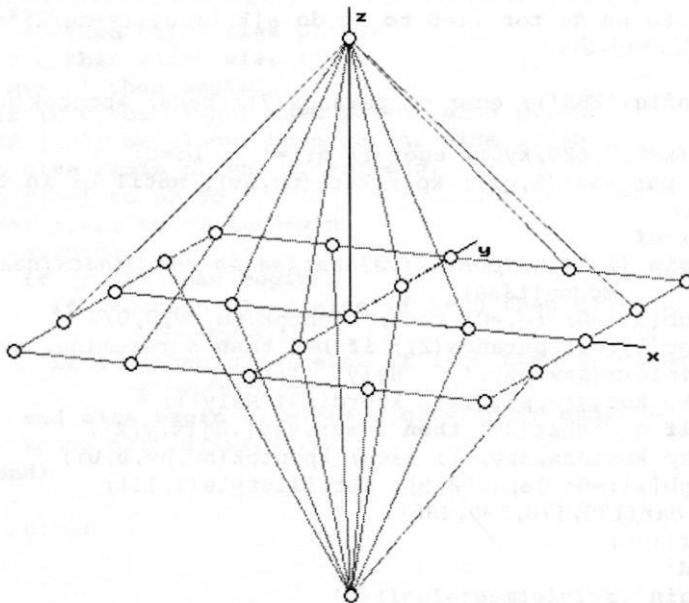
begin
  grindhi; keret(kx0, ky0); kp_racs(nu,nv); eger_k;
  for k:=0 to nu*n do
    for l:=0 to nv*n do new(rp[k,l]);
  for k:=1 to nu*nv do new(hl[k]);
  repeat
    qu:='N'; ap:=0.3; bp:=-0.7; cp:=0.2; fl:=0; fr:=0; fp:=0; fe:=0;
    nvl:=sqrt(sqr(ap)+sqr(bp)); nv2:=nvl*sqrt(sqr(nvl)+sqr(cp));
    for k:=0 to nu do for l:=0 to nv do a[k,l].uj((k-nu/2)*ax,
      (l-nv/2)*ay, 0);
    qk:='N';
    racs; konfig('FBS'); eger_n; parancs(2); racs; kpontok(nu,nv,0,0);
    repeat
      eger_t(kx0,2,620,ky0); eger_1; qr:=' '; b:=0;
      repeat par katt(2,qr); kp r katt(nu,nv); until qr in valasz;
      eger_n;
      case qr of
        'V':begin {kontrollpont kiválasztása és koordinátáinak
          módosítása}
          gb[3]:=0; fe:=0; racs; kpontok(nu,nv,0,0);
          gb[1]:=1; parancs(2); if b=0 then sorszam(nu, nv);
          inform(szx,szy,' Hely: ');
          kp_kor(szx,szy,12); koordin3('Hely');
          if qr<>char(27) then a[szx,szy].uj(x,y,z);
          kp_kor(szx,szy,7); racs; kpontok(nu,nv,0,0);
          gb[1]:=0; lap(208,5); setfillstyle(1,11);
          bar(130,470,590,480);
          fl:=0;
        end;
        'F':begin {felületmegjelenítés}
          gb[3]:=1; parancs(2); fe:=1;
          b_spline;
          if ((qr='2') and (fh=2)) or ((qr='3') and (fh=1)) then
            fl:=0;
          if qr='2' then fh:=1 else fh:=2;
        end;
      end;
    end;
  end;

```

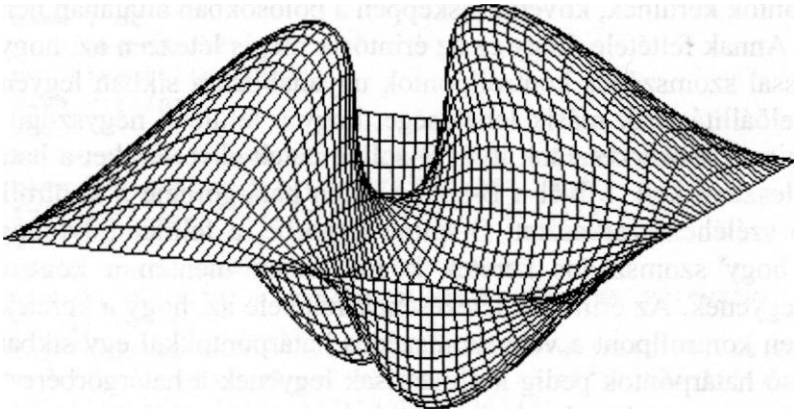
```

    megj; rajz; gb[3]:=0;
  end;
'E':if fe=1 then begin {felületmegjelenítés keret nélkül}
    gb[2]:=1; parancs(2);
    megj; cleardevice;
    rajz; fg; gb[2] :=0;
    keret (kx0, ky0) ; kp_racs (nu, nv) ; megj; rajz;
  end;
'Q':begin {kilépés}
    gb[4]:=1; parancs(2); fe:=0;
    repeat kilep('FBS') until not ((v='N') and (qm='I'));
    vege; if qk='N' then ujkonf;
    if qu='N' then begin gb[3]:=0; racs; kpontok(nu,nv,0,0);
                      end;
    gb[4]:=0;
  end;
end;
parancs(2);
until (qk='I') or (qu='I');
gb[3]:=0; parancs(2);
until qu=' N' ;
closegraph;
end.

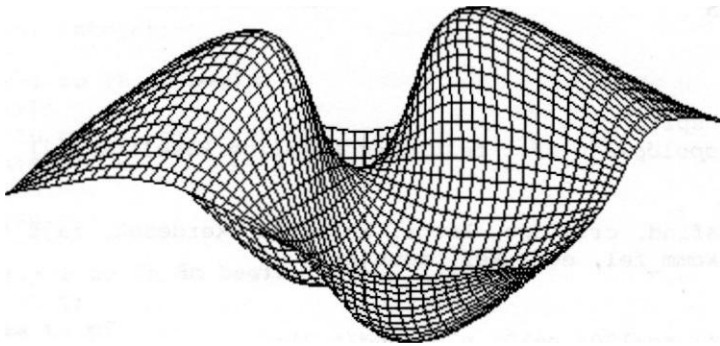
```



3.22. ábra



3.23. ábra



3.24. ábra

A 3.22. ábrán látható karakterisztikus keretre szerkesztett másod- és harmadfokú B-spline felületek a 3.23. illetve a 3.24. ábrán láthatóak. Megfigyelhető, hogy a harmadfokú felület a karakterisztikus keret "egyenetlenségeit" jobban kisimítja.

A zárt felületek B-spline előállítása úgy történik, hogy a karakterisztikus poliédert egyik (gömb topológia) vagy mindkét (gyűrű topológia) irányban zártnak tekintjük és ennek függvényében rendeljük a megfelelő kontrollpontokat a foltokat meghatározó helyi rácshoz. Gömb topológiájú zárt felületek



esetén a délgörbék a pólusokban összefutnak, ezért a pólusokba sokszoros kontrollpontok kerülnek, következésképpen a pólusokban általában nem létezik érintősík. Annak feltétele, hogy ez az érintősík mégis létezzen az, hogy a pólus és a pólussal szomszédos kontrollpontok ugyanabban a síkban legyenek. Zárt felületek előállításának másik lehetősége, hogy a felületet négyszögű foltokra osztjuk és ezekre szerkesztünk nyílt B-spline patch-eket. Ezeket a határgörbék mentén illeszteni kell. Mivel a B-spline patch határgörbéje a kontrollipoliéder megfelelő széléhez szerkesztett B-spline térgörbe, a felület folytonosságának feltétele, hogy szomszédos keretek közös határa mentén a kontrollpontok közösek legyenek. Az érintősík létezésének feltétele az, hogy a keretek sarkain álló minden kontrollpont a vele szomszédos határpontokkal egy síkban fekszen, a belső határpontok pedig kollineárisak legyenek a határgörbére "merőleges" irányban szomszédos kontrollpontokkal.

Az alábbi program gömb topológiájú karakterisztikus poliéderre szerkeszt és jelenít meg másod- vagy harmadfokú B-spline felületet.

ZM\_BSPL.PAS

(\$N+)

```
program zm_bspl;  
    (gömb topológiájú zárt felületek B-spline közelítéssel)  
  
uses  
    graph, grafind, crt, dos, kozos, kozos_3d, kerdesek, rajz_f3d, konf  
    3d, korom fel, eger kez, gomb kez;  
  
const  
    nu=7; nv=4; rg=120; n=10; n2=round(n/2);  
    valasz: kars =  
    valasz f: kars = ['D','T', fel, le, jobb, bal, char(27)];  
  
var  
    fh: byte;  
    fi, psi: single;  
  
procedure rajz;  
var  
    u,u2,u3,w,w2,w3,v,v2,v3,t,t2,t3: single;  
    kp: array[-1..2,-1..2] of pont3;  
    fu, fv: array[-1..2] of single;  
  
procedure sulyfugg; {súlyfüggvények kiszámítása} begin  
    case qr of  
        '2':begin {másodfokú}
```

```

u:=p/n; u2:=u*u; w:=1-u; w2:=w*w;
fu[-1]:=w2/2; fu[0]:=1-(w2+u2)/2; fu[1]:=u2/2;
case 1 of
0: v:=sqrt(r/n2);
nv: t:=sqrt((r-1)/n2);
else v:=r/n;
end;
if 1=nv then begin t2:=t*t; v:=1-t; v2:=v*v; end
else begin v2:=v*v; t:=1-v; t2:=t*t; end;
fv[-1]:=t2/2; fv[0]:=1-(t2+v2)/2; fv[1]:=v2/2;
end;
'3':begin {harmadfokú}
u:=p/n; u2:=u*u; u3:=u2*u; w:=1-u; w2:=w*w; w3:=w2*w;
fu[-1]:=w3/6;
fu[0]:=(3*w2*u+3*w+1)/6; fu[1]:=(3*u2*w+3*u+1)/6; fu[2]:=u3/6;
v:=r/n; v2:=v*v; v3:=v2*v; t:=1-v; t2:=t*t; t3:=t2*t;
fv[-1]:=t3/6; fv[0]:=(3*t2*v+3*t+1)/6;
fv[1]:=(3*v2*t+3*v+1)/6; fv[2]:=v3/6;
end;
end;
end;
procedure folt; {felületfoltok (patch) kontrollpontjainak
összerendelése)
var tu, tv: integer;
begin
for i:=-1 to fh do begin
tu:=k+i;
case tu of
-1:tu:=nu;
nu+1:tu:=0;
nu+2:tu:=1;
end;
for j:=-1 to fh do begin
tv:=1+j;
case tv of
-1:tv:=0;
nv+1:tv:=nv;
end;
kp[i,j]:=a[tu,tv];
end;
end;
end;
function xx: single;
var s: single;
begin
s:=0;
for i:=-1 to fh do
for j:=-1 to fh do
s:=s+kp[i,j].xp*fu[i]*fv[j];
xx:=s
end;
end;

```

```

function yy: single;
var s: single;
begin
  s:=0;
  for i:=-1 to fh do
    for j:=-1 to fh do
      s:=s+kp[i,j].yp*fu[i]*fv[j];
    yy:=s
  end;

function zz: single;
var s: single;
begin
  s:=0;
  for i:=-1 to fh do
    for j:=-1 to fh do
      s:=s+kp[i,j].zp*fu[i]*fv[j];
    zz:=s
  end;

procedure rajzracs; {felületháló csomópontjainak kiszámítása}
var p1, r1, r2, q2: byte;
begin
  for k:=0 to nu do
    for l:=0 to nv-fh+1 do begin
      folt;
      if k=0 then p1:=0 else p1:=1;
      if l=0 then r1:=0 else r1:=1;
      if qr='2' then begin
        if (l=0) or (l=nv) then r2:=n2 else r2:=n;
      end else r2:=n;
      for p:=p1 to n do
        for r:=r1 to r2 do begin
          sulyfugg;
          if qr='2' then begin
            if l=0 then q2:=r
              else if l=nv then q2:=1*n-r+1 else q2:=1*n-n2+r;
          end else q2:=1*n+r;
          rp [ k*ntp, q2 ] ^ .uj (xx, yy, z z) ;
        end;
      end;
    fl:=1; fp:=0;
  end;

begin
  racs; if gb[2]=1 then nyil; setcolor(15);
  if fl=0 then rajzracs;
  eger n; megjelen(nu+1,nv,n,0,1,0,1); eger_1;
  fr:=1;
end;

```

```

procedure fg; {vetítési irány változtatásának vezérlése}
begin
  repeat
    setcolor(7);
    case qj of
      'D':outtextxy(15,102,'T - tele');
      'T':outtextxy(15,102,'D - drótváz');
    end;
    repeat kr:=upcase(readkey); until kr in valasz_f;
    cleardevice;
    case kr of
      'D','T': qj:=kr;
    else if kr<>chr(27) then begin forgat; fp:=0; end;
    end;
    if kr<>chr(27) then rajz;
  until kr=chr(27);
end;

begin
  grindhi; keret(kx0, ky0); kp_racs(nu,nv); eger_k;
  for k:=0 to (nu+1)*n do
    for l:=0 to nv*n do new(rp[k,l]);
  for k:=1 to (nu+1) *nv do new(hl [k] );
  repeat
    qu:='N'; ap:=0.3; bp:=-0.7; cp:=0.2; fl:=0; fr:=0; fp:=0; fe:=0;
    nvl:=sqrt(sqr(ap)+sqr(bp)); nv2:=nvl*sqrt(sqr(nvl)+sqr(cp));
    for k:=0 to nu do begin (kezdőkonfiguráció - gömb)
      psi:=2*pi*k/(nu+1);
      for l:=0 to nv do begin
        fi:=pi*l/nv;
        a[k,l] .uj (rg*sin(fi)*cos(psi),rg*sin(fi)*sin(psi),rg*cos(fi) );
      end;
    end;
    qk:='N';
    racs; konfig('ZMB'); eger_n; parancs(2); racs
    kpontok(nu+1,nv,1,0);
    repeat
      eger_t(kx0,2,620,ky0); eger_l; qr:=' '; b:=0;
      repeat par_katt(2,qr); kp_r_katt(nu,nv); until qr in valasz;
      eger_n;
      case qr of
        'V':begin {kontrollpont kiválasztása és koordinátáinak
          módosítása}
          gb[3]:=0; fe:=0; racs; kpontok(nu+1,nv,1,0);
          gb[1]:=1; parancs(2); if b=0 then sorszam(nu, nv);
          inform(szx,szy,' Hely: '); kp_kor(szx,szy,12);
          koordin3('Hely');
          if qr<>char(27) then
            if (szy=0) or (szy=nv) then for k:=0 to nu do
              a[k,szy] .uj (x,y,z)
            (a pólus mozgatásának összehangolása mindenik délgömbére)
              else a [szx, szy] . uj (x, y, z) ;
            kp kor(szx,szy,7); racs; kpontok(nu+1,nv,1,0);
        end;
      end;
    end;
  end;

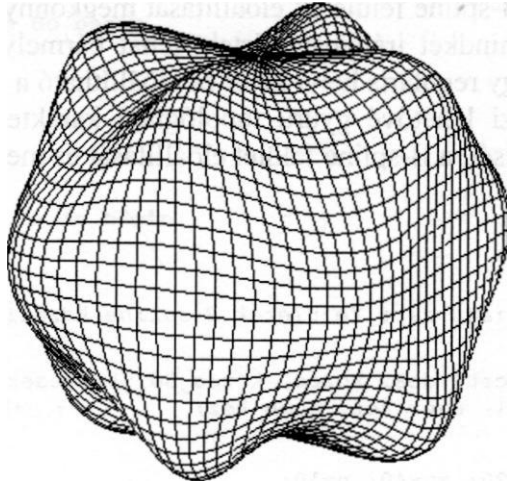
```

```

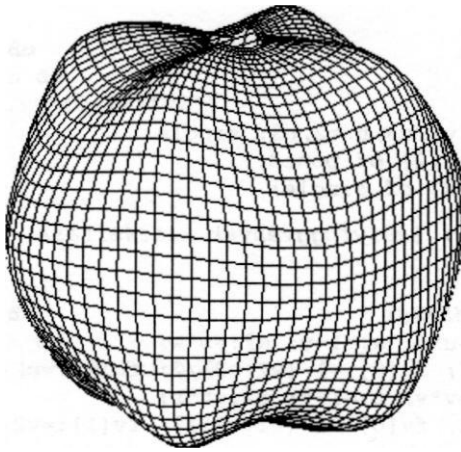
        gb[1]:=0; lap(208,5); setfillstyle(1,11);
        bar(130,470,590,480);
        fl:=0;
    end;
'F':begin (felületmegjelenítés)
    gb[3] :=1; parancs(2); fe:=1;
    b_spline;
    if ((qr='2') and (fh=2)) or ((qr='3') and (fh=1)) then
        fl:=0;
    if qr='2' then fh:=1 else fh:=2;
    megj; rajz; gb [ 3 ] :=0;
end;
'E':if fe=1 then begin {felületmegjelenítés keret nélkül}
    gb [ 2 ] :=1; parancs(2);
    megj; cleardevice;
    rajz; fg; gb[2]:=0;
    keret(kx0, ky0); kp_racs(nu,nv); megj; rajz;
end;
'Q':begin {kilépés}
    gb[4]:=1; parancs(2); fe:=0;
    repeat kilep('ZMB') until not ((v='N') and
    (qm='I')); vege; if qk='N' then ujkonf;
    if qu='N' then begin gb[3]:=0; racs; kpontok(nu+i,nv,1,0);
        end;
        gb[4] :=0;
    end;
end;
parancs(2);
until (qk='I') or (qu='I');
gb[3]:=0; parancs(2);
until qu='N';
closegraph;
end.

```

A 3.9. ábra kontrolipoliéderét közelítő másod- illetve harmadfokú B-spline felületek a 3.25. illetve 3.26. ábrákon láthatók. A harmadfokú felületet nem terjesztettük ki egészen a pólusig, a paramétergörbéknek a pólus környezetében való torlódása miatt. Itt délgörbékhez a pólusokban többszörös alappontokat tekintettünk, ennek következtében a kapott felületnek a pólusai általában szinguláris pontok.



3.25. ábra



3.26. ábra

A következő - a  $\beta$ -spline felületekkel foglalkozó - alponban bemutatunk egy, a segédkontrollpontok használatán alapuló módszert, amelynek segítségével bizonyos feltételek mellett a pólusokban is sima gömb topológiájú zárt felületek nyerhetők. Minthogy a harmadfokú uniform B-spline közelítés a  $\beta$ -spline sajátos esete, a szóban forgó módszer zárt harmadfokú B-spline felületek szerkesztéséhez is használható.

Gyűrű topológiájú B-spline felületek előállítását megkönnyíti az a tény, hogy a paramétervonalak mindkét irányban zártak, tehát bármely kontrollpont körül megszerkeszthető egy reguláris helyi keret és előállítható a megfelelő patch. Az alábbi program teszi lehetővé gyűrű topológiájú karakterisztikus poliéderek interaktív szerkesztését, a B-spline felület előállítását és megjelenítését.

## ZY\_BSPL.PAS

```

($N+)
program zy bspl;
    {gyűrű topológiájú zárt felületek B-spline közelítéssel}
uses
    graph, grafind, crt, dos, kozos, kozos_3d, kerdesek,
    rajz_f3d, konf_3d, komm_fel, eger_kez, gomb_kez;
const
    nu=7; nv=4; ru=120; rv=40; a=10;
    valasz: kars = ['E','F','Q','V'];
    valasz_f: kars = ['D','T', fel, le, jobb, bal, char(27)];
var
    fh: byte;
    fi, psi: single;
procedure rajz;
var
    u, u2, u3, w, w2, w3, v, v2, v3, t, t2, t3: single;
    kp: array[-1..2,-1..2] of pont3;
    fu, fv: array[-1..2] of single;
procedure súlyfugg; {súlyfüggvények kiszámítása}
begin
    case qr of
    '2':begin {másodfokú}
        u:=p/n; u2:=u*u; w:=1-u; w2:=w*w;
        fu[-1]:=w2/2; fu[0]:=1-(w2+u2)/2; fu[1]:=u2/2;
        v:=r/n; v2:=v*v; t:=1-v; t2:=t*t;
        fv[-1]:=t2/2; fv[0]:=1-(t2+v2)/2; fv[1]:=v2/2;
    end;
    '3':begin {harmadfokú}
        u:=p/n; u2:=u*u; u3:=u2*u; w:=1-u; w2:=w*w; w3:=w2*w;
        fu[-1]:=w3/6; fu[0]:=(3*w2*u+3*w+1)/6;
        fu[1]:=(3*u2*w+3*u+1)/6; fu[2]:=u3/6;
        v:=r/n; v2:=v*v; v3:=v2*v; t:=1-v; t2:=t*t; t3:=t2*t;
        fv[-1]:=t3/6; fv[0]:=(3*t2*v+3*t+1)/6;
        fv[1]:=(3*v2*t+3*v+1)/6; fv[2]:=v3/6;
    end;
    end;
end;
procedure folt; {felületfoltok (patch) kontrollpontjainak
    összerendelése}
var tu, tv: integer;

```

```

begin
  for i:=-1 to fh do begin
    tu:=k+i;
    case to of
      -1:tu:=nu;
      nu+1:tu:=0;
      nu+2:tu:=1;
    end;
    for j:=-1 to fh do begin
      tv:=1+j;
      case tv of
        -1:tv:=nv;
        nv+1:tv:=0;
        nv+2:tv:=1;
      end;
      kp[i,j]:=a[tu,tv];
    end;
  end;
end;

function xx: single;
var s: single;
begin
  s:=0;
  for i:=-1 to fh do
    for j:=-1 to fh do
      s:=s+kp[i,j].xp*fu[i]*fv[j];
    end;
  end;
  xx:=s;
end;

function yy: single;
var s: single;
begin
  s:=0;
  for i:=-1 to fh do
    for j:=-1 to fh do
      s:=s+kp[i,j].yp*fu[i]*fv[j];
    end;
  end;
  YY:=s;
end;

function zz: single;
var s: single;
begin
  s:=0;
  for i:=-1 to fh do
    for j:=-1 to fh do
      s:=s+kp[i,j].zp*fu[i]*fv[j];
    end;
  end;
  ZZ:=s;
end;

procedure rajzracs; {felületháló csomópontjainak kiszámítása} var p1,
rl: byte;
begin
  for k:=0 to nu do

```



```

    for l:=0 to nv do begin
        folt;
        if k=0 then pl:=0 else pl:=1;
        if l=0 then r1:=0 else r1:=1;
        for p:=pl to n do
            for r:=r1 to n do begin
                sulyfugg;
                rp[k*n+p,1*n+r]^uj(xx,yy,zz);
            end;
        end;
        fl:=1; fp:=0;
    end;

begin
    racs; if gb[2]=1 then nyil; setcolor(15);
    if fl=0 then rajzracs;
    eger; megjelen(nu+1,nv+1,n,0,1,1,fh-1); eger_1;
    fr:=1;
end;

procedure fg; {vetítési irány változtatásának vezérlése}
begin
    repeat
        setcolor(7);
        case qj of
            'D':outtextxy(15,102,'T - tele');
            'T':outtextxy(15,102,'D - drótváz');
        end;
        repeat kr:=upcase(readkey); until kr in valasz_f;
        cleardevice;
        case kr of
            'D' , 'T' : qj := kr;
        else if kr<>chr(27) then begin forgat; fp:=0; end;
        end;
        if kr<>chr(27) then rajz;
    until kr=chr(27);
end;

begin
    grindhi; keret(kx0, ky0); kp_racs(nu,nv); eger_k;
    for k:=0 to (nu+1)*n do
        for l:=0 to (nv+1)*n do new(rp[k,l]);
    for k:=1 to (nu+1)*(nv+1) do new(hl[k]);
    repeat
        qu:='N'; ap:=0.3; bp:=-0.7; cp:=0.2; fl:=0; fr:=0; fp:=0; fe:=0;
        nvl:=sqrt(sqr(ap)+sqr(bp)); nv2:=nvl*sqrt(sqr(nvl)+sqr(cp));
        for k:=0 to nu do begin {kezdőkonfiguráció - gyűrű}
            psi:=2*pi*k/(nu+1);
            for l:=0 to nv do begin
                fi:=2*pi*l/(nv+1)+pi/2;
                a[k,l].uj((ru+r*v*sin(fi))*cos(psi),(ru+ry*sin(fi))*sin(psi),
                    ry*cos(fi));
            end;
        end;
    end;
end;

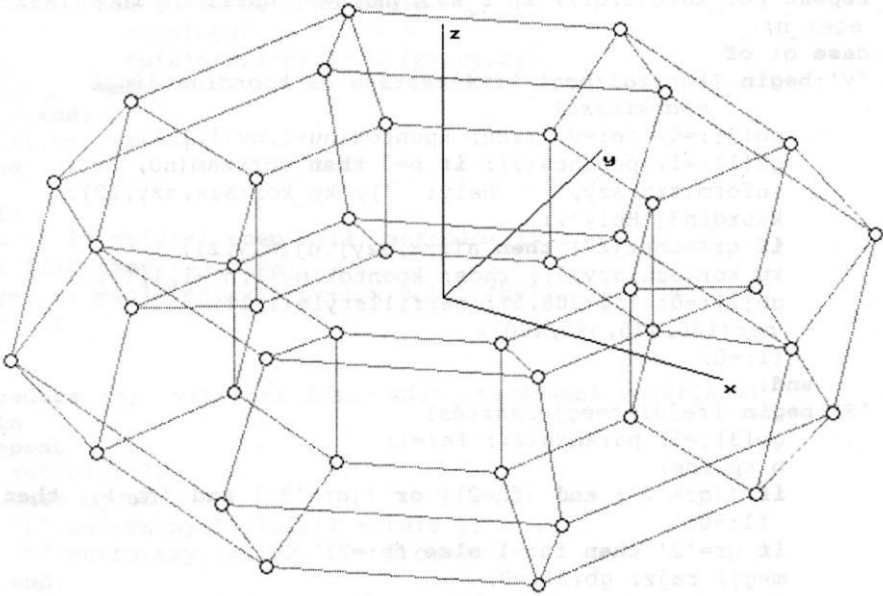
```

```

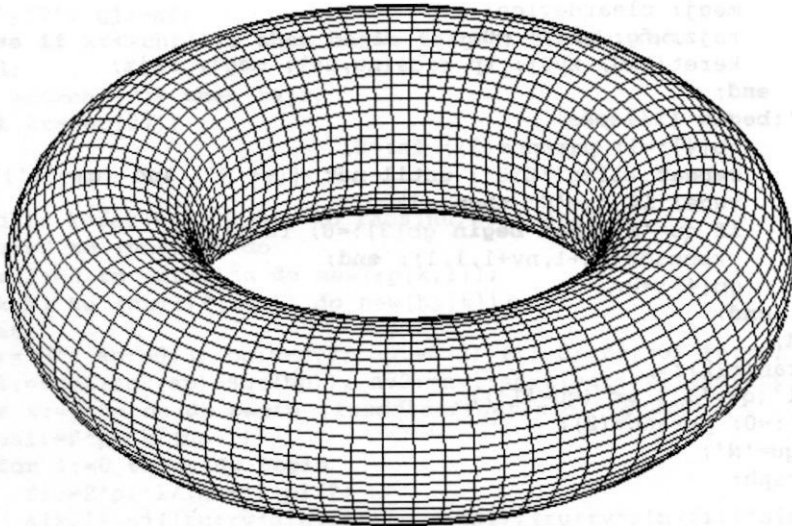
qk:='N';
racs; konfig('ZYB'); eger; parancs(2); racs;
kpontok(nu+1,nv+1,1,1);
repeat
  eger_t(kx0,2,620,ky0); eger_1; qr:=' '; b:=0;
  repeat par katt(2,qr); kp r katt(nu,nv); until qr in valasz;
  eger_n;
  case qr of
    'V':begin {kontrollpont kiválasztása és koordinátáinak
              módosítása}
      gb[3]:=0; fe:=0; racs; kpontok(nu+1,nv+1,1,1);
      gb[1]:=1; parancs(2); if b=0 then sorszam(nu, nv);
      inform(szx,szy,' Hely: '); kp_kor(szx,szy,12);
      koordin3('Hely');
      if qr<>char(27) then a(szx,szy].uj(x,y,z);
      kp_kor(szx,szy,7); racs; kpontok(nu+1,nv+1,1,1);
      gb[1]:=0; lap(208,5); setfillstyle(1,11);
      bar(130,470,590,480);
      fl:=0;
    end;
    'F':begin {felületmegjelenítés}
      gb[3]:=1; parancs(2); fe:=1;
      bspline;
      if ((qr='2') and (fh=2)) or ((qr='3') and (fh=1)) then
        fl:=0;
      if qr='2' then fh:=1 else fh:=2;
      megj; rajz; gb[3]:=0;
    end;
    'E':if fe=1 then begin {felületmegjelenítés keret nélkül}
      gb[2]:=1; parancs(2);
      megj; cleardevice;
      rajz; fg; gb [ 2 ] :=0;
      keret(kx0, ky0); kp_racs(nu,nv); megj; rajz;
    end;
    'Q':begin {kilépés}
      gb[4]:=1; parancs(2); fe:=0;
      repeat kilep('ZYB') until not ((v='N') and (qm='I'));
      vege; if qk='N' then ujkonf;
      if qu='N' then begin gb[3]:=0; racs;
        kpontok(nu+1,nv+1,1,1); end;
      gb[4]:=0;
    end;
  end;
  parancs(2);
until (qk='I') or (qu='I');
  gb[3]:=0; parancs(2);
until qu='N';
closegraph;
end.

```

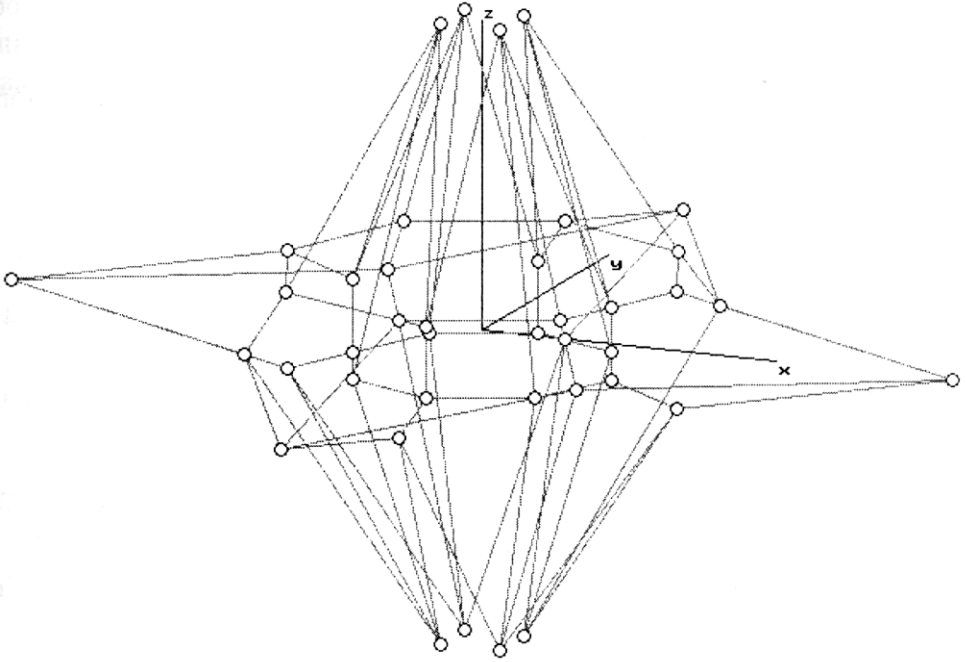
A 3.27. ábra a program kiindulási kontrollpoliéderét mutatja, a 3.28. ábrán pedig az erre szerkesztett másodfokú B-spline tórusz látható. Figyelemreméltó a kapott felület szabályossága.



3.27. ábra

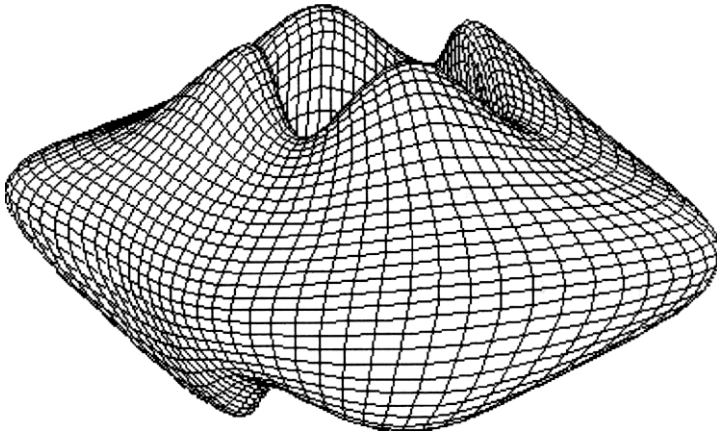


3.28. ábra



3.29. ábra

A 3.29. ábrán látható poliéderre illesztett harmadfokú B-spline felület:



3.30. ábra

### 3.3.5. $\beta$ -spline közelítés

Felületek interaktív szerkesztése  $\beta$  -spline közelítéssel a harmadfokú uniform B-spline approximációhoz hasonló előállítással történik:

$$\mathbf{r}(u, v) = [f_0(u) \quad f_1(u) \quad f_2(u) \quad f_3(u)] \cdot \mathbf{P} \cdot [f_0(v) \quad f_1(v) \quad f_2(v) \quad f_3(v)]^T$$

$$(u, v) \in [0,1] \times [0,1]$$
(3.41)

ahol az  $f$  súlyfüggvények alakját a 2.64 képletek adják,  $\mathbf{P}$  (3.38) pedig a karakterisztikus keret  $4 \times 4$  kontrollpontból álló darabját (patch) jellemző mátrix.

A paramétertartomány két irányában (a felület  $u = \text{állandó}$  illetve  $v = \text{állandó}$  paramétergörbéi mentén) az alakparaméterek - eltolás és feszültség - értékei ( $\beta_{1u}$ ,  $\beta_{2u}$  illetve  $\beta_{1v}$ ,  $\beta_{2v}$ ) különbözhetnek. A  $\beta$  -spline görbékhez hasonlóan, a  $\beta$  -spline felületek esetében is bevezethetők (a paramétergörbék mentén) folytonosan változó alakparaméterek (2.68).

Nyílt felületek esetén a karakterisztikus keretet segédkontrollpontokkal szegélyezhetjük, amelyeket úgy helyezünk el, hogy a kapott patch határgörbéi a keret megfelelő szélén álló kontrollpontok által meghatározott  $\beta$  -spline görbék legyenek. Az

$$\mathbf{F}_u = [f_{0u} \quad f_{1u} \quad f_{2u} \quad f_{3u}]$$

$$\mathbf{F}_v = [f_{0v} \quad f_{1v} \quad f_{2v} \quad f_{3v}]$$
(3.42)

jelölésekkel a vázolt feltételeket az

$$\mathbf{F}_u(0)\mathbf{P} = [\mathbf{p}_{0,j-1} \quad \mathbf{p}_{0,j} \quad \mathbf{p}_{0,j+1} \quad \mathbf{p}_{0,j+2}]$$

$$\mathbf{F}_u(1)\mathbf{P} = [\mathbf{p}_{m,j-1} \quad \mathbf{p}_{m,j} \quad \mathbf{p}_{m,j+1} \quad \mathbf{p}_{m,j+2}]$$

$$\mathbf{P}\mathbf{F}_v(0)^T = [\mathbf{p}_{i-1,0} \quad \mathbf{p}_{i,0} \quad \mathbf{p}_{i+1,0} \quad \mathbf{p}_{i+2,0}]^T$$

$$\mathbf{P}\mathbf{F}_v(1)^T = [\mathbf{p}_{i-1,n} \quad \mathbf{p}_{i,n} \quad \mathbf{p}_{i+1,n} \quad \mathbf{p}_{i+2,n}]^T$$
(3.43)

módon írhatjuk fel, ahol  $\mathbf{p}$  a kontrollpoliéder megfelelő szélső darabjának mátrix reprezentációja. Felírva a 3.43 egyenletek baloldalán álló kifejezéseket és azonosítva a jobboldal megfelelő elemeivel a segédpontokra a

$$\begin{aligned} \mathbf{p}_{-1,j} &= \mathbf{p}_{0,j} + \frac{\mathbf{p}_{0,j} - \mathbf{p}_{1,j}}{\beta_{1u}^3} & ; \quad j = 0, \dots, n \\ \mathbf{p}_{m+1,j} &= \mathbf{p}_{m,j} + (\mathbf{p}_{m,j} - \mathbf{p}_{m-1,j})\beta_{1u}^3 \\ \mathbf{p}_{i,-1} &= \mathbf{p}_{i,0} + \frac{\mathbf{p}_{i,0} - \mathbf{p}_{i,1}}{\beta_{1v}^3} & ; \quad i = 0, \dots, m \\ \mathbf{p}_{i,n+1} &= \mathbf{p}_{i,n} + (\mathbf{p}_{i,n} - \mathbf{p}_{i,n-1})\beta_{1v}^3 \end{aligned} \quad (3.44)$$

képleteket kapjuk. Ahhoz, hogy a felület sarkai a kontrollpoliéder sarkain álló pontokba kerüljenek:

(3.46)

$$\begin{aligned} \mathbf{F}_u(0)\mathbf{P}\mathbf{F}_v(0)^T &= \mathbf{p}_{0,0} \\ \mathbf{F}_u(0)\mathbf{P}\mathbf{F}_v(1)^T &= \mathbf{p}_{0,n} \\ \mathbf{F}_u(1)\mathbf{P}\mathbf{F}_v(0)^T &= \mathbf{p}_{m,0} \\ \mathbf{F}_u(1)\mathbf{P}\mathbf{F}_v(1)^T &= \mathbf{p}_{m,n} \end{aligned} \quad (3.45)$$

a csúcsokban található segédpontok helyeit

$$\begin{aligned} \mathbf{p}_{-1,-1} &= \frac{(\beta_{1u}^3 + 1)(\beta_{1v}^3 + 1)\mathbf{p}_{0,0} - (\beta_{1u}^3 + 1)\mathbf{p}_{0,1} - (\beta_{1v}^3 + 1)\mathbf{p}_{1,0} - \mathbf{p}_{1,1}}{\beta_{1u}^3 \beta_{1v}^3} \\ \mathbf{p}_{-1,n+1} &= \frac{(\beta_{1u}^3 + 1)(\beta_{1v}^3 + 1)\mathbf{p}_{0,n} - (\beta_{1u}^3 + 1)\beta_{1v}^3 \mathbf{p}_{0,n-1} - (\beta_{1v}^3 + 1)\mathbf{p}_{1,n} + \beta_{1v}^3 \mathbf{p}_{1,n-1}}{\beta_{1u}^3} \\ \mathbf{p}_{m+1,-1} &= \frac{(\beta_{1u}^3 + 1)(\beta_{1v}^3 + 1)\mathbf{p}_{m,0} - (\beta_{1v}^3 + 1)\beta_{1u}^3 \mathbf{p}_{m-1,0} - (\beta_{1u}^3 + 1)\mathbf{p}_{m,1} + \beta_{1u}^3 \mathbf{p}_{m-1,1}}{\beta_{1u}^3 \beta_{1v}^3} \\ \mathbf{p}_{m+1,n+1} &= (\beta_{1u}^3 + 1)(\beta_{1v}^3 + 1)\mathbf{p}_{m,n} - (\beta_{1u}^3 + 1)\beta_{1v}^3 \mathbf{p}_{m,n-1} - (\beta_{1v}^3 + 1)\beta_{1u}^3 \mathbf{p}_{m-1,n} + \\ &\quad + \beta_{1u}^3 \beta_{1v}^3 \mathbf{p}_{m-1,n-1} \end{aligned}$$

képletek adják.

Az F\_P\_BETS.PAS program teszi lehetővé a karakterisztikus keret és az alakparaméterek interaktív módosítását, a felület megszerkesztését és megjelenítését.

```
{N+}

program f_p_bets;
  {paraméteres előállítású nyílt felületek  $\beta$ -spline közelítéssel}

uses
  graph, grafind, crt, dos, kozos, kozos 3d, kerdesek, rajz_f3d,
  konf_3d, komm_fel, eger_kez, gomb_kez;

const
  nu=4; nv=4; ax=80; ay=80; n=10;
  valasz: kars = ['E','F','Q','V','A','C'];
  valasz_f: kars = ['D','T', fel, le, jobb, bal, char(27)];

var
  pu0, pul: array[0..nv] of pont3;
  pv0, pvl: array[0..nu] of pont3;
  p00, p01, p10, p11: pont3;
  bl2u, bl3u, du, bl2v, bl3v, dv, dd: real;
  fc, fdu, fdv: byte;

procedure delta_u;
begin
  bl2u:=blu*blu; bl3u:=bl2u*blu; du:=bl3u+2*(bl2u+blu)+b2u+1;
  fc:=0; fdu:=1;
end;

procedure delta_v;
begin
  bl2v:=blv*blv; bl3v:=bl2v*blv; dv:=bl3v+2*(bl2v+blv)+b2v+1;
  fc:=0; fdv:=1;
end;

procedure hatar; {segédhatárpontok kiszámítása}
begin
  for k:=0 to nu do begin
    pv0[k].uj((a[k,0].xp-a[k,1].xp)/b13v+a[k,0].xp,
      (a[k,0].yp-a[k,1].yp)/b13v+a[k,0].yp,
      (a[k,0].zp-a[k,1].zp)/b13v+a[k,0].zp);
    pvl[k].uj((a[k,nv].xp-a[k,nv-1].xp)*b13v+a[k,nv].xp, (a[k,nv].yp-a[k,nv-1].yp)*b13v+a[k,nv].yp, (a[k,nv].zp-a[k,nv-1].zp)*b13v+a[k,nv].zp); end;
    for l:=0 to nv do begin
      pu0[l].uj((a[0,1].xp-a[l,1].xp)/b13u+a[0,1].xp, (a[0,1].yp-a[l,1].yp)/b13u+a[0,1].yp, (a[0,1].zp-a[l,1].zp)/b13u+a[0,1].zp);
      pul[l].uj((a[nu,1].xp-a[nu-
```

```

                (a[nu,1].yp-a[nu-1,1].yp)*b13u+a[nu,1].yp,
                (a[nu,1].zp-a[nu-1,1].zp)*b13u+a[nu,1].zp);
end;
p00.uj((pv0[0].xp-pv0[1].xp)/b13u+pv0[0].xp, {sarokpontok}
        (pv0[0].yp-pv0[1].yp)/b13u+pv0[0].yp, (pv0[0].zp-
        pv0[1].zp)/b13u+pv0[0].zp);
p01.uj((pu0[nv].xp-pu0[nv-1].xp)*b13v+pu0[nv].xp,
        (pu0[nv].yp-pu0[nv-1].yp)*b13v+pu0[nv].yp,
        (pu0[nv].zp-pu0[nv-1].zp)*b13v+pu0[nv].zp);
p10.uj((pv0[nu].xp-pv0[nu-1].xp)*b13u+pv0[nu].xp,
        (pv0[nu].yp-pv0[nu-1].yp)*b13u+pv0[nu].yp,
        (pv0[nu].zp-pv0[nu-1].zp)*b13u+pv0[nu].zp);
p11.uj((pul[nv].xp-pul[nv-1].xp)*b13v+pul[nv].xp,
        (pul[nv].yp-pul[nv-1].yp)*b13v+pul[nv].yp,
        (pul[nv].zp-pul[nv-1].zp)*b13v+pul[nv].zp);
fc:=1;
end;

procedure rajz;
var
u,u2,u3,v,v2,v3,f1,f2,f3,f4: single;
kp: array[-1..2,-1..2] of pont3;
fu, fv: array[-1..2] of single;

procedure bl_funct_u; {súlyfüggvények u irányban}
begin
u:=p/n; u2:=u*u; u3:=u2*u;
f1:=1-3*u+3*u2-u3; f2:=u2*(3-u); f3:=u*(3-u2); f4:=f2-u3;
fu[-1]:=b13u*f1; ( $\beta$ -spline súlyfüggvények u irányban)
fu[0]:=b13u*(1-f1)+b12u*(2-f2)+blu*(2-f3)+b2u*(1-f4);
fu[1]:=b12u*f2+blu*f3+b2u*f4+1-u3;
fu[2]:=u3;
end;

procedure bl_funct_v; {súlyfüggvények v irányban}
begin
v:=r/n; v2:=v*v; v3:=v2*v;
f1:=1-3*v+3*v2-v3; f2:=v2*(3-v); f3:=v*(3-v2); f4:=f2-v3;
fv[-1]:=b13v*f1; ( $\beta$ -spline súlyfüggvények v irányban)
fv[0]:=b13v*(1-f1)+b12v*(2-f2)+blv*(2-f3)+b2v*(1-f4);
fv[1]:=b12v*f2+blv*f3+b2v*f4+1-v3;
fv[2]:=v3;
end;

procedure folt; {felületfoltok (patch) kontrollpontjainak
                összerendelése}
var tu, tv: integer;
begin
  for i:=-1 to 2 do begin
    tu:=k+i;
    for j:=-1 to 2 do begin
      tv:=1+j;
      case tu of

```



```
-1:case tv of
  -1: kp[i,j]:=p00;
  nv+1: kp[i,j]:=p01;
  else kp[i,j]:=pu0[tv];
end;
nu+1:case tv of
  -1: kp[i,j]:=p10;
  nv+1: kp[i,j]:=p11;
  else kp[i,j]:=pul[tv];
end;
else case tv of
  -1: kp[i,j]:=pv0[tu];

      nv+1: kp[i,j]:=pvl[tu];
      else kp[i,j]:=a[tu,tv];
end;
end;
end;
end;
end;

function xx: single;
var s: single;
begin
  s:=0;
  for i:=-1 to 2 do
    for j:=-1 to 2 do
      s:=s+kp[i,j].xp*fu[i]*fv[j];
    end;
  end;
  xx:=s/dd;
end;

function yy: single;
var s: single;
begin
  s:=0;
  for i:=-1 to 2 do
    for j:=-1 to 2 do
      s:=s+kp[i,j].yp*fu[i]*fv[j];
    end;
  end;
  yy:=s/dd;
end;

function zz: single;
var s: single;
begin
  s:=0;
  for i:=-1 to 2 do
    for j:=-1 to 2 do
      s:=s+kp[i,J].zp*fu[i]*fv[j];
    end;
  end;
  zz:=s/dd;
end;
```

```

procedure rajzrac; {felületháló csomópontjainak kiszámítása}
begin
  if fdu=0 then begin
    delta_u;
    if abs(du)<0.1 then begin
      if du<0 then b2u:=b2u-1 else b2u:=b2u+1;
      delta_u; end; {nullaosztás elkerülése}
    end;
    if fdv=0 then begin
      delta_v;
      if abs(dv)<0.1 then begin
        if dv<0 then b2v:=b2v-1 else b2v:=b2v+1;
        delta_v; end; {nullaosztás elkerülése}
      end;
      dd:=du*dv;
      if fc=0 then hatar;
      for p:=0 to n do begin
        bl_funct_u;
        for r:=0 to n do begin
          bl_funct_v;
          for k:=0 to nu-1 do
            for l:=0 to nv-1 do begin
              folt;
              rp[k*n+p,l*n+r]^uj(xx,yy,zz);
            end;
          end;
        end;
        fl:=1; fp:=0;
      end;
    begin
      racs; if gb[2]=1 then nyil; setcolor(15);
      if fl=0 then rajzrac;
      eger_n; megjelen(nu,nv,n,0,0,1); eger_l;
      fr:=1;
    end;
  procedure fg; {vetítési irány váltortatásának vezérlése}
    .....
begin
  obj='F';
  grindhi; keret(kx0, ky0); kp_racs(nu,nv); eger_k;
  for k:=0 to nu*n do
    for l:=0 to nv*n do new(rp[k,l]);
  for k:=1 to nu*nv do new(hl[k]);
  repeat
    .....
  racs; konfig('FBS'); eger_n; parancs(2); bvalt; racs;
  kpontok(nu,nv,0,0);
  repeat
    eger_t(kx0,2,620,ky0); eger_l; qr:=' '; b:=0;
    repeat par_katt(2,qr); kp_r_katt(nu,nv); until qr in valasz;

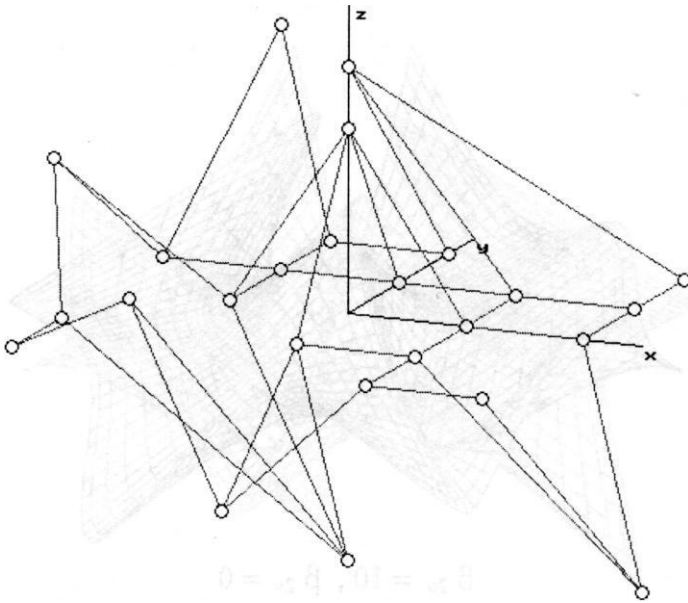
```

```

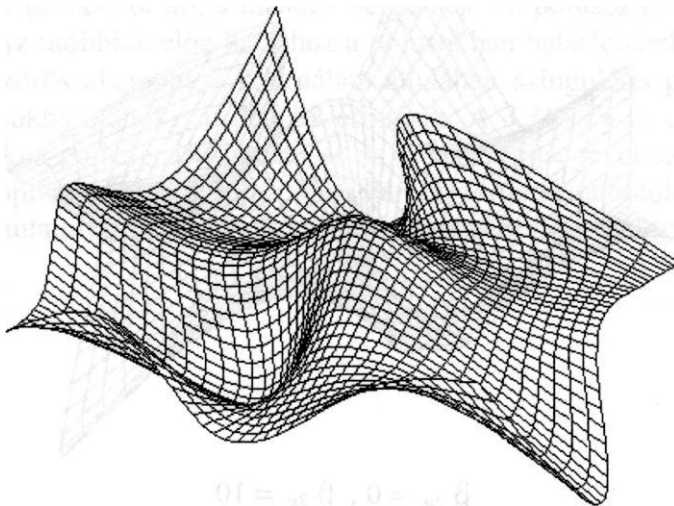
eger_n;
case qr of
'V':begin (kontrollpont kiválasztása és koordinátáinak
          módosítása)
          .....
'F':begin {felületmegjelenítés}
          .....
'E':if fe=1 then begin {felületmegjelenítés keret nélkül}
          .....
'A':begin {eltolásmódosítás}
      gb[7]:=1; bvalt;
      irany; eltl; if bl<0.05 then bl:=0.05; if bl>20 then
      bl:=20;
      case qd of
        'U':begin blu:=bl; fdu:=0; end;
        'V':begin blv:=bl; fdv:=0; end;
      end;
      gb[7]:=0; lap(208,5); fl:=0;
    end;
'C':begin {feszültségmódosítás}
      gb[8]:=1; bvalt; irany; fesz;
      case qd of
        'U':begin b2u:=b2; fdu:=0; end;
        'V':begin b2v:=b2; fdv:=0; end;
      end;
      gb[8]:=0; lap(208,5); fl:=0;
    end;
'Q':begin (kilépés)
      gb[4]:=1; parancs(2); fe:=0;
      repeat kilep('FBS') until not ((v='N') and (qm='I'));
      vege; if qk='N' then ujkonf;
      if qu='N' then begin gb[3]:=0; racs; kponatok(nu,nv,0,0);
      end;
      gb[4]:=0;
    end;
  end;
  parancs(2); bvalt;
  until (qk='I' or (qu='I'));
  gb[3]:=0; parancs(2);
  until qu='N';
  closegraph;
end.

```

A feszültség hatását a 3.31. ábrán látható karakterisztikus kerettel szerkesztett felületek szemléltetik. A 3.32. ábrán a harmadfokú B-spline felület, a 3.33.- 3.35. ábrákon pedig különböző  $\beta_{2u}$  és  $\beta_{2v}$  értékekre kapott felületek láthatók ( $\beta_{1u}=\beta_{1v}=1$ ).

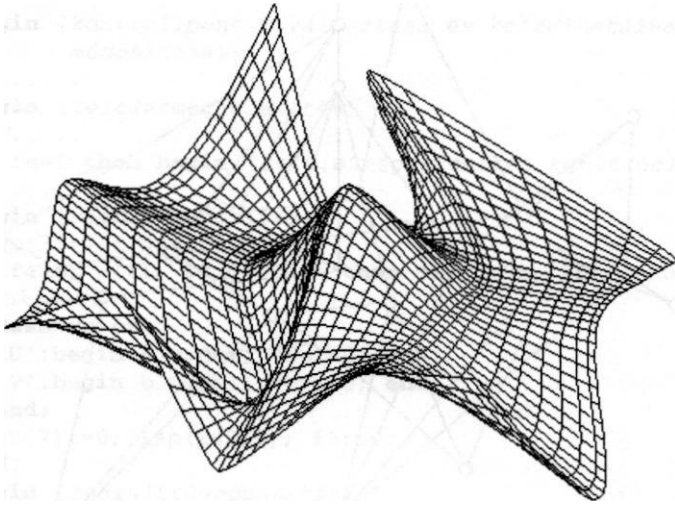


3.31. ábra



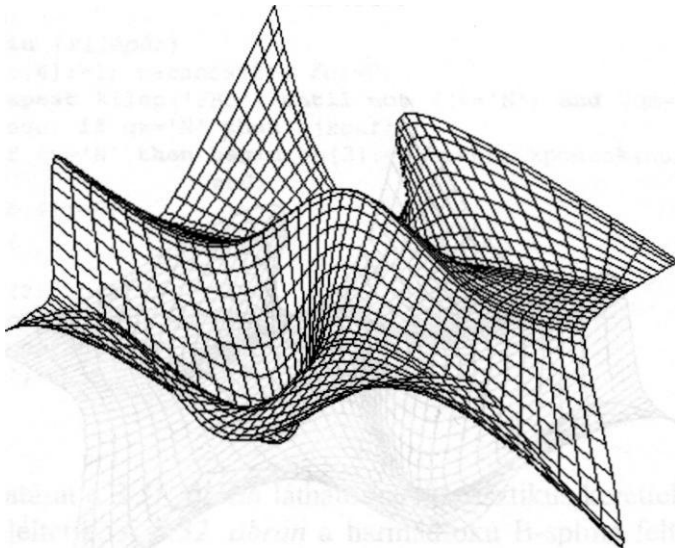
$$\beta_{2u} = \beta_{2v} = 0$$

3.32. ábra



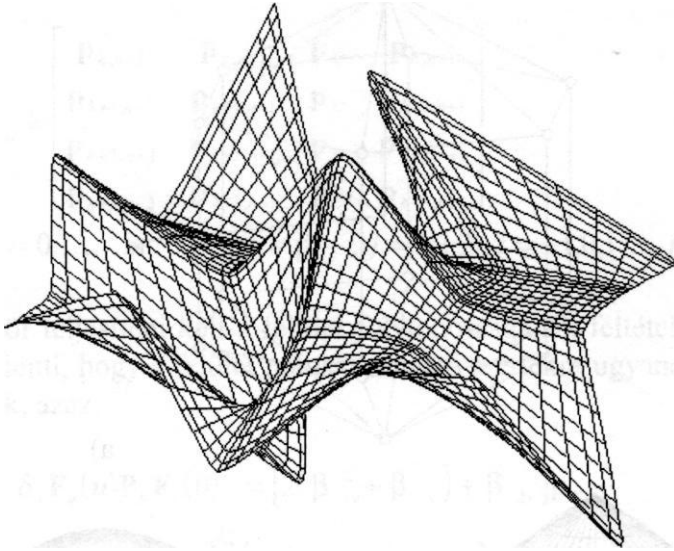
$$\beta_{2u} = 10, \beta_{2v} = 0$$

3.33. ábra



$$\beta_{2u} = 0, \beta_{2v} = 10$$

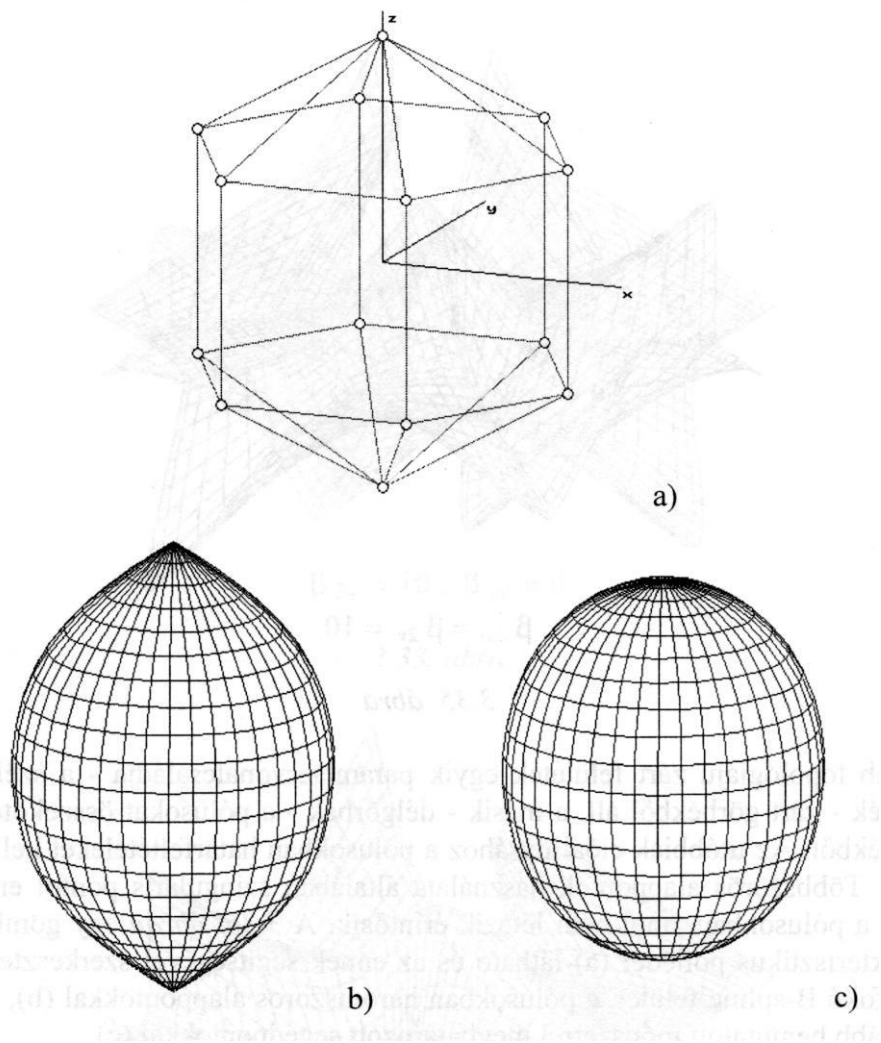
3.34. ábra



$$\beta_{2u} = \beta_{2v} = 10$$

3.35. ábra

Gömb topológiájú zárt felületek egyik paramétervonalcsaládja - a szélességi görbék - zárt görbékből áll, a másik - délgörbék - a pólusokat összekötő nyílt görbékből. Az utóbbiak előállításához a pólusokban határfeltételeket kell megadni. Többszörös alappontok használata általában szinguláris pontot eredményez a pólusokban, ahol nem létezik érintősík. A 3.36. ábrán egy gömbbe írt karakterisztikus poliéder (a) látható és az ennek segítségével szerkesztett harmadfokú B-spline felület, a pólusokban háromszoros alappontokkal (b), illetve az alább bemutatott módszerrel meghatározott segédpontokkal (c).



3.36. ábra

Tekintsük a karakterisztikus poliédernek az északi, illetve déli pólus környezetében elhelyezkedő

$$\mathbf{P}_E = \begin{bmatrix} \mathbf{P}_{k,-1} & \mathbf{P}_E & \mathbf{P}_{k,1} & \mathbf{P}_{k,2} \\ \mathbf{P}_{k+1,-1} & \mathbf{P}_E & \mathbf{P}_{k+1,1} & \mathbf{P}_{k+1,2} \\ \mathbf{P}_{k+2,-1} & \mathbf{P}_E & \mathbf{P}_{k+2,1} & \mathbf{P}_{k+2,2} \\ \mathbf{P}_{k+3,-1} & \mathbf{P}_E & \mathbf{P}_{k+3,1} & \mathbf{P}_{k+3,2} \end{bmatrix} \quad (3.4)$$

illetve

$$\mathbf{P}_D = \begin{bmatrix} \mathbf{p}_{k,n-2} & \mathbf{p}_{k,n-1} & \mathbf{p}_D & \mathbf{p}_{k,n+1} \\ \mathbf{p}_{k+1,n-2} & \mathbf{p}_{k+1,n-1} & \mathbf{p}_D & \mathbf{p}_{k+1,n+1} \\ \mathbf{p}_{k+2,n-2} & \mathbf{p}_{k+2,n-1} & \mathbf{p}_D & \mathbf{p}_{k+2,n+1} \\ \mathbf{p}_{k+3,n-2} & \mathbf{p}_{k+3,n-1} & \mathbf{p}_D & \mathbf{p}_{k+3,n+1} \end{bmatrix} \quad (3.48)$$

$$k = 0, 1, \dots, m; \quad \mathbf{p}_{m+j,l} = \mathbf{p}_{j,l}, \quad j = 1, 2, 3, \quad l = -1, 0, 1, \dots, n, n+1$$

feltjait. Először teljesíteni kell a felület folytonosságának feltételét a pólusokban. Ez azt jelenti, hogy a felület pólusai minden  $k$  értékre ugyanabba a pontba kell kerüljenek, azaz:

$$\delta_v \mathbf{F}_u(u) \mathbf{P}_E \mathbf{F}_v(0)^T = [2(\beta_{1v}^2 + \beta_{1v}) + \beta_{2v}] \mathbf{p}_E + \sum_{i=0}^3 (\beta_{1v}^3 \mathbf{p}_{k+i,-1} + \mathbf{p}_{k+i,1}) f_i(u) \neq f(u), \quad (3.49)$$

illetve

$$\delta_v \mathbf{F}_u(u) \mathbf{P}_D \mathbf{F}_v(1)^T = [2(\beta_{1v}^2 + \beta_{1v}) + \beta_{2v}] \mathbf{p}_D + \sum_{i=0}^3 (\beta_{1v}^3 \mathbf{p}_{k+i,n-1} + \mathbf{p}_{k+i,n+1}) f_i(u) \neq f(u), \quad (3.50)$$

azaz a pólus helye nem függhet az  $u$  paraméter értékétől, minden délgörbe azonos végpontokkal kell rendelkezzen. Mivel a  $\beta$ -spline súlyfüggvények az egység felosztását képezik (vagyis összegük mindig 1), belátható, hogy a 3.49 és 3.50 feltételek akkor teljesülnek, ha ezek együtthatói a megfelelő összegekben állandóak, ahonnan a segédpontokra:

$$\mathbf{p}_{k,-1} = \frac{\mathbf{c}_E - \mathbf{p}_{k,1}}{\beta_{1v}^3}; \quad k = 0, 1, \dots, m \quad (3.51)$$

$$\mathbf{p}_{k,n+1} = \mathbf{c}_D - \beta_{1v}^3 \mathbf{p}_{k,1}$$



Az állandó vektorok értékeit úgy határozzuk meg, hogy - ha lehetséges - a délgörbék érintővektorai ezek végpontjaiban (azaz a pólusokban) egy síkban legyenek. A felület előállítására az északi pólus közelében:

$$\mathbf{r}_E(u, v) = \mathbf{p}_E f_1(v) + \sum_{\substack{j=0 \\ j \neq 1}}^3 g_j(u) f_j(v)$$

$$g_j(u) = \sum_{i=0}^3 \mathbf{p}_{k+i, j} f_i(u)$$
(3.52)

a déli pólus környezetében pedig:

$$\mathbf{r}_D(u, v) = \mathbf{p}_D f_2(v) + \sum_{\substack{j=0 \\ j \neq 2}}^3 g_{n+j-2}(u) f_j(v)$$

$$g_{n+j-2}(u) = \sum_{i=0}^3 \mathbf{p}_{k+i, n+j-2} f_i(u)$$
(3.53)

A 3.51 képletekből következik:

$$g_0(u) = \frac{\mathbf{c}_E - g_1(u)}{\beta_{1v}^3} \quad ; \quad k = 0, 1, \dots, m$$

$$g_{n+1}(u) = \mathbf{c}_D - \beta_{1v}^3 g_{n-1}(u)$$
(3.54)

A 3.52, illetve 3.53 előállítások  $v$  szerinti parciális deriváltjai adják a délgörbék érintővektorait a pólusokban ( $v = 0$  -ra). A délgörbék súlyfüggvényeit  $v$  szerint deriválva 3.52 és 3.53 -ból, 3.54-et figyelembe véve kapjuk:

$$\frac{\delta_v}{3} \frac{\partial}{\partial v} \mathbf{r}_E(u, v) \Big|_{v=0} = -\mathbf{c}_E + (\beta_{1v} + 1) g_1(u) + \beta_{1v} (\beta_{1v}^2 - 1) \mathbf{p}_E$$

$$\frac{\delta_v}{3} \frac{\partial}{\partial v} \mathbf{r}_D(u, v) \Big|_{v=1} = \mathbf{c}_D - \beta_{1v}^2 (\beta_{1v} + 1) g_{n-1}(u) + (\beta_{1v}^2 - 1) \mathbf{p}_D$$
(3.55)

Annak - egyik, számunkra jól kezelhető - elégséges feltétele, hogy a fenti képletek jobboldala ugyanabban a síkban fekvő vektor legyen bármely  $u$  értékre az, hogy a pólusokkal szomszédos kontrollpontok egy síkban legyenek és a kere-

sett állandó vektoroknak a pólus helyvektorát tartalmazó szabadtaggal képezett összege is ebben a síkban legyen. Erre egy megoldás:

$$\begin{aligned} \mathbf{c}_E &= \frac{\beta_{v1}+1}{m+1} \sum_{k=0}^m \mathbf{p}_{k,1} + \beta_{1v} (\beta_{1v}^2 - 1) \mathbf{p}_E \\ \mathbf{c}_D &= \beta_{1v}^2 \frac{\beta_{v1}+1}{m+1} \sum_{k=0}^m \mathbf{p}_{k,n-1} - (\beta_{1v}^2 - 1) \mathbf{p}_D \end{aligned} \quad (3.56)$$

ahol a jobboldal első tagja az illető pólussal szomszédos kontrollpontok által alkotott sokszög súlypontja (szorozva egy, a  $v$  irányú eltolástól függő állandóval). A 3.51 képletek az állandóvektorok 3.56-tal számított értékeivel adják a keresett segédpontokat a délgörbék végein.

A bemutatott módszert valósítja meg a ZM\_BETSP.PAS program.

```
{\$N+}
```

```
program zm_betsp;
  {gömb topológiájú zárt felületek  $\beta$ -spline közelítéssel}

uses
  graph, grafind, crt, dos, kozos, kozos 3d, kerdesek, rajz_f3d,
  konf 3d, korom fel, eger kez, gomb kez;

const
  nu=7; nv=4; rg=160; n=10;
  valasz: kars = ['E','F','Q','V','A','C'];
  valasz f: kars = ['D','T', fel, le, jobb, bal, char(27)];

var
  fi, psi: single;
  pv0, pvl: array[0..nu] of pont3;
  pb0, pbl: pont3;
  bl2u, bl3u, du, bl2v, bl3v, dv, dd: real;
  fc, fdu, fdv: byte;
  bnl, bsl, bn2, bs2: real;

procedure delta_u;
begin
  bl2u:=bl1u*bl1u; bl3u:=bl2u*bl1u; du:=bl3u+2*(bl2u+btu)+b2u+1;
  fc:=0; fdu:=1; end;

procedure delta_v;
begin
  bl2v:=bl1v*bl1v; bl3v:=bl2v*bl1v; dv:=bl3v+2*(bl2v+bl1v)+b2v+1;
  bnl:=(bl1v+1)/(nu+1); bsl:=bl2v*bnl; bs2:=1-bl2v; bn2:=-bl1v*bs2;
  fc:=0; fdv:=1; end;
```

```

procedure hatar; (segédhatárpontok kiszámítása a meridiángörbék
                végein)
begin
  pb0.uj (0,0,0); pbl.uj
  (0,0,0); for k:=0 to nu do
  begin
    pb0.uj (pb0.xp+a[k,1].xp,pb0.yp+a[k,1].yp,pb0.zp+a[k,1].zp);
    pbl.uj (pbl.xp+a[k,nv-1].xp,pbl.yp+a[k,nv-1].yp,pbl.zp+
    a[k,nv-1].zp);
  end;
  pb0.uj (bnl*pb0.xp+bn2*a[0,0].xp,bnl*pb0.yp+bn2*a[0,0].yp,
    bnl*pb0.zp+bn2*a[0,0].zp);
  pbl.uj (bsl*pbl.xp+bs2*a[0,nv].xp,bsl*pbl.yp+bs2*a[0,nv].yp,
    bsl*pbl.zp+bs2*a[0,nv].zp); for k:=0 to nu do begin
    pv0[k].uj ((pb0.xp-a[k,1].xp)/b13v,(pb0.yp-a[k,1].yp)/b13v,
    (pb0.zp-a[k,1].zp)/b13v);
    pv1[k].uj (pbl.xp-b13v*a[k,nv-1].xp,pbl.yp-b13v*a[k,nv-1].yp,
    pbl.zp-b13v*a[k,nv-1].zp);
  end; fc:=1;
end;

procedure rajz;
var
  u,u2,u3,v,v2,v3,f1,f2,f3,f4: single;
  kp: array[-1..2,-1..2] of pont3;
  fu, fv: array[-1..2] of single;

procedure bl_funct_u; {súlyfüggvények u irányban - szélességi görbék
                    mentén}
begin
  u:=p/n; u2:=u*u; u3:=u2*u;
  f1:=1-3*u+3*u2-u3; f2:=u2*(3-u); f3:=u*(3-u2); f4:=f2-u3;
  fu[-1]:=b13u*f1; ( $\beta$ -spline súlyfüggvények u irányban)
  fu[0]:=b13u*(1-f1)+b12u*(2-f2)+blu*(2-f3)+b2u*(1-f4);
  fu[1]:=b12u*f2+blu*f3+b2u*f4+1-u3; fu[2]:=u3;
end;

procedure bl_funct_v; {súlyfüggvények v irányban - délgörbék mentén}
begin
  v:=r/n; v2:=v*v; v3:=v2*v;
  f1:=1-3*v+3*v2-v3; f2:=v2*(3-v); f3:=v*(3-v2); f4:=f2-v3;
  fv[-1]:=b13v*f1; ( $\beta$ -spline súlyfüggvények v irányban)
  fv[0]:=b13v*(1-f1)+b12v*(2-f2)+blv*(2-f3)+b2v*(1-f4);
  fv[1]:=b12v*f2+blv*f3+b2v*f4+1-v3; fv[2]:=v3;
end;

procedure folt; {felületfoltok (patch) kontrollpontjainak
                összerendelése)
var tu, tv: integer;
begin
  for i:=-1 to 2 do begin
    tu:=k+i;
    for j:=-1 to 2 do begin

```

```

tv:=1+j; case
to of -
l:case tv of
-1: kp[i,j]:=pv0[nu];
nv+1: kp[i,j]:=pv1[nu];
else kp[i,j]:=a[nu,tv];
end;
nu+1:case tv of
-1: kp[i,j]:=pv0[0];
nv+1: kp[i,j]:=pv1[0];
else kp[i,j]:=a[0,tv];
end;
nu+2:case tv of
-1: kp[i,j]:=pv0[1];
nv+1: kp(i,j):=pv1[1];
else
kp[i,j]:=a[1,tv];
end;
else case tv of
-1: kp[i,j]:=pv0[tu];
nv+1: kp[i,j]:=pv1[tu];
else kp[i,j]:=a[tu,tv];
end;
end;
end;
end;
end;

function xx: single;
var s: single;
begin
s:=0;
for i:=-1 to 2 do
for j:=-1 to 2 do
s:=s+kp[i,j].xp*fu[i]*fv[j];
xx:=s/dd;
end;
end;

function yy: single;
var s: single;
begin
s:=0;
for i:=-1 to 2 do
for j:=-1 to 2 do
s:=s+kp[i,j].yp*fu[i]*fv[j];
yy:=s/dd;
end;
end;

function zz: single;
var s: single;
begin
s:=0;
for i:=-1 to 2 do
for j:=-1 to 2 do

```

```

        s:=s+kp[i,j].zp*fu[i]*fv[j];
        zz:=s/dd;
    end;

procedure rajzracs; {felületháló csomópontjainak kiszámítása}
begin
    if fdu=0 then begin
        delta_u;
        if abs(du)<0.1 then begin
            if du<0 then b2u:=b2u-1 else b2u:=b2u+i;
            delta_u; end; {nullaosztás elkerülése}
        end;
        if fdv=0 then begin
            delta_v;
            if abs(dv)<0.1 then begin
                if dv<0 then b2v:=b2v-1 else b2v:=b2v+1;
                delta_v; end; {nullaosztás elkerülése}
            end;
            dd:=du*dv;
            if fc=0 then hatar;
            for p:=0 to n do begin
                bl_funct_u;
                for r:=0 to n do begin
                    bl_funct_v;
                    for k:=0 to nu do
                        for l:=0 to nv-1 do begin
                            folt;
                            rp[k*n+p,l*n+r]^.uj(xx,yy,zz);
                        end;
                    end;
                end;
            end;
            fl:=1; fp:=0;
        end;

begin
    racs; if gb[2]=1 then nyil; setcolor(15);
    if fl=0 then rajzracs;
    eger_n; megjelen(nu+1,nv,n,1,0,0); eger_l;
    fr:=1;
end;

procedure fg; (vetítési irány váltortatásának vezérlése)
    .....

begin
    obj ='F';
    grindhi; keret(kx0, ky0); kp_racs(nu,nv); eger_k;
    for k:=0 to (nu+1)*n do
        for l:=0 to nv*n do new(rp[k,l]);
    for k:=1 to (nu+1) *nv do new (hl [k]) ;
    repeat
        qu='N'; ap:=0.3; bp:=-0.7; cp:=0.2;
        fl:=0; fr:=0; fp:=0; fe:=0; fc:=0; fdu:=0; fdv:=0;

```

```

nvl:=sqrt(sqr(ap)+sqr(bp)); nv2:=nvl*sqrt(sqr(nvl)+sqr(cp));
for k:=0 to nu do begin {kezdőkonfiguráció - gömb}
  psi:=2*pi*k/(nu+1);
  for l:=0 to nv do begin
    fi:=pi*l/nv;
    a [k, l] .uj (rg*sin(fi) *cos (psi) , rg*sin(fi) *sin (psi) , rg*cos (fi) );
  end;
end;
qk:='N';
racs; konfig('ZMB'); eger_n; parancs(2); bvalt; racs;
kpontok(nu,nv,0,0);
repeat
  eger_t(kx0,2,620,ky0); eger_l; qr:=' '; b:=0;
  repeat par_katt(2,qr); kp_r_katt(nu,nv); until qr in valasz;
  eger_n;
  case qr of
    'V':begin {kontrollpont kiválasztása és koordinátáinak
              módosítása}
      gb[3]:=0; fe:=0; racs; kpontok(nu+1,nv,1,0);
      gb[1]:=1; parancs(2); if b=0 then sorszam(nu, nv);
      inform(szx,szy,' Hely: '); kp_kor(szx,szy,12);
      koordin3('Hely');
      if qr<>char(27) then
        if (szy=0) or (szy=nv) then for k:=0 to nu do
          a[k,szy] .uj (x,y,z)
          else a [szx, szy] . uj (x, y, z) ;
          kp_kor(szx,szy,7); racs; kpontok(nu+1,nv,1,0);
          gb[1]:=0; lap(208,5); setfillstyle(1,11);
          bar(130,470,590,480);
          fl:=0;
        end;
    'F':begin {felületmegjelenítés}
      gb[3]:=1; parancs(2); fe:=1;
      megj; rajz; gb[3]:=0;
    end;
    'E':if fe=1 then begin {felületmegjelenítés keret nélkül}
      gb[2]:=1; parancs(2);
      megj; cleardevice;
      rajz; fg; gb[2]:=0;
      keret(kx0, ky0) ; kp_racs (nu, nv) ; megj; rajz;
    end;
    'A':begin {eltolásmódosítás}
      gb[7]:=1; bvalt;
      irany; eltl; if bl<0.05 then bl:=0.05; if bl>20 then
        bl:=20;
      case qd of
        'U':begin blu:=b1; fdu:=0; end;
        'V':begin blv:=b1; fdv:=0; end;
      end;
      gb[7]:=0; lap(208,5); fl:=0;
    end;
    'C':begin {feszültségmódosítás}

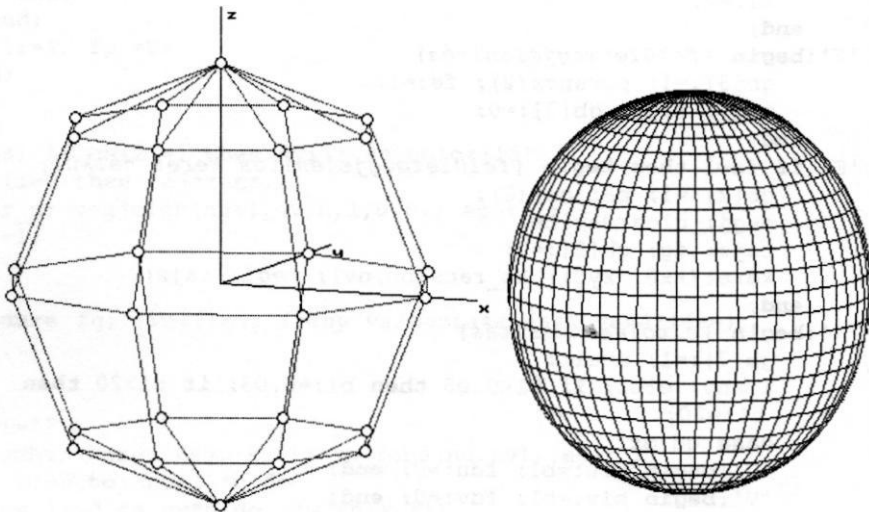
```

```

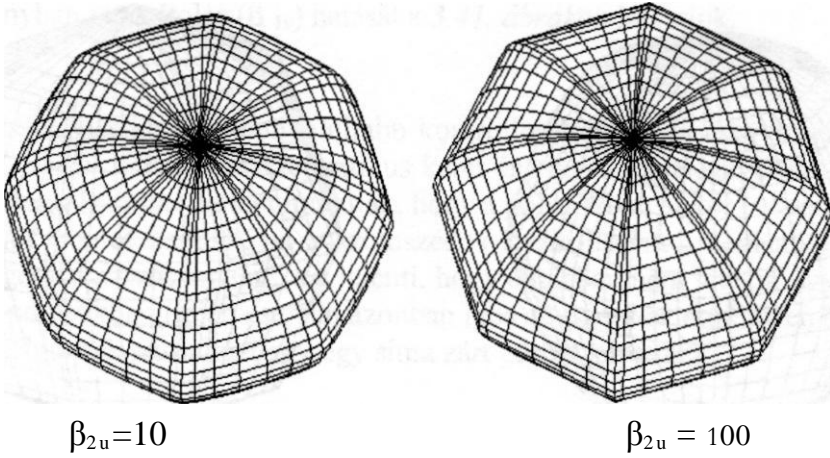
gb[8]:=1; bvalt; irany; fesz;
case qd of
  'U':begin b2u:=b2; fdu:=0; end;
  'V':begin b2v:=b2; fdv:=0; end;
end;
gb(8):=0; lap(208,5);
fl:=0;
end;
'Q':begin {kilépés}
  gb[4]:=1; parancs(2); fe:=0;
  repeat kilep('ZMB') until not ((v='N') and (qm='I'));
  vege; if qk='N' then ujkonf;
  if qu='N' then begin gb[3]:=0; racs; kponatok(nu,nv,0,0);
    end;
  gb[4]:=0;
end;
end;
parancs(2); bvalt;
until (qk='I') or (qu='I');
gb[3]:=0; parancs(2);
until qu='N';
closegraph;
end.

```

A különböző alakparamétereknek a felületre gyakorolt hatását a 3.37. a) ábrán látható, gömbbe írt, karakterisztikus poliéderrel szerkesztett zárt felületek szemléltetik.

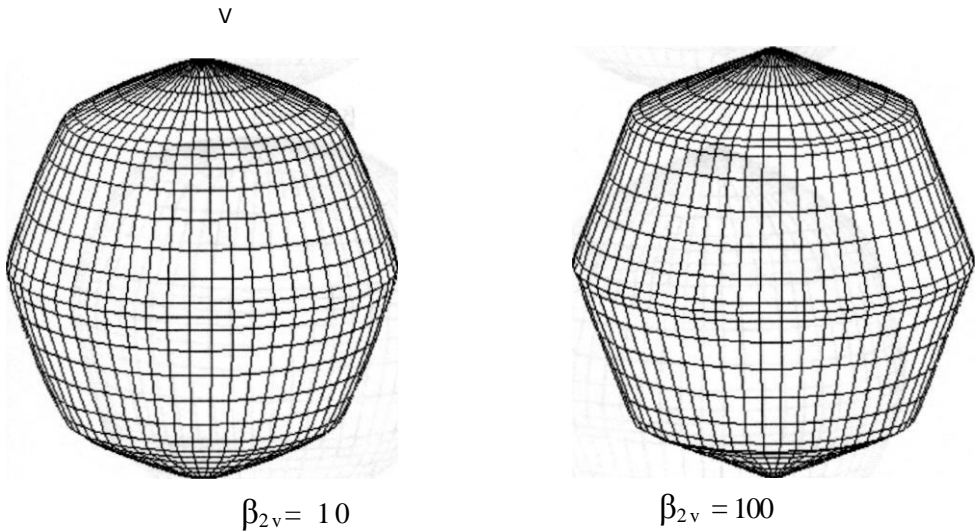


3.37. ábra



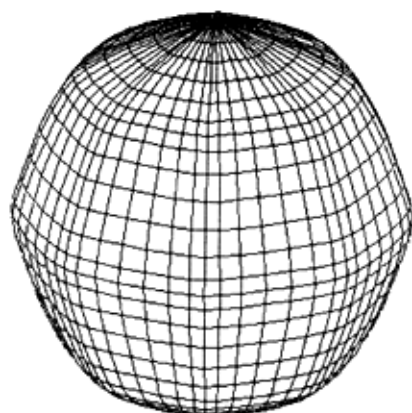
3.38. ábra

A 3.37.b) ábrán a harmadfokú B-spline ( $\beta_i, \beta_{iv} = 1, \beta_{2u} = \beta_{2v} = 5$ ) felület látható, a 3.38. ábrán  $\beta$ -spline felületek  $u$  irányban pozitív feszültséggel, a 3.39. ábrán  $\beta$ -spline felületek  $v$  irányban pozitív feszültséggel, a 3.40. ábrán pedig  $\beta$ -spline felületek láthatók  $u$  és  $v$  irányban pozitív feszültséggel.

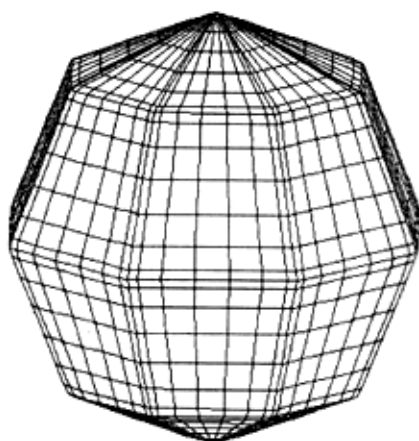


3.39. ábra



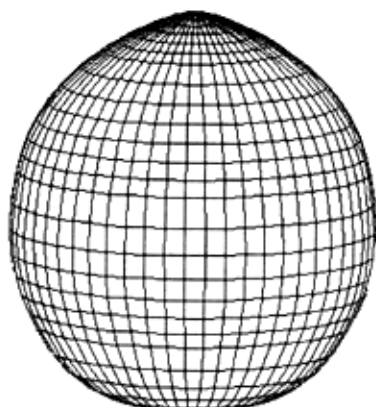


$$\beta_{2u} = \beta_{2v} = 5$$

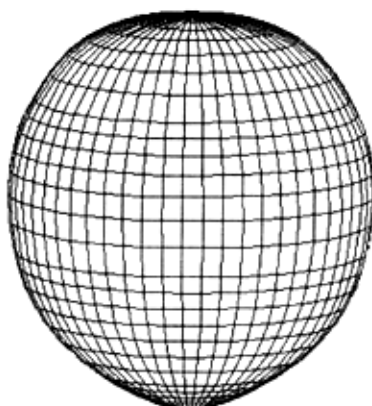


$$\beta_{2u} = \beta_{2v} = 100$$

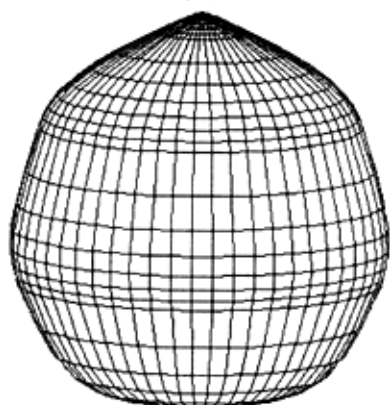
3.40. ábra



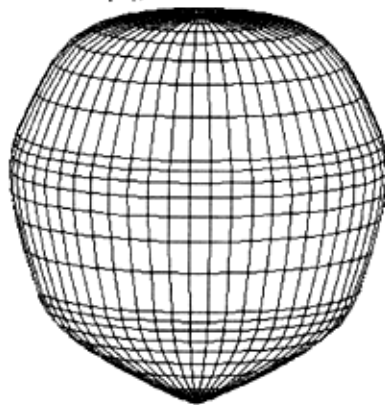
$$\beta_{1v} = 2$$



$$\beta_{1v} = 0.5$$



$$\beta_{1v} = 5$$

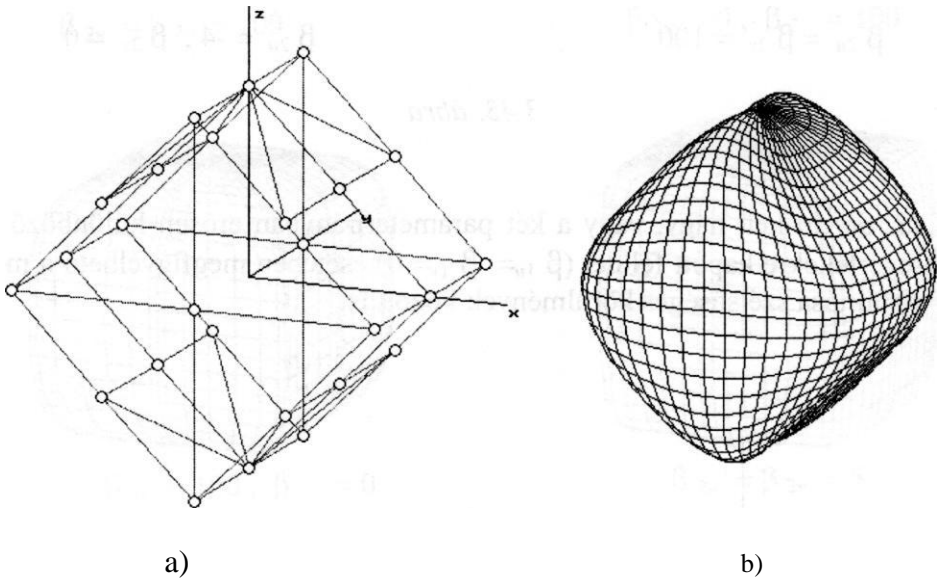


$$\beta_{1v} = 0.2$$

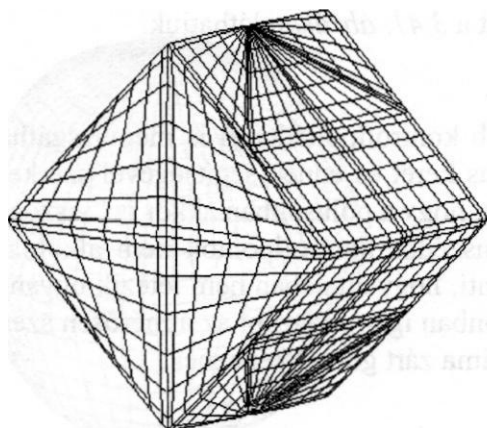
3.41. ábra

A  $v$  irányban vett eltolás ( $\beta_{1v}$ ) hatását a 3.41. ábrákon láthatjuk.

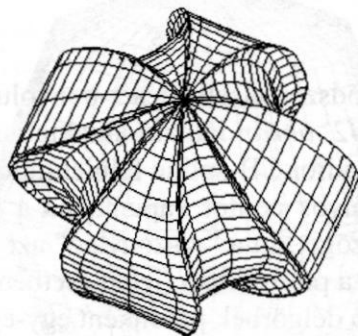
A módszer viselkedését bonyolultabb kontrollpoliéderrel is megvizsgálhatjuk. A 3.42. ábrán látható karakterisztikus keret és ennek segítségével szerkesztett harmadfokú B-spline felület mutatják, hogy a pólusokban akkor is "viszonylag" szabályos pontot kapunk, ha a szomszédos kontrollpontok nem alkotnak sík sokszöget. Itt a "viszonylag" azt jelenti, hogy általában nem létezik ugyan érintősík a pólusokban (jelen esetben azonban igen), viszont az átmérősen szemben fekvő délgörbék páronként egy-egy sima zárt görbét képeznek.



3.42. ábra



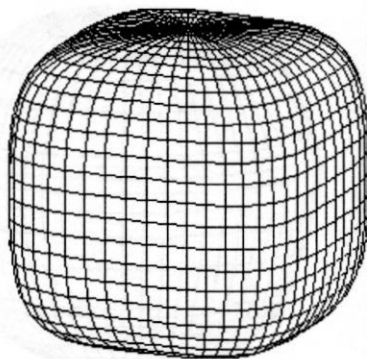
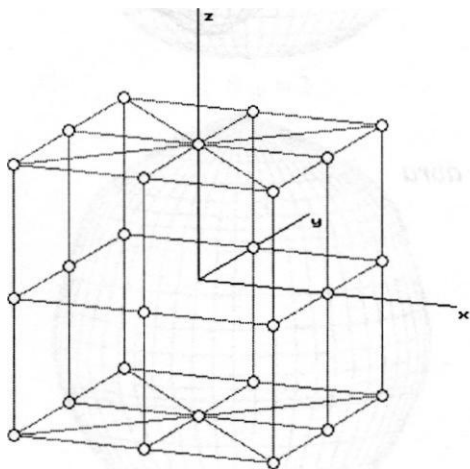
$$\beta_{2u} = \beta_{2v} = 100$$



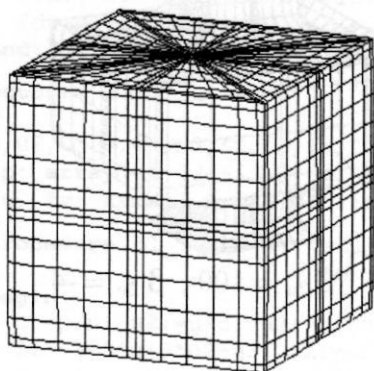
$$\beta_{2u} = -4, \beta_{2v} = 0$$

3.43. ábra

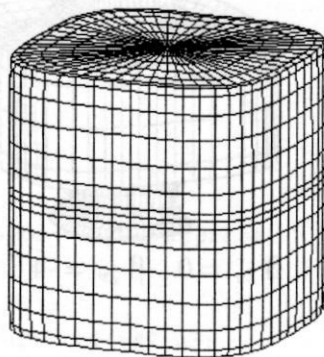
A 3.43. ábrán két, nagy, vagy a két paraméterirányban erősen különböző feszültségértékekre kapott felület ( $\beta_{2u} = \beta_{2v} = 0$ ) esetében megfigyelhető a módszer stabilitása szélsőséges körülmények között is.



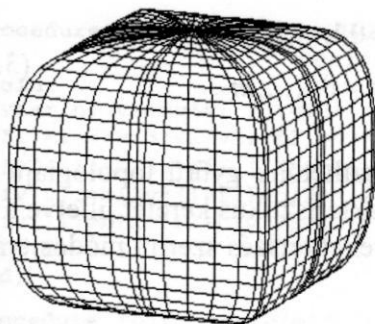
3.44. ábra



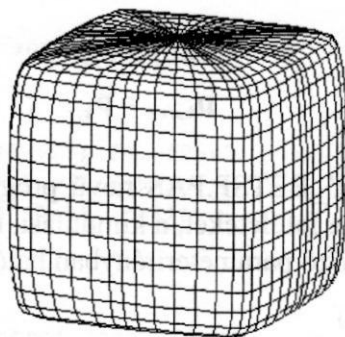
$$\beta_{2u} = \beta_{2v} = 100$$



$$\beta_{2u} = 0, \beta_{2v} = 100$$



$$\beta_{2u} = 100, \beta_{2v} = 0$$



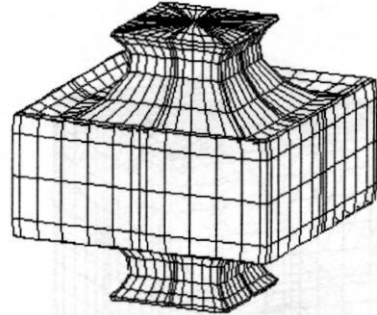
$$\beta_{2u} = \beta_{2v} = 5$$

3.45. ábra

A 3.44.a) ábrán látható karakterisztikus keret esetében a pólusokkal szomszédos kontrollpontok egy síkban fekszenek. A 3.44.b) ábrán a megfelelő harmadfokú B-splinefelület, a 3.45. ábrán pedig  $\beta$ -spline felületek láthatóak, pozitív feszültségértékekkel. Negatív feszültséggel a karakterisztikus poliédertől nagymértékben eltérő felületeket is kaphatunk (3.46. ábra). Arra is figyelni kell, hogy bizonyos (a kontrollpoliéder alakjától és az alakparaméterek értékétől függő) körülmények között önátható felületet is kaphatunk, ami legtöbb esetben elkerülendő.



$$\beta_{2u} = 0, \beta_{2v} = -4$$



$$\beta_{2u} = 100, \beta_{2v} = -4$$

3.46. ábra

Gyűrű topológiájú zárt felületek esetében mindkét irányú paramétergörbék zártak, ezért elegendő a karakterisztikus keret megfelelő ciklikus bezárása a szerkesztési patch-ek felépítésénél:

$$\begin{aligned} \mathbf{p}_{m+i,l} &= \mathbf{p}_{i,l} & ; & & i=1,2,3, \quad l=0,1,\dots,n \\ \mathbf{p}_{k,n+j} &= \mathbf{p}_{k,j} & ; & & j=1,2,3, \quad k=0,1,\dots,m \end{aligned} \quad (3.5)$$

A ZY\_BETSP.PAS nevű programmal szerkeszthetünk gyűrű topológiájú  $\beta$ -spline felületeket, a kiindulási, tóruszba írt karakterisztikus keretet, illetve a különböző paraméterirányban ható alakparamétereket tetszés szerint módosítva.

(\$N+)

**program** zy\_betsp;

(gyűrű topológiájú zárt felületek  $\beta$ -spline közelítéssel)

**uses**

graph, grafind, crt, dos, kozos, kozos\_3d, kerdesek,  
rajz\_f3d, konf 3d, komm\_fel, eger kez, gomb kez;

**const**

nu=7; nv=4; ru=160; ry=60; n=10;  
v a l a s z :    k a r s    =  
valasz\_f: kars = ['D','T', fel, le, jobb, bal, char(27)];

**var**

fi, psi: single;  
b12u, b13u, du, b12v, b13v, dv, dd: real;  
fdu, fdv: byte;

**procedure** delta\_u;

**begin**

b12u:=blu\*blu; b13u:=b12u\*blu; du:=b13u+2\*(b12u+blu)+b2u+1;  
fdu:=1;

**end;**

```

procedure delta_v;
  begin
    bl2v:=blv*blv; bl3v:=bl2v*blv; dv:=bl3v+2*(bl2v+blv)+b2v+1;
    fdv:=1;
  end;

procedure rajz;
var
  u,u2,u3,v,v2,v3,f1,f2,f3,f4: single;
  kp: array[-1..2,-1..2] of pont3;
  fu, fv: array[-1..2] of single;

procedure bl_funct_u; {súlyfüggvények u irányban - pályagörbék
                      mentén}
begin
  u:=p/n; u2:=u*u; u3:=u2*u;
  f1:=1-3*u+3*u2-u3; f2:=u2*(3-u); f3:=u*(3-u2); f4:=f2-
  u3; fu[-1]:=b13u*f1; ( $\beta$ -spline súlyfüggvények u
  irányban) fu[0]:=b13u*(1-f1)+b12u*(2-f2)+blu*(2-
  f3)+b2u*(1-f4); fu[1]:=b12u*f2+blu*f3+b2u*f4+1-u3;
  fu[2]:=u3;
end;

procedure bl_funct_v; {súlyfüggvények v irányban - leírógörbék
                      mentén}
begin
  v:=r/n; v2:=v*v; v3:=v2*v;
  f1:=1-3*v+3*v2-v3; f2:=v2*(3-v); f3:=v*(3-v2); f4:=f2-
  v3; fv[-1]:=b13v*f1; ( $\beta$ -spline súlyfüggvények v
  irányban) fv[0]:=b13v*(1-f1)+b12v*(2-f2)+blv*(2-
  f3)+b2v*(1-f4); fv[1]:=b12v*f2+blv*f3+b2v*f4+1-v3;
  fv[2]:=v3;
end;

procedure folt; {felületfoltok (patch) kontrollpontjainak
                 összerendelése}
var tu, tv: integer;
begin
  for i:=-1 to 2 do begin
    tu:=k+i;
    case tu of
      -1:tu:=nu;
      nu+1:tu:=0;
      nu+2:tu:=1;
    end;
    for j:=-1 to 2 do begin
      tv:=1+j;
      case tv of
        -1:tv:=nv;
        nv+1:tv:=0;
        nv+2:tv:=1;
      end;
      kp[i,j]:=a[tu,tv];
    end;
  end;

```

```
end;
end;

function xx: single;
var s: single;
begin
  s:=0;
  for i:=-1 to 2 do
    for j:=-1 to 2 do
      s:=s+kp[i,j].xp*fu[i]*fv[j];
    xx:=s/dd;
  end;

function yy: single;
var s: single;
begin
  s:=0;
  for i:=-1 to 2 do
    for j:=-1 to 2 do
      s:=s+kp[i,j].yp*fu[i]*fv[j];
    yy:=s/dd;
  end;

function zz: single;
var s: single;
begin
  s:=0;
  for i:=-1 to 2 do
    for j:=-1 to 2 do
      s:=s+kp[i,j].zp*fu[i]*fv[j];
    zz:=s/dd;
  end;

procedure rajzracs; {felületháló csomópontjainak kiszámítása}
begin
  if fdu=0 then begin
    delta_u;
    if abs(du)<0.1 then begin
      if du<0 then b2u:=b2u-1 else b2u:=b2u+1;
      delta_u; end; {nullaosztás elkerülése}
    end;
  if fdv=0 then begin
    delta_v;
    if abs(dv)<0.1 then begin
      if dv<0 then b2v:=b2v-1 else b2v:=b2v+1;
      delta_v; end; {nullaosztás elkerülése}
    end;
  dd:=du*dv;
  for p:=0 to n do begin
    bl_funct_u;
    for r:=0 to n do begin
      bl_funct_v;
      for k:=0 to nu do
        for l:=0 to nv do begin
          folt;
```

```

        rp [ k*n+p, l*n+r] ^ . uj (xx, yy, zz) ;
    end;
end;
end;
    fl:=1; fp:=0;
end;

begin
    racs; if gb[2]=1 then nyil; setcolor(15);
    if fl=0 then rajzracs;
    eger_n; megjelen(nu+1,nv+1,n,1,1,0); eger_1;
    fr:=1;
end;

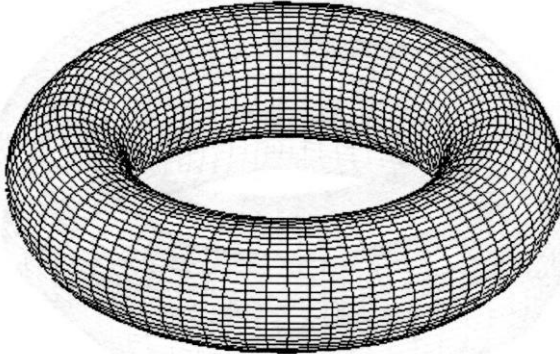
procedure fg; {vetítési irány változtatásának vezérlése}
    .....
begin
    obj:='F';
    grindhi; keret(kx0, ky0); kp_racs(nu,nv); eger_k;
    for k:=0 to (nu+1)*n do
        for l:=0 to (nv+1)*n do new(rp[k,l]);
    for k:=1 to (nu+1)*(nv+1) do new(hl[k]);
    repeat
        qu:='N'; ap:=0.3; bp:=-0.7; cp:=0.4; fl:=0; fr:=0; fp:=0; fe:=0;
        nvl:=sqrt(sqr(ap)+sqr(bp)); nv2:=nvl*sqrt(sqr(nvl)+sqr(cp));
        for k:=0 to nu do begin {kezdőkonfiguráció - gyűrű}
            psi:=2*pi*k/(nu+1);
            for l:=0 to nv do begin
                fi:=2*pi*l/(nv+1)+pi/2;
                a[k,l] .uj ((ru+ry*sin(fi))*cos(psi), (ru+ry*sin(fi)) *sin(psi),
                    ry*cos(fi)) ;
            end;
        end;
    end;
    qk:='N';
    racs; konfig('ZYB'); eger_n; parancs(2); bvalt;
    racs; kpontok(nu+1,nv+1,1,1);
    repeat
        eger_t(kx0,2,620,ky0); eger_1; qr:=' '; b:=0;
        repeat par_katt(2,qr); kp_r_katt(nu,nv); until qr in valasz;
        eger_n;
        case qr of
            'V':begin {kontrollpont kiválasztása és koordinátáinak
                módosítása}
                gb[3]:=0; fe:=0; racs; kpontok(nu+1,nv+1,1,1);
                gb[1]:=1; parancs(2); if b=0 then sorszam(nu, nv);
                inform(szx, szy, ' Hely: ');kp_kor (szx, szy, 12) ;
                koordin3('Hely');
                if qr<>char(27) then a[szx,szy].uj(x,y,z);
                kp_kor(szx,szy,7); racs; kpontok(nu+1,nv+1,1,1);
                gb[1]:=0; lap(208,5); setfillstyle(1,11);
                bar(130,470,590,480);
                fl:=0;
            end;
        end;
    end;
end;

```



### 3. FEJEZET

```
'F':begin {felületmegjelenítés}
    gb[3]:=1; parancs(2); fe:=1;
    megj; rajz; gb[3] :=0;
end;
'E':if fe=1 then begin {felületmegjelenítés keret nélkül}
    gb[2]:=1; parancs(2);
    megj; cleardevice;
    rajz; fg; gb[2]:=0;
    keret(kx0, ky0); kp_racs(nu,nv); megj; rajz;
end;
'A':begin (eltolásmódosítás)
    gb[7]:=1; bvalt;
    irany; eltl; if b1(0.05 then b1:=0.05; if b1>20 then
    bl :=20;
    case qd of
    'U':begin blu:=b1; fdu:=0;
    end; 'V':begin blv:=b1;
    fdv:=0; end; end;
    gb[7]:=0; lap(208,5);
    fl:=0;
end;
'C':begin {feszültségmódosítás}
    gb[8]:=1; bvalt;
    irany; fesz;
    case qd of
    'U':begin b2u:=b2; fdu:=0; end;
    'V':begin b2v:=b2; fdv:=0; end;
    end;
    gb[8]:=0; lap(208,5);
    fl:=0;
end;
'Q':begin (kilépés)
    gb[4]:=1; parancs(2); fe:=0;
    repeat kilep('ZYP') until not ((v='N') and
    (qm='I')); vege; if qk='N' then ujkonf; if
    qu='N' then begin gb[3]:=0; racs;
    kpontok(nu+1,nv+1,1,1); end;
    gb[4]:=0;
end;
end;
parancs(2); bvalt;
until (qk='I') or (qu='I');
gb[3]:=0; parancs(2);
until qu=' N' ;
ciosegraph;
end.
```

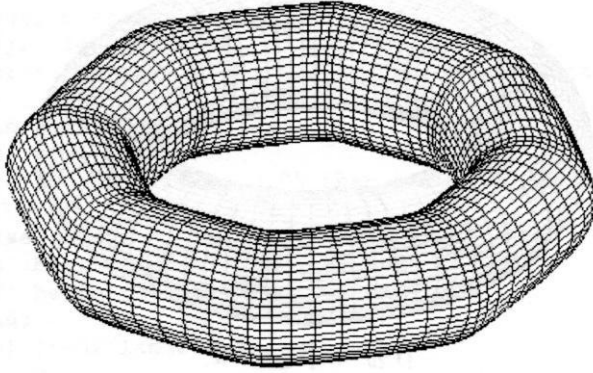


$$\beta_{2u} = \beta_{2v} = 0$$

3.47. ábra

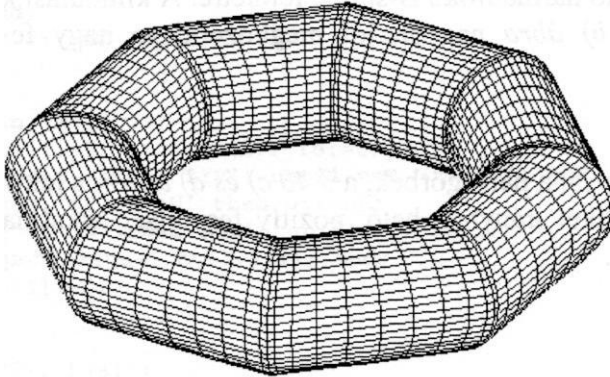
Az alábbi ábrákon a pozitív feszültség hatását szemléltetjük ( $\beta_{1v} = 1$ ) a 3.47. ábrán látható harmadfokú B-spline felületre. A kiindulási karakterisztikus poliédert a 3.49.b) ábra nagyon jól megközelíti (a nagy feszültségértékek miatt).

A 3.48 a) és b) ábrán a pályagörbék, a 3.48 c) és d) ábrán a leírógörbék, a 3.49. ábrán pedig mindkét irányban ható, pozitív feszültség alkalmazásával kapott felületek láthatók.



a)

$$\beta_{2u} = 10, \beta_{2v} = 0$$



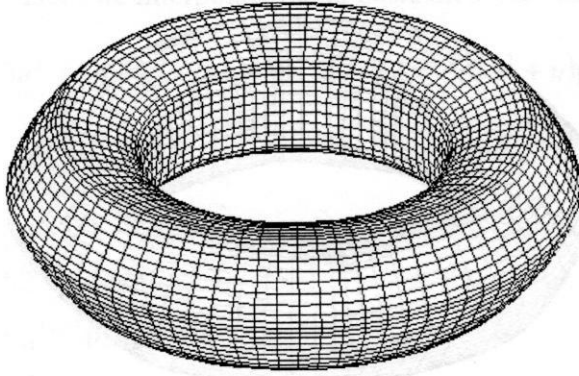
b)

$$\beta_{2u} = 100, \beta_{2v} = 0$$

3.48. ábra

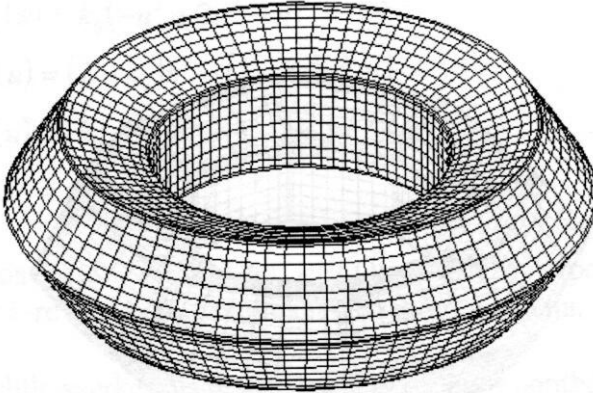
$$\beta_{2u} = 0, \beta_{2v} = 100$$

3. 48. ábra

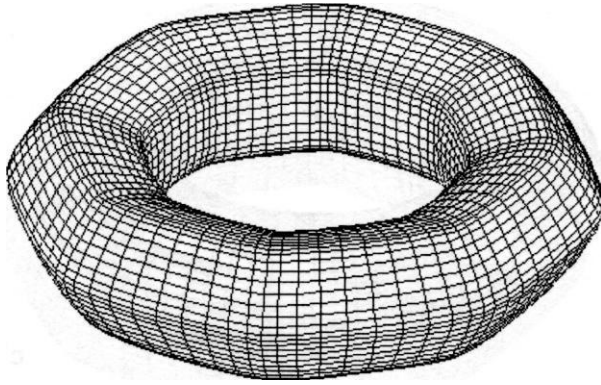


c)

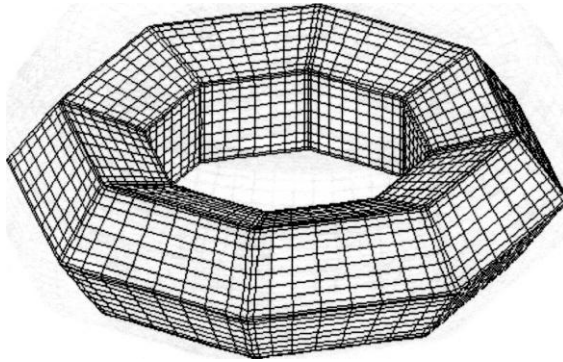
$$\beta_{2u} = 0, \beta_{2v} = 5$$



d)



$$\beta_{2u} = \beta_{2v} = 5$$



$$\beta_{2u} = \beta_{2v} = 100$$

3. 49. ábra

### 3.3.6. Helyi ellenőrzésű spline interpoláció

A görbék Coons-Hermite interpolációjánál használt előállításban:

$$\mathbf{r}(u) = (2u^3 - 3u^2 + 1)\mathbf{p}_i + (-2u^3 + 3u^2)\mathbf{p}_{i+1} + (u^3 - 2u^2 + u)\mathbf{p}_i' + (u^3 - u^2)\mathbf{p}_{i+1}' \quad (3.58)$$

az érintőket

$$\begin{aligned} \mathbf{p}_i' &= (\mathbf{p}_{i+1} - \mathbf{p}_{i-1})k_0 \\ \mathbf{p}_{i+1}' &= (\mathbf{p}_{i+2} - \mathbf{p}_i)k_0 \end{aligned} \quad (3.59)$$

képletekkel számolva a következő előállítást

$$\mathbf{r}(u) = \sum_{j=-1}^2 f_j(u)\mathbf{p}_{i+j}; \quad i = 0, 1, \dots, n-1, \quad u \in [0, 1] \quad (3.60)$$

ahol

$$\begin{aligned} f_{-1}(u) &= k_0(-u^3 + 2u^2 - u) \\ f_0(u) &= (2 - k_0)u^3 - (3 - k_0)u^2 + 1 \\ f_1(u) &= (k_0 - 2)u^3 + (3 - 2k_0)u^2 + k_0u \\ f_2(u) &= k_0(u^3 - u^2) \end{aligned} \quad (3.61)$$

amelynek sajátos esete -  $k_0 = 0.5$ -tel - az Overhauser interpoláció. A 3.61 előállítás rögzített  $i$ -re a  $\mathbf{p}_i$  és  $\mathbf{p}_{i+1}$  pontokat összekötő ívet adja.

Ez az eljárás felületszerkesztésre is alkalmas. Az  $m \times n$  pontból álló karakterisztikus kereten  $4 \times 4$ -es patcheket tekintve:

$$\mathbf{P} = \begin{bmatrix} \mathbf{p}_{i-1,j-1} & \mathbf{p}_{i-1,j} & \mathbf{p}_{i-1,j+1} & \mathbf{p}_{i-1,j+2} \\ \mathbf{p}_{i,j-1} & \mathbf{p}_{i,j} & \mathbf{p}_{i,j+1} & \mathbf{p}_{i,j+2} \\ \mathbf{p}_{i+1,j-1} & \mathbf{p}_{i+1,j} & \mathbf{p}_{i+1,j+1} & \mathbf{p}_{i+1,j+2} \\ \mathbf{p}_{i+2,j-1} & \mathbf{p}_{i+2,j} & \mathbf{p}_{i+2,j+1} & \mathbf{p}_{i+2,j+2} \end{bmatrix}; \quad \begin{cases} i = 0, 1, \dots, m \\ j = 0, 1, \dots, n \end{cases} \quad (3.62)$$

az

$$\mathbf{r}(u, v) = [f_0(u) \ f_1(u) \ f_2(u) \ f_3(u)] \cdot \mathbf{P} \cdot [f_0(v) \ f_1(v) \ f_2(v) \ f_3(v)]^T$$

$$(u, v) \in [0,1] \times [0,1]$$
(3.63)

előállítású felületfolt a  $\mathbf{p}_{ij}$ ,  $\mathbf{p}_{i+1j}$ ,  $\mathbf{p}_{i+1j+1}$ ,  $\mathbf{p}_{ij+1}$  pontokra illeszkedik. A 3.63 előállítás súlyfüggvényei formailag a 3.61 súlyfüggvényekkel megegyezők, a  $k_0$  alakparaméter viszont a két paraméterirányban különböző lehet -  $k_{0u}$  és  $k_{0v}$ .

Nyílt felület szélein álló kontrollpontokat kétszeresnek tekintjük, így a felületet szegélyező görbék a karakterisztikus keret szélein álló pontokat interpoláló, a 3.61-hez hasonló előállítású görbék lesznek.

Ezt a módszert valósítja meg az F\_P\_HSPL.PAS program, amely megengedi az alakparaméterek interaktív megválasztását a  $[0,1]$  intervallumban.

```
{\$N+}

program f_p_hspl;
  {paraméteres előállítású nyílt felületek helyi ellenőrzésű spline 1
  interpolációval}

uses
  graph, grafind, crt, dos, kozos, kozos 3d, kerdesek, rajz_f3d,
  konf 3d, komm_fel, eger_kez, gomb kez;

const
  nu=4; nv=4; ax=80; ay=80; n=10;
  valasz: kars =
  valasz f: kars = ['D','T', fel, le, jobb, bal, char(27)];

procedure rajz;
var
  u, u2, u3, v, v2, v3 : single;
  kp: array[-1..2,-1..2] of pont3;
  fu, fv: array[-1..2] of single;

procedure súlyfugg; {súlyfüggvények kiszámítása}
begin
  u:=p/n; u2:=u*u; u3:=u2*u;
  fu[-1]:=(-u3+2*u2-u)*ku; fu[2]:= (u3-u2)*ku;
  fu[0]:=2*u3-3*u2+1-fu[2]; fu[1]:=-2*u3+3*u2-fu[-1];
  v:=r/n; v2:=v*v; v3:=v2*v;
  fv[-1]:=(-v3+2*v2-v)*kv; fv[2]:= (v3-v2)*kv;
  fv[0]:=2*v3-3*v2+1-fv[2]; fv[1]:=-2*v3+3*v2-fv[-1];
end;
```

```
procedure folt; (felületfoltok (patch) kontrollpontjainak  
összerendelése)
```

```
var tu, tv: integer;
```

```
begin
```

```
  for i:=-1 to 2 do begin
```

```
    tu:=k+i;
```

```
    case tu of
```

```
      -1:tu:=0;
```

```
      nu+1:tu:=nu;
```

```
    end;
```

```
    for j:=-1 to 2 do begin
```

```
      case tv of
```

```
        -1:tv:=0;
```

```
        nv+1:tv:=nv;
```

```
      end;
```

```
      kp[i,j].:=a[tu,tv];
```

```
    end;
```

```
  end;
```

```
end;
```

```
function xx: single;
```

```
var s: single;
```

```
begin
```

```
  s:=0;
```

```
  for i:=-1 to 2 do
```

```
    for j:=-1 to 2 do
```

```
      s:=s+kp[i,j].xp*fu[i]*fv[j];
```

```
  xx:=s
```

```
end;
```

```
function yy: single;
```

```
var s: single;
```

```
begin
```

```
  s:=0;
```

```
  for i:=-1 to 2 do
```

```
    for j:=-1 to 2 do
```

```
      s:=s+kp[i,j].yp*fu[i]*fv[j];
```

```
  yy:=s
```

```
end;
```

```
function zz: single;
```

```
var s: single;
```

```
begin
```

```
  s:=0;
```

```
  for i:=-1 to 2 do
```

```
    for j:=-1 to 2 do
```

```
      s:=s+kp[i,j].zp*fu[i]*fv[j];
```

```
  zz:=s
```

```
end;
```



```

procedure rajzracs; (felületháló csomópontjainak kiszámítása)
var p1, ri: byte;
begin
  for k:=0 to nu-1 do
    for l:=0 to nv-1 do begin
      folt;
      if k=0 then p1:=0 else p1:=1;
      if l=0 then r1:=0 else r1:=1;
      for p:=p1 to n do
        for r:=r1 to n do begin
          sulyfugg;
          rp[k*n+p, l*n+r]A.uj(xx,yy,zz);
        end;
      end;
    fl:=1; fp:=0;
  end;
begin
  racs; if gb[2]=1 then nyíl; setcolor(15);
  if fl=0 then rajzracs;
  eger_n; megjelen(nu,nv,n,0,0,1); eger_1;
  fr:=1;
end;
procedure fg; (vetítési irány változtatásának vezérlése)
  .....
begin
  obj ='H';
  grindhi; keret(kx0, ky0); kp_racs(nu,nv); eger_k;
  for k:=0 to nu*n do
    for l:=0 to nv*n do new(rp[k,l]);
  for k:=1 to nu*nv do new(hl[k]);
  repeat
    qu:='N'; ap:=0.3; bp:=-0.7; cp:=0.2; fl:=0; fr:=0; fp:=0; fe:=0;
    nvi:=sqrt(sqr(ap)+sqr(bp)); nv2:=nvi*sqrt(sqr(nvi)+sqr(cp));
    for k:=0 to nu do for l:=0 to nv do a[k,l].uj((k-nu/2)*ax,
      (l-nv/2)*ay,0);
    qk:='N';
    racs; konfig('FPS'); eger_n; parancs(2); bvalt; racs;
    kpontok(nu,nv,0,0);
    repeat
      eger_t(kx0,2,620,ky0); eger_1; qr:=' '; b:=0;
      repeat par katt(2,qr); kp_r_katt(nu,nv); until qr in valasz;
      eger_n;
      case qr of
        'V':begin {kontrollpont kiválasztása és koordinátáinak
          módosítása}
          gb[3]:=0; fe:=0; racs; kpontok(nu,nv,0,0);
          gb[1]:=1; parancs(2); if b=0 then sorszam(nu, nv);
          inform(szx,szy, ' Hely: ');
          kp_kor(szx,szy,12); koordin3('Hely');
          if qr<>char(27) then a[szx,szy].uj(x,y,z);

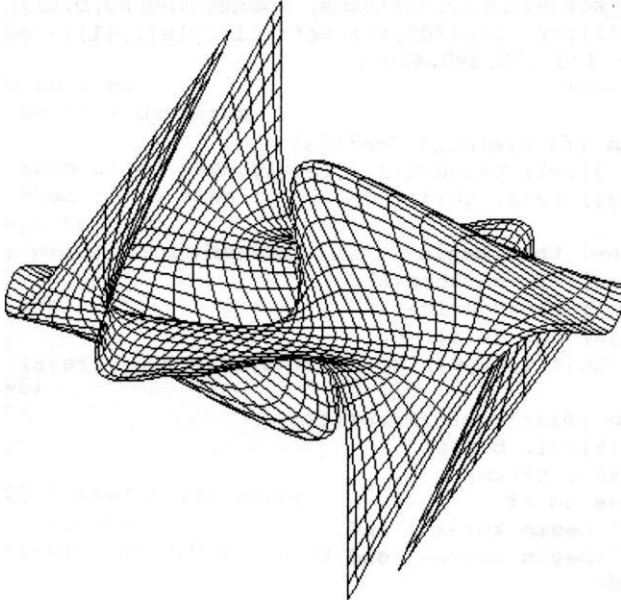
```

```

    kp_kor(szx,szy,7); racs; kpontok(nu,nv,0,0);
    gb[1]:=0; lap(208,5); setfilistyle(1,ii);
    bar(130,470,590,480);
    f1:=0;
  end;
  'F':begin {felületmegjelenítés}
    gb[3]:=1; parancs(2); fe:=1;
    megj; rajz; gb[3]:=0;
  end;
  'E':if fe=1 then begin {felületmegjelenítés keret nélkül}
    gb[2]:=1; parancs(2);
    megj; cleardevice;
    rajz; fg; gb[2]:=0;
    keret(kx0,ky0); kp_racs(nu,nv); megj; rajz;
  end;
  'C':begin {érintőhosszmódosítás}
    gb[8]:=1; bvalt;
    irány; param;
    case qd of
      'U':begin ku:=k0; end;
      'V':begin kv:=k0; end;
    end;
    gb[8]:=0; lap(208,5); f1:=0;
  end;
  'Q':begin {kilépcs}
    gb[4]:=1; parancs(2); fe:=0;
    repeat kilep('FPS') until not ((v='N') and (qm='I'));
    vege; if qk='N' then ujkonf;
    if qu='N' then begin gb[3]:=0; racs; kpontok(nu,nv,0,0);
      end;
    gb[4]:=0;
  end;
end;
parancs(2); bvalt;
until (qk='I') or (qu='I');
gb[3]:=0; parancs(2);
until qu='N';
closegraph;
end.

```

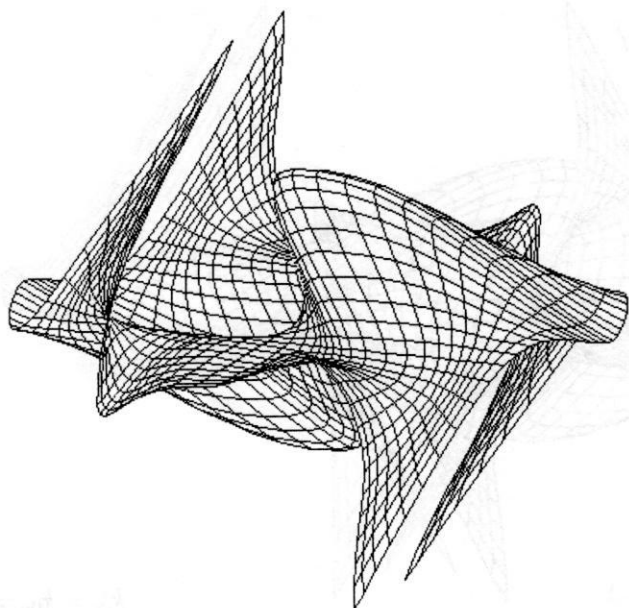
A 3.50. ábrán a 3.5. ábra karakterisztikus keretére illesztett Overhauser spline felület látható, a 3.51 - 3.54. ábrák pedig az alakparaméter változtatásának eredményét szemléltetik.



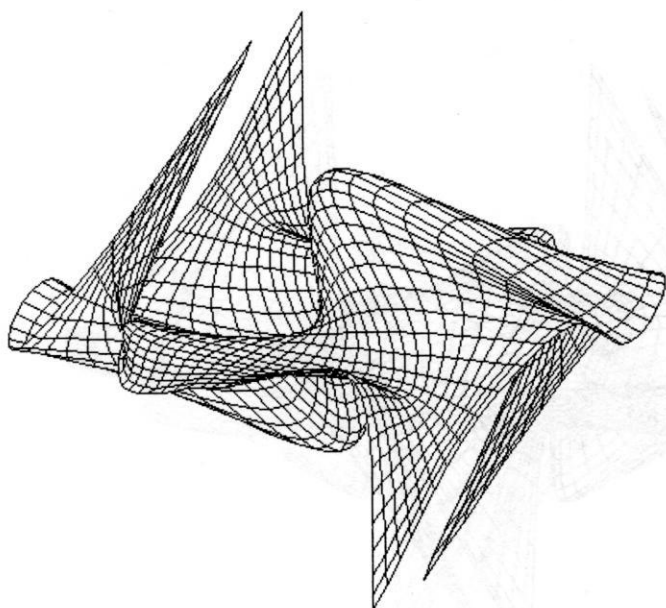
$$k_{0u} = k_{0v} = 0.5$$

3.50. ábra

Megfigyelhető, hogy  $k_0$  fordított feszültségként működik, 0-hoz közeli értékekre a felület mintegy ráfeszül a karakterisztikus keretre, 0.5 -nél nagyobb értékekre viszont meglazul, fodrozódik. A  $k_0$  paraméter tulajdonképpen az illető irányú paramétervonalak kontrollpontokbeli érintőinek hosszát befolyásolja. Túl nagy, vagy negatív értékekre a paramétergörbéken hurkok keletkeznek, a felület önáthatóvá válik.

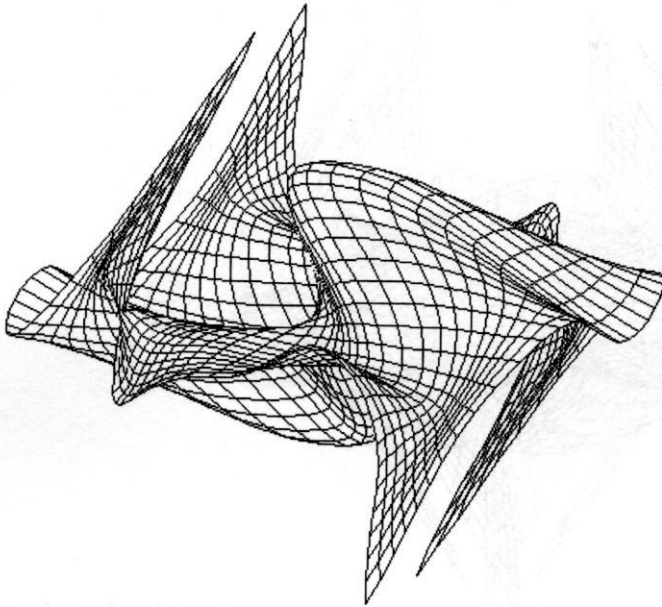


$$k_{0u} = 1, k_{0v} = 0.5$$

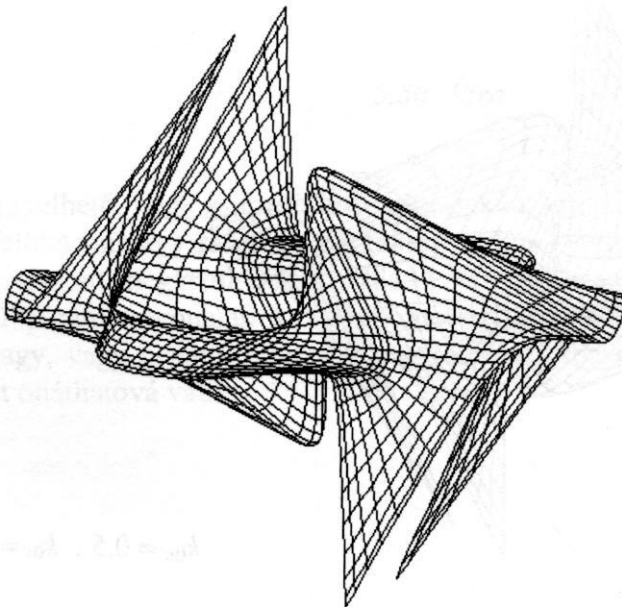


$$k_{0u} = 0.5, k_{0v} = 1$$

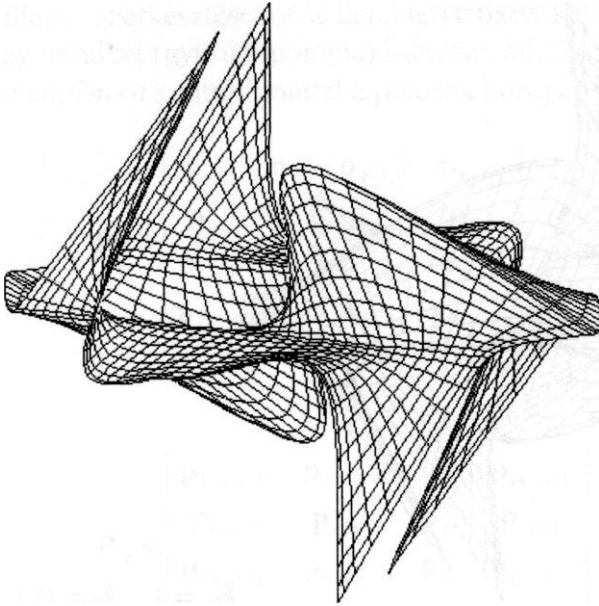
## 3.52. ábra



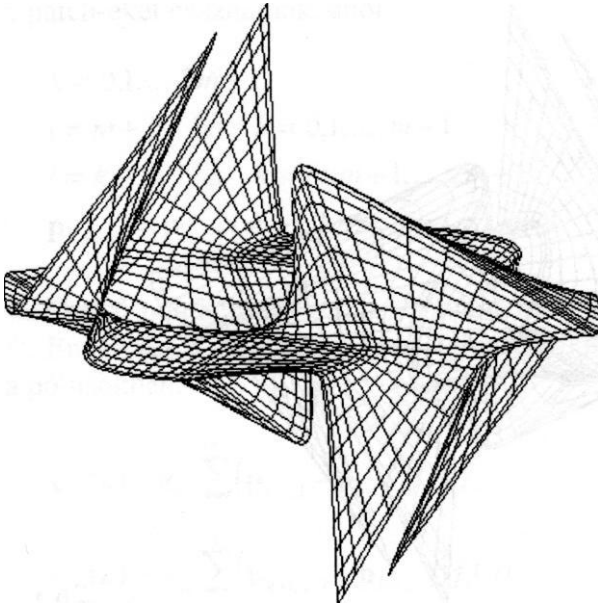
$$k_{0u} = k_{0v} = 1$$



$$k_{0u} = 0.2, k_{0v} = 0.5$$



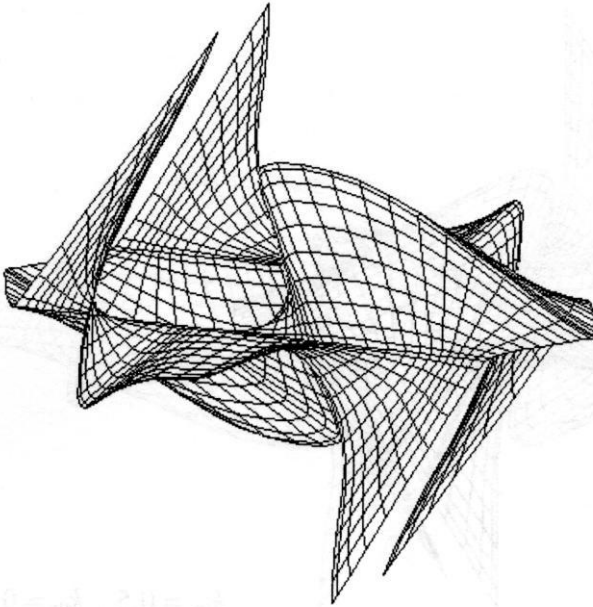
$$k_{0_u}=0.5, k_{0_v}=0.2$$



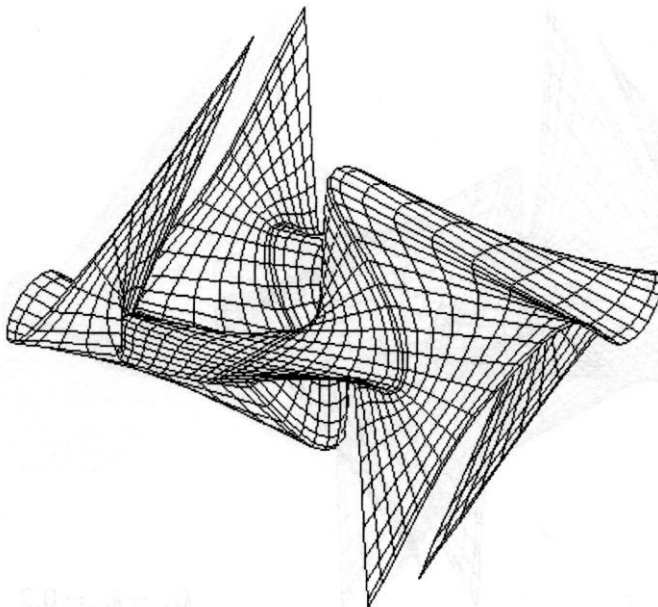
$$k_{0_u}=k_{0_v}=0.2$$

3.53. ábra

## 3.54. ábra



$$k_{0u} = 1, k_{0v} = 0.1$$



$$k_{0u} = 0.1, k_{0v} = 1$$

Zárt felületek szerkesztésekor a karakterisztikus keretet egyik (gömb topológia), vagy mindkét (gyűrű topológia) irányban ciklikusan bezárjuk. Gömb topológia esetén,  $2m \times n$  kontrollponttal a pólusok környezetében

$$\mathbf{P}_E = \begin{bmatrix} \mathbf{p}_{l+1,1} & \mathbf{p}_E & \mathbf{p}_{k-1,1} & \mathbf{p}_{k-1,2} \\ \mathbf{p}_{l,1} & \mathbf{p}_E & \mathbf{p}_{k,1} & \mathbf{p}_{k,2} \\ \mathbf{p}_{l-1,1} & \mathbf{p}_E & \mathbf{p}_{k+1,1} & \mathbf{p}_{k+1,2} \\ \mathbf{p}_{l-2,1} & \mathbf{p}_E & \mathbf{p}_{k+2,1} & \mathbf{p}_{k+2,2} \end{bmatrix}, \quad (3.64)$$

illetve

$$\mathbf{P}_D = \begin{bmatrix} \mathbf{p}_{k-1,n-2} & \mathbf{p}_{k-1,n-1} & \mathbf{p}_D & \mathbf{p}_{l+1,n-1} \\ \mathbf{p}_{k,n-2} & \mathbf{p}_{k,n-1} & \mathbf{p}_D & \mathbf{p}_{l,n-1} \\ \mathbf{p}_{k+1,n-2} & \mathbf{p}_{k+1,n-1} & \mathbf{p}_D & \mathbf{p}_{l-1,n-1} \\ \mathbf{p}_{k+2,n-2} & \mathbf{p}_{k+2,n-1} & \mathbf{p}_D & \mathbf{p}_{l-2,n-1} \end{bmatrix} \quad (3.65)$$

összeállítású patch-eket használunk, ahol

$$\begin{aligned} k &= 0, 1, \dots, 2m-1 \\ l &= m+k \quad \text{ha} \quad k = 0, 1, \dots, m-1 \\ l &= k-m \quad \text{ha} \quad k = m, m+1, \dots, 2m-1 \end{aligned}, \quad (3.66)$$

$$\mathbf{p}_{2m+i,j} = \mathbf{p}_{i,j}, \quad i = -1, 0, 1, 2, \quad j = 1, \dots, n-1$$

vagyis a pólust belső pontként tartalmazó patch-ek átterjednek a "szembenfekvő féltékére". Ennek (és a súlyfüggvények alakjának) következtében a délgörhék érintői a pólusokban:

$$\begin{aligned} \mathbf{t}_{v_E}(u) &= k_{0v} \sum_{i=-1}^2 (\mathbf{p}_{k+i,1} - \mathbf{p}_{l-i,1}) f_i(u) \\ \mathbf{t}_{v_D}(u) &= k_{0v} \sum_{i=-1}^2 (\mathbf{p}_{k+i,n-1} - \mathbf{p}_{l-i,n-1}) f_i(u) \end{aligned}. \quad (3.67)$$

Ez az eredmény azt mutatja, hogy két-két, topológiailag egymással szemben fekvő délgörbe egy-egy síma zárt görbét alkot és, amennyiben a pólussal szem-



szédos, egymással szemben fekvők kontrollpontokat összekötő vektorok egy síkban, vagy legalább egymással párhuzamos síkokban fekszenek, akkor a pólusban létezik érintősík.

A ZM\_HSPL.PAS program segítségével lehet gömb topológiájú zárt felületeket szerkeszteni helyi ellenőrzésű spline interpolációval, a kiindulási, gömbbe írt kontrollpoliéder és az alakparaméterek interaktív módosításával.

(\$N+)

```
program zm_hspl;
  (gömb topológiájú zárt felületek helyi ellenőrzésű spline
  interpolációval)
```

**uses**

```
graph, grafind, crt, dos, kozos, kozos 3d, kerdesek, rajz_f3d,
konf 3d, komm_fel, eger_kez, gomb kez;
```

**coast**

```
mm=4; nu=2*mm-1; nv=4; rg=160; n=10;
valasz: kars = ['E','F','Q','V','C'];
valasz f: kars = ['D','T', fel, le, jobb, bal, char(27)];
```

**var**

```
fi, psi: single;
```

**procedure** rajz;

**var**

```
u, u2, u3, v, v2, v3 : single;
kp: array[-1..2,-1..2] of ponti;
fu, fv: array[-1..2] of single;
```

**procedure** sulyfugg; (súlyfüggvények kiszámítása)

**begin**

```
u:=p/n; u2:=u*u; u3:=u2*u;
fu[-1]:=(-u3+2*u2-u)*ku; fu[2]:=(u3-u2)*ku;
fu[0]:=2*u3-3*u2+1-fu[2]; fu[1]:=-2*u3+3*u2-fu[-1];
v:=r/n; v2:=v*v; v3:=v2*v;
fv[-1]:=(-v3+2*v2-v)*kv; fv[2]:=(v3-v2)*kv;
fv[0]:=2*v3-3*v2+1-fv[2]; fv[1]:=-2*v3+3*v2-fv[-1];
```

**end;**

**procedure** folt; (felületfoltok (patch) kontrollpontjainak  
összerendelése)

**var** tu, tv, ts: integer;

**begin**

```
for i:=-1 to 2 do begin
  tu:=k+i;
  case tu of
    -1:tu:=nu;
```

```

nu+1:tu:=0;
nu+2:tu:=1;
end;
for j:=-1 to 2 do begin
  tv:=1+j;
  case tv of
    -1:begin tv:=1; if tu<mm then ts:=tu+mm else ts:=to-mm; end;
    nv+1:begin tv:=nv-1; if tu<mm then ts:=tu+mm else ts:=to-mm;
      end;
    else ts:=tu;
      end;
    kp[i,j]:=a[ts,tv];
  end;
end;
end;

function xx: single;
var s: single;
begin
  s:=0;
  for i:=-1 to 2 do
    for j:=-1 to 2 do
      s:=s+kp[i,j].xp*fu[i]*fv[j];
    end;
  end;
  xx:=s;
end;

function yy: single;
var s: single;
begin
  s:=0;
  for i:=-1 to 2 do
    for j:=-1 to 2 do
      s:=s+kp[i,j].yp*fu[i]*fv[j];
    end;
  end;
  yy:=s;
end;

function zz: single;
var s: single;
begin
  s:=0;
  for i:=-1 to 2 do
    for j:=-1 to 2 do
      s:=s+kp[i,j].zp*fu[i]*fv[j];
    end;
  end;
  zz:=s;
end;

procedure rajzracs; {felületháló csomópontjainak kiszámítása}
var pl, rl: byte;
begin
  for k:=0 to nu do
    for l:=0 to nv-1 do begin
      folt;
      if k=0 then pl:=0 else pl:=1;
    end;
  end;
end;

```

```

    if l=0 then r1:=0 else r1:=1;
    for p:=p1 to n do
        for r:=r1 to n do begin
            sulyfugg;
            rp[k*n+p,l*n+r]^uj (xx,yy,zz);
        end;
    end;
    fl:=1; fp:=0;
end;

begin
    racs; if gb[2]=1 then nyit; setcolor(15);
    if fl=0 then rajzracs;
    eger_n; megjelen(nu+1,nv,n,1,0,0); eger_1;
    fr:=1;
end;

procedure fg; {vetítési irány változtatásának vezérlése}
    .....
begin
    obj:='H';
    grindhi; keret(kx0, ky0); kp_racs(nu,nv); eger_k;
    for k:=0 to (nu+1)*n do
        for l:=0 to nv*n do new(rp[k,l]);
    for k:=1 to (nu+1)*nv do new(hl[k]);
    repeat
        qu:='N'; ap:=0.3; bp:=-0.7; cp:=0.2; fl:=0; fr:=0; fp:=0; fe:=0;
        nv1:=sqrt(sqr(ap)+sqr(bp)); nv2:=nv1*sqrt(sqr(nv1)+sqr(cp));
        for k:=0 to nu do begin {kezdőkonfiguráció - gömb}
            psi:=2*pi*k/(nu+1);
            for l:=0 to nv do begin
                fi:=pi*l/nv;
                a [k, l] .uj (rg*sin (fi) *cos (psi) , rg*sin (fi) *sin (psi) , rg*cos (fi)) ;
            end;
        end;
        qk:='N';
        racs; konfig('ZMS'); eger_n; parancs(2); bvalt; racs;
        kpontok(nu+1,nv,1,0);
        repeat
            eger_t(kx0,2,620,ky0); eger_1; qr:=' '; b:=0;
            repeat par katt(2,qr); kp r katt(nu,nv); until qr in valasz;
            eger_n;
            case qr of
                'V':begin {kontrollpont kiválasztása és koordinátáinak
                    módosítása}
                    gb[3]:=0; fe:=0; racs; kpontok(nu+1,nv,1,0);
                    gb[1]:=1; parancs(2); if b=0 then sorszam(nu, nv);
                    inform(szx,szy, ' Hely: '); kp_kor(szx,szy,12);
                    koordin3('Hely');
                    if qr<>char(27) then
                        if (szy=0) or (szy=nv) then for k:=0 to nu do
                            a[k, szy] .uj (x,y, z)

```

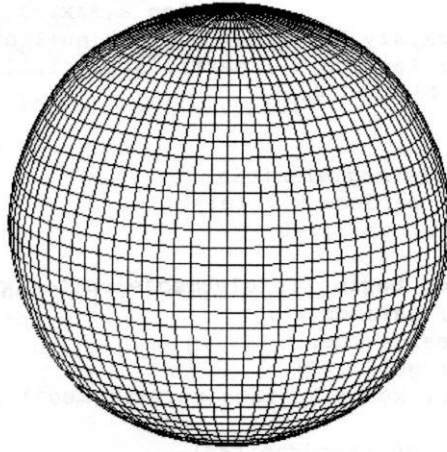
```

                                else a [szx, szy] . uj (x, y, z) ;
kp_kor(szx, szy, 7); racs; kpointok(nu+1, nv, 1, 0);
gb[1]:=0; lap(208, 5); setfillstyle(1, 11);
bar(130, 470, 590, 480);
fl:=0;
end;
'F':begin (felületmegjelenítés)
    gb[3]:=1; parancs(2); fe:=1;
    megj; rajz; gb[3]:=0;
end;
'E':if fe=1 then begin (felületmegjelenítés keret nélkül)
    gb[2]:=1; parancs(2);
    megj; cleardevice;
    rajz; fg; gb[2] :=0;
    keret(kx0, ky0); kp_racs(nu, nv); megj; rajz;
end;
'C':begin (érintőhosszmódosítás)
    gb[8]:=1; bvalt;
    irány; param;
    case qd of
        'U':begin ku:=k0; end;
        'V':begin kv:=k0; end;
    end;
    gb[8] :=0; lap(208, 5);
end;
'Q':begin (kilépés)
    gb[4]:=1; parancs(2); fe:=0;
    repeat kilep('ZMS') until not ((v='N') and (qm='I'));
    vege; if qk='N' then ujkonf;
    if qu='N' then begin gb[3]:=0; racs; kpointok(nu+1, nv, 1, 0);
                        end;
    gb[4]:=0;
end;
end;
parancs(2); bvalt;
until (qk='I') or (qu='I');
gb[3]:=0; parancs(2);
until qu='N';
closegraph;
end.

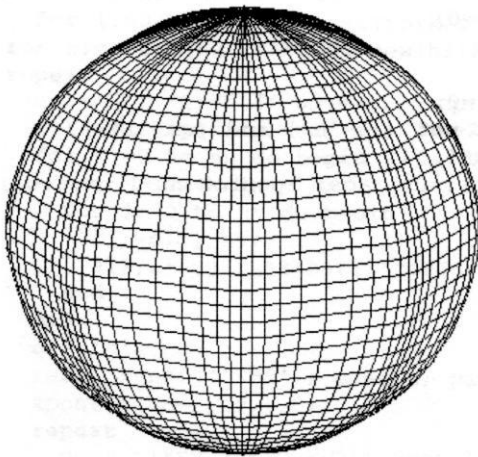
```

A 3.55. ábrán egy gömbbe írt karakterisztikus poliéder (3.37.a ábra) csúcsait interpoláló Overhauser spline felület látható. A felület szabályossága arra enged következtetni, hogy a  $k_{ou}^{\acute{e}s} k_o$  paraméterek természetes értéke 0.5.

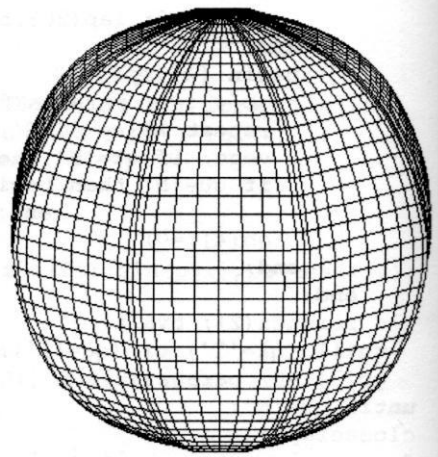
3.55. ábra



$$k_{0u} = k_{0v} = 0.5$$



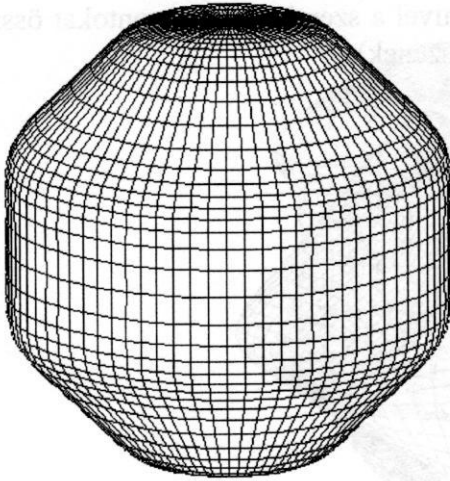
$$k_{0u} = 1, k_{0v} = 0.5$$



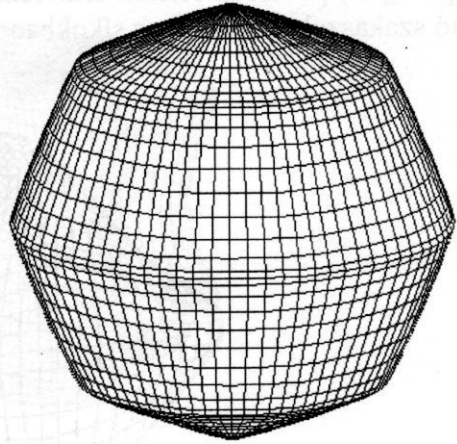
$$k_{0u} = 0.1, k_{0v} = 0.5$$

3.56. ábra

A 3.56. ábra a szélességi-, a 3.57. ábra a délgörbék menti alakparaméter hatását, míg a 3.58. ábra a két alakparaméter együttes hatását szemlélteti.

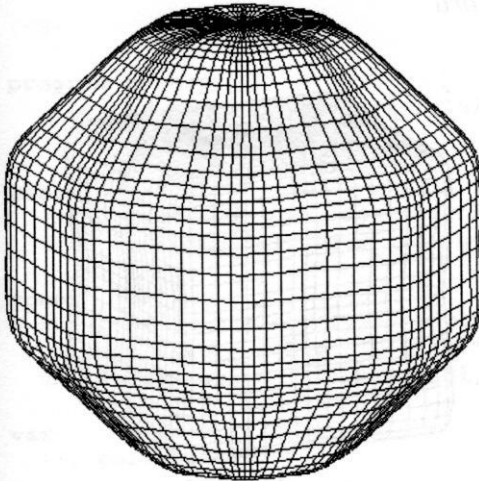


$$k_{0u} = 0.5, k_{0v} = 1$$

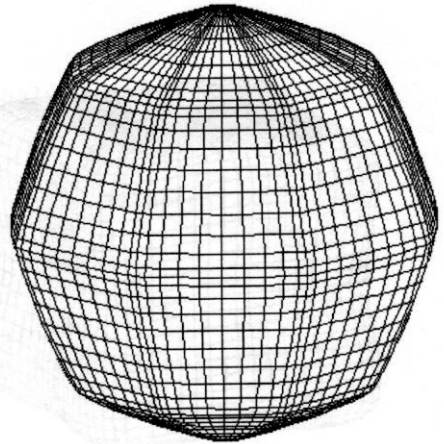


$$k_{0u} = 0.5, k_{0v} = 0.1$$

3.57. ábra



$$k_{0u} = k_{0v} = 1$$

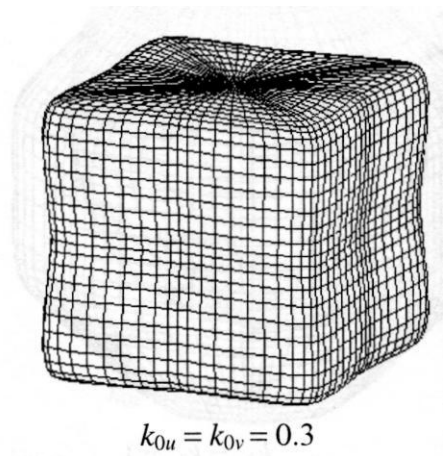
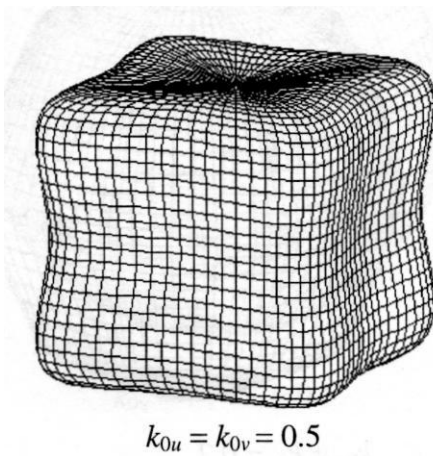
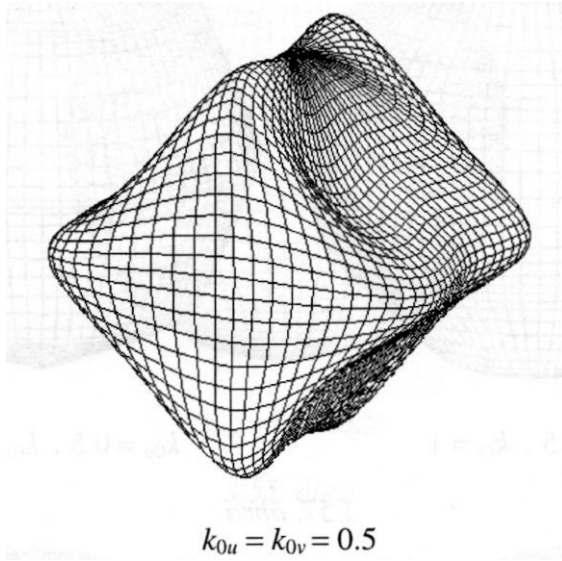


$$k_{0u} = k_{0v} = 0.2$$

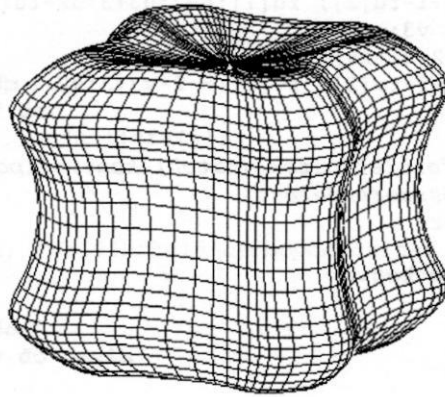
3.58. ábra

A 3.59. ábrán egy élére állított kockán elhelyezkedő kontrollpontrácsot (3.12. a) ábra) interpoláló Overhauser spline látható. Megfigyelhető, hogy bár a pólusokkal szomszédos kontrollpontok nem fekszenek mind ugyanabban a síkban, a

(topológiai) pólusban létezik érintősík (mivel a szembenfekvő pontokat összekötő szakaszok párhuzamos síkokban fekszenek).



A 3.60. ábrán a 3.13. a) ábra karakterisztikus keretére illesztett Overhauser felület és egy feszültség alkalmazásával kapott felület látható. A 3.61. ábrán ugyanarra a keretre illesztett "laza" felületet láthatjuk.



$$k_{0u} = k_{0v} = 1$$

3.61. ábra

Gyűrű topológiájú felületek szerkesztésére szolgál az alábbi, ZY\_HSPL.PAS nevű program.

```
{ $N+ }
```

```
program zy_hspl;
  {gyűrű topológiájú zárt felületek helyi ellenőrzésű spline
  interpolációval}

uses
  graph, grafind, crt, dos, kozos, kozos_3d, kerdesek, rajz_f3d,
  konf 3d, komm_fel, eger kez, gomb kez;

const
  nu=7; nv=4; ru=160; ry=60; n=10;
  valasz: kars =
  valasz f: kars = ['D','T', fel, le, job, bal, char(27)];

var
  fi, psi: single;

procedure rajz;
var
  u, u2, u3, w, w2, w3, v, v2, v3, t, t2, t3 : single;
  kp: array[-1..2,-1..2] of pont3;
  fu, fv: array(-1..2) of single;

procedure súlyfugg; {súlyfüggvények kiszámítása}
begin
  u:=p/n; u2:=u*u; u3:=u2*u;
```



```

fu[-1]:=(-u3+2*u2-u)*ku; fu[2]:=(u3-u2)*ku;
fu[0]:=2*u3-3*u2+1-fu[2]; fu[1]:=-2*u3+3*u2-fu[-1];
v:=r/n; v2:=v*v; v3:=v2*v;
fv[-1]:=(-v3+2*v2-v)*kv; fv[2]:=(v3-v2)*kv;
fv[0]:=2*v3-3*v2+1-fv[2]; fv[1]:=-2*v3+3*v2-fv[-1];
end;

procedure folt; {felületfoltok (patch) kontrollpontjainak
                 összerendelése)
var tu, tv: integer;
begin
  for i:=-1 to 2 do begin
    tu:=k+i;
    case tu of
      -1:tu:=nu;
      nu+1:tu:=0;
      nu+2:tu:=1;
    end;
    for j:=-1 to 2 do begin
      tv:=1+j;
      case tv of
        -1:tv:=nv;
        nv+1:tv:=0;
        nv+2:tv:=1;
      end;
      kp[i,j]:=a[tu,tv];
    end;
  end;
end;

function xx: single;
var s: single;
begin
  s:=0;
  for i:=-1 to 2 do
    for j:=-1 to 2 do
      s:=s+kp[i,j].xp*fu[i]*fv[j];
  xx:=s
end;

function yy: single;
var s: single;
begin
  s:=0;
  for i:=-i to 2 do
    for j:=-1 to 2 do
      s:=s+kp[i,j].yp*fu[i]*fv[j];
  yy:=s
end;

```

```

function zz: single;
var s: single;
begin
  s:=0;
  for i:=-1 to 2 do
    for j:=-1 to 2 do
      s:=s+kp[i,j].zp*fu[i]*fv[j];
    zz:=s
  end;

procedure rajzracs; (felületháló csomópontjainak kiszámítása)
var pl, r1: byte;
begin
  for k:=0 to nu do
    for l:=0 to nv do begin
      folt;
      if k=0 then pl:=0 else pl:=1;
      if l=0 then r1:=0 else r1:=1;
      for p:=pl to n do
        for r:=r1 to n do begin
          sulyfugg;
          rp[k*n+p,l*n+r]^uj (xx,yy,zz);
        end;
      end;
    fl:=1; fp:=0;
  end;

begin
  racs; if gb[2]=1 then nyil; setcolor(15);
  if fl=0 then rajzracs;
  eger_n; megjelen(nu+1,nv+1,n,1,1,0); eger_1;
  fr:=1;
end;

procedure fg; (vetítési irány váltortatásának vezérlése)
.....

begin
  obj ='H';
  grindhi; keret(kx0, ky0); kp_racs(nu,nv); eger_k;
  for k:=0 to (nu+1)*n do
    for l:=0 to (nv+1)*n do new(rp[k,l]);
  for k:=1 to (nu+1)*(nv+1) do new(hl[k]);
  repeat
    qu:='N'; ap:=0.3; bp:=-0.7; cp:=0.4; fl:=0; fr:=0; fp:=0; fe:=0;
    nvl:=sqrt(sqr(ap)+sqr(bp)); nv2:=nvl*sqrt(sqr(nvl)+sqr(cp));
    for k:=0 to nu do begin (kezdőkonfiguráció - gyűrű)
      psi:=2*pi*k/(nu+1);
      for l:=0 to nv do begin
        fi:=2*pi*l/(nv+1)+pi/2;
        a[k,l].uj((ru+rv*sin(fi))*cos(psi), (ru+ry*sin(fi))*sin(psi),
          ry*cos(fi));
      end;
    end;
  end;

```

```

end;
qk:='N';
racs; konfig('ZYS'); eger_n; parancs(2); bvalt; racs;
kpontok(nu+1,nv+1,1,1);

repeat
  eger_t(kx0,2,620,ky0); eger_1; qr:=' '; b:=0;
  repeat par_katt(2,qr); kp_r_katt(nu,nv); until qr in valasz;
  eger_n;
  case qr of

    'V':begin {kontrollpont kiválasztása és koordinátáinak
              módosítása}
      gb[3]:=0; fe:=0; racs; kpontok(nu+1,nv+1,1,1);
      gb[1]:=1; parancs(2); if b=0 then sorszam(nu, nv);
      inform(szx,szy,' Hely: '); kp_kor(szx,szy,12);
      koordin3('Hely');
      if qr<>char(27) then a[szx,szy].uj(x,y,z);
      kp_kor(szx,szy,7); racs; kpontok(nu+1,nv+1,1,1);
      gb[1]:=0; lap(208,5); setfillstyle(1,11);
      bar(130,470,590,480);
      fl :=0;
    end;

    'F':begin {felületmegjelenítés}
      gb[3]:=1; parancs(2);
      fe:=1; megj; rajz;
      gb[3]:=0; end;

    'E':if fe=1 then begin {felületmegjelenítés keret nélkül}
      gb[2]:=1; parancs(2);
      megj; cleardevice;
      rajz; fg; gb[2] :=0;
      keret(kx0, ky0); kp_racs(nu,nv); megj; rajz;
    end;

    'C':begin {érintőhosszmódosítás}
      gb[8]:=1; bvalt;
      irány; param;
      case qd of
        'U':begin ku:=k0; end;
        'V':begin kv:=k0; end;
      end;
      gb[8]:=0; lap(208,5); fl:=0;
    end;

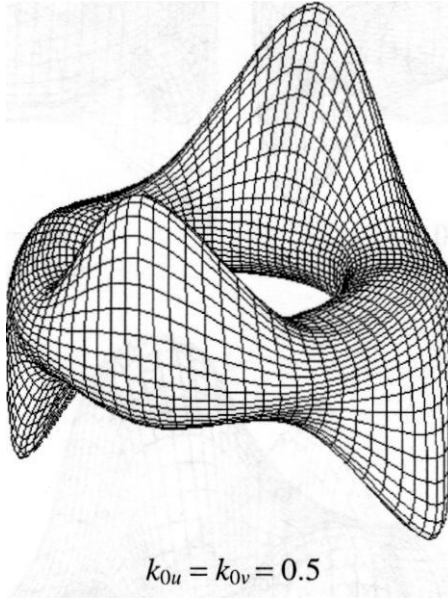
    'Q':begin {kilépés}
      gb[4]:=1; parancs(2); fe:=0;
      repeat kilep('ZYS') until not ((v='N') and
      (qm='I')); vege; if qk='N' then ujkonf; if qu='N'
      then begin gb[3]:=0; racs;
      kpontok(nu+1,nv+1,1,1); end;

```

```

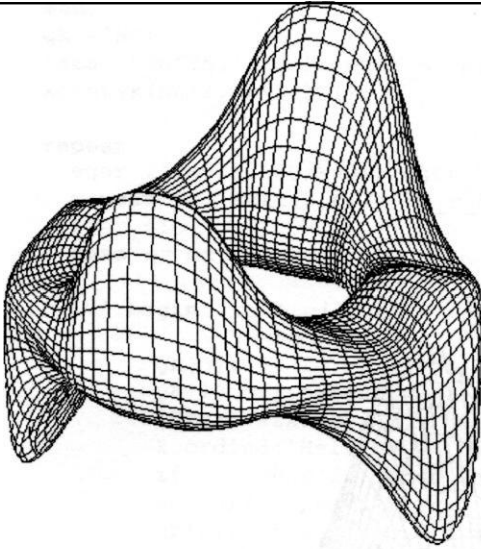
        gb[4] :=0;
    end;
end;
parancs(2); bvalt;
until (qk='I') or (qu='I');
gb [ 3 ] :=0; parancs (2) ;
until qu=' N' ;
closegraph;
end.

```

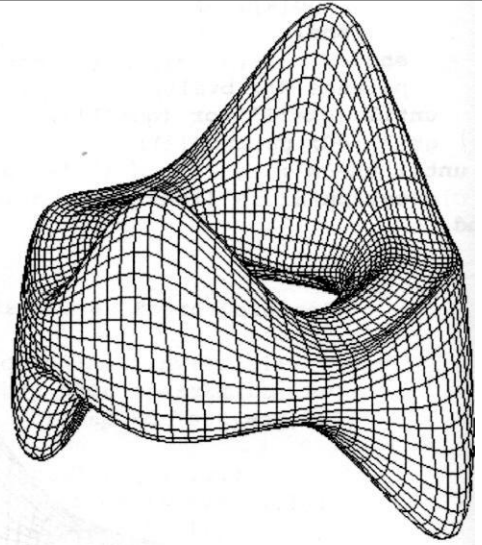


3.62. ábra

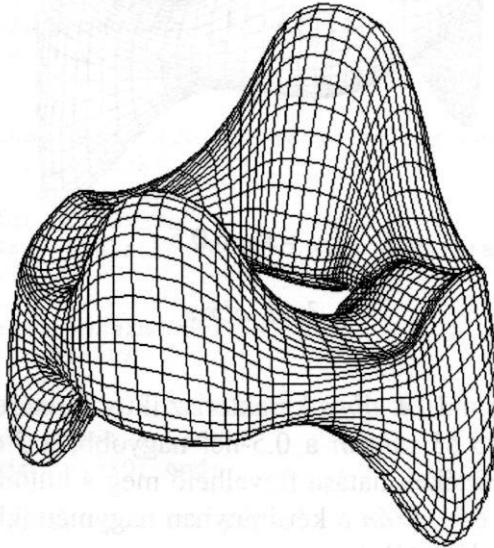
A 3.62. ábrán látható a 3.14. ábra karakterisztikus keretére illesztett Overhauser spline felület. A 3.63. ábrán a 0.5-nél nagyobb, a 3.64. ábrán a 0.5-nél kisebb alakparaméterértékek hatása figyelhető meg a különböző paramétergörbék mentén, míg a 3.65. ábrán a két irányban nagymértékben különböző értékekre kapott felületek láthatók.



$$k_{0u} = 1, k_{0v} = 0.5$$



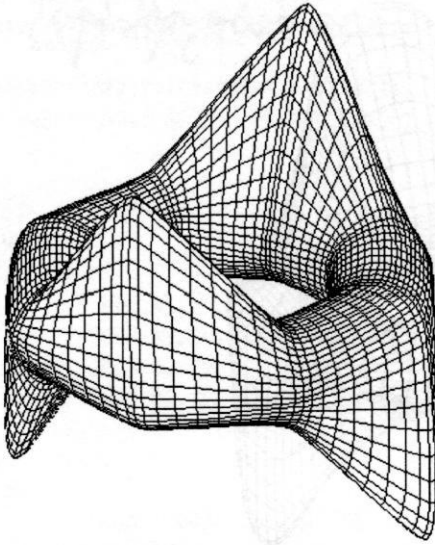
$$k_{0u} = 0.5, k_{0v} = 1$$



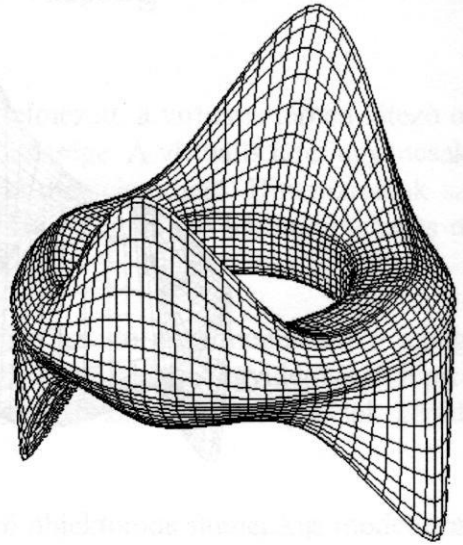
$$k_{0u} = k_{0v} = 1$$

3.63. ábra

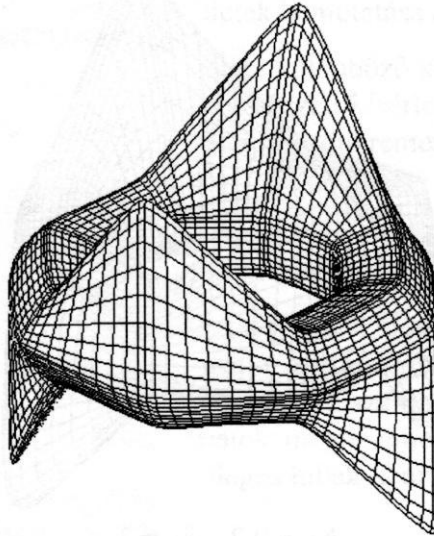
## 3.64. ábra



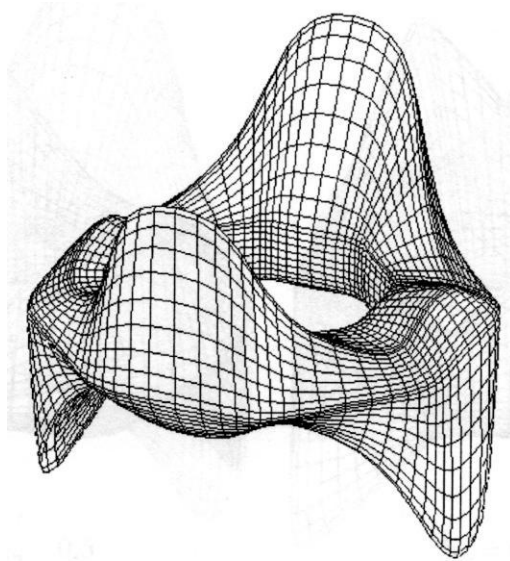
$$k_{0u} = 0.2, \quad k_{0v} = 0.5$$



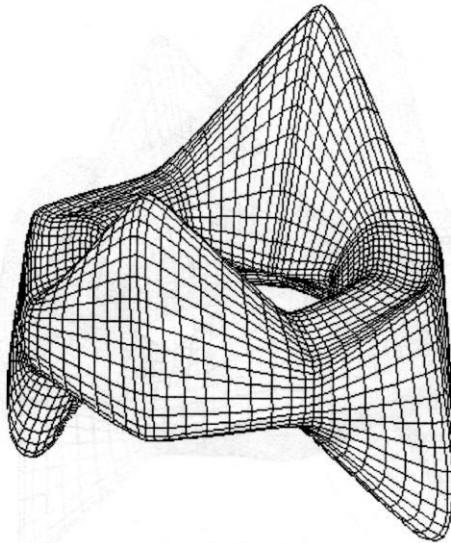
$$k_{0u} = 0.5, \quad k_{0v} = 0.2$$



$$k_{0u} = k_{0v} = 0.2$$



$$k_{0u} = 1, k_{0v} = 0.2$$



$$k_{0u} = 0.2, k_{0v} = 1$$

3.65. ábra

## 4. Virtuális valóság

A virtuális valóság a programozó által értelmezett, a virtuális térben létező objektumok és ott lejátszódó folyamatok összessége. A virtuális teret ugyancsak a programozó értelmezi, elvont fogalom, de megjeleníthető. Dimenzióinak száma nem korlátozott, bár szemléletesen csak a legfeljebb háromdimenziós objektumok jeleníthetők meg.

Az igaztól eltérően, a virtuális valóságban az idő nem meghatározó jellegű, nem visszafordíthatatlan. A mozgások, folyamatok kívánt egyidejűségét a programban biztosítani kell, különben ezt az egyes szimulációs eljárások gépidő-igénye határozza meg.

Számos területen alkalmazható különböző objektumok numerikus modellezése és folyamatok szimulációja:

- tervezett tárgyak, szerkezetek viselkedésének vizsgálata különböző körülmények között. Az előállítási költségek csökkentésének fontos eszköze (a prototípus előállítása előtt meg lehet határozni ennek optimális konfigurációját). Ide tartozik a tervezett épületek bemutatása a megrendelőnek.
- létező tárgyak viselkedésének vizsgálata különböző külső behatások esetén. Nem helyettesíti a valódi modellekkel végzett kísérleteket és méréseket, de kiegészíti ezeket (a költséges prototípus tönkremenetelével járó tesztek számát lehet csökkenteni)
- a valóságban megvalósíthatatlan objektumok, folyamatok megjelenítése (számítógépes játékok, videoreklámok, filmgyártás).
- költséges eszközöket kezelő személyzet (pilóták, űrrepülők) felkészítése. Itt fontos a valósághű, valós időben zajló szimuláció megvalósítása, amely komoly igényeket támaszt a számítógéppel szemben is (nagy műveleti sebesség szükséges a gyors folyamatok megjelenítéséhez). Nem elhanyagolható előny azonban, hogy az esetleges hibák nem vezetnek balesetekhez sem anyagi károkat nem okoznak.
- személyzet felkészítése elképzelhető de elkerülni óhajtott helyzetekre (háború, természeti csapások, bűncselekmények)



### 4.1. Virtuális tulajdonságok

A virtuális objektumokat olyan tulajdonságokkal kell felruházni, amelyek meghatározzák ezek megfelelő viselkedését az illető alkalmazásban előforduló helyzetek bármelyikében. Ezek a tulajdonságok a valódi világban egyértelműen a tárgyakhoz tartoznak (alak, halmazállapot, tömeg, elektromos töltés, szín, hőmérséklet), megváltoztatásuk nem mindig egyszerű feladat, a virtuálisban azonban tetszés szerint hozzárendelhetők az értelmezett objektumokhoz és tetszés szerint változtathatók.

Az alábbi, BILIARD.PAS program egy biliárdjáték forráskódja. A "golyók" (tulajdonképpen körlapok) a következő tulajdonságokkal rendelkeznek:

- szilárd halmazállapotúak, alakjuk nem változik, más objektumokkal (golyó vagy a pálya széle) való áthatás kizárt
- tökéletesen rugalmasak, ütközéskor nincs energiavesztés
- "guruláskor" lassulnak - mintegy a "súrlódás" hatására
- nem hagyják el a pálya síkját (kétdimenziós - síkbeli - modell)

A valódi biliárdjáték itt figyelmen kívül hagyott jelensége például a golyók perdülete, amelynek hatására pályájuk görbe is lehet.

A golyók mozgásba hozása ("megütése") úgy történik, hogy a megfelelő golyót az egérrel "megfogjuk" (lenyomva az egér bal gombját), a kívánt irányba a kívánt kezdősebességgel arányos távolságba elmozdítjuk, majd "elengedjük" (felengedve az egérgombot).

```
($N+}  
uses crt, dos, graph, grafind, eger kez, kozos;  
  
const  
  n=11; r=8; ta=0.031;  
  xmin=36+r;   xmax=603-r;   ymin=36+r;   ymax=443-r;  
  sg=0.998; {energiavesztés (fékeződés) guruláskor }  
  
type  
  
  pontr = object (valós koordinátájú síkbeli pont objektum)  
    x, y: real;  
    procedure uj(ux, uy: real);  
  end;  
  
  golyo = object  
    sz: byte; p:  
    pointer;
```

```

hr, hk, v: pontr;
h, hg: pont;
procedure fal;
procedure rajz;
procedure megj;
end;

```

```

var
a: array[1..n] of golyo;
mm: word;
i, j, k, l, xa, w: integer;
fl, ct, fm, kp: byte;

```

```

procedure pontr.uj(ux, uy: real);
begin
x:=ux; y:=uy; end;

```

```

procedure golyo.rajz; (első megjelenítés és bitmap tárolása)
begin
sz:=i; (sorszám - szín összerendelés)
setcolor(sz); setfillstyle(1,sz); fillellipse(h.xp,h.yp,r,r);
getmem(p, mm);
getimage(h.xp-r,h.yp-r,h.xp+r,h.yp+r,p^);
end;

```

```

procedure golyo.mej; (megjelenítés)
begin
putimage(h.xp-r,h.yp-r,p^,xorput);
end;

```

```

procedure golyo.fal; (fallal való ütközések kezelése)
begin
if hr.x<xmin then begin hr.x:=2*xmin-hr.x; v.x:=-v.x; end;
if hr.x>xmax then begin hr.x:=2*xmax-hr.x; v.x:=-v.x; end;
if hr.y<ymin then begin hr.y:=2*ymin-hr.y; v.y:=-v.y; end;
if hr.y>ymax then begin hr.y:=2*ymax-hr.y; v.y:=-v.y; end;
end;

```

```

procedure utkoz; (golyók egymással való ütközésének kezelése)
var
u, wk, w, vni, vti, vnj, vtj, xi, yi, xj, yj, t:
real; begin
for j:=i+1 to n do with a[j] do begin
w:=sqr(a[i].hr.x-hr.x)+sqr(a[i].hr.y-
hr.y); if w<4*r*r then begin
w:=sqrt(w);
wk:=sqrt(sqr(a[i].hk.x-hk.x)+sqr(a[i].hk.y-hk.y));
t:=to*(2*r-w)/(wk-w); xi:=((2*r-w)*a[i].hk.x+(wk-
2*r)*a[i].hr.x)/(wk-w); yi:=((2*r-
w)*a[i].hk.y+(wk-2*r)*a[i].hr.y)/(wk-w);
xj:=((2*r-w)*hk.x+(wk-2*r)*hr.x)/(wk-w);
yj:=((2*r-w)*hk.y+(wk-2*r)*hr.y)/(wk-w);
vni:=(a[i].v.x*(xj-xi)+a[i].v.y*(yi-yj))/2/r;

```

```

vti:=(-a[i].v.x*(yi-yj)+a[i].v.y*(xj-
xi))/2/r; vnj:=(v.x*(xj-xi)+v.y*(yi-yj))/2/r;
vtj:=(-v.x*(yi-yj)+v.y*(xj-xi))/2/r; u:=vnj;
vnj:=vni; vni:=u;
    {sebességek ütközés után}
a[i].v.uj((vni*(xj-xi)-vti*(yi-yj))/2/r,
(vni*(yi-yj)+vti*(xj-xi))/2/r);
v.uj((vnj*(xj-xi)-vtj*(yi-yj))/2/r,
(vnj*(yi-yj)+vtj*(xj-xi))/2/r);
    {ütközött golyók új helyei}
a[i].hr.uj(xi+a[i].v.x*t,yi-a[i].v.y*t);
hr.uj(xj+v.x*t,yj-v.y*t);
fl:=1; ct:=ct+1;
end;
end;
end;

procedure kezd;
begin
    for i:=1 to n do begin
        a[i].h.uj(320,240); a[i].rajz; cleardevice;
    end; xa:=round(r*sqrt(3));
        {golyók kiindulási helyzetei}
a[1].h.uj(60,240); a[2].h.uj(400,240); a[3].h.uj(400+xa,240-
r); a[4].h.uj(400+xa,240+r); a[5].h.uj(400+2*xa,240+2*r);
a[6].h.uj(400+2*xa,240); a[7].h.uj(400+2*xa,240-2*r);
a[8].h.uj(400+3*xa,240-3*r); a[9].h.uj(400+3*xa,240-r);
a[10].h.uj(400+3*xa,240+r); a[11].h.uj(400+3*xa,240+3*r); for
i:=1 to n do a[i].hr.uj(a[i].h.xp,a[i].h.yp);
        {pályamegjelenítés}
setfillstyle(1,11); bar(0,0,getmaxx,getmaxy);
setfillstyle(1,15); bar(35,35,getmaxx-35,getmaxy-
35); bkeret(30,30,getmaxx-30,getmaxy-30,6,6);
setcolor(3); line(38,getmaxy-36,getmaxx-38,getmaxy-
36); line(getmaxx-36,38,getmaxx-36,getmaxy-38);
end;

procedure dako; {dákó modellezése a megütendő golyó elmozdításával}
var kz: byte;
begin
    eger_1; w:=0; kz:=1; kp:=0;
    with reg do begin
        repeat {megütendő golyó kiválasztása}
            if keypressed then kp:=1;
            ax:=3; intr($33,reg);
            if (bx=1) and (getpixel(cx,dx)<15) then w:=15-getpixel(cx,dx);
        until (w>0) or (kp=1);
        {kiválasztott golyó sebessége irányának és nagyságának megadása
        a golyó képének elmozdításával}
        if (w>0) and (kp=0) then repeat
            ax:=3; intr($33,reg);
            if (bx=1) then begin
                if abs(cx-x)+abs(dx-y)>1 then begin

```

```

    eger_n;
    if lc_Z=0 then putimage(x-r,y-r,a[w].p^,xorput); kz:=0;
    a[w].v.uj(cx-a[w].hr.x,-dx+a[w].hr.y);
    putimage(cx-r,dx-r,a[w].p^,xorput);
    x:=cx; y:=dx;
    eger_l;
  end;
end;
until bx=0;
  eger_n; if kp=0 then putimage(x-r,y-r,a[w].p^,xorput);
end;
end;

begin
  grindhi;
  eger_k; egert(38,38,getmaxx-38,getmaxy-38); eger_n;
  mm:=imagesize(0,0,2*r,2*r); kezd; kp:=0;
  for i:=1 to n do a[i].megj;
  repeat
    for i:=1 to n do a[i].v.uj(0,0);
    dako;
    repeat
      fm:=0;
      for i:=1 to n do with a[i] do begin
        hk:=hr;
        v.uj(sg*v.x,sg*v.y); {lassulás modellezése}
        hr.uj(hr.x+v.x*ta,hr.y-v.y*ta); {új hely kiszámítása}
        fal; {esetleges fallal való ütközés kezelése}
      end;
      ct:=0;
      repeat (esetleges egymással való ütközések kezelése)
        fl:=0;
        for i:=1 to n do utkoz;
      until (fl=0) or (ct>30);
      for i:=1 to n do with a[i] do begin
        if (abs(hr.x-hg.xp)>1) or (abs(hr.y-hg.y) >1) then begin
          megj; {golyó eltűnik a régi helyéről}
          h.uj(round(hr.x),round(hr.y));
          megj; {golyó megjelenik az új helyén}
        end;
        hg:=h;
        if abs(v.x)+abs(v.y)>0.2 then fm:=1;
      end;
    until fm=0;
  until kp=1;
end.

```

## 4.2. Virtuális szerkezetek

A számítógép virtuális világában létrehozhatunk olyan szerkezeteket is, amelyeket nehezen, vagy egyáltalán nem lehet a valóságban elkészíteni. Ez azért lehetséges, mert a virtuális valóságot a programozó határozza meg, annak törvényeivel együtt. Ezek lehetnek a valódi világ természeti törvényeinek megfelelők, de lehetnek ezektől teljesen különbözők is. Amennyiben valódi jelenségeket modellezünk, vigyázni kell, hogy ne hagyjunk ki meghatározó jellegű folyamatokat. Ha például egy, a Föld légterébe kerülő meteorit mozgását vizsgáljuk, nem elég a súrlódás mozgástani hatását (fékeződés) figyelembe venni, ugyanis a hőtani hatás a meteorit olvadását és szétesését okozhatja.

A GYONGY\_K.PAS nevű program egy logikai játék forráskódja. Színes golyók többféle képpen elmozdíthatók, ami a konfiguráció megváltozásához vezet. Ezt átmérős és gyűrű alakú "fiókok" eltolásával illetve forgatásával lehet elérni. A mozgatási parancsokat billentyűzetről vagy a megfelelő vizuális billentyűvel való lenyomásával lehet megadni.

```
{ $N+ }
program gyongy_k;
uses
  crt, dos, graph, grafind, eger, kez, kerdesek, kozos, file, kez;
const
  r0=14; r1=16; r2=8; xk=240; yk=260;
  r: array [2..10] of integer =
    (2*r1, 3*r1, 4*r1, 5*r1, 6*r1, 7*r1, 8*r1, 9*r1, 10*r1);
  fx=510; fy=360; fs=1.2; re=round(r1/fs);
  v_tol: kars =
  valasz: kars = ['A'..'F', 'I'..'N', 'Q', 'X'];
  gb: array [ 1 .. 2 ] of byte = (0, 0) ;

type
  konf = record
    a: array[1..5, 1..6] of byte;
    a0: byte;
    h: array[1..6] of shortint;
  end;

var
  ff: file of konf;
  k, l, x1, y1, rk, rl, rm: integer;
  cs, sn: array[1..6] of real;
  kf, kz, kt: konf;      {kf: aktív; kz: kezdő; kt: tárolt}
  sz: byte;
  f: array [ 1..100 ] of char;
```

```

procedure parancs; {vizuális billentyűk értelmezése}
begin
  settextstyle(0,0,1);
  gomb(400,21,'X','-bemut.',gb[1]); gomb(400,38,'Q','-
  kilép',gb[2]);
end;

procedure cim; {a játék neve és szerzője}
const
  cx=560; cy=30;
begin
  setcolor(0);
  setfillstyle(1,10); fillellipse(cx, cy, 65, 20);
  setfillstyle(1,15); fillellipse(cx, cy, 57, 15);
  setcolor(12); outtextxy(cx-50,cy-4,'Emoke játéka');
  outtextxy(cx-34,cy-6,''); setcolor(5); settextstyle(1,0,4);
  outtextxy(10,10,'GYONGYKEREK');
  settextstyle(1,1,4); outtextxy(39,7,':');
  settextstyle(0,0,1); outtextxy(200,10,'/');
  setcolor(5); outtextxy(5,468,'C Fűzi János'); circle(8,471,7);
end;

procedure felirat; (a forgatásokat vezérlő vizuális billentyűk
  megjelenítése)

var w: integer;
begin
  settextstyle(1,0,1); setlinestyle(0,0,1); setcolor(0);
  circle (fx, fy, re) ;
  for k:=1 to 3 do begin
    setlinestyle(0,0,1); setcolor(0);
    circle (fx,fy, (2*k+1)*re);
    w:=round(2*k*re);
    setlinestyle(0,0,3); setcolor(12);
    outtextxy (fx+w-2,fy-10,chr(72+2*k)); outtextxy (fx-w-9,
    fy-10,chr(71+2*k));
    setcolor(7); line (fx+w-8,fy-10,fx+w-8,fy+10);
    moveto (fx+w-8,fy+10); linerel (-3,-7); moveto (fx+w-8,fy+10);
    linerel (3,-7);
    line (fx-w+8,fy-10,fx-w+8,fy+10);
    moveto (fx-w+8,fy+10); linerel (-3,-7); moveto (fx-w+8,fy+10);
    linerel (3,-7);
  end;
  setlinestyle(0,0,1); setcolor(0);
  line (fx-90,fy-re,fx+90,fy-re); line (fx-90,fy+re,fx+90,fy+re);
end;

procedure fiok (sz1, sz2, sz3: byte);
  {az eltolási műveleteket végző "fiókok" és a kezelésükhöz
  használt vizuális billentyűk megjelenítése}
begin
  rl:=r[2]-5;
  for 1:=1 to 6 do with kf do begin
    setlinestyle(0,0,1); setcolor (sz1);

```

```

moveto(xk+round(r1*cs[1]+r1*sn[1]),yk+round(-r1*sn[1]+r1*cs[1]));
lineto(xk+round(rk*cs[1]+r1*sn[1]),yk+round(-rk*sn[1]+r1*cs[1]));
lineto(xk+round(rk*cs[1]-r1*sn[1]),yk+round(-rk*sn[1]-r1*cs[1]));
lineto(xk+round(r1*cs[1]-r1*sn[1]),yk+round(-r1*sn[1]-r1*cs[1]));
line(xk+round(rm*cs[1]+r1*sn[1]),yk+round(-rm*sn[1]+r1*cs[1]),
      xk+round(rm*cs[1]-r1*sn[1]),yk+round(-rm*sn[1]-
      r1*cs[1])); setlinestyle(0,0,3); setcolor(sz2);
moveto(xk+round((rk-2)*cs[1]+r2*sn[1]),yk+round(-
      (rk-2)*sn[1]+r2*cs[1]));
lineto(xk+round((rm+2)*cs[1]+r2*sn[1]),yk+
      round(-(rm+2)*sn[1]+r2*cs[1]));
linerel(round(7*cs[1]+3*sn[1]),round(-7*sn[1]+3*cs[1]));
moveto(xk+round((rm+2)*cs[1]+r2*sn[1]),yk+
      round(-(rm+2)*sn[1]+r2*cs[1]));
linerel(round(7*cs[1]-3*sn[1]),round(-7*sn[1]-3*cs[1]));
setcolor(sz3); settextstyle(1,0,1);
case 1 of
1: moverel(-15,-20);
2: moverel(-20,-15);
3: moverel(-15,0);
5: moverel(10,-5);
6: moverel(5,-20);
end;
outtext(chr(64+1));
end;
end;

procedure rajz; (a játék mindenkori állásnak megfelelő megjelenítése)
begin
  with kf do begin
    setlinestyle(0,0,1); setcolor(0);
    setfillstyle(1,a0); fillellipse(xk,yk,r0,r0);
    for k:=1 to 5 do begin
      if k<4 then circle(xk,yk,r[2*k+1]);
      for l:=1 to 6 do begin
        x1:=round(xk+r[2*k]*cs[1]); y1:=round(yk-r[2*k]*sn[1]);
        setfillstyle(1,a[k,1]); if a[k,1]=15 then setcolor(15);
        fillellipse(x1,y1,r0,r0); setcolor(0); end;
      end;
      fiok(0,7,12);
    end;
  end;
end;

procedure tol(p:byte); (eltolási művelet)
begin
  with kf do
    if h[p]>-1 then begin
      fiok(15,15,15); (az elmozdított "fiók" régi alakjának törlése
        a háttér színével való rárajzolással)
      h[p] :=h[p]-2;
      if p<4 then begin
        h[p+3] :=h[p+3]+2;

```

```

        for k:=4 downto 1 do a[k+1,p+3]:=a[k,p+3];
        a[1,p+3]:=a0; end
    else begin
        h[p-3]:=h[p-3]+2;
        for k:=4 downto 1 do a[k+1,p-3]:=a[k,p-3];
        a[1,p-3]:=a0; end;
    a0:=a[1,p];
    for k:=1 to 4 do a[k,p]:=a[k+1,p];
    a[5,p]:=15;
end;
end;

```

```

procedure forg(p,q:byte); (forratási művelet)
var sd: byte;
begin
    with kf do begin
        case q of
            1:begin
                sd:=a [p, 6] ;
                for 1:=5 downto 1 do a[p,1+1]:=a[p,1];
                a[p,1]:=sd; end;
            2:begin
                sd:=a[p,1];
                for 1:=1 to 5 do a[p,1]:=a[p,1+1];
                a [p, 6 ] :=sd; end;
            end;
        end;
    end;
end;

```

```

procedure muvelet; (műveletek és "forró" betűk összerendelése)
begin
    case qr of
        'A':tol(1); 'B':tol(2); 'C':tol(3); 'D':tol(4); 'E':tol(5);
        'F':tol(6);
        'I':forg(1,1); 'J':forg(1,2); 'K':forg(2,1);
        'L':forg(2,2); 'M':forg(3,1); 'N':forg(3,2);
    end;
end;

```

```

procedure feladat; (feladatgenerálás)
var w: integer;
begin
    randomize; sz:=0;
    with kf do begin
        for w:=1 to 97 do begin
            qr:=chr(65+random(6)+8*random(2));
            if not (qr in v_tol) or (h[ord(qr)-64]>-1) then begin
                sz:=sz+1; f[sz]:=qr; muvelet; end;
            end;
        end;
    end;

```



```

for w:=1 to 6 do
  if h[w]=3 then begin
    qr:=chr(64+w); sz:=sz+1; f[sz]:=qr; muvelet;
  end;
end;
end;

procedure kezd; (kezdőállás (megoldás))
begin
  with kz do begin
    a0:=7;
    for l:=1 to 6 do begin
      a[5,l]:=15;
      for k:=1 to 4 do a[k,l]:=8+1;
      h(1):=1; end;
    end;
  end;
end;

procedure megold; {bemutató műveletsor - a feladatgenerálás fordított
  sorrendben való megjelenítése}
var w: integer;
begin
  kezd; kf:=kz; feladat; rajz; delay(3000);
  for w:=sz downto 1 do begin
    case f [w] of
      'A':qr:='D';           'B':qr:='E';
      'C':qr:='E';           'D':qr:='A';
      'E':qr:='B';           'F':qr:='C';
      'I':qr:='J';           'J':qr:='I';
    end; muvelet; rajz; delay(600);
  end; delay(3000);
end;

procedure kilep; (kilépés)
begin
  qm:='
  kerdez(200,200,' Menteni a konfigurációt ?','gen','em','I','N');
  repeat kattint(200,200,'I','N',qm);
  until (qm='I') or (qm='N');
  if qm='I' then begin
    eger_n; ment('GYK'); (konfiguráció tárolása)
    if v='I' then begin
      assign(ff,kn); rewrite(ff); write(ff,kf); close(ff); end;
    eger_1;
  end;
end;

procedure konfig; (konfigurációkiválasztás)
begin
  setttextstyle(0,0,1);
  gj ,;
  kerdez(200,200,' Konfiguráció ?','áték','anulás','J','T');

```

```

repeat kattint(200,200,'J','T',qj); until (qj='J') or (qj='T');
if qj='T' then kf:=kz
else repeat
  qf:=' ';
  kerdez(200,200,'          Konfiguráció
repeat kattint(200,200,'U','T',qf);
until (qf='U') or (qf='T');
case of of
'T': begin
  eger_n; olvas('GYK'); (tárolt konfiguráció betöltése)
  if ko=1 then begin
    assign(ff,kn); reset(ff); read(ff,kf); close(ff); end;
  eger_1;
end;
'U': begin kf:=kz; feladat; ko:=1;
end; end;
until ko=1;
end;

procedure par_katt(var vl: char); (parancs kiválasztása)
var
  fn: byte;
  x, y: real;
begin
  (egérrel)
  gb_katt(400,21,fn); if fn=1 then vl:='X';
  gbkatt(400,38,fn); if fn=1 then vl:='Q';
  with reg do begin
    ax:=3; intr($33,reg);
    if bx=1 then begin
      for 1:=1 to 6 do with kf do begin {eltolások vezérlése egérrel}
        rk:=r[10]+h[1]*r1+4; rm:=r[8]+h[1]*r1+4;
        if sqr(cx-(xk+round((rk-r1)*cs[1]))) +
          sqr(dx-(yk-round((rk-r1)*sn[1])))<400 then vl:=chr(64+1);
      end;
      for 1:=1 to 3 do begin {forgatások vezérlése egérrel}
        y:=fy;
        x:=fx+2*1*re;
        if sqr(cx-x)+sqr(dx-y)<144 then vl:=chr(72+2*1);
        x:=fx-2*1*re;
        if sqr(cx-x)+sqr(dx-y)<144 then vl:=chr(70+2*1+1);
      end;
    end;
  end;
  if keypressed then vl:=upcase(readkey); {billentyűzetről}
end;

procedure mezo;
begin
  setfillstyle(1,15); bar(14,64,625,456);
  setcolor(3); line(16,456,623,456); line(625,66,625,454);
end;

```

```
procedure alias;
begin
  eger_n; eger_t(0,0,getmaxx,getmaxy); mezo;
  parancs; felirat; rajz; eger_1;
end;

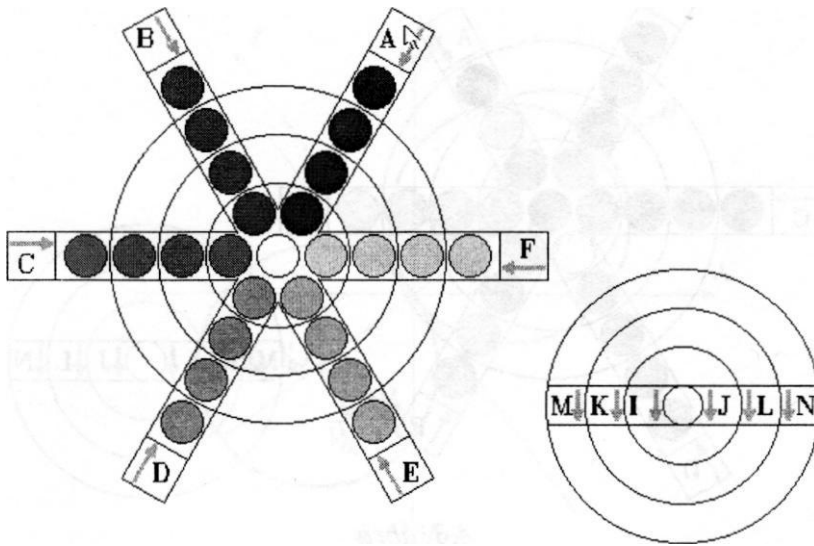
begin
  grindhi; kezd;
  for k:=1 to 6 do begin cs[k]:=cos(k*pi/3); sn[k]:=sin(k*pi/3); end;
  eger_k; eger_n;
  setfillstyle(1,11); bar(0,0,640,480); bkeret(10,60,629,460,4,4);
  cim; eger_1;
  repeat
    eger_n; qu:='N'; qk:='N'; mezo; konfig; alias;
    repeat
      qr:=' '; repeat par_katt(qr); until qr in valasz; eger_n;
      case qr of

        'X': begin {bemutató animáció}
          gb[1]:=1; parancs;
          kt :=kf; megold; kf :=kt; rajz;
          gb[i]:=0; parancs;
          end;

        'Q': begin {kilépés}
          gb[2]:=1; parancs;
          repeat kilep until not ((v='N') and (qm='I'));
          vege; if qk='N' then ujkonf; gb(2):=0; parancs; alias;
          end;
        else begin muvelet; rajz; end;
      end;
    eger 1;

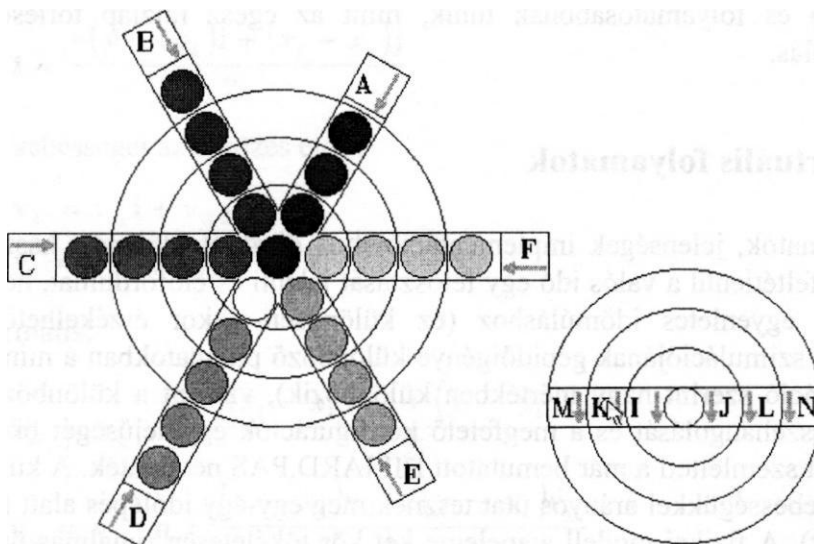
  until (qk='I') or (qu='I');
  until qu=' N' ;
  closegraph;
end.
```

A játék megoldott állapotban, fekete-fehéren, a 4.1.ábrán látható.

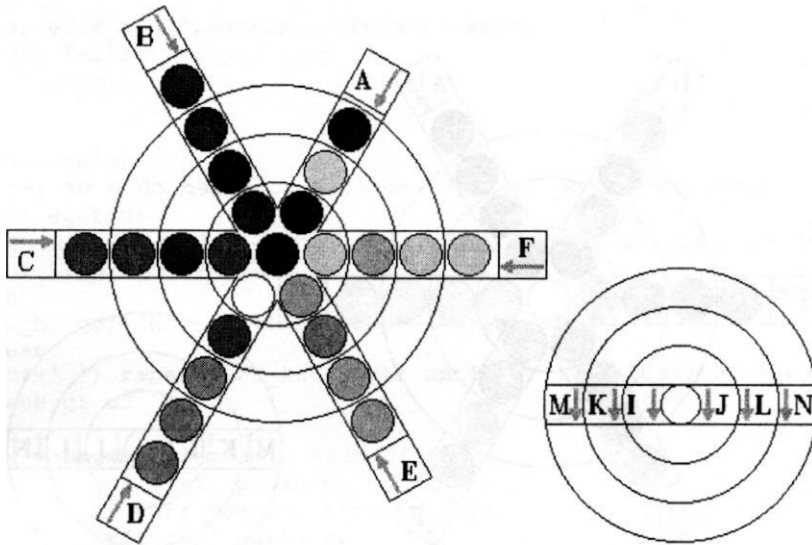


4.1. ábra

Az A parancs hatására a megfelelő átmérős fiók eltolásának eredményét mutatja a 4.2. ábra. A 4.3. ábrán a középső gyűrű alakú fiók órajárással ellentétes irányba való elfordításának eredménye látható (K parancs).



4.2. ábra



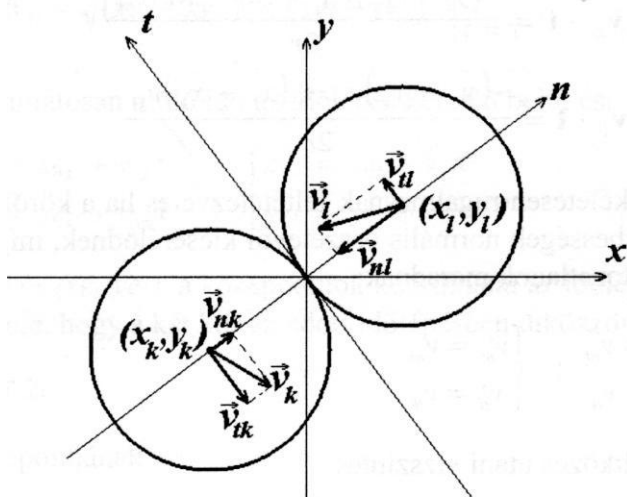
4.5. abra

A megjelenítés úgy történik, hogy a szerkezetet a háttér színével (fehér) a régi helyzetben újrarajzoljuk (ezáltal eltűnik), majd megrajzoljuk az új helyzetben a megfelelő színekkel. A golyókat egyszerűen rárajzoljuk az új helyre - ezáltal elfedve az előzőleg ott álló golyót (megjelenítési szempontból van még egy-egy fehér színű külső golyó, az átmérős eltolásokhoz). Ezzel a megjelenítés gyorsabb és folyamatosabbnak tűnik, mint az egész rajzlap törlése és az újrarajzolás.

### 4.3. Virtuális folyamatok

A folyamatok, jelenségek implementációjához diszkrét időlépést használunk. Ez nem feltétlenül a valós idő egy felosztását jelenti és előfordulhat, hogy nem is vezet egyenes időmúláshoz (ez különösen akkor érzékelhető, ha a folyamat szimulációjának gépidőigénye különböző pillanatokban a mindenkori konfiguráció szerint nagy mértékben különbözik), viszont a különböző mozgások összehangolását és a megfelelő konfigurációk egyidejűségét biztosítani lehet. Ezt szemlélteti a már bemutatott BILIARD.PAS nevű játék. A különböző golyók sebességükkel arányos utat tesznek meg egy-egy időlépés alatt (ha nem ütköznek). A fizikai modell alapeleme két kör tökéletesen rugalmas ütközése. Az ütközés pillanatában a sebességeknek az érintési pontban a közös érintőre

merőleges összetevőire érvényes az impulzusmegmaradás elve, míg az érintőmenti összetevők változatlanok maradnak (4.4. ábra).



4.4. ábra

A közös érintőre merőleges (normális) tengely (átmegy mindkét kör közép-pontján), illetve az érintő tengely irányvektorainak képletei:

$$\mathbf{n} = \frac{(x_l - x_k)\mathbf{i} + (y_l - y_k)\mathbf{j}}{2r} \quad (4.1)$$

$$\mathbf{t} = \frac{-(y_l - y_k)\mathbf{i} + (x_l - x_k)\mathbf{j}}{2r}$$

A körök sebességei az ütközés

$$\mathbf{v}_k = v_{xk}\mathbf{i} + v_{yk}\mathbf{j} \quad (4.2)$$

$$\mathbf{v}_l = v_{xl}\mathbf{i} + v_{yl}\mathbf{j}$$

Ezek ...

$$v_{nk} = \mathbf{v}_k \cdot \mathbf{n} = \frac{(x_l - x_k)v_{xk} + (y_l - y_k)v_{yk}}{2r}, \quad (4.3)$$

$$v_{nl} = \mathbf{v}_l \cdot \mathbf{n} = \frac{(x_l - x_k)v_{xl} + (y_l - y_k)v_{yl}}{2r}$$

illetve érintőmenti összetevői:

$$\begin{aligned} v_{ik} &= \mathbf{v}_k \cdot \mathbf{t} = \frac{-(y_l - y_k)v_{xk} + (x_l - x_k)v_{yk}}{2r} \\ v_{il} &= \mathbf{v}_l \cdot \mathbf{t} = \frac{-(y_l - y_k)v_{xl} + (x_l - x_k)v_{yl}}{2r} \end{aligned} \quad (4.4)$$

Az ütközést tökéletesen rugalmasnak feltételezve és ha a körök "tömege" azonos, akkor a sebességek normális összetevői kicserélődnek, míg az érintőmenti összetevők változatlanok maradnak:

$$\left\{ \begin{array}{l} v'_{nk} = v_{nl} \\ v'_{ik} = v_{ik} \end{array} \right. ; \left\{ \begin{array}{l} v'_{nl} = v_{nk} \\ v'_{il} = v_{il} \end{array} \right. . \quad (4.5)$$

A sebességek ütközés utáni vízszintes

$$\begin{aligned} v'_{xk} &= v'_{nk} \mathbf{n} \cdot \mathbf{i} + v'_{ik} \mathbf{t} \cdot \mathbf{j} = \frac{(x_l - x_k)v'_{nk} - (y_l - y_k)v'_{ik}}{2r} \\ v'_{xl} &= v'_{nl} \mathbf{n} \cdot \mathbf{i} + v'_{il} \mathbf{t} \cdot \mathbf{j} = \frac{(x_l - x_k)v'_{nl} - (y_l - y_k)v'_{il}}{2r} \end{aligned} \quad (4.6)$$

illetve függőleges

$$\begin{aligned} v'_{yk} &= v'_{nk} \mathbf{n} \cdot \mathbf{j} + v'_{ik} \mathbf{t} \cdot \mathbf{i} = \frac{(y_l - y_k)v'_{nk} + (x_l - x_k)v'_{ik}}{2r} \\ v'_{yl} &= v'_{nl} \mathbf{n} \cdot \mathbf{j} + v'_{il} \mathbf{t} \cdot \mathbf{i} = \frac{(y_l - y_k)v'_{nl} + (x_l - x_k)v'_{il}}{2r} \end{aligned} \quad (4.7)$$

A rajzolóprogram a köröket bizonyos időlépéssel (i) jeleníti meg. A körök helyzetének kiszámítása az ütközések pillanatában a következő módon történik:

a két kör középpontja közötti távolság az időlépés elején:

$$de_{kl} = \sqrt{(x_{e_l} - x_{e_k})^2 + (y_{e_l} - y_{e_k})^2} \Big|_{t=0} , \quad (4.8)$$

illetve végén:

$$dv_{kl} = \sqrt{(xv_l - xv_k)^2 + (yv_l - yv_k)^2} \Big|_{t=\tau}, \quad (4.9)$$

ahol  $t$  a folyamatosan múló idő az időlépés keretén belül és:

$$\begin{cases} xv_k = xe_k + v_{xk}\tau \\ yv_k = ye_k + v_{yk}\tau \end{cases}; \quad \begin{cases} xv_l = xe_l + v_{xl}\tau \\ yv_l = ye_l + v_{yl}\tau \end{cases}, \quad (4.10)$$

ahol  $(x_{ek}, y_{ek})$  és  $(x_{el}, y_{el})$  a középpontok koordinátái az időlépés elején. annak a feltétele, hogy a két kör az adott időlépésben ütközzön:

$$dv_{kl} \leq 2r \quad (4.11)$$

- az ütközés időpontj

$$t_0 = \frac{de_{kl} - 2r}{de_{kl} - dv_{kl}}, \quad (4.12)$$

illetve a középpontok ütközés pillanatában való helyzetének kiszámítása:

$$\begin{cases} x_k = \frac{(2r - dv_{kl})xe_k + (de_{kl} - 2r)xv_k}{de_{kl} - dv_{kl}} \\ y_k = \frac{(2r - dv_{kl})ye_k + (de_{kl} - 2r)yv_k}{de_{kl} - dv_{kl}} \end{cases} \quad \begin{cases} x_l = \frac{(2r - dv_{kl})xe_l + (de_{kl} - 2r)xv_l}{de_{kl} - dv_{kl}} \\ y_l = \frac{(2r - dv_{kl})ye_l + (de_{kl} - 2r)yv_l}{de_{kl} - dv_{kl}} \end{cases} \quad (4.13)$$

A körök középpontjainak koordinátái az időlépés végén tekintetbe véve az időlépésben lezajlott ütközést:

$$\begin{cases} xv_k = x_k + v'_{xk}(\tau - t_0) \\ yv_k = y_k + v'_{yk}(\tau - t_0) \end{cases}; \quad \begin{cases} xv_l = xe_l + v'_{xl}(\tau - t_0) \\ yv_l = ye_l + v'_{yl}(\tau - t_0) \end{cases} \quad (4.14)$$

A pálya falaival való ütközések számítása egyszerűbb, ugyanis a fal merev, így a golyó sebességének a falra merőleges összetevője előjelt vált, a golyó helyzete az időlépés végén pedig a fal hiányában számított helyzetnek a fal felületé-



hez viszonyított tükörképe lesz. Így nem kell kiszámítani a fallal való ütközés pillanatát az időlépésen belül.

Többszörös ütközések hasonló módon kezelhetők, csupán a számítási eljárást kell ugyanabban az időlépésben megismételni, míg több ütközés nem történik.

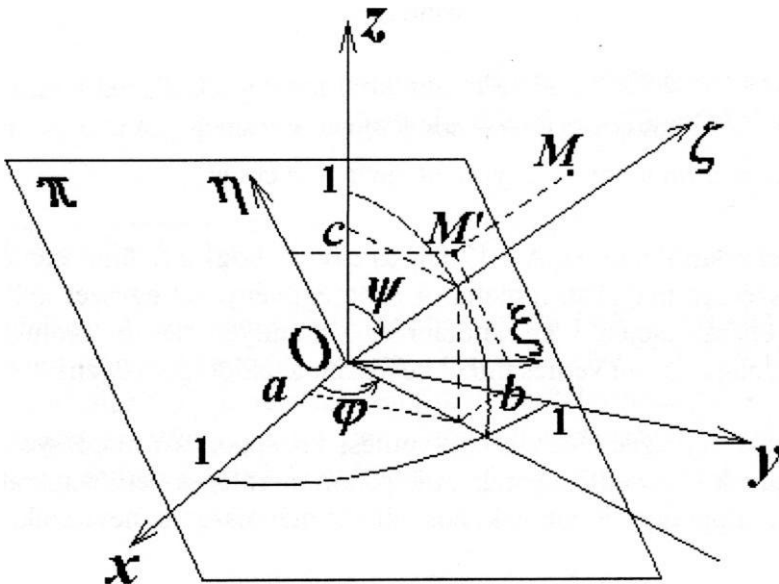
A valóságban egyenletesen lassuló mozgást itt exponenciális lassulással közelítettük (minden golyó sebessége egy  $l$ -nél kevéssel kisebb állandóval szorzódik minden időlépés végén), kiegészítve egy, ebben az esetben elengedhetetlen, megállási feltétellel.

#### 4.4. Poliéderek megjelenítése

Bonyolult térbeli alakzatok megjelenítésének hatékony eszköze a poliéderek közelítés. A poliédereket sokszögek határolják, ezek vetületei a képsíkon ugyancsak sokszögek lesznek, és a *Turbo Pascal* igen előnyös sokszögmegjelenítési utasításokat bocsát a programozó rendelkezésére (*drawpoly* - sokszög területének meghúzása, *fillpoly* - adott színű sokszöglap rajzolása, *floodfill* - adott színű kontúr megtöltése adott színnel).

##### 4.4.1. Merőleges és középpontos vetítés

A merőleges vetítés során az adott ponton átmenő, a térbeli  $Oxyz$  koordináta-rendszer kezdőpontján átmenő képsíkra merőleges egyenest (vetítősugar) metsszük a képsíkkal. A képsíkon egy derékszögű  $O\xi\eta$  koordinátarendszert értelmезünk, amelynek függőleges tengelye ( $O\eta$ ) a térbeli  $Oz$  tengely vetülete (4.5. ábra). Ezt a rendszert kiegészítjük egy, a képsíkra merőleges (a vetítősugarakkal párhuzamos)  $O\xi$  tengellyel, amelynek segítségével megadhatjuk a vetített pont képsíktól való távolságát (magasságát). Erre az egymást legalábbis részben takaró poliéderek megjelenítési sorrendjének meghatározásához lesz szükség.



4.5. ábra

A vetítési irányt megadhatjuk ennek iránytenyezőivel ( $a, b, c$ ), amelyeket, ha négyzetösszegük egységnyi, iránykoszinuszoknak is nevezünk, vagy pedig a gömbi koordinátarendszer szögeivel ( $\varphi$  és  $\psi$ ):

$$\begin{cases} a = \sin \psi \cos \varphi \\ b = \sin \psi \sin \varphi \\ c = \cos \psi \end{cases} ; \quad a^2 + b^2 + c^2 = 1 ; \quad \begin{cases} \varphi \in [0, 2\pi] \\ \psi \in [0, \pi] \end{cases} . \quad (4.1)$$

Az  $M(x, y, z)$  pont  $M'(\xi, \eta)$  vetületének képsíkbeli koordinátái és az  $M$  pont képsíkhöz viszonyított magassága a

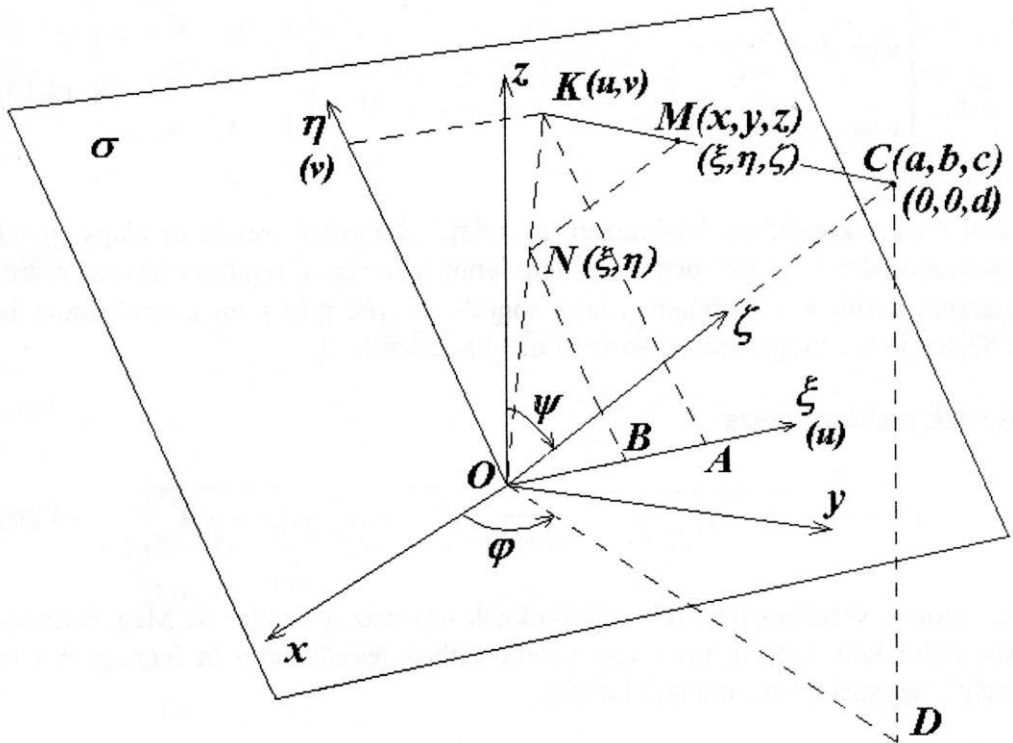
$$\begin{cases} \xi = \frac{-bx + ay}{\sqrt{a^2 + b^2}} \\ \eta = \frac{-c(ax + by) + (a^2 + b^2)z}{\sqrt{a^2 + b^2}} \\ \zeta = ax + by + cz \end{cases} \quad (4.16)$$

vagy a

$$\begin{cases} \xi = -x \sin \varphi + y \cos \varphi \\ \eta = -x \cos \psi \cos \varphi - y \cos \psi \sin \varphi + z \sin \psi \\ \zeta = x \sin \psi \cos \varphi + y \sin \psi \sin \varphi + z \cos \psi \end{cases} \quad (4.17)$$

képletekkel számíthatók ki. **A 4.17 felírás előnye, hogy a felülnézetet** ( $a = b = 0$ ) természetesen magában foglalja. A szögfüggvényeket egyszer kell - a megjelenítési eljárás elején - kiszámítani és valamilyen néven tárolni, hogy az esetenként nagy számú vetítés minél kevesebb gépidőt igényeljen.

Középpontos vetítésnél létezik egy vetítési középpont (a megfigyelő szeme), ebből indulnak ki a vetítésugarak. A képsíkra merőleges vetítésugarat fősugarának, ennek talppontját főpontnak, hosszát szemtávolságnak nevezzük.



4.6. ábra

A 4.6. ábrán a képsík főpontként tartalmazza az  $Oxyz$  koordináta-rendszer kezdőpontját. A  $C(a, b, c)$  centrum megadható gömbi koordinátákkal is  $(d, \theta, \varphi)$ , ahol

$$d = \sqrt{a^2 + b^2 + c^2} \tag{4.18}$$

a szemtávolság. A merőleges vetítésnél bemutatott (4.5. ábra)  $\xi\eta\zeta$  koordináta-rendszer itt is alkalmazzuk. Ebben a centrum helye  $C(0, 0, d)$ . Az  $M(x, y, z)$  pont koordinátáit az  $O\xi\eta\zeta$  rendszerben a 4.17 transzformáció adja. Az  $MNK$  és  $COK$  valamint az  $NBO$  és  $KAO$  háromszögek hasonlóságából adódnak az  $M$  pont  $K$  vetületének képsíkbeli koordinátái:

$$\begin{cases} u = d \frac{\xi}{d - \zeta} \\ v = d \frac{\eta}{d - \zeta} \end{cases}, \quad (4.19)$$

ahol  $Ouv$  a képsíkban értelmezett, az  $O\xi\eta\zeta$  koordinátarendszer alapsíkjával azonos rendszer. Itt geometriailag nem lenne szükség új rendszer bevezetésére, viszont, amint a továbbiakban látni fogjuk, az  $M(\xi\eta\zeta)$  pont koordinátáira is szükség lesz a megjelenítési sorrend meghatározásánál.

Az  $MK$  szakasz hossza:

$$w = \frac{\zeta}{d} \sqrt{u^2 + v^2 + d^2} = \frac{\zeta}{d - \zeta} \sqrt{\xi^2 + \eta^2 + (d - \zeta)^2}. \quad (4.20)$$

Az azonos vetítősugáron fekvő pontoknak ugyanaz a vetületük. Megjelenítés-kor tudni kell, melyik pont van a centrumhoz legközelebb (a legnagyobb érték), ugyanis ez az, amelyik látszik.

#### 4.4.2. Irányított sokszögek megjelenítése

A sokszögek irányítását éleik körbejárési irányával (csúcsaik sorrendjével) adhatjuk meg. Például egy sokszögnek az a pozitív oldala, amelyik a körbejárási irányban forgatott jobbsodrású fűró haladási irányába mutat. Csúcsainak sorrendjét megszabva egyértelműen meghatározzuk a sokszög irányítását. Ha zárt poliéder egyik oldallapjáról van szó, akkor a pozitív oldal mindig a külső, ennek megfelelően kell megadni a csúcsok sorrendjét. Vagyis ha a poliéder lapját élei mentén körülsétáljuk úgy, hogy a poliéderen mint egy "bolygón" állunk, akkor a szóban forgó lap mindig bal kezünk felé esik.

Irányított sokszögekhez úgynevezett normálisvektort (a sokszögre merőleges, ennek pozitív irányába mutató egységvektort) rendelhetünk. Ha egy sokszög három nem kollineáris csúcsa pozitív sorrendben  $A1(x1 \ y1 \ z1)$ ,  $A2(x2, y2, z2)$ ,  $A3(x3, y3, z3)$ , akkor a sokszög síkjának egyenlete:

$$\begin{vmatrix} x & y & z & 1 \\ x_1 & y_1 & z_1 & 1 \\ x_2 & y_2 & z_2 & 1 \\ x_3 & y_3 & z_3 & 1 \end{vmatrix} = 0, \quad (4.21)$$

azaz

$$a_h x + b_h y + c_h z + d_h = 0, \quad (4.22)$$

ahol:

$$a_h = \begin{vmatrix} y_1 & z_1 & 1 \\ y_2 & z_2 & 1 \\ y_3 & z_3 & 1 \end{vmatrix} = y_1(z_2 - z_3) + y_2(z_3 - z_1) + y_3(z_1 - z_2)$$

$$b_h = - \begin{vmatrix} x_1 & z_1 & 1 \\ x_2 & z_2 & 1 \\ x_3 & z_3 & 1 \end{vmatrix} = z_1(x_2 - x_3) + z_2(x_3 - x_1) + z_3(x_1 - x_2)$$

, (4.23)

$$c_h = \begin{vmatrix} x_1 & y_1 & 1 \\ x_2 & y_2 & 1 \\ x_3 & y_3 & 1 \end{vmatrix} = x_1(y_2 - y_3) + x_2(y_3 - y_1) + x_3(y_1 - y_2)$$

$$d_h = - \begin{vmatrix} x_1 & y_1 & z_1 \\ x_2 & y_2 & z_2 \\ x_3 & y_3 & z_3 \end{vmatrix} = x_1(y_3 z_2 - y_2 z_3) + y_1(z_3 x_2 - z_2 x_3) + z_1(x_3 y_2 - x_2 y_3)$$

a normálisvektor

$$\mathbf{n} = a_h \mathbf{i} + b_h \mathbf{j} + c_h \mathbf{k}. \quad (4.24)$$

---

Egy sokszögnek akkor látjuk a pozitív oldalát, ha a normálisvektor a vetítősü gár képsík felé mutató vektorával tompaszöget zár be. Zárt poliéderek lapjainak csak a pozitív oldaluk látható. Konvex poliéderek megjelenítéséhez a lapok irányítását tekintetbe vevő láthatósági teszt elegendő, ugyanis takarások nem fordulhatnak elő.

Az irányítás előjele azonban a vetítés során megmarad, ezért egy gyorsabb (kevesebb műveletet igénylő) láthatósági tesztet alkalmazhatunk. Legyenek a fenti sokszög adott csúcsainak képsíkra eső (merőleges vagy középpontos) vetületei  $A'_1(u_1, v_1)$ ,  $A'_2(u_2, v_2)$ ,  $A'_3(u_3, v_3)$ . Akkor a vetületsokszög pozitív irányítású (normálisvektora a megfigyelő felé mutat), ha:

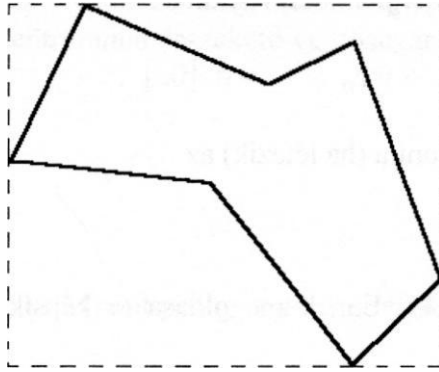
$$u_1(v_2 - v_3) + u_2(v_3 - v_1) + u_3(v_1 - v_2) > 0 \quad (4.2)$$

#### 4.4.3. Takarásnak megfelelő megjelenítési sorrend

Egymást részben takaró sokszögekből álló ábrát úgy készíthetünk, hogy a látható sokszögeket a megfelelő sorrendben jelenítjük meg (az alul levő sokszöget előbb, a felül levőt később). A sorrendmegállapítást a következő módon végezzük:

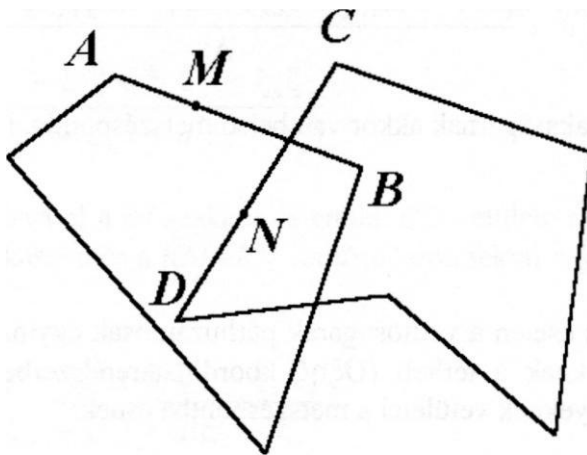
- először a sokszögeket a súlypontjuk képsíkhöz viszonyított magassága szerinti fordított sorrendbe helyezzük. Csillagszerű poliéderek (van olyan belső pontjuk, amelyből a poliéder minden lapjának a belső oldala látszik) megjelenítéséhez ez elegendő is. A számítások gyorsítása céljából itt a súlypont magasságát a csúcsok magasságának középátlósával helyettesíthetjük.
- nem csillagszerű poliéderek esetén meg kell vizsgálni a takarási viszonyokat. Olyan pontot keresünk, amely mindkét összehasonlítandó sokszög vetületének belsejében van, majd kiszámítjuk a sokszögbeli megfelelőinek magasságát (metsszük a sokszögek síkjait a vetítősügárral).

Bonyolult alakzatok esetén a takarási viszonyok megállapítása időigényes művelet, ezért érdemes az összehasonlító eljárást elkerülni azokra a sokszögpárokra, amelyeknek vetületei diszjunktak. Ennek egyik leggyorsabb módja, hogy a vetületeket téglalap alakú "dobozokba" zárjuk (4.7. ábra) és csak azokat az eseteket vizsgáljuk, amelyekben a dobozok legalábbis részben egymásra tevődnek.



4.7. ábra

Közös vetületpont keresésének egyik módja, hogy kiszámítjuk a vetületek élének metszéspontját (4.8. ábra).



4.8. ábra

Két (kép)síkbeli szakasz közötti metszéspont meghatározása a következő módon történik:

Legyen  $M$  az  $AB$  szakaszon mozgó pont. Helyvektora (tulajdonképpen az  $AB$  szakasz paraméteres előállítás):

$$\mathbf{r}_M = (1 - u) \mathbf{r}_A + u \mathbf{r}_B ; \quad u \in [0,1] . \quad (4.26)$$



A  $CD$  szakaszon mozgó  $N$  pont

$$\mathbf{r}_N = (1 - \nu) \mathbf{r}_C + \nu \mathbf{r}_D ; \quad \nu \in [0,1] . \quad (4.2)$$

A két szakasz metszéspontja (ha létezik)

$$\mathbf{r}_M = \mathbf{r}_N$$

egyenlettel számítható ki. Ennek megoldása (a képsík  $Oxy$  koordinátarendszerében):

$$\Delta = (x_B - x_A)(y_C - y_D) - (x_C - x_D)(y_B - y_A)$$

$$\Delta \neq 0 : \quad \begin{cases} u = \frac{(x_C - x_A)(y_C - y_D) - (x_C - x_D)(y_C - y_A)}{\Delta} \\ v = \frac{(x_B - x_A)(y_C - y_A) - (x_C - x_A)(y_B - y_A)}{\Delta} \end{cases} \quad (4.29)$$

A szöbanforgó szakaszpárnak akkor van belső metszéspontja, ha:

$$\begin{cases} u \in (0,1) \\ v \in (0,1) \end{cases} . \quad (4.30)$$

Merőleges vetítés esetén a vetítősugarak párhuzamosak egymással, ezért meghatározhatók azoknak a térbeli ( $O\xi\eta\zeta$  koordinátarendszerben) pontoknak a magasságai, amelyeknek vetületei a metszéspontba esnek:

ahol  $\zeta_m$  kisbetűvel jelöltük azokat a térbeli pontokat, amelyeknek vetületeit a metszéspontba esnek,  $\zeta_a, \zeta_b, \zeta_c, \zeta_d$  felelő nagybetűk jelölik.

$$\text{meg-} \quad \begin{cases} \zeta_m = (1 - u) \zeta_a + u \zeta_b \\ \zeta_n = (1 - \nu) \zeta_c + \nu \zeta_d \end{cases} , \quad (4.31)$$

Középpontos vetítésnél az itt kihasznált hasonlóság nem áll fenn. Ebben az esetben a vetítősugarat kell metszeni a két térbeli szakasszal. A 4.9. ábra síkja a  $K(0, 0, d)$  centrumon és a képsíkban fekvő  $AB$  szakaszon (illetve az  $ab$

szakaszon, amelynek ez a vetülete) megy át. Az OT  $r$  koordinátarendszerben az  $M(\xi, \eta, 0)$  pontot a centrummal összekötő vetítősugár paraméteres előállítására:

$$\begin{cases} \xi = u\xi_M \\ \eta = u\eta_M \\ \zeta = (1 - u)d \end{cases}, \quad (4.32)$$

ahol a  $K$  pont az  $u = 0$ , az  $M$  pont pedig az  $u = 1$  értékeknek felel meg. Ezt a vetítősugarat metszve az  $ab$  szakasszal:

$$\mathbf{r} = (1 - t) \mathbf{r}_a + t \mathbf{r}_b; \quad t \in [0, 1], \quad (4.33)$$

az  $m$  pontnak a vetítősugáron megfelelő paraméter értékére a következő képletet kapjuk (az  $ab$  és  $KM$  szakaszok egységességét a vetítési eljárás biztosítja):

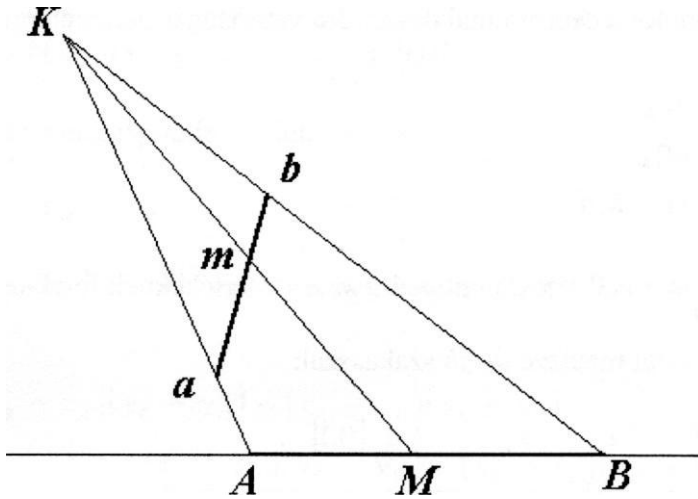
$$u = \frac{d(\xi_b - \xi_a) + \xi_a \zeta_b - \xi_b \zeta_a}{\xi_M (\zeta_b - \zeta_a) + d(\xi_b - \xi_a)}. \quad (4.34)$$

Hasonlóképpen járva el a  $cd$  szakasz és ennek  $CD$  vetülete esetében, meghatározható a  $cd$  szakaszon és a  $KM = KN$  vetítősugáron fekvő  $n$  pontnak megfelelő  $v$  paraméterérték:

$$v = \frac{d(\xi_d - \xi_c) + \xi_c \zeta_d - \xi_d \zeta_c}{\xi_N (\zeta_d - \zeta_c) + d(\xi_d - \xi_c)}. \quad (4.35)$$

Az  $m$  és  $n$  pontok közül tehát az van a vetítősugáron a centrumhoz közelebb, amelyikre kisebb paraméterérték adódik. Következésképpen azt a sokszöget kell utóbb megjeleníteni, amelynek az élén a centrumhoz közelebbi pont fekszik.

Az egyik sokszög vetületének minden élét a másik sokszög vetületének minden élével össze kell hasonlítani addig, amíg egy metszéspontot találunk, amelyre a fent leírt módon a sorrendet meg tudjuk állapítani. A valódi metszéspontokra (ahol a vetületek metszéspontja pontosan a térbeli  $ab$  és  $cd$  szakaszok metszéspontjának vetülete) ez nem megtehető, ilyenkor tovább kell keresni.

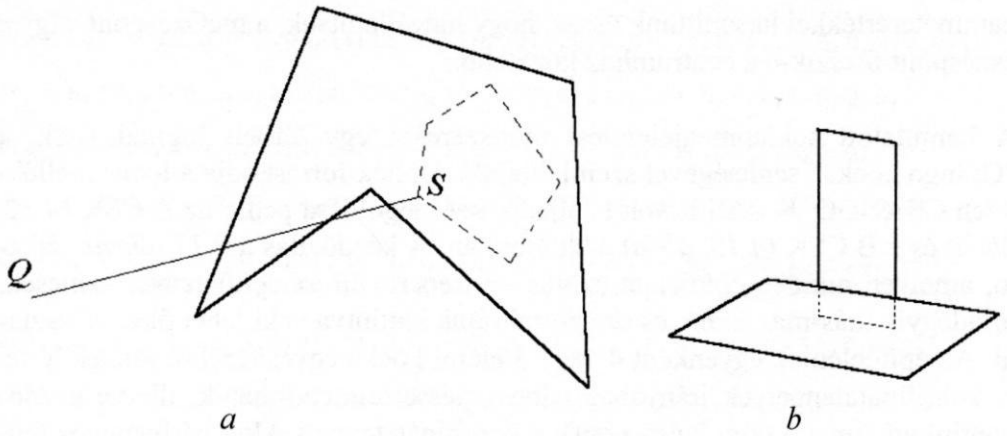


4.9. ábra

Előfordulhat, hogy ez a módszer nem alkalmazható, éspedig akkor, ha az egyik sokszög vetülete teljesen a másikéba esik (4.10.a. ábra), vagy ha a vetületek élei közötti metszéspontok mind valódi metszéspontok (4.10. b. ábra).

Ezekben az esetekben olyan csúcspontot keresünk, amelynek vetülete a másik sokszög vetületének belsejébe esik. Tekintsünk egy képsíkbeli  $Q$  pontot, amelyik biztosan a vizsgált sokszögön kívül fekszik (4.10.a. ábra). A másik sokszög egy csúcának vetülete legyen  $S$ . Akkor megnézzük, hogy a  $QS$  szakasz hány élet metszi az első sokszög vetületének. Ha a metszéspontok száma páratlan, akkor  $S$  a vetületsokszögön belül, ha páros, akkor ezen kívül fekszik. Ezt a műveletet a második sokszög minden csúcsára elvégezzük, majd a sokszögeket felcserélve megismételjük addig míg egy belső pontot találunk.

Ezután a csúcshoz tartozó vetítősugarat metszük a másik sokszög síkjával és összehasonlítjuk a metszéspont és a csúcs magasságát (merőleges vetítés esetén) illetve középponttól való távolságát (centrális vetítésnél) a megjelenítési sorrend megállapítása érdekében.



4.10. ábra

Legyen az első sokszög három nem kollineáris csúcsa pozitív sorrendben  $a_1(\xi_1, \eta_1, \zeta_1)$ ,  $a_2(\xi_2, \eta_2, \zeta_2)$  és  $a_3(\xi_3, \eta_3, \zeta_3)$ . Akkor a sokszög síkjának egyenlete:

$$\begin{vmatrix} \xi & \eta & \zeta & 1 \\ \xi_1 & \eta_1 & \zeta_1 & 1 \\ \xi_2 & \eta_2 & \zeta_2 & 1 \\ \xi_3 & \eta_3 & \zeta_3 & 1 \end{vmatrix} = 0 \quad , \quad (4.36)$$

azaz

$$a_h \xi + b_h \eta + c_h \zeta + d_h = 0 \quad , \quad (4.37)$$

ahol az együtthatókat a 4.23 -hoz hasonló képletek adják. Ezt a síkot metszve a  $KS$  vetítősugárral (4.32 előállítás) kapjuk a metszéspontnak megfelelő

$$u = \frac{c_h d + d_h}{c_h d - a_h \xi_s - b_h \eta_s} \quad (4.38)$$

paraméterértéket, amelyet az  $S$  vetületű  $s$  csúcsot jellemző

$$v = 1 - \frac{\zeta_s}{d} \quad (4.39)$$

paraméterértékkel hasonlítunk össze, hogy megállapítsuk, a metszéspont vagy a csúcspont fekszik-e a centrumhoz közelebb.

A bemutatott soklappmegjelenítési módszereket egy térbeli logikai játék, a "Csángó kocka" segítségével szemléltetjük. A játék forráskódja a lemezmellékleten CSANGO\_K.PAS néven található, két megoldása pedig az A.CSK (4.12. ábra) és a B.CSK (4.13. ábra) adattárokban. A kezdőállás a 4.11. ábrán látható, amelyen minden építőelem szürke. A képernyőn az építőelemek színesek, mindegyik más-más színű, és az egerrel rájuk kattintva is ki lehet őket választani. Az építőelemek egyenként 4 vagy 5 elemi kocka egyesítéséből jönnek létre. A koordinátatengelyek irányában adott lépéssel elmozdíthatók, illetve kezdőpontjukon átmenő (egy belső pont), a koordinátatengelyekkel párhuzamos tengelyek körül  $90^\circ$ -kal elforgathatók. A merev építőelemek közötti áthatás kizárását ebben az esetben úgy is meg lehet oldani, hogy a teret az építőelemek elemi kockáinak megfelelő kockákra bontjuk és egy mátrixban tároljuk a kockák szabad (0) vagy foglalt (1) állapotát jelző számot. Csak azok a mozgások megengedettek, amelyek során az építőelem új helye szabad kockákból áll.

(\$N+)

program csango\_k;

uses crt, dos, graph, grafind, eger kez, file kez, kerdesek, kozos;

type

ml = array[1..12,0..8] of byte; mp =  
array[1..8] of pont;

const

a=13; kx=260; ky: **array[0..2]** of integer =  
(380,300,275); kz=1500; {a szentávolság pixelben}  
xl=20; yl=50; x2=510; y2=460; y3=70;  
fel=#72; le=#80; bal=#75; jobb=#77;  
pr: **array[1..5,1..4]** of char =  
(('X','U','R','E'), ('Y','V','S','F'),  
( 'Z','W','T','G'), (fel,le,bal,jobb), ('A','B','Q',' '));  
valasz• kars =  
[ 'X','U','R','E','Y','V','S','F','Z','W','T','G',  
fel,le,bal,jobb,'A','B','Q'];  
fi0=pi/18-pi/6; dfi=pi/6; si0=7\*pi/18; dsi=pi/6;  
x0=x2-40; y0=y1+40;  
{építőelemek csúcsainak száma}  
nc: **array [ 1.. 6 ] of byte** = (18,15,15,15,15,16);  
{építőelemek lapjainak oldalszáma és a megfelelő csúcsok sorszáma}  
ns: **array[1..6] of ml** =  
(((4,1,4,8,5,0,0,0,0), (4,2,6,7,3,0,0,0,0),

```

(4,9,10,14,13,0,0,0,0), (4,11,12,16,15,0,0,0,0), (4,8,9,17,5,0,0,0,0),
(4,7,6,18,12,0,0,0,0), (4,13,16,18,17,0,0,0,0), (4,5,6,2,1,0,0,0,0)),
((4,1,4,8,5,0,0,0,0), (6,9,10,3,2,6,13,0,0), (4,11,10,9,15,0,0,0,0),
(4,1,2,3,4,0,0,0,0), (4,9,13,14,15,0,0,0,0), (6,4,3,10,11,12,8,0,0),
(4,15,14,12,11,0,0,0,0), (4,5,8,12,7,0,0,0,0), (4,6,7,14,13,0,0,0,0),
(4,5,6,2,1,0,0,0,0), (0,0,0,0,0,0,0,0,0), (0,0,0,0,0,0,0,0,0)),
((6,1,4,15,11,12,5,0,0), (4,2,6,7,3,0,0,0,0), (4,11,15,10,14,0,0,0,0),
(4,1,2,3,4,0,0,0,0), (4,14,13,12,11,0,0,0,0), (6,4,3,7,9,10,15,0,0),
(4,13,14,10,9,0,0,0,0), (4,8,9,7,6,0,0,0,0), (4,12,13,8,5,0,0,0,0),
(4,5,6,2,1,0,0,0,0), (0,0,0,0,0,0,0,0,0), (0,0,0,0,0,0,0,0,0)),
((4,1,4,8,5,0,0,0,0), (6,3,2,6,7,15,11,0,0), (4,10,11,15,14,0,0,0,0),
(4,1,2,3,4,0,0,0,0), (4,7,13,14,15,0,0,0,0), (6,4,3,11,10,9,8,0,0),
(4,9,10,14,13,0,0,0,0), (4,8,9,12,5,0,0,0,0), (4,12,13,7,6,0,0,0,0),
(4,5,6,2,1,0,0,0,0), (0,0,0,0,0,0,0,0,0), (0,0,0,0,0,0,0,0,0)),
((6,1,4,10,14,13,5,0,0), (4,2,6,7,3,0,0,0,0), (4,10,11,15,14,0,0,0,0),
(4,1,2,3,4,0,0,0,0), (4,8,13,14,15,0,0,0,0), (6,4,3,7,12,11,10,0,0),
(4,11,12,8,15,0,0,0,0), (4,9,12,7,6,0,0,0,0), (4,8,9,5,13,0,0,0,0),
(4,5,6,2,1,0,0,0,0), (0,0,0,0,0,0,0,0,0), (0,0,0,0,0,0,0,0,0)),
((4,1,4,8,5,0,0,0,0), (4,6,15,11,7,0,0,0,0), (4,10,11,15,14,0,0,0,0),
(4,1,2,3,4,0,0,0,0), (8,13,14,15,6,16,2,1,5), (8,4,3,12,7,11,10,9,8),
(4,9,10,14,13,0,0,0,0), (4,16,12,3,2,0,0,0,0), (4,8,9,13,5,0,0,0,0),
(4,6,7,12,16,0,0,0,0), (0,0,0,0,0,0,0,0,0), (0,0,0,0,0,0,0,0,0)));

```

**type**

```

pont3 = object
  x, y, z: real;
  procedure uj(a,b,c: real);
end;

hely3 = object
  u, v, w: shortint;
  procedure uj(a,b,c: shortint);
end;

mcs = array[1..18] of pont3;

```

#### 4. FEJEZET

---

```
ms = array[1..18] of pont;
mbp = array[1..5] of hely3;

elem = object(pont3) {építőelem objektum értelmezése}
  ncs, nk, nl, nlh: byte; {csúcsok, elemi kockák, lapok illetve
                           látható lapok száma}
  cs: mcs; {csúcsok koordinátái az 1-es számú elemi kocka
            középpontjához viszonyítva}
  s, p: mcs; {csúcsok vetületeinek koordinátái középpontos (s) és
             párhuzamos (p) vetítésnél}
  bp: mbp; {elemi kockák középpontjainak az 1-es számúéhoz
            viszonyított helyei (áthatáskizáráshoz)}
  lap: ml; {lapok csúcsainak száma, illetve a laphoz tartozó
            csúcsok sorszámai}
  lth: array[1..12] of byte; {lapok láthatósága}
  mg: array[0..12] of real; {elem középpontjának magassága és a
                             lapok középmagassága}
  l_sorr: array[0..8] of byte; {látható lapok megjelenítési
                                sorrendje}

  procedure vet;
  procedure tol(n: byte);
  procedure forg(n: byte);
  procedure athatas;
  procedure sorrend;
end;

mk = array[1..14] of elem;

bill = object {vizuális billentyű értelmezése}
  xl,yl,x2,y2: integer;
  nev: char;
  ny: byte;
  procedure mj;
  procedure uj(x, y, a, b, n: integer; nv: char) ;
  procedure nyom;
end;

var
  kc: mk; ff: file of mk;
  lsz, i, j: integer;
  vb: array[1..5,1..4] of bill;
  fi, si, sf, cf, sp, cp: real;
  nsi: byte;
  xt, yt, zt, ut, vt, wt: real;
  ks: byte; {a kiválasztott építőelem sorszáma}
  mf: array[0..9,0..9,0..6] of byte; {tértartományok elfoglalási
                                       mátrixa
                                       - áthatások kiküszöböléséhez}
  rgh, ujh: mbp; {az elfoglalt tartományok régi és új címei}
  at: byte; {áthatásteszt eredménye}
  e_sorr: array[0..14] of byte; {elemek megjelenítési sorrendje}
  l_sorr: array[0..100] of pont; {lapok megjelenítési sorrendje}
```

```

nlh: byte; (látható lapok száma)
dbx, dbn: array[0..100] of pont3; {lapok vetületeit bezáró "dobozok"
sarkai}

procedure pont3.uj(a,b,c: real);
begin
  x:=a; y:=b; z:=c;
end;

procedure hely3.uj(a,b,c: shortint);
begin
  u:=a; v:=b; w:=c;
end;

procedure cim; (a játék neve és szerzője)
const
  cx=330; cy=25;
begin
  setcolor(0); setlinestyle(0,0,1);
  setfillstyle(1,10); fillellipse(cx, cy, 65, 20);
  setfillstyle(1,15); fillellipse(cx, cy, 57, 15);
  settextstyle(0,0,1); setcolor(12); outtextxy(cx-50,cy-4,
  'Emoke játéka');
  outtextxy(cx-34, cy-6, "") ; setcolor(5); settxtstyle (1,
  0, 4) ; outtextxy(10,10,'CSANGO KOCKA');
  settextstyle(0,0,1); outtextxy(58,10,'/ /');
  setcolor(5); outtextxy(5,468,'C Füzi János'); circle(8,471,7);
end;

procedure nyil(x0,y0: integer; alf: real);
const sh=7; sr=3; h=12;
var a,b,c,d,e,f: integer;
begin
  a:=round(h*cos(alf)); b:=round(h*sin(alf));
  c:=round(-sh*cos(alf)+sr*sin(alf));
  d:=round(sh*sin(alf)+sr*cos(alf)); e:=round(-
sh*cos(alf)-sr*sin(alf)); f:=round(sh*sin(alf)-
sr*cos(alf)); moveto(x0-a,y0+b); lineto(x0+a, y0-
b); linerel(c,d); moveto(x0+a,y0-b); linerel(e,f);
end;

procedure iv (x0, y0, n: integer) ; {forgatási irányt jelző ív}
var a,b: integer;
begin
  setcolor(12); .
  ellipse(x0,y0,30,330,8,16);
  case n of
    0:begin a:=x0+7; b:=y0+8;
      moveto(a,b); linerel(0,5); moveto(a,b); linerel(-4,3); end;
    1:begin a:=x0+7; b:=y0-8;
      moveto(a,b); linerel(0,-5); moveto(a,b); linerel(-4,-3); end;
  end;
end;

```



```
    setcolor(0);  
end;
```

```
procedure mezo; (képsíktartomány törlése)
```

```
begin
```

```
    setfillstyle(1,15); bar(x1+4,y1+4,x2-4,y2-4);
```

```
    setcolor(3); line(x1+6,y2-4,x2-6,y2-4); line(x2-4,y1+6,x2-4,y2-6);
```

```
end;
```

```
procedure bill.mj; (vizuális billentyű térhatású keretének megjelenítése)
```

```
begin
```

```
    case ny of
```

```
        0 : kkeret(x1, y1, x2, y2, 1, 1) ; (felengedve)
```

```
        1 : bkeret(x1-1,y1-1,x2+1,y2+1,1,1) ; (lenyomva)
```

```
    end;
```

```
end;
```

```
procedure bill.uj(x,y,a,b,n: integer; nv: char); (vizuális billentyű felirata)
```

```
begin
```

```
    x1 := x; y1 := y; x2 := x+a; y2 := y+b; nev:=nv; mj;
```

```
    setcolor(3); settextstyle(1,0,2);
```

```
    if n>0 then outtextxy(x+(a div 3)+1,y+(b div 4),nev);
```

```
    setcolor(0);
```

```
    case n of
```

```
        2:nyil(x1+10,y+20,pi/2);
```

```
        3:nyil(x1+10,y+20,-pi/2);
```

```
        4:begin nyil(x1+22,y+20,0); iv(x1+22,y+20,0); end;
```

```
        5:begin nyil(x1+22,y+20,0); iv(x1+22,y+20,1); end;
```

```
    end;
```

```
    ny:=0;
```

```
end;
```

```
procedure bill.nyom; (billentyűlenyomás eredménye)
```

```
begin
```

```
    katt(x1,y1,x2,y2,ny); if ny=1 then qr:=nev;
```

```
end;
```

```
procedure nlap(x,y: integer; nv: char);
```

```
begin
```

```
    kkeret(x, y, x+110, y+120, 2, 2) ;
```

```
    setcolor(0); settextstyle(0,0,1); outtextxy(x+50,y+10,nv);
```

```
    vb[lsz,1].uj(x+5,y+25,45,40,2,pr[lsz,1J]);
```

```
    vb[lsz,2].uj(x+60,y+25,45,40,3,pr[lsz,2]);
```

```
    vb[tsz,3J].uj(x+5,y+75,45,40,4,pr[lsz,3J]);
```

```
    vb[lsz,4].uj(x+60,y+75,45,40,5,pr[lsz,4]);
```

```
end;
```

```
procedure szinlap; (kiválasztott építőelem színének kijelzése)
```

```
begin
```

```
    setfillstyle(1,ks); bar(x2+45,y3-28,x2+87,y3-2);
```

```
end;
```

```

procedure keret;
begin
  setfillstyle(1,11); bar(0,0,getmaxx,getmaxy);
  bkeret(xl,yl,x2,y2,4,4); mezo;
  for lsz:=1 to 3 do nlap(x2+10,y3+lsz*130-110,chr(119+lsz));
  kkeret(x2+10,10,x2+120,80,2,2); vb[5,3].uj(450,10,60,35,1,'Q');
  setcolor(0); settextstyle(0,0,1);
  outtextxy(x2+25,20,'Kiválasztás'); outtextxy(462,14,'kilép');
  ablak(x2+42,y3-30,x2+90,y3); vb[5,1].uj(x2+16,y3-30,20,30,1,'A');
  vb[5,2].uj(x2+95,y3-30,20,30,1,'B');
  setcolor(0);
  nyil(x2+20,y3-15,-pi/2); nyil(x2+99,y3-15,pi/2);
  vb[4,4].uj(270,464,40,14,0,jobb); vb[4,3].uj(220,464,40,14,0,bal);
  vb[4,1].uj(2,200,14,40,0,fel); vb[4,2].uj(2,250,14,40,0,le);
  setcolor(12); setlinestyle(0,0,3);
  nyil(290,471,0); nyil(240,471,pi); nyil(9,270,-pi/2);
  nyil(9,220,pi/2);
  színlap;
  vb[5,4].uj(0,0,0,0,0,'`');
end;

procedure gb ny; (vizuális billentyű lenyomása)
var kn: byte;
begin
  {egérrel}
  with reg do begin
    ax:=3; intr($33,reg);
    if bx=1 then begin
      for k:=1 to 5 do
        for l:=1 to 4 do vb[k,l].nyom;
        {építőelem kiválasztása színe szerint, rákattintással}
        if (cx>xl) and (cx<x2) and (dx>yl) and (dx<y2) then begin
          kn:=getpixel(cx,dx);
          if (kn>0) and (kn<15) then begin ks:=kn; színlap; end;
        end;
      end;
    end;
  {billentyűzetről}
  if keypressed then qr:=upcase(readkey);
end;

procedure lenyom(k,l: byte); (billentyűlenyomás megjelenítése)
begin
  vb[k,l].ny:=1; vb[k,l].mj;
end;

procedure feleng(k,l: byte);
begin
  vb[k,l].ny:=0; vb[k,l].mj; (billentyűfelengedés megjelenítése)
end;

```

```

procedure szogf; {vetítési szögek szögfüggvényei}
begin
  sf:=sin(fi); cf:=cos(fi); sp:=sin(si); cp:=cos(si);
end;

procedure vetit(x,y,z: real);
var t: real;
begin
  ut:=-x*sf+y*cf;           {párhuzamos vetítés}
  vt:=-x*cp*cf-y*cp*sf+z*sp;
  wt:=x*sp*cf+y*sp*sf+z*cp; {képsíkhöz viszonyított magasság}
  xt:=kz*ut/(kz-wt);       {perspektíva}
  yt:=kz*vt/(kz-wt);
  t:=sqrt(xt*xt+yt*yt+kz*kz); {pont távolsága a képsíkbeli
                                vetületétől}
  zt:=t*wt/kz;
end;

procedure kdr; (koordinátarendszer megjelenítése)
begin
  setcolor(0);
  vetit(30,0,0);moveto(x0,y0); lineto(x0+round(xt),y0-round(yt));
  outtext('x');
  vetit(0,30,0);moveto(x0,y0); lineto(x0+round(xt),y0-round(yt));
  outtext('y');
  vetit(0,0,30);moveto(x0,y0); lineto(x0+round(xt),y0-round(yt));
  outtext('z');
end;

procedure lap megj(k,l: byte); (k.-ik elem l.-ik lapjának
                                megjelenítése)
var lp: mp; q: byte;
begin
  setcolor(16); setfillstyle(1,k);
  with kc[k] do begin
    for q:=1 to lap[1,0] do
      lp[q].uj(kx+round(s[lap[1,q]].x),ky[nsi]-round(s[lap[1,q]].y));
      fillpoly(lap[1,0],lp);
    end;
end;

procedure osszeh(k1,l1,k2,l2:byte; var sk: byte);
{kl.-ik kocka l1.-ik lapja és k2.-ik kocka l2.-ik lapja közötti
átfedés vizsgálata a megjelenítési sorrend megállapításához} const
bz=1e-3; (biztonsági távolság, a valódi metszéspontokban
          előforduló összehasonlítási hiba elkerülésére)
  bt=1e-2;
var
  i,j,mz,ct: byte;
  a, b, c, d, aa, bb, cc, dd, ee, m: pont3;

```

```

procedure metsz;
  (két szakasz képsíkra eső vetületének metszéspontja)
begin
  del:=(bb.x-aa.x)*(cc.y-dd.y)-(bb.y-aa.y)*(cc.x-dd.x);
  if del<>0 then begin
    u:=(cc.x-aa.x)*(cc.y-dd.y)-(cc.y-aa.y)*(cc.x-dd.x)/del;
    v:=(bb.x-aa.x)*(cc.y-aa.y)-(bb.y-aa.y)*(cc.x-aa.x)/del;
    if (u>bz) and (u<1-bz) and (v>bz) and (v<1-bz) then mz:=1;
  end;
end;

procedure egyutth; (lap síkja egyenletének együtthatói)
begin
  ah:=a.y*(b.z-c.z)+b.y*(c.z-a.z)+c.y*(a.z-b.z);
  bh:=a.z*(b.x-c.x)+b.z*(c.x-a.x)+c.z*(a.x-b.x);
  ch:=a.x*(b.y-c.y)+b.x*(c.y-a.y)+c.x*(a.y-b.y);
  dh:=a.x*(c.y*b.z-b.y*c.z)+a.y*(c.z*b.x-b.z*c.x)+a.z*
    (c.x*b.y-b.x*c.y);
end;
begin
  sk:=0;
  for i:=1 to kc[k1].lap[11,0] do
    for j:=1 to kc[k2].lap[12,0] do
      if sk<>1 then begin
        with kc[k1] do begin
          aa:=s[lap[11,i]]; a:=p[lap[11,i]];
          if i<lap[11,0] then begin bb:=s[lap[11,i+1]];
            b:=p[lap[11,i+1]];
          end else begin bb:=s[lap[11,1]]; b:=p[lap[11,1]]; end;
        end;
        with kc[k2] do begin
          cc:=s[lap[12,j]]; c:=p[lap[12,j]];
          if j<lap[12,0] then begin dd:=s[lap[12,j+1]];
            d:=p[lap[12,j+1]];
          end else begin dd:=s[lap[12,1]]; d:=p[lap[12,1]]; end;
        end;
        mz:=0; u:=0; v:=1; metsz;
        if mz=1 then begin
          ah:=(1-u)*aa.x+u*bb.x;
          bh:=(1-v)*cc.x+v*dd.x;
          n1:=ah*(b.z-a.z)+kz*(b.x-a.x);
          n2:=bh*(d.z-c.z)+kz*(d.x-c.x);
          if (abs(n1)<bz) or (abs(n2)<bz) then sk:=2 else begin
            u:=(kz*(b.x-a.x)-a.z*b.x+a.x*b.z)/n1;
            v:=(kz*(d.x-c.x)-c.z*d.x+c.x*d.z)/n2;
            if abs(u-v)<bt then sk:=2 else if v<u then sk:=1;
          end;
        end;
      end;
    end;
  end;
  cc . uj (500, 500, 0) ;
  if sk=2 then begin
    for i:=1 to kc[ki].lap[11,0] do
      if sk=2 then begin

```

```

ct:=0;
dd:=kc[k1].s[kc[ki].lap[11,i]];
ee:=kc[k1].p[kc[ki].lap[11,i]];
for j:=1 to kc[k2].lap[12,0] do begin
  with kc[k2] do begin
    aa:=s[lap[12,j]];
    if j<lap[12,0] then bb:=s[lap[12,j+1]]
      else bb:=s[lap[12,1]];
  end;
  mz:=0; metsz; if mz=1 then ct:=ct+1;
end;
if odd(ct) then begin {átfedésteszt}
  with kc[k2] do begin
    a:=p[lap[12,1]]; b:=p[lap[12,2]]; c:=p[lap[12,3]]; end;
  egyutth;
  nl:=ah*dd.x+bh*dd.y-ch*kz;
  if abs(ni)>bz then begin
    u:=- (ch*kz+dh)/nl;
    v:=1-ee.z/kz;
    if u<v-bz then sk:=1;
  end;
end;
end;
if sk=2 then begin
  for i:=1 to kc[k2].lap[12,0] do
    if sk=2 then begin
      ct:=0;
      dd:=kc[k2].s[kc[k2].lap[12,i]];
      ee:=kc[k2].p[kc[k2].lap[12,i]];
      for j:=1 to kc[k1].lap[11,0] do begin
        with kc[k1] do begin
          aa:=s[lap[11,j]];
          if j<lap[11,0] then bb:=s[lap[11,j+1]]
            else bb:=s[lap[11,1]];
        end;
        mz:=0; metsz; if mz=1 then ct:=ct+1;
      end;
      if odd(ct) then begin {átfedésteszt}
      with kc[k1] do begin
        a:=p[lap[11,1]]; b:=p[lap[11,2]]; c:=p[lap[11,3]]; end;
      egyutth;
      nl:=ah*dd.x+bh*dd.y-ch*kz;
      if abs(ni)>bz then begin
        u:=- (ch*kz+dh)/nl;
        v:=1-ee.z/kz;
        if v<u-bz then sk:=1;
      end;
    end;
  end;
end;
end;

```

```

procedure elem.sorrend; {lapok kezdeti sorrendje egy elemen belül}
begin
  nlh:=0;
  for j:=1 to nl do if lth[j]=1 then begin nlh:=nlh+1;
                                          l sorr[nlh]:=j end;
end;

```

```

procedure doboz(k,l: byte); (k.-ik elem l.-ik lapját bezáró "doboz")
var
  ux, un, vx, vn, u, v: real;
  q: byte;
begin
  with kc[k] do begin
    ux:=s[lap[l,1]].x; un:=ux;
    vx:=s[lap[l,1]].y; vn:=vx;
    for q:=2 to lap[l,0] do begin
      u:=s[lap[l,q]].x;
      if u<un then un:=u else if u>ux then ux:=u;
      v:=s[lap[l,q]].y;
      if v<vn then vn:=v else if v>vx then vx:=v;
    end;
  end;
  dbn[i].uj (un,vn, 0) ; dbx[i].uj (ux,vx, 0) ;
end;

```

```

procedure l_sorrend; {lapok megjelenítési sorrendjének megállapítása}
var sik: byte;
  procedure beszur(i,j,p: byte);
  var q: integer;
  begin
    l sorr[0]:=l sorr[i];
    for q:=i-1 downto j do l_sorr[q+1]:=l_sorr[q];
    l_sorr[j]:=l_sorr[0];
    if p=1 then begin
      dbx[0]:=dbx[i];
      for q:=i-1 downto j do dbx[q+1]:=dbx[q];
      dbx[j]:=dbx[0];
      dbn[0]:=dbn[i];
      for q:=i-1 downto j do dbn[q+1]:=dbn[q];
      dbn[j]:=dbn[0];
    end;
  end;
begin
  nlh:=0;
  {kezdősorrend}
  for i:=1 to 14 do begin
    for j:=1 to kc[i].nlh do
      l_sorr[nlh+j].uj (i,kc[i].l_sorr[j]);
      nlh:=nlh+kc[i].nlh;
    end;
    (sorrendjavítás a lapok középmagassága szerint)
  for l:=2 to nlh do begin
    j:=0;

```

```

repeat
  j:=j+1; sik:=0;
  if kc[1_sorr[1].xp].mg[1_sorr[1].yp]<
    kc[1_sorr[j].xp].mg[1_sorr[j].yp] then sik:=1;
until (sik=1) or (j=1-1);
if sik=1 then beszur(1,j,0);
end;
{"dobozok" sarkainak kiszámítása}
for i:=1 to nlh do doboz(1_sorr[i].xp,1_sorr[i].yp);
{sorrendjavítás az átfedések figyelembe vételével}
for l:=2 to nlh do begin
  j:=0;
  repeat
    j:=j+1; sik:=0;
    {"dobozok" átfedésének vizsgálata}
    if (dbx[j].x>dbn[1].x) and (dbn[j].x<dbx[1].x) and
      (dbx[j].y>dbn[1].y) and (dbn[j].y<dbx[1].y) then
      {átfedésvizsgálat}
      osszeh(1_sorr[1].xp,1_sorr[1].yp,1_sorr[j].xp,
        1_sorr[j].yp,sik);
    until (sik=1) or (j=1-1);
    if sik=1 then beszur(1,j,1);
  end;
end;

procedure rajz; {megjelenítés}
begin
  for i:=1 to 14 do kc[i].sorrend; 1_sorrend; mezo;
  setcolor(0); ("asztal" megjelenítése)
  for k:=-5 to 5 do begin
    vetit(2*k*a,-10*a,0); moveto(kx+round(xt),ky[nsi]-round(yt));
    vetit(2*k*a,10*a,0); lineto(kx+round(xt),ky[nsi]-round(yt));
    vetit(-10*a,2*k*a,0); moveto(kx+round(xt),ky[nsi]-round(yt));
    vetit(10*a,2*k*a,0); lineto(kx+round(xt),ky[nsi]-round(yt));
  end;
  for i:=1 to nlh do lap_megj(1_sorr[i].xp,1_sorr[i].yp);
  kdr;
end;

procedure forgat; {képsík (vetítési irány) forgatása}
begin
  case qr of
    fel :if nsi>0 then nsi:=nsi-1;
    le  :if nsi<2 then nsi:=nsi+1;
    bal :fi:=fi+dfi;
    jobb:fi:=fi-dfi;
  end;
  si:=si0-nsi*dsi; szogf;
  for i:=1 to 14 do kc[i].vet;
  rajz;
  for l:=1 to 4 do if qr=pr[4,1] then feleng(4,1);
end;

```

```

procedure valaszt; {építőelem kiválasztása görgetéssel}
begin
  case qr of
    'A':begin
      if ks<14 then ks:=ks+1 else ks:=1;
      delay(500); feleng(5,1);
    end;
    'B':begin
      if ks>1 then ks:=ks-1 else ks:=14;
      delay(500); feleng(5,2);
    end;
  end;
  szinlap;
end;

procedure kilep; {kilépés}
begin

  kerdez(200,200,'  Menteni a konfigurációt ?','gen','em','I','N');
  repeat kattint(200,200,' I ', 'N ', qm) ;
  until (qm='I') or (qm='N');
  if qm='I' then begin
    eger_n; ment('CSK'); {konfiguráció tárolása}
    if v='I' then begin
      assign(ff,kn); rewrite(ff); write(ff,kc); close(ff); end;
    eger_1;
  end;
end;

procedure elem.vet; {építőelem csúcsainak képsíkra vetítése}
var
  i, j: byte;
  xv, yv, zv, v: real;
begin
  for j:=1 to ncs do begin
    xv:=x+cs[j] .x; yv:=y+cs[j] .y; zv:=z+cs[j] .z;
    vetit(xv,yv,zv); p[j].uj(ut,vt,wt); s[j].uj(xt,yt,zt);
  end;
  vetit(x, y, z) ; mg [0] :=zt;
  (lapok láthatóságának vizsgálata)
  for j:=1 to nl do
    if s[lap[j,1]].x*(s[lap[j,2]].y~s[lap[j,3]].y)+
      s[lap[j,2]].x*(s[lap[j,3]].y~s[lap[j,1]].y)+
      s[lap[j,3]].x*(s[lap[j,1]].y~s[lap[j,2]].y)>0
    then lth[j]:=1 else lth[j]:=0;
    (lapok közép magassága)
  for j:=1 to nl do begin
    mg[j]:=0;
    for i:=1 to lap[j,0] do
      mg[j] :=mg[j]+s[lap[j,i]] .z;
    mg[j] :=mg[j]/lap[j,0];
  end;
end;

```



```

procedure elem.athatas; {elemek közötti áthatás vizsgálata}
begin
  j:=0;
  repeat
    j :=j+1;
    with ujh[j] do
      if (u<0) or (u>9) or (v<0) or (v>9) or (w<0) or (w>6) then
        at:=1 else if mf[u,v,w]=1 then at:=1;
  until (j=nk) or (at=1) ;
end;

procedure elem.tol(n: byte);
begin
  rgh[1]:=bp[1]; {régi hely kiszámítása}
  for i:=2 to nk do
    rgh[i].uj(bp[i].u+bp[1].u,bp[i].v+bp[1].v,bp[i].w+bp[1].w);
  with bp[1] do {új hely kiszámítása}
    case n of
      1:ujh[1].uj(u+1,v,w) ;
      2:ujh[1].uj(u-1,v,w) ;
      3:ujh[1].uj(u,v+1,w) ;
      4:ujh[1].uj(u,v-1,w) ;
      5:ujh[1].uj(u,v,w+1) ;
      6:ujh[1].uj(u,v,w-1) ;
    end;
  with ujh[1] do
  for i:=2 to nk do
    ujh[i].uj(bp[i].u+u,bp[i].v+v,bp[i].w+w) ;
  at :=0;
  for i:=1 to nk do
    mf[rgh[i].u,rgh[i].v,rgh[i].w]:=0; {régi hely felszabadítása}
  athatas;
  if at=0 then begin
    for i:=1 to nk do
      mf[ujh[i].u,ujh[i].v,ujh[i].w]:=1; {új hely elfoglalása}
    bp[1] :=ujh[1];
    case n of {kezdőpont eltolása}
      1:x:=x+2*a;
      2:x:=x-2*a;
      3:y:=y+2*a;
      4:y:=y-2*a;
      5:z:=z+2*a;
      6:z:=z-2*a;
    end;
  end else for i:=1 to nk do
    mf[rgh[i].u,rgh[i].v,rgh[i].w]:=1; {régi hely visszafoglalása}
end;

procedure elem.forg(n: byte);
begin
  rgh[1]:=bp[1]; {régi hely kiszámítása}
  for i:=2 to nk do
    rgh[i].uj(bp[i].u+bp[1].u,bp[i].v+bp[1].v,bp[i].w+bp[1].w);

```

```

ujh[1]:=rgh[1]; (új hely kiszámítása)
for i:=2 to nk do with bp[i] do
  case n of
    1:ujh[i] .uj (u,-w,v);
    2:ujh[i] .uj (u,w,-v);
    3:ujh[i] .uj (w,v,-u);
    4:ujh[i] .uj (-w,v,u);
    5:ujh[i] .uj (-v,u,w);
    6:ujh[i] .uj (v,-u,w);
  end;
with ujh[1] do
for i:=2 to nk do
  ujh[i] .uj (ujh[i] .0+u,ujh[i] .v+v,ujh[i] .w+w);
at:=0;
for i:=1 to nk do
  mf[rgh[i].u,rgh[i].v,rgh[i].w]:=0; {régi hely felszabadítása}
athatas;
if at=0 then begin
  for i:=1 to nk do
    mf [ujh[i] .u,ujh[i] .v,ujh[i] .w] :=1; {új hely elfoglalása}
  with ujh[1] do {elemi kockák új viszonylagos helyeinek
    kiszámítása}
    for i:=2 to nk do bp[i].uj(ujh[i].u-u,ujh[i].v-v,ujh[i].w-w);
  for j:=1 to ncs do with cs[j] do (elem forgatása)
    case n of
      1 : uj (x, -z, y) ;
      2 : uj (x, z, -y) ;
      3:uj (z,y,-x);
      4:uj (-z,Y,x);
      5:uj (-y,x,z);
      6 : uj (y, -x, z) ;
    end;
  end else for i:=1 to nk do
    mf[rgh[i].u,rgh[i].v,rgh[i].w]:=1; (régi hely visszafoglalása)
end;
procedure mozgat;
begin
  case qr of
    'X':begin kc[ks].tol(1); kc[ks].vet; rajz; feleng(1,1); end;
    'U':begin kc[ks].tol(2); kc[ks].vet; rajz; feleng(1,2); end;
    'R':begin kc[ks].forg(1); kc[ks].vet; rajz; feleng(1,3); end;
    'E':begin kc[ks].forg(2); kc[ks].vet; rajz; feleng(1,4); end;
    'Y':begin kc[ks].tol(3); kc[ks].vet; rajz; feleng(2,1); end;
    'V':begin kc[ks].tol(4); kc[ks].vet; rajz; feleng(2,2); end;
    'S':begin kc[ks].forg(3); kc[ks].vet; rajz; feleng(2,3); end;
    'F':begin kc[ks].forg(4); kc[ks].vet; rajz; feleng(2,4); end;
    'Z':begin kc[ks].tol(5); kc[ks].vet; rajz; feleng(3,1); end;
    'W':begin kc[ks].tol(6); kc[ks].vet; rajz; feleng(3,2); end;
    'T':begin kc[ks].forg(5); kc[ks].vet; rajz; feleng(3,3); end;
    'G':begin kc[ks].forg(6); kc[ks].vet; rajz; feleng(3,4); end; end;
end;

```

```

procedure alias;
begin
  eger_n; eger_t(0,0,getmaxx,getmaxy); rajz; eger_1;
end;

procedure kocka; (építőelemek létrehozása)
begin
  with kc[1] do begin
    ncs:=18; nk:=5; n1:=12; lap:=ns[1];
    cs[1].uj(3*a,-a,a); cs[2].uj(-3*a,-a,a); cs[3].uj(-3*a,-a,-a);
    cs[4].uj(3*a,-a,-a); cs[5].uj(3*a,a,a); cs[6].uj(-
    3*a,a,a); cs[7].uj(-3*a,a,-a); cs[8].uj(3*a,a,-a);
    cs[9].uj(a,a,-a); cs[10].uj(a,3*a,-a); cs[11].uj(-a,3*a,-a);
    cs[12].uj(-a,a,-a); cs[13].uj(a,a,3*a); cs[14].uj(a,3*a,3*a);
    cs[15].uj(-a,3*a,3*a); cs[16].uj(-a,a,3*a); cs[17].uj
    (a,a,a); cs[18].uj(-a,a,a); bp[1].uj(0,0,0); bp[2].uj
    (1,0,0); bp[3].uj(-1,0,0);
    bp[4].uj(0,1,0);
    bp[5].uj(0,1,1);
  end;
  with kc[2] do begin
    ncs:=15; nk:=5; n1:=10; lap:=ns[2];
    cs[1].uj(3*a,-a,a); cs[2].uj(-3*a,-a,a); cs[3].uj(-3*a,-a,-a);
    cs[4].uj(3*a,-a,-a); cs[5].uj(3*a,a,a); cs[6].uj(-3*a,a,a);
    cs[7].uj(-a,a,a); cs[8].uj(3*a,a,-a); cs[9].uj(-3*a,3*a,3*a);
    cs[10].uj(-3*a,3*a,-a); cs[11].uj(-a,3*a,-a); cs[12].uj(-a,a,-a);
    cs[13].uj(-3*a,a,3*a); cs[14].uj(-a,a,3*a); cs[15].uj(-
    a,3*a,3*a); bp[1].uj(0,0,0); bp[2].uj(1,0,0); bp[3].uj(-1,0,0);
    bp[4].uj(-
    1,1,0); bp[5].uj(-
    1,1,1); end;
  with kc[3] do begin
    ncs:=15; nk:=5; n1:=10; lap:=ns[3];
    cs[1].uj(3*a,-a,a); cs[2].uj(-3*a,-a,a); cs[3].uj(-3*a,-a,-a);
    cs[4].uj(3*a,-a,-a); cs[5].uj(3*a,a,a); cs[6].uj(-
    3*a,a,a);
    cs[7].uj(-3*a,a,-a); cs[8].uj(a,a,a); cs[9].uj(a,a,-a);
    cs[10].uj(a,3*a,-a); cs[11].uj(3*a,3*a,3*a);
    cs[12].uj(3*a,a,3*a); cs[13].uj(a,a,3*a); cs[14].uj(a,3*a,3*a);
    cs[15].uj(3*a,3*a,-a); bp[1].uj(0,0,0); bp[2].uj(1,0,0);
    bp[3].uj(-1,0,0); bp[4].uj(1,1,0);
    bp[5].uj(1,1,1);
  end;
  with kc [ 4 ] do begin
    ncs:=15; nk:=4; n1:=10; lap:=ns[4];
    cs[1].uj(3*a,-a,a); cs[2].uj(-a,-a,a); cs[3].uj(-a,-a,-a);
    cs[4].uj(3*a,-a,-a); cs[5].uj(3*a,a,a); cs[6].uj(-a,a,a);
    cs[7].uj(-a,a,3*a); cs[8].uj(3*a,a,-a); cs[9].uj(a,a,-a);
    cs[10].uj(a,3*a,-a); cs[11].uj(-a,3*a,-a); cs[12].uj(a,a,a);
    cs[13].uj(a,a,3*a); cs[14].uj(a,3*a,3*a); cs[15].uj(-a,3*a,3*a);
    bp[1].uj(0,0,0); bp[2].uj(1,0,0); bp[3].uj(0,1,0);
    bp[4].uj(0,1,1);
  end;

```

```

cs[1] .uj (a,-a,a); cs[2] .uj (-3*a,-a,a); cs[3] .uj (-3*a,-a,-
a); cs[4] .uj (a,-a,-a); cs[5] .uj (a,a,a); cs[6] .uj (-
3*a,a,a); cs[7] .uj (-3*a,a,-a); cs[8] .uj (-a,a,3*a); cs[9] .uj (-
a,a,a); cs[10] .uj (a,3*a,-a); cs[11] .uj (-a,3*a,-a); cs[12]
.uj (-a,a,-a); cs[13] .uj (a,a,3*a); cs[14] .uj (a,3*a,3*a);
cs[15] .uj (-a,3*a,3*a); bp[1] .uj (0,0,0); bp[2] .uj (-1,0,0);
bp[3] .uj (0,1,0); bp[4] .uj (0,1,1);
end;
with kc[6] do begin
ncs:=16; nk:=4; nl:=10; lap:=ns[6];
cs[1] .uj (3*a,-a,a); cs[2] .uj (-a,-a,a); cs[3] .uj (-a,-a,-a); cs[4]
.uj (3*a,-a,-a); cs[5] .uj (3*a,a,a); cs[6] .uj (-3*a,a,a);
cs[7] .uj (-3*a,a,-a); cs[8] .uj (3*a,a,-a); cs[9] .uj (a,a,-a);
cs[10] .uj (a,3*a,-a); cs[11] .uj (-3*a,3*a,-a); cs[12] .uj (-a,a,-a);
cs[13] .uj (a,a,a); cs[14] .uj (a,3*a,a); cs[15] .uj (-
3*a,3*a,a); cs[16] .uj (-a,a,a);
bp[1] .uj (0,0,0); bp[2] .uj (1,0,0); bp[3] .uj (0,1,0);
bp[4] .uj (-1,1,0);
end;
kc[9]:=kc[1]; kc[14]:=kc[6]; kc[12]:=kc[4]; kc[13]:=kc[5];
kc[10]:=kc[2]; kc[7]:=kc[2]; kc[11]:=kc[3]; kc[8]:=kc[3];
end;

```

procedure uj; {új konfiguráció}

```

begin
with kc[1] do begin uj (3*a,7*a,a); bp[1] .uj (6,8,0); end;
with kc[2] do begin uj (-7*a,-a,a); bp[1] .uj (1,4,0); end;
with kc[3] do begin uj (7*a,-a,a); bp[1] .uj (8,4,0); end;
with kc[4] do begin uj (-9*a,7*a,a); bp[1] .uj (0,8,0); end;
with kc[5] do begin uj (9*a,-9*a,a); bp[1] .uj (9,0,0); end;
with kc[6] do begin uj (3*a,-9*a,a); bp[1] .uj (6,0,0); end;
with kc[7] do begin uj (-7*a,-5*a,a); bp[1] .uj (1,2,0); end;
with kc[8] do begin uj (7*a,3*a,a); bp[1] .uj (8,6,0); end;
with kc[9] do begin uj (-3*a,7*a,a); bp[1] .uj (3,8,0);
end; with kc[10] do begin uj (-7*a,3*a,a); bp[1] .uj
(1,6,0); end; with kc[11] do begin uj (7*a,-5*a,a);
bp[1] .uj (8,2,0); end; with kc[12] do begin uj (-9*a,-
9*a,a); bp[1] .uj (0,0,0); end;
with kc[13] do begin uj (9*a,7*a,a); bp[1] .uj (9,8,0); end;
with kc[14] do begin uj (-3*a,-9*a,a); bp[1] .uj (3,0,0);
end; end;

```

procedure kezd; {kezdőkonfiguráció}

```

begin
for j:=1 to 14 do
with kc[j] do begin
rgh[1]:=bp[1]; {elfoglalt helyek kiszámítása}
for i:=2 to nk do
rgh[i] .uj (bp[i].0+bp[1].u,by[i].v+bp[1].v,bp[i].w+bp[1].w);
for i:=1 to nk do
mf[rgh[i].u,rgh[i].v,rgh[i].w]:=1; {helyfoglalás}
end;
for i:=1 to 14 do kc[i].vet;

```

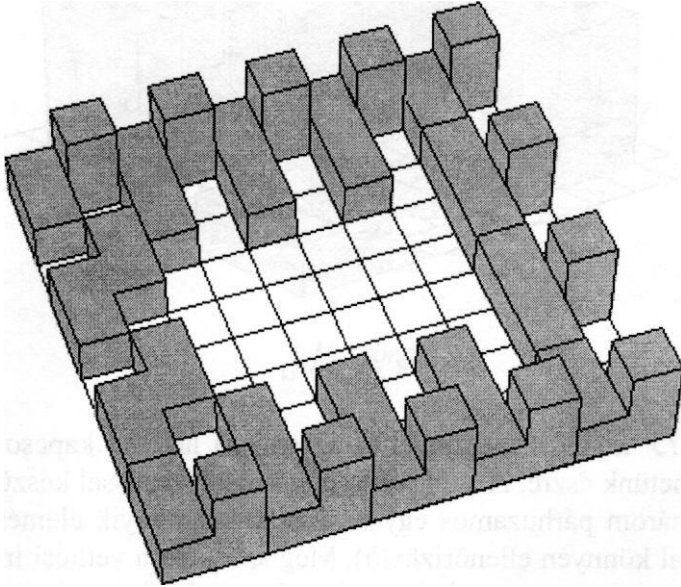
```

procedure konfig; (konfigurációkiválasztás)
begin
  for k:=0 to 9 do for l:=0 to 9 do for i:=0 to 6 do mf[k,l,i]:=0;
  settextstyle(0,0,1);
  repeat
    q f. '_'
    k e r d e z ( 2 0 0 , 2 0 0 , '          K o n f i g u r á c i ó
  repeat
    kattint(200,200,'U','T',qf); until
    (qf='U') or (qf='T'); case of of
    'T': begin
      eger_n; olvas('CSK'); (tárolt konfiguráció betöltése)
      if ko=1 then begin
        assign(ff,kn); reset(ff); read(ff,kc); close(ff); end;
      eger_l;
    end;
    'U': begin kocka; uj; ko:=1; end;
  end;
  until ko=1;
  kezd;
end;

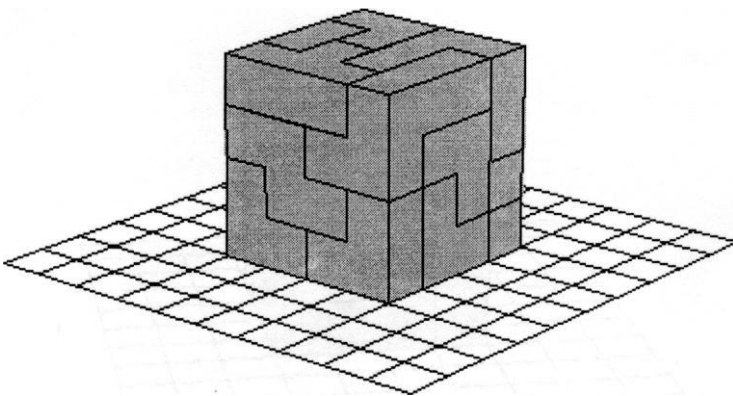
begin
  fi:=fi0; si:=si0; nsi:=0; ks:=1;
  for k:=1 to 14 do e_sorr[k]:=k;
  grindhi; eger_k; eger_n; keret; cim; szogf; eger_l;
  repeat
    eger_n; qu:='N'; qk:='N'; konfig;
    for i:=1 to 14 do kc[i].vet; alias;
  repeat
    qr:=' ';
    repeat gb_ny until qr in valasz;
    eger_n;
    for k:=1 to 5 do
      for l:=1 to 4 do
        if qr=vb[k,l].nev then lenyom(k,l);
    case qr of
    fel,le,bal,jobb: forgat;
    'A','B':valaszt;
    'Q':begin (kilépés)
      repeat kilep until not ((v='N') and (qm='I'));
      vege; if qk='N' then begin ujkonf; if qu='N' then
        alias; end;
      feleng(5,3);
    end;
    else mozgat;
  end;
  eger_l;

  until (qk='I') or (qu='I');
  until qu=' N' ;
  closegraph;
end.

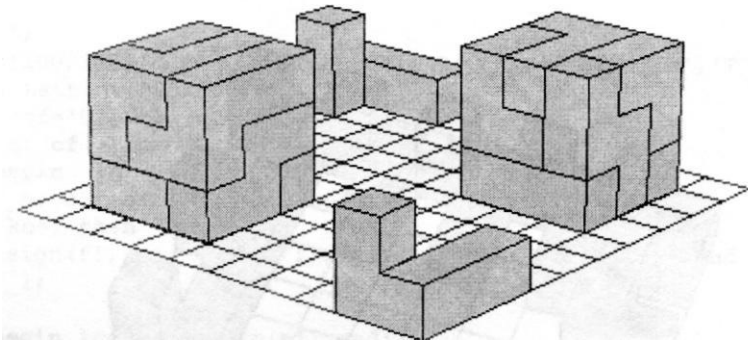
```



-1.11. ábra

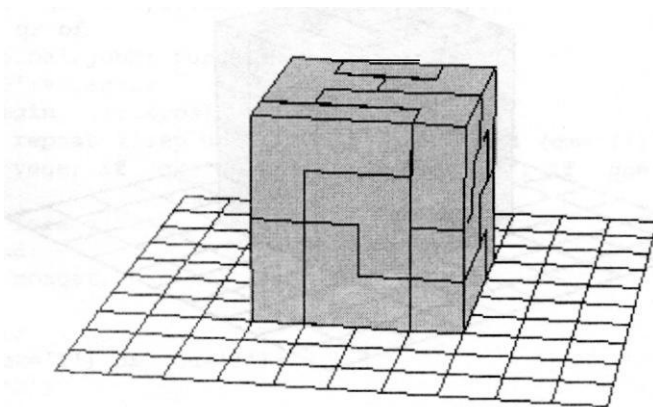


4.12. ábra

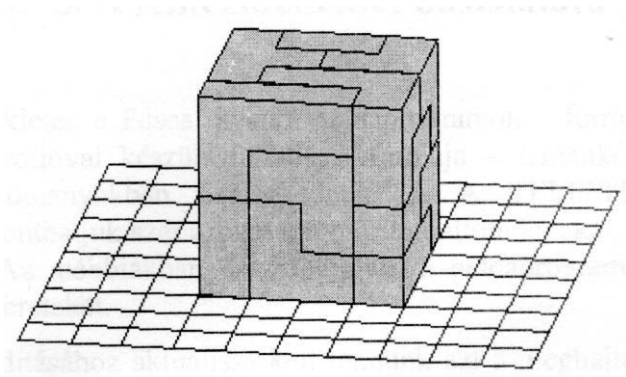


4.13. ábra

A 4.14. és 4.15. ábrákat megfigyelve, az emberi látással kapcsolatos érdekes jelenséget vehetünk észre. A 4.15. ábra merőleges vetítéssel készült, rajta minden szakasz három párhuzamos egyenescsalád valamelyik elemén fekszik (ez egy vonalzóval könnyen ellenőrizhető). Mégis, főként a vetítési iránnyal legkisebb szöget bezáró egyenescsalád tagjait széttartóaknak látjuk. A középpontos vetítéssel készült 4.14. ábrán a valóságban összefutó egyenesek párhuzamosnak tűnnek (a szerkesztés szemtávolságának megfelelő távolságból szemlélve az ábrát).



4.14. ábra



4.15. ábra





## 5. A lemezmelléklet használata

A lemezmellékleten a Pascal nyelvű példaprogramok — forráskódja és Turbo Pascal 7.0 fordítóval készült futtatható formája — témánként csoportosítva tömörített állományokban helyezkednek el. A TELEPIT.EXE program segítségével bonthatjuk szét azokat a tömörített állományokat, amelyekre szükségünk van. Az alábbiakban összefoglaljuk a példaprogramok telepítéséhez szükséges ismereteket.

A telepítés indításához aktuálissá kell tennünk azt a meghajtót, amelyik a lemezmellékletet tartalmazza, például az A:

A:

Ezután következhet a telepítő program indítása:

A:\>telepit

A telepítő program megjeleníti a lemezen található tömörített állományok listáját. A kifejtetni kívánt állomány(ok) nevére rá kell állni a nyílbillentyűk (↑ és ↓) segítségével. A kijelölést, illetve a kijelölés megszüntetését a szóköz billentyű lenyomásával végezhetjük el (a kiválasztott állományok neve mellett a V karakter látható). A válogatás során a jobb oldali ablakban rövid összefoglaló jelenik meg a kurzor melletti állomány tartalmáról.

Ha az állományok kijelölése után megnyomjuk az <Enter> billentyűt, akkor a az alábbi inputsor jelenik meg:

```
┌ Hova kívánja a példákat telepíteni? ┐  
└ c:\grafika ┘
```

Az inputsorban meg kell adnunk annak a könyvtárnak a nevét, ahova a kijelölt fájlokat másolni szeretnénk.

Az alkönyvtár kiválasztása után (<Enter>) elkezdődik a példaprogramok kifejtése és másolása. A példaprogramok a tömörített fájl nevével azonos nevű alkönyvtárakba kerülnek.

Megjegyezzük, ha a telepítés előtt a lemezmelléklet tartalmát a merevlemez valamely alkönyvtárába másoljuk, majd onnan indítjuk a TELEPIT.EXE programot, akkor a telepítés sokkal gyorsabban végbemegy.

A lemez mellékleten a programok a következő alkönyvtárakban találhatók:

### 1. KOZOS\_U

Ebben az alkönyvtárban olyan programegységek (unit) találhatóak, amelyek több program futtatásához szükségesek. Célszerű az alkönyvtárat elérő útvonalat (*path*) beírni a fejlesztési környezet (IDE) *Options / Directories* menü *Object directories* és *Unit directories* ablakaiba, hogy a fordító bárhol megtalálja.

EGER KEZ.PAS	egér programozása grafikus módban
EGER_KP.PAS	kontrollpontok mozgatása egér segítségével
FILE KEZ.PAS	kontrollpont-konfigurációt tartalmazó adattárak kezelése
GOMB_KEZ.PAS	vizuális billentyűk értelmezése
GRAFIND.PAS	grafikus üzemmód elindítása
KERDESEK.PAS	kommunikációs keret
KOMM_FEL.PAS	konfigurációkiválasztás-tárolás felületszerkesztéshez
KONF2D.PAS	kontrollpont-konfiguráció meghatározása síkgörbeszerkesztéshez
KONF3D.PAS	kontrollpont-konfiguráció meghatározása térgörbe- és felületszerkesztéshez
KOZOS.PAS	általában használt eljárások
KOZOS_3D.PAS	térgörbe- és felületszerkesztésnél használt eljárások
KOZOSGB.PAS	görbeszerkesztésnél használt eljárások
RAJZ F3D.PAS	felületek drótvázis vagy képies megjelenítése

### 2. ANIMACIO

GR_KZ_O.PAS	grafikus kurzorok
GR_KZ_X.PAS	
EGKZ_K.PAS	
BILIARD.PAS	többszörös ütközés szimuláció
CSANGO_K.PAS	térbeli összerakó játék
A.CSK, B.CSK	megoldásokat tartalmazó adattárak
GYONGY_K.PAS	logikai játék

### 3. GB\_2D

GB_2D_CH.PAS	síkgörbeszerkesztés általánosított (helyi ellenőrzésű) Coons-Hermite interpolációval
A.EC2, A.IC2	érintőket illetve karakterisztikus keretet tartalmazó adattár
GB_2D_BT.PAS	síkgörbeszerkesztés $n$ -spline közelítéssel
GB_2DIP.PAS	síkgörbeszerkesztés különböző interpolációs (Coons-Hermite, spline) és approximációs (B-spline, Bézier) eljárásokkal
A.IP2, B.IP2, C.IP2, D.IP2, X.IP2, Y.IP2, Z.IP2	karakterisztikus kereteket tartalmazó adattárak
GB_P_2D.PAS	síkgörbeszerkesztés Fourier sorbafejtéssel
A.GBP	együttható-adattár

### 4. GB\_3D

GB_3D_BT.PAS	térgörbeszerkesztés $n$ -spline közelítéssel
GB_3D_IP.PAS	térgörbeszerkesztés különböző interpolációs (Coons-Hermite, spline) és approximációs (B-spline, Bézier) eljárásokkal
A.IP3, B.IP3	karakterisztikus kereteket tartalmazó adattárak

### 5. FT NYILT

CSAV_GY.PAS	felületgenerálás
F_EM_SPL.PAS	Euler-Monge előállítású spline felület szerkesztése
A.FEM	karakterisztikus keret tár
FP_HERM.PAS	Gauss előállítású nyílt felület szerkesztése Hermite interpolációval
–	
A.FHC	karakterisztikus keret tár
FP_BEZR.PAS	Gauss előállítású nyílt felület szerkesztése Bézier közelítéssel
–	
A.FPB	karakterisztikus keret tár

F_P_BETS.PAS	Gauss előállítású nyílt felületek szerkesztése $\beta$ -spline közelítéssel
F_P_BSPL.PAS	Gauss előállítású nyílt felületek szerkesztése B-spline közelítéssel
A.FBS, Z.FBS	karakterisztikus keret tár
F_P_HSPL.PAS	Gauss előállítású nyílt felületek szerkesztése helyi ellenőrzésű spline interpolációval
F_PSPLN.PAS	Gauss előállítású nyílt felületek szerkesztése spline interpolációval
A.FPS	karakterisztikus keret tár

## 6. FT ZART

ZM_BETSP.PAS	gömb topológiájú zárt felületek szerkesztése $\beta$ -spline közelítéssel
ZM_BSPL.PAS	gömb topológiájú zárt felületek szerkesztése B-spline közelítéssel
A.ZMB, B.ZMB, K1	.ZMB, K2.ZMB, K3.ZMB karakterisztikus keret táruk
ZM_HSPL.PAS	gömb topológiájú zárt felületek szerkesztése helyi ellenőrzésű spline interpolációval
ZM_SPLN.PAS	gömb topológiájú zárt felületek szerkesztése spline interpolációval
A.ZMS, B.ZMS, K1	ZMS, K2.ZMS, K3.ZMS karakterisztikus keret táruk
ZY_BETSP.PAS	gyűrű topológiájú zárt felületek szerkesztése 13-spline közelítéssel
ZY_BSPL.PAS	gyűrű topológiájú zárt felületek szerkesztése B-spline közelítéssel
A.ZYB	karakterisztikus keret tár
ZY_HSPL.PAS	gyűrű topológiájú zárt felületek szerkesztése helyi ellenőrzésű spline interpolációval
ZY_SPLN.PAS	gyűrű topológiájú zárt felületek szerkesztése spline interpolációval
A.ZYS	karakterisztikus keret tár

## Irodalomjegyzék

1. J.D. Foley, A. Van Dam: *Fundamentals of Interactive Computer Graphics*, Addison-Wesley, 1983.
2. W.M. Newman, R.F. Sproull: *Interaktív Számítógépes Grafika*, Műszaki Könyvkiadó Budapest, 1985.
3. P. Lancaster, K. Salkauskas: *Curve and Surface Fitting*, Academic Press London, 1986.
4. G.E. Farin (ed.): *Geometric Modelling. Algorithms and New Trends*, Society for Industrial and Applied Mathematics, 1987.
5. G.E. Farin: *Curves and Surfaces for Computer Aided Geometric Design. A Practical Guide*, Academic Press London, 1988.
6. Hajós György: *Bevezetés a geometriába* (nyolcadik kiadás), Tankönyvkiadó, Budapest, 1987.
7. B.A. Barsky: *Computer Graphics and Geometric Modelling Using Beta-splines*, Springer-Verlag Berlin Heidelberg, 1988.
8. Strommer Gyula: *Geometria*, Tankönyvkiadó, Budapest, 1988.
9. P. Burger, D. Gillies: *Interactive Computer Graphics. Functional, Procedural and Device-Level Methods*, Addison-Wesley, 1989.
10. Newman, R.F. Sproull: *Principles of Interactive Computer Graphics*, McGraw-Hill, 1989.
11. Lőrincz Pál, Petrich Géza: *Ábrázoló geometria* (negyedik kiadás), Tankönyvkiadó, Budapest, 1989.
12. J.D. Foley, A. van Dam, S.K. Feiner, J.F.Hughes: *Computer Graphics. Principles and practice*, Addison-Wesley, 1990.
13. Pirkó József: *Turbo-Pascal 5.5*, LSI Oktatóközpont Budapest, 1990.
14. Vermes Imre: *Geometria útmutató és példatár*, Tankönyvkiadó, Budapest, 1991.
15. Benkő Tiborné, Benkő László, Kiss Zoltán Tóth Bertalan: *Objektum-orientált programozás Turbo Pascal 6.0-ban. Turbo Vision*, ComputerBooks, Budapest, 1991.
16. S.G. Hoggar: *Mathematics for Computer Graphics*, Cambridge University Press, 1992.
17. M. Bret: *Image Synthesis*, Kluwert Academic Publishers, Dodrecht, 1992.
18. P. Dierckx: *Curve and Surface Fitting with Splines*, Clarendon Press Oxford, 1993.

19. A. Gray: *Modern Differential Geometry of Curves and Surfaces*, CRC Press, Boca Raton, 1993.
20. C. de Boor, K.Höllig, S.Riemenschneider: *Box Splines*, Springer-Verlag Berlin Heidelberg, 1993.
21. Benkő Tiborné, Benkő László, Tamás Péter, Tóth Bertalan: *Programozás Borland Pascal 7.0 rendszerben*, ComputerBooks, Budapest, 1994.
22. Füzi János: *3D grafika és animáció IBM PC-n*, ComputerBooks, Budapest, 1995.
23. Székely Vladimir, Poppe András: *A számítógépes grafika alapjai IBM PC-n*, ComputerBooks, Budapest, 1992.

# Tárgymutató

**R** -spline eltolás, 114, 244  
13 -spline feszültség, 114, 243

## A

adattfeldolgozás, 140  
alakparaméter, 114, 134, 224, 226, 242, 258  
alappont, 90, 233  
approximációs eljárások, 45  
approximációs módszer, 144

## Á

áthatás, 284  
áthatáskizárás, 312

## B

Bernstein polinomok, 86  
Bernstein-polinom, 196  
Bézier-patch, 196  
blendingfüggvény, 201  
B-spline patch, 212

## C

centrum, 303  
csatlakozási pont, 114, 115

## D

délgörbe, 173, 212, 233  
derivált, 66  
drótvázás megjelenítés, **149**

## E

egérkurzor, 15  
egyidejűség, 283  
Euler-Monge előállítás, 143, 190

## É

érintő, 35, 157, 257  
érintő egységvektor, 114  
érintősík, 144, 157, 212, 268  
érintővektor, 51, 56, 159

## F

felosztás, 38  
felületfolt, 157, 201, 258  
felületi görbe, 143  
felületmegjelenítés, 150  
felületmegjelenítési háló, 145  
folytonosság rendje, 36  
Fourier-sorbafejtés, 37  
főnormális, 114  
főpont, 302  
fősugár, 302

## G

Gauss előállítás, 190  
gépidő, 283, 302  
gömbi koordinátarendszer, 302  
görbecsaládok, 144  
görbület, 51, 66, 93  
görbületvektor, 114  
grafikus kurzor, 18

## H

határfeltétel, 52, 67, 159, 233  
határgörbe, 157, 158, 159, 212, 224  
határvonal, 201



helyi ellenőrzés, 90 helyi  
ellenőrzésű spline, 268  
helyvektor, 50, 158  
Hermite-patch, 166  
húrnégyszög, 150

## *I*

illesztés, 36  
illesztés folytonossága, 36  
interpolációs eljárások, 45  
interpolációs módszer, 144  
iránykoszinusz, 302  
iránytényező, 302  
irányvektor, 297

## *K*

karakterisztikus keret, 45, 201,  
230 karakterisztikus poliéder,  
144, 168 karaktorsor, 18  
képernyőmaszk, 15 képies  
megjelenítés, 149  
képsík, 98, 149, 301  
kontrollpoliéder, 245  
kontrollpont, 45  
kontrollpontrács, 144, 158  
konvex burok, 86  
középpontos vetítés, 302  
kurzormaszk, 15

## *L*

láthatósági teszt, 306  
leírógörbe, 144

## *M*

megjelenítési sorrend, 149, 301, 304  
mérési zaj, 136  
merőleges vetítés, 301

## *N*

normálisvektor, 144, 190, 304  
numerikus modellezés, 283

## *O*

Overhauser interpoláció, 55, 56, 257

## *O*

önátható felület, 247

## *P*

pályagörbe, 144  
paraméteres előállítás, 35,  
143 paramétergörbe, 216, 279  
paramétergörbék, 143  
paramétervonal, 144, 158,  
218 parciális derivált, 236  
patch, 157, 202  
periodikus B-spline, 91  
poliéderes közelítés, 301  
pólus, 173, 182, 212, 267

## *S*

segédkontrollpont, 217, 224  
segédpont, 233  
simulósík, 114  
spline, 66  
spline feszültség, 262  
súlyfüggvény, 50, 158, 236  
szélességi görbe, 173, 233  
szemtávolság, 302  
szerkesztési környezet, 75  
szimuláció, 283  
szinguláris pont, 173, 216  
szögpont, 89

## *T*

torz négyszög, 168  
trigonometrikus polinomok, 37 twist-  
vektor, 158

## *U*

uniform B-spline, 217

## V

vektoros felírás, 36  
vetítés, 98  
vetítési irány, 302  
vetítősugár, 301  
vetületszög, 306  
virtuális eszköz, 22

virtuális folyamat, 283,  
296 virtuális objektum,  
283 virtuális szerkezet, 288  
virtuális tér, 283  
virtuális tulajdonság, 284  
vizuális billentyű, 13, 25, 288  
vizuális objektum, 13



polytípusú: 144  
perforált címkés: 18, 141  
típusminta: 145, 212  
előnyeljárás: 147  
műtervvel: 148, 154, 213  
színes képek: 136  
pály: 157, 210  
színes: 158, 211

---

# COMPUTERBOOKS

---

Nyomta és kötötte: Séd Nyomda, Szekszárd  
Felelős vezető: Dránovits István

# CD PANORÁMA

## MULTIMÉDIA MAGAZIN MINDENKINEK

- Körkép az új multimédiás CD-kről
- Fülbemászó audio-CD-k
- Az interaktív média hardver- és szoftvereszközei

**A CD-mellékleten  
megelevenedik  
a magazin**

**Megrendelhető:**

Computer  
Panoráma  
Kiadói Kft.

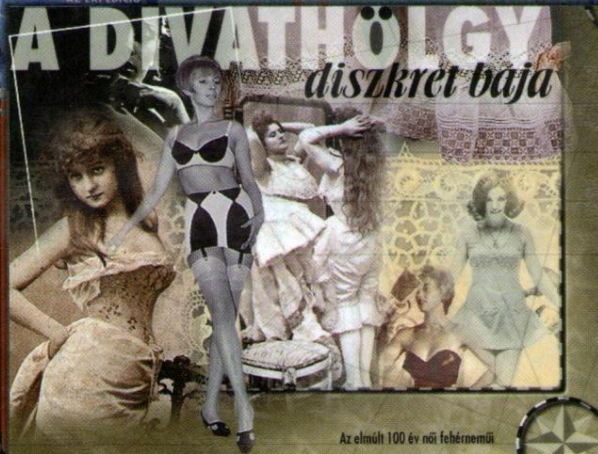
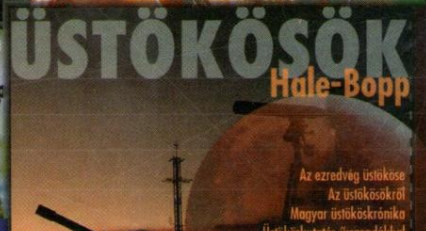
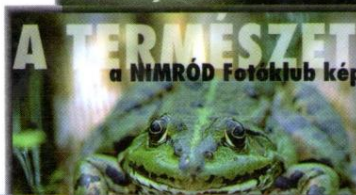


1091 Budapest,  
Üllői út 25.

Telefon:

218-3011 /302, 369

Fax: 217-2646



ISBN 963-618-149-7

Ára: 1.993,- Ft (Áfával)



9 789636 181499